



**Des contraintes pour les zones de convergence:
Confrontation des données du métamorphisme et des
modélisations numériques thermomécaniques -
Application aux Alpes et à l'Oman.**

Philippe Yamato

► **To cite this version:**

Philippe Yamato. Des contraintes pour les zones de convergence: Confrontation des données du métamorphisme et des modélisations numériques thermomécaniques - Application aux Alpes et à l'Oman.. Sciences de la Terre. Université Pierre et Marie Curie - Paris VI, 2006. Français. NNT: . tel-00134728

HAL Id: tel-00134728

<https://theses.hal.science/tel-00134728>

Submitted on 5 Mar 2007

HAL is a multi-disciplinary open access archive for the deposit and dissemination of scientific research documents, whether they are published or not. The documents may come from teaching and research institutions in France or abroad, or from public or private research centers.

L'archive ouverte pluridisciplinaire **HAL**, est destinée au dépôt et à la diffusion de documents scientifiques de niveau recherche, publiés ou non, émanant des établissements d'enseignement et de recherche français ou étrangers, des laboratoires publics ou privés.

THESE DE DOCTORAT DE L'UNIVERSITE PARIS 6

Spécialité

Sciences de la Terre

Présentée par

Philippe Yamato

Pour obtenir le grade de DOCTEUR DE L'UNIVERSITE PARIS 6

**Des contraintes pour les zones de convergence :
Confrontation des données du métamorphisme et des
modélisations numériques thermomécaniques**

Application aux Alpes et à l'Oman

(Annexes)

Thèse soutenue le Vendredi 8 décembre 2006

Devant le Jury composé de :

Christian CHOPIN	Rapporteur
Taras GERYA	Rapporteur
Evgenii BUROV	Directeur de Thèse
Laurent JOLIVET	Directeur de Thèse
Michel BALLEVRE.....	Examinateur
Marie-Pierre DOIN	Examinateur
Stéphane GUILLOT	Examinateur
Philippe AGARD	Invité

Table des matières

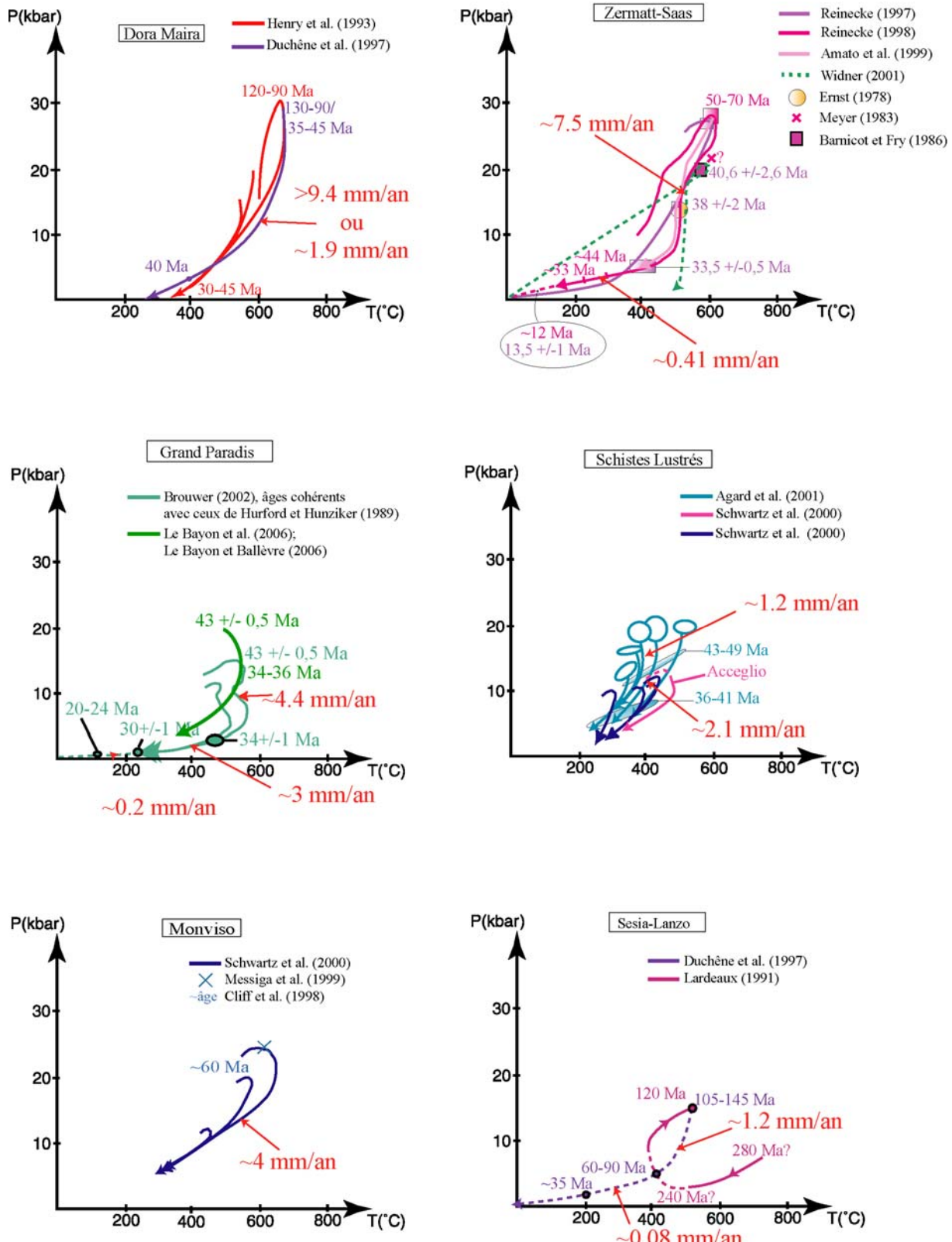
ALPES	3
<u>Annexe A : Chemins P-T-t des Alpes et bibliographie.....</u>	<u>4</u>
<u>Annexe B : Synthèse P-T pour les Alpes en fonction des méthodes utilisées.....</u>	<u>6</u>
OMAN.....	7
<u>Annexe C : Stratigraphie de l'Oman.....</u>	<u>8</u>
<u>Annexe D : Coupes de terrain (Miller et al., 2002).....</u>	<u>10</u>
<u>Annexe E : Synthèse des estimations P-T pour l'Oman.....</u>	<u>12</u>
<u>Annexe F : Minéraux observés par échantillon</u>	<u>14</u>
<u>Annexe G : Analyses ponctuelles pour nos échantillons et premiers traitements.....</u>	<u>31</u>
<u>Annexe H : Cartes de composition en éléments</u>	<u>65</u>
<u>Annexe I : Résultats RSCM.....</u>	<u>101</u>
MODELISATION DE LA SUBDUCTION	109
<u>Annexe J : Morphologies des modèles de subduction océanique</u>	<u>110</u>
<u>Annexe K : Morphologies des modèles de subduction continentale.....</u>	<u>119</u>
METHODOLOGIE	131
<u>Annexe L : Compositions minérales issues de THERIAK pour les différents matériaux utilisés lors du calcul des densités</u>	<u>132</u>

Alpes

Annexe A

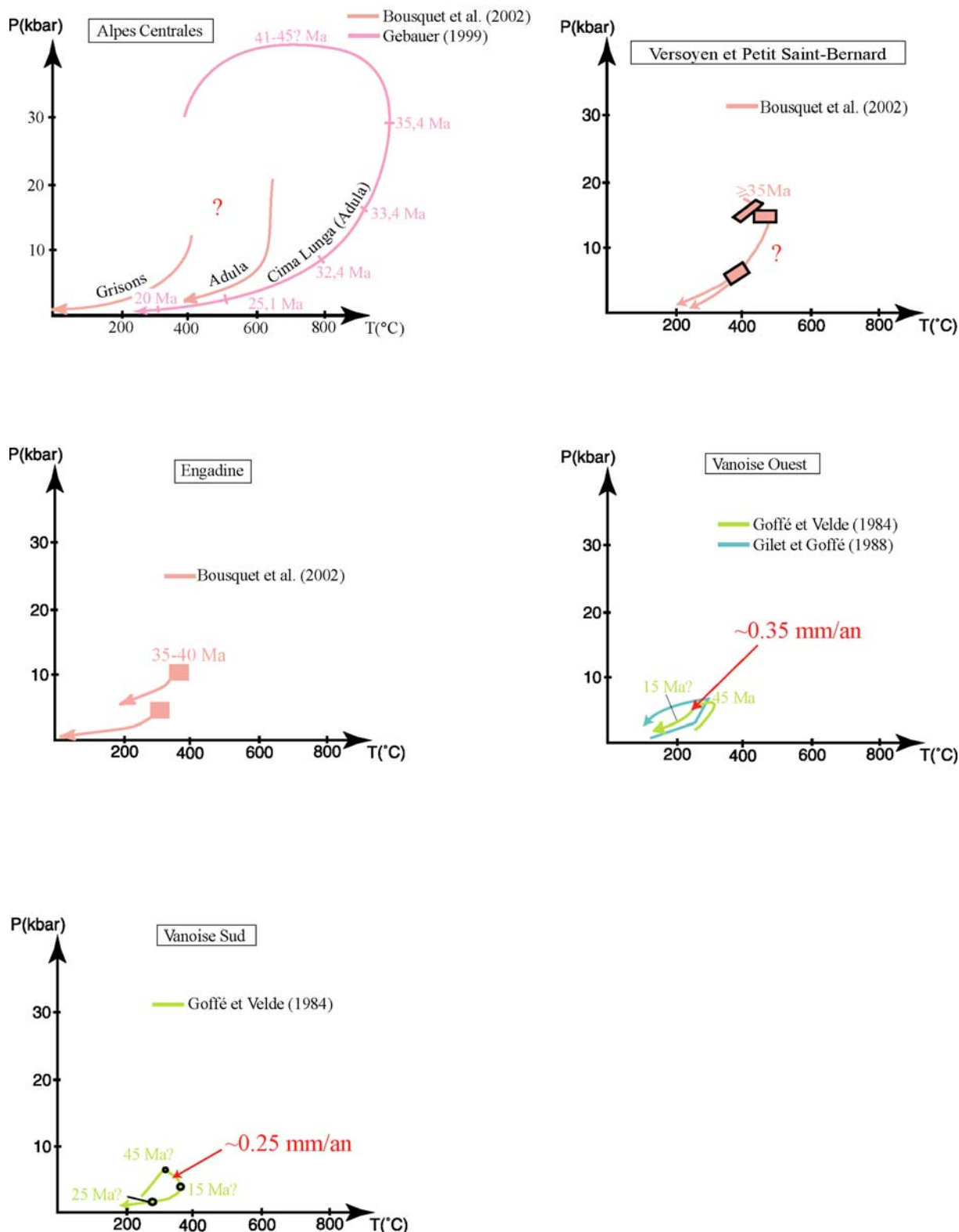
(1/2)

Récapitulatif des différents chemins P-T-t des Alpes, des vitesses moyennes d'exhumation et des références bibliographiques d'où ils sont issus.



Annexe A

(2/2)



Annexe B

Synthèse des méthodes utilisées et des valeurs obtenues lors de la réalisation des chemins P-T (liste non exhaustive)

Région étudiée	Point sur le chemin P-T		Auteurs	Méthode utilisée ...					
	Point de métamorphisme et enrobage	Pression (kbar) Température (°C)		Domaines de thermobarométrie	KFMASH	Thermocalc	TNG	Autre	Métabasites sur
Dora Maira (Piedil)	"-37	"-600	Ec	Schertl et al. (1991)					
Dora Maira-Lint L'Emosson-Sassca	"-28-35	"-700-750	Ec	Michard et al. (1983)					
Dora Maira Unit II	"-12-20	"-550-580	Ec	Michard et al. (1983)					
DM - UI - UII > R1	"-12	"-550	SE-Ec	Michard et al. (1983)					
DM - UI - UII > R2	"-3	"-550-580	SY	Michard et al. (1983)					
Dora Maira Unit III	"-12-20	"-550-580	Ec	Vialon (1969); Borghi et al. (1984); Cadoppi (1980); Henry (1990)					
DM - Sanfront Pinero	"-10-12	"-500	Ec	Lardeaux et al. (1982); Rubie (1984); Pugnaire (1991)					
Séria Lanzo	15.5 +/- 1.5	525 +/- 25	Ec	Lardeaux et al. (1982)					
Séria Lanzo	8.25 +/- 0.25	480 +/- 10	Ec	Kienast et Pugnaire (1986)	X				
Lanzo	16.5 +/- 1.5	450 +/- 50	Ec	Lardeaux et al. (1982)					
Séria Lanzo	4.5 +/- 0.5	410 +/- 10	Ec	Schertl et al. (2000)					
Monviso-Yiso Mosso	12 +/- 3	450 +/- 40	Ec	Chopin et Schreyer (1983)					
Monviso	"-25	625 +/- 75	Ec	Philippot et Kienast (1989)	X				
Monviso, Lanza, Valtell	16 +/- 4	"-450	Ec	Röhlheim et Green (1979); Ellis et Green (1979); Powell (1985); Krogh (1986)	X (XH20=0.5)				
Monviso ophio	"-25	625 +/- 25	Ec	Messia et al. (1999)	X (XH20=1)				
Monviso ophio	23 +/- 5	633 +/- 23	Ec	Messia et al. (1999)	X (XH20=1)				
Monviso ophio	39 +/- 9	61.5 +/- 34	Ec	Lombardo et al. (1987); Philippot (1986)					
Monviso ophio	"-12.5 +/- 5	"-500-550	Ec	Chopin et Schreyer (1983)					
Monviso-Passo Galliano?	12 +/- 3	450 +/- 75	Ec	Philipot et Kienast (1989)					
ghialin	12.5 +/- 2.5	600 +/- 100	Ec	Philipot et Kienast (1989)					
Monviso-Lago Superiore	"-24	575 +/- 40	SB	Chopin et Schreyer (1983)					
Monviso-Lago Superiore	"-20	450 +/- 50	Ec	Philipot et Kienast (1989)					
ophio pliomontaises	19 +/- 1	57.5 +/- 25	Ec	Clift et al. (1986)					
ophio pliomontaises	"-9	"-400	SY	Reddy et al. (1999)					
Combini zone	"-9	400 +/- 100	SY	Reddy et al. (1999)					
Combini zone	"-9	375 +/- 75	SY	Massone et Schreyer (1987)					
Zemmati-Lago di Cignana	"-20	585 +/- 60	Ec	Klaunet et al. (1997)	X (CP-X-CH)				
Zemmati-Saas Zone	"-20	622.5 +/- 12.5	Ec	Reinecke (1988)	X (G4-dol-AR)				
Zemmati-Saas Zone	19 +/- 1	57.5 +/- 25	Ec	Barniotti et Fry (1986); Gauclin (1986)					
Zemmati-Lago di Cignana	27 +/- 1	61.0 +/- 20	Ec	Reinecke (1991)					
Zemmati-Lago di Cignana	"-9	"-500	Ec	Reinecke (1991)					
Zemmati-Lago di Cignana	5 +/- 1	385 +/- 35	SY	Reinecke (1988)					
Grand Paradis (GP)	16 +/- 4	500 +/- 50	Ec	Balèvre (1988); Billo et Pommerehne (1990)					
GP-SL(sup et inf)	4 +/- 1	400 +/- 50	SY	Rolland et al. (2000)					
SL (unité sup - très GP)	9.5 +/- 2	340 +/- 30	SB	Rolland et al. (2000)					
SL (unité inf)	12.5 +/- 3	480 +/- 50	Ec	Rolland et al. (2000)					
SL (ouest)	12.5 +/- 0.5	325 +/- 25	SB	Agarde et al. (2001)					
SL (Est)	20.5 +/- 0.5	475 +/- 25	SB	Agarde et al. (2001)					
Vanoise	"-6	"-300	SB	Goffé et Véde (1984)					
Vanoise-Sud	3.5 +/- 0.5	280	SY	Goffé et Véde (1984)					
Vanoise-Sud	"-6	310 +/- 10	SB	Goffé et Véde (1984)					
Vanoise-Sud	5.5 +/- 0.5	"-300	SB	Véde (1987)					
Vanoise-Sud	"-3	26.5 +/- 15	SY	Goffé et Véde (1984)					
Accedillo	11 +/- 1	425 +/- 25	SB	Caby et al. (1989/1992); Houffraine et al. (1987)	X				
Accedillo	13.5 +/- 1.5	450 +/- 25	Ec	Schertl et al. (2000)	X				
Accedillo	9.5 +/- 1.5	465 +/- 25	SE-Ec	Schertl et al. (2000)	X				

Oman

Annexe C

Principales unités stratigraphiques de la région du Saih Hatat d'après une compilation de Searle et al. (2004).

- *Les unités Pré-Permiennes*

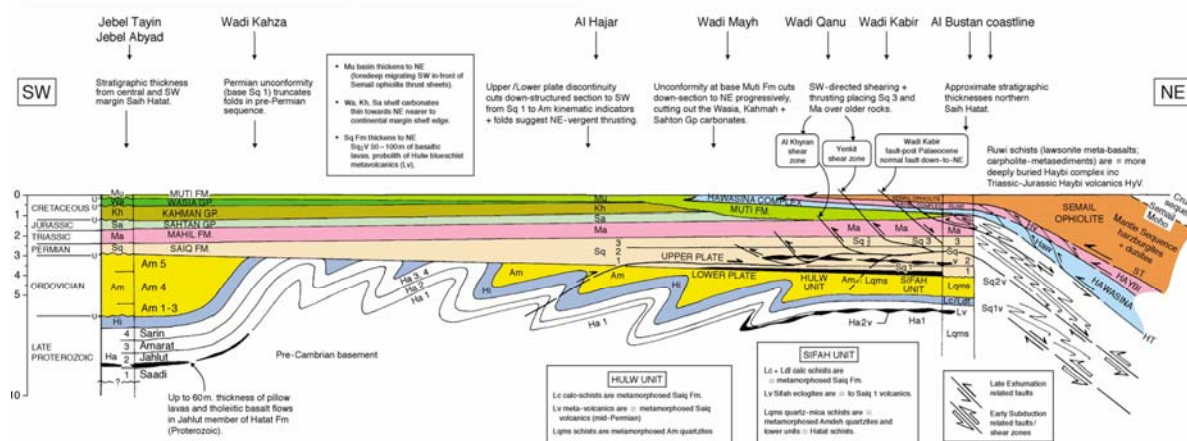
Tout autour du Saih Hatat se trouve une discordance régionale majeure qui sépare les carbonates de plateforme du Permien tardif et du Mésozoïque des roches pré-Permien du socle. L'unité stratigraphique la plus vieille exposée dans le Saih Hatat correspond à une succession d'au moins 2500 m d'épaisseur, de greywackes du faciès schiste vert datant du Protérozoïque tardif au Cambrien inférieur, de shales et de sherts terminée par la formation des schistes de Hatat, avec un fin, mais caractéristique, horizon (Ha2v) de basaltes transitionnels de types alcalin à tholéïtique (Jahlut member ; Le Métour et al., 1986a,b). Les schistes de Hatat sont surmontés par 500 m de dolomites grises et jaunes (Formation de Hijam) qui sont à leur tour surmontées de manière non conforme par une unité massive de Quartzite (la formation de Amdeh), haute de 2300 m d'épaisseur, avec des lits mineurs de siltstones marneuses contenant des trilobites d'âge Caradocien (Ordovicien, Lovelock et al., 1981). Ces sédiments Protérozoïques à Ordoviciens ont été sujets au métamorphisme schiste vert et au développement de clivages associés avec une phase régionale de plissement à vergence vers le NE. Les lithologies, le clivage et les axes de plis sont tous tronqués au niveau de la discordance sous la formation Saiq Permien tardif.

- *Les unités du Permien - Mésozoïque*

Le rifting initial, la formation de faille en bloc et la subsidence peuvent avoir débuté dès le Carbonifère termina l- début du Permien (Blendiger et al., 1990). Le rifting principal et la subsidence ont pris place au milieu du Permien à la suite de la glaciation majeure du Gondwana, et sont accompagnés d'une hausse majeure du niveau eustatique marin, entre 270 et 260 Ma. A la fin du Permien une vaste plateforme carbonatée se met en place le long de la majeure partie Nord-Est de la marge de la plaque arabe (Glennie et al., 1973). Cette plateforme carbonatée stable a duré pendant 160 Ma durant le Trias (Formation Mahil), le Jurassique (Groupe Sahtan), le Crétacé précoce (Groupe Kahmah) et l'Aptien - Cénomanien (groupe Wasia). Au bord extérieur des carbonates de plateforme, on trouve dans l'unité inférieure des roches glissées (groupe sumeini) et des roches de bassin proximal (Groupe de Hamrat Duru ; Complexe d'Hawasina) qui sont donc latérales mais qui correspondent à des unités d'âges équivalents.

Deux horizons volcaniques (Sq1v et Sq2v), comprenant un mélange de flux volcaniques alcalins et de tuffs rhyolitiques, se trouvent à l'intérieur de la formation Saiq et sont datés du milieu et de la fin du Permien (Le Métour et al., 1986a,b). Ces flux volcaniques formaient probablement le protolith pour les métabasites schistes bleus de l'unité de Hulw et pour les calcaires Permien à Carpholite le long du Wadi Mayh. Les roches volcaniques alcalines triasiques se trouvent également à l'intérieur du bassin d'Hawasina proximal de Hamrat Duru ainsi que dans les parties distales de la Téthys, où les îles océaniques de basalte alcalin (volcanismes de Haybi ; 233-200 Ma ; Searle & Malpas, 1980) ont formé la base des calcaires exotiques isolés d'Oman d'âge triasique tardif (Searle & Graham, 1982).

Restored section across Arabian continental margin, Saih Hatat, Oman Mountains, (at ~ 90 Ma.)



Coupe restaurée de la marge continentale Arabe au niveau du Saih Hatat, il y a 90 Ma (début de l'obduction), avant la flexure et la formation du bassin d'avant pays.

La sédimentation stable le long de la plateforme Arabe Nord se termine rapidement à la fin du Cénomanien, il y a 90Ma, quand la marge passive fut flexurée pour former le bassin d'avant pays d'Aruma rempli des shales de la formation Fiqa (Glennie et al., 1973, 1974 ; Warburton et al., 1990). La figure IV-4 présente une coupe restaurée de la marge continentale Arabe au niveau de l'Oman il y a 90 Ma. Entre 88 et 70 Ma (Coniacien - Campanien) l'Hawasina, l'Haybi et les lambeaux de poussée de l'ophiolite du Semail sont mis en place dans le bassin au-dessus des carbonates de plateforme. Une discordance régionale majeure avec des calcaires à rudistes d'âge Maastrichtien supérieur (68-65 Ma) recouvre toutes les unités allochtones au nord de l'Oman. Les montagnes d'Oman furent émergées durant le Maastrichtien avec ce charriage produisant le soulèvement des dômes du Jebek Akhdar et du Saih Hatat. Vers le SW des montagnes, les clastes marins de faible profondeur transgressifs en onlap (formation Qahlah) et les Carbonates (formation Simsima) recouvrent en discordance les unités allochtones. Vers le NE des proto-montagnes, la subsidence plus rapide a produit les flux de débris et les turbidites des formations de Al Khawd et de Thaqab (Nolan et al., 1990). Le processus de mise en place de la totalité de l'ophiolite a donc duré à peu près 27 Ma de 95 à 68 Ma, et la totalité du processus fut réalisée avant l'impact météoritique catastrophique et les événements volcaniques du Deccan à la limite Crétacé - Tertiaire (65Ma).

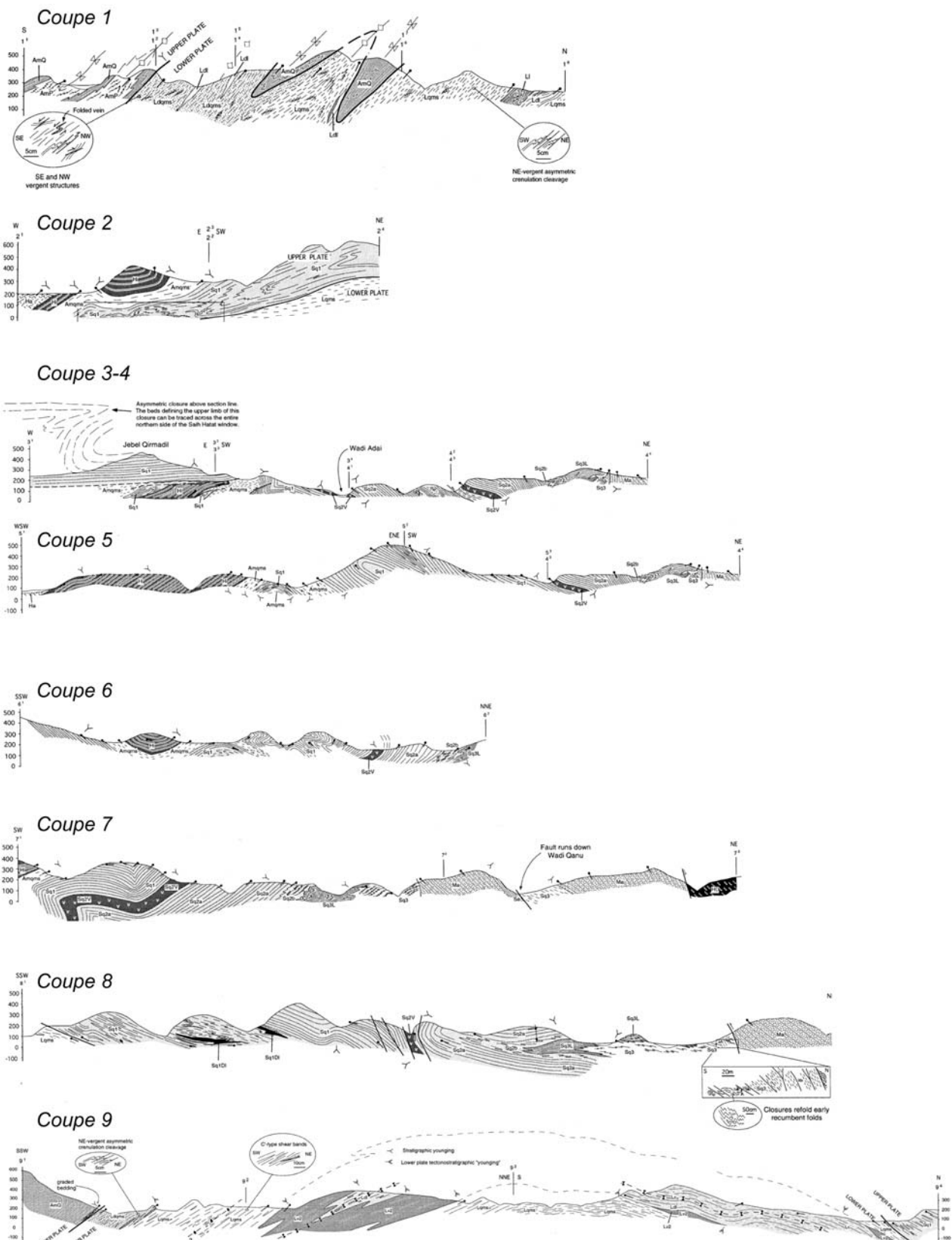
- Les unités Tertiaires

Une discordance majeure au dessus des calcaires de la fin du Maastrichtien indique une courte période d'émergence et une compression mineure possible à la limite Crétacé - Tertiaire. La sédimentation carbonatée fossile, marine de faible profondeur reprend le long des flancs NE et SW des montagnes de la fin du Paléocène jusqu'à la fin de l'Eocène moyen (Formation de Jafnayn et Seeb ; ~58-42 Ma). Ces roches affleurent partout autour des dômes du Jebek Akhdar et du Saih Hatat mais ne sont pas exposées directement sur ces structures. Les relations stratigraphiques régionales indiquent ainsi que les montagnes du nord de l'Oman incluant le Saih Hatat sont restées structuralement plus hautes entre la fin du Crétacé et le début du Tertiaire (Mann et al., 1990 ; Nolan et al., 1990).

Annexe D

(1/2)

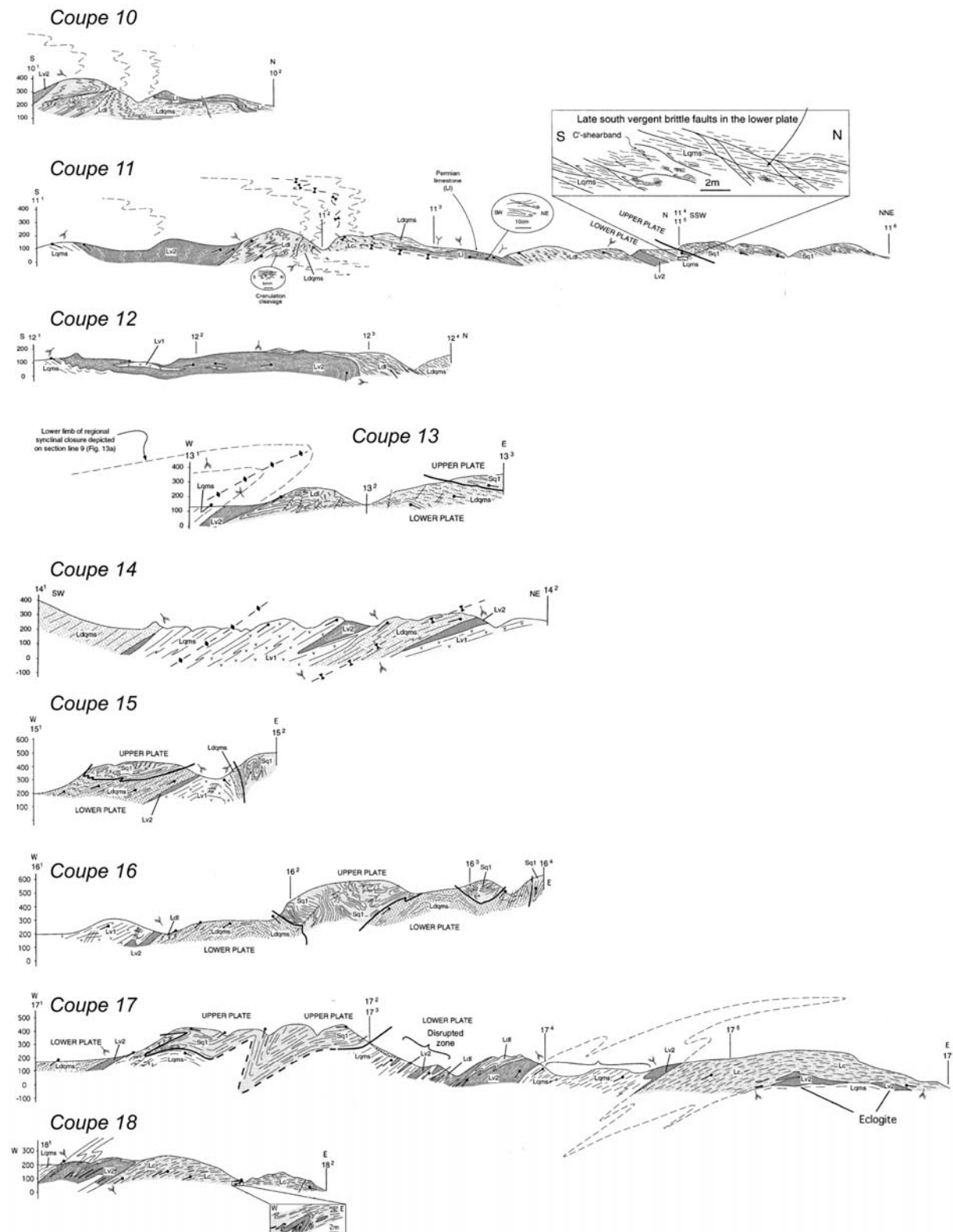
Coupes au travers de la fenêtre du Saih Hatat (Miller et al., 2002). Voir figure IV-4 pour la localisation des coupes.



Annexe D

(2/2)

Coupes au travers de la fenêtre du Saih Hatat (Miller et al., 2002). Voir figure IV-6 pour la localisation des coupes.



Annexe E

(1/2)

Compilation bibliographique des estimations P-T réalisées au niveau des différentes unités du Sajh Hatat et références.

Pression	Température	contexte	pic?	Unité	Nature des échantillons	Méthode utilisée	estimation de
Searle et al. (2004)							
13.9 - 11.8 kbar	<280-315°C			base de la seq. Mantell. Pend. Ruwi melange Wadi Mays	Metapelites(Fe-Carpho) + Metabasites (Lws), Metapelites(Fe-Mg Carpho + pyro + soudite) Metapelites(Carpho+Kao.) + Metabasites (Crossite+Ep)		Searle et Cox (99,2002) Goffe et al.(88) + B-Shazly (94)
3-6 kbar	280-320°C			A Khuryan et Wadi Mayh			
> 10 kbar	320-440°C			Hulu	Metapelites(Chd+chd) + Metabasites (Crossite+Ep) Metapelites(Grt+chd) + Metabasites (Grt+Gln)		+ Searle et al.(94)
7-8 kbar	380-420°C			As Sifah S.B.	Metapelites(Grt+chd+Phg+cpx)		
12-15 kbar	460-540°C			As Sifah Eclogite	+ Metabasites (Grt+Gln+cpx+Phg+Ep)		
15-20 kbar	540°C			As Sifah Eclogite		
>20 kbar	540 +/- 75°C	HP-BT	oui	As Sifah Eclogite			
Warren et al (2003)							
>10-12 kbar	?			subduction	sole métamorphique		Hacker et Gnos (97); Searle et Cox (2002)
18-22 kbar	500-580°C	HP-BT	oui		As Sifah (Eclogites)		Wenndt et al.(93); Searle et al.(2004)
7-8 kbar	380-420°C		oui ?		S.B., Hulu		Goffe et al.(88)
6-9,5 kbars	325-440°C		oui ?		roches a Luis plaque sup.		B-Shazly (95)
3-6 kbar	280-315°C	HT	oui ?		S.V. Plaque sup.		B-Shazly (95)
Miller et al.(2002)							
6.8-9 kbar	315-435		oui	plaque sup.			
8-10 kbar	180-250°C			plaque sup.	Carphe+ lws + amph. Sodique + abs de Crt + abs aragonite + champs de stabilité Fe- et Mg- Carpho + chd		
6-8 kbar	250-350°C			plaque sup.	Carpho-Kao.		Goffe et al.(88)
>10-12 kbar	500-580		oui	As Sifah metabasites (eclogites) Est plaque inf.	Ass. Fe-Mg Carpho-pyrophyllite		Goffe et al.(88)
>20 kbar				As Sifah metabasites (eclogites: plaque inf.)			B-Shazly (90)
>20 kbar				As Sifah metabasites (eclogites: plaque inf.)			
>15 kbar				Plaque inf. (Hulu) - Region III-zone A			
4,5-5,5 kbar							
El-Shazly et al (2001)							
12-15 kbar	550-580°C	HP-BT	oui	Zone C (Eclo + S.B a Gt. ...)			B-Shazly et al.(97); B-Shazly (2001)
20 kbar	?		?	Zone C (Eclo + S.B a Gt. ...)			Wenndt et al.(93); Searle et Cox (99)
>8,5 kbar	775-875°C			sole mtm	Amphibolites	Occurrence Kyanite ds amphibolite a Gt - NCIMASH	Searle et Melpas (80); Ghent et Stout (81); Gnos (98)
3-6,5 kbar	280-320°C		non	Ruwi melange (Saih Hatat-Region I)	?		?
6,5-9 kbar	380-430°C		oui	Region II (plaque sup. Profonde)	?		B-Shazly (94,95,96)
6,5-8,5 kbar	400-460°C			plaque inf Zone A (As Sifah)	metapelites et micaschistes a Qz		Searle et al.(94)
12-16 kbar	500-580°C			plaque inf Zone C (As Sifah)			Searle et al.(94)
-12 => ~5kbar	~500°C	HP-BT	non	H-PT roches mtm plaques inf.	Inclusions fluides in Qz et CPX	mesure micronthermo.	B-Shazly et Sisson (99)
Miller et al.(1999)							
6.8-9 kbar	315-435°C			plaque supérieure (Saih Hatat)			
8-10 kbar	180-250°C			plaque supérieure (Saih Hatat)	Abs. Aragonite; mg carph, Fe carph. Et chd		
~6-8 kbar	250-350°C			plaque supérieure (Saih Hatat)	assemblage Carph.-Kao.		Goffe et al.(88)
>10-12 kbar	500-580°C			plaque inférieure: As Sifah	assemblage Fe-Mg Carph.-pyrophyllite		Goffe et al.(88)
23 kbar				plaque inférieure: As Sifah	baromètre Jd-Ab+Qz. Thermomètre Gt-Pyroxene		Wenndt et al.(93)
>8 kbar	380-480°C			plaque inférieure eologistique: As Sifah	Fractures radiales autour des Qz inclus dans le Gt		
	<340°C				baromètre Gt-pyroxene-Phg		
7-9 kbar	460-520°C		?	plaque inférieure: schistes mafiques (Zone B)	Gt des S.B.		
4,5-6 kbar			?	plaque inf. - Wadi Meeh and Wadi Hulu			
7 +/- 1 kbar			?	Hulu	psoe de pumpellyite		B-Shazly (90)
6,8 +/- 1,6					pseudomorph. De Gt		Goffe et al.(88)
					+ ass. Phg-chl.+chd.+rutile+Gln+Qz		?
					geobaromètre de brown(77) et		
					Maruyama et al.(86)		
					données thermo de Holland et Powell(90)		
					données thermo de Holland et Powell(90)		
							Searle et al.(94)
							Searle et al.(94)
Miller et al.(1998)							
6.8-9 kbar	315-435°C			Saih Hatat (plaque sup.)	Assemblages Carpho-Pyrophyllite		B-Shazly (94,95)
6-8 kbar	250-350°C			Saih Hatat (plaque sup.)	Assemblages Carpho-Kaoline		Goffe et al.(88)
8-10 kbar	180-250°C			Saih Hatat (plaque sup.)			Goffe et al.(88)
?	< 340°C			Saih Hatat - plaque inf.			B-Shazly et al.(90)
4,5-6 kbar	?			(Wadi Hulu - Wadi Mayh)			
				Saih Hatat - plaque inf.			B-Shazly et al.(90)
				(Wadi Hulu - Wadi Mayh)			
7 +/- 1 kbar	> 420 °C		?	Saih Hatat - plaque inf.			Searle et al.(94)
				(Wadi Hulu - Wadi Mayh)			
>12 kbar	500-580°C			Saih Hatat - plaque inf.(As Sifah)			B-Shazly et al.(90)
23 +/- 2,5 kbar	?			Saih Hatat - plaque inf.(As Sifah)			Searle et al.(94)
>20 kbar	?			Saih Hatat - plaque inf.(As Sifah)			Wenndt et al.(93)
4,5-6 kbar	?			Saih Hatat - plaque inf.(As Sifah)			Brown(77)
6,8 +/- 1,6 kbar	550 +/- 100 °C			Saih Hatat - plaque inf.(As Sifah)	Baromètre de Brown		Searle et al.(94)
Hacker & Moserfelder (1996)							
?	>825 a ~500°C		oui	sole métamorphique	tailles grain + disparition chl et Ep, partitions Gt-Cpx et Gt-Hornblende	tailles grain + disparition chl et Ep, partitions Gt-Cpx et Gt-Hornblende	CETTE ETUDE
El-Shazly (1995)							
3-6 kbar	280-315°C			metased. A Carpho NE Oman - Unités de surfaces			CETTE ETUDE
6-9,5 kbar	325-440°C			metased. A Carpho NE Oman - Unités profondes			CETTE ETUDE
>8 kbar	<280°C			Ruwi melange (Region I)	metasediments	relations de phases ds metased. à Fe-Mg Carpholite	Goffe et al.(88)
5-8 kbar	260-380°C			unité Sahtan (N de Saih Hatat) - - souscharge Juras.	metasediments	relations de phases ds metased. à Fe-Mg Carpholite	Goffe et al.(88)
3,5-5 kbar	320-380°C			unité Permienne de Saïq (N de Qurayat)			Goffe et al.(88)
3-6 kbar	200-300°C			Region I - Melange de Ruwi	blocs metabasitiques		B-Shazly (94)
> 6,8 kbar	> 310°C			Region II - Shelf +			B-Shazly (94)
3-6 kbar	280-315°C			metavolcaniques inclus ds base			
< 8,9 kbar	315-400°C			Region I	pelites fines	reactions mtm	CETTE ETUDE
5,5-9 kbar	315-435°C		oui	Region II - Sahtan Formation		reactions mtm	CETTE ETUDE
				Region II - Saïq Formation permienne	P: isopleth Mcar = Sud+Qz et abs . Aragonite		CETTE ETUDE
					T transition Ktn-Prf		
					reactions mtm		CETTE ETUDE
6-9,5 kbar	375-435°C		oui	Region II - formations plus profondes			

Annexe E

(2/2)

Pression	Température	contexte	pic?	Unité	Nature des échantillons	Méthode utilisée	estimation de
El-Shazly (1994)							
3-6 kbar	250-300°C			NE Oman(metabasites à Amph.sodiq. Et pump.,Lws)	melange -region I	thermobar + grilles petro (modeles du syst. Basatique)	CETTE ETUDE
>6,8 kbar	>310°C			NE Oman(metabasites à Amph.sodiq. Et pump.,Lws)	unités de base -region II	thermobar + grilles petro (modeles du syst. Basatique)	CETTE ETUDE
255-340	300°C			Region I et II	roches mafiques	geothermomètres de Cathelineau (88)	CETTE ETUDE
<6,2 kbar				Region I	roches mafiques	modelé Holland (90)	CETTE ETUDE
<4 kbar				Region I	metabasites	geobaromètre de Brown (77)	CETTE ETUDE
<6,2 kbar				Region I	metabasites	geobaromètre de Maruyama et al (86)	CETTE ETUDE
5,2-6,5 kbar	<350°C			Region II	ech. Metabasaltiques	geobaromètre de Brown (77)	CETTE ETUDE
5,2-6,5 kbar	<350°C			Region II	ech. Metabasaltiques	geobaromètre de Maruyama et al (86)	CETTE ETUDE
3-4 kbar	250-270°C			Region I	NCM&SH	grilles petrogenétiques	CETTE ETUDE
>3,7 kbar	>265°C			Region II	metabasites	grilles petrogenétiques	CETTE ETUDE
3-4 kbar	250-270°C			Region I		grilles petrogenétiques NCMASH	CETTE ETUDE
Searle et al. (1994)							
4,5 kbar	800°C	BP-HT	non	Base de l'ophiolite du Semail	Amphibolites?	Geothermomètres	Searle et Malpas(80,82); Ghent & Stout(81)
8 kbar	270°C	HP-BT	oui	nappes de Muscat	Carpho-kaolinites	?	Goffé et al.(88)
11 kbar	400°C	HP-BT	oui	As Sifah	Eclogites	intersection Gt-cpx et Gr-Phg ech.Fe-Mg	Goffé et al.(88)
> 10,2 kbar	500-580°C	HP-BT	oui	As Sifah (Eclogites)	Jadeite a Pyr. ac Qz+abs. de Felds	Jadeite a Pyr. ac Qz+abs. de Felds	B-Shazly & Coleman(90); B-Shazly et al. (90)
> 20 kbar	500-540°C	HP-BT	oui	As Sifah (Eclogites)		thermo-barométrique	CETTE ETUDE
> 7,8 kbar	< 280°C	HP-BT	oui	Ruwi	Metapelites a carpho-kaol.	Fe carbo => Mg Carpho-hematite + kaol.	Goffé et al.(88)
> 7 kbar	< 280°C	HP-BT	oui	Wadi Mayh-Al Khurayn	Metapelites a carpho-kaol.	Kaol + Carpo	Chopin & Schreyer(83); Goffé et al.(88)
> 7 kbar	~ 320°C	HP-BT	oui	Wadi Mayh-Al Khurayn	Metapelites a carpho-kaol.	grille petro(carpho associé ac pyroph+Qz)	Vidal et al.(92)
13,7 kbar	393°C	HP-BT	oui	As Sifah (Eclogites)	Metabasites (eclo. A Gt M S6)	Si phg (Coeur Gr riche en Mn et Ca)	CETTE ETUDE
15 kbar	427°C	HP-BT	oui	As Sifah (Eclogites)	Metabasites (eclo. A Gt M S6)	Si phg (majeur partie de l'intérieur du Gt)	CETTE ETUDE
22 kbar	539°C	HP-BT	oui	As Sifah (Eclogites)	Metabasites (eclo. A Gt M S6)	Si phg (zones ext. du Gt avec cpx inclu)	CETTE ETUDE
23,1 kbar	543°C	HP-BT	oui	As Sifah (Eclogites)	Metabasites (eclo. A Gt M S6)	Composition bord du Gt	CETTE ETUDE
6,5 +/- 1,6 kbar	550 +/- 100	HP-BT	non	As Sifah (Eclogites)	Metabasites (eclo. A Gt M S6)	assoc retro de Ab+Crossite+Ep+Amph bleu-verte+faible Si Phg (Holland et Powell(90))	CETTE ETUDE
~ 8 kbar	400-420°C	HP-BT	non	As Sifah (Eclogites)	metapelites	Pseudom. dans cœur Gt à Pyrox.	CETTE ETUDE
4,5 kbar	> 300°C	HP-BT	oui	As Sifah	metapelites	radial cracking autour des inclusions Qz dans Gt	Wendt et al. (93)
~ 5 kbar	< 340°C	HP-BT	oui	Wadi Huw	metabasites	Équilibres mix (Holland et Powell (90))	CETTE ETUDE
Wendt et al.(1993)							
~10-20 kbar	450-600°C			As Sifah Eclogites			Goffé et al.(88); Wills et al.(91)
7-9 kbar	400-500°C			Hulu			Goffé et al.(88)
5-8 kbar	250-350°C			Sud As-Sifah,Ruwii,Yiti			Goffé et al.(88)
~12 kbar	600°C	HP-BT	oui	As Sifah Eclogites	metapelites a Fe-Mg carpho . Et Lws, ens. Aragonite et pyroph. Ou kaol.		B-Shazly & Coleman (90)
>20 kbar	600°C	HP-BT	oui	As Sifah Eclogites			Wills et al.(91)
4-5 kbar	> 300°C			As Sifah Eclogites	metapelites de la zone d'élogite de Sali Hatat	Radial cracks autour des inclusions de a-Qz dans Almandin	CETTE ETUDE
El-Shazly et Lapham (1992)							
3 kbars	280-300°C	non mtm		Sali Hatat (Region I)	melange de Ruwi	champs de stabilité des assemblages minéraux	B-Shazly & Coleman(90)
> 6,7 kbars	250-320°C	H-PT	oui	Sali Hatat (Region II)	metavolcanique mafique + pelites	Ilite et Carpo. Stables au lieu de Muso/Phg et Chd + Occurrence Mg-Carpholite	Hunziker et al.(86); Chopin & Schreyer (83)
4,5-5,5 kbar	<340°C			Sali Hatat (Region III - Zone A)		1ere apparition de Gt et Gln	B-Shazly et al. (90)
7-10 kbar	380-500°C			Sali Hatat (Region III - Zone B)	unité mafique	dvpt Gt + cpx	B-Shazly et al. (90)
>10 kbar	500-580°C			Sali Hatat (Region III - Zone C)	roches mafiques		B-Shazly et al. (90)
El-Shazly et al (1990)							
4,5-5,5 kbar	<340°C		oui	As Sifah S.B. Et eclogites (Zone A)	metabasites?	voir ci-dessous	CETTE ETUDE
>10,2-11,9	600-580°C		oui	As Sifah S.B. Et eclogites (Zone C)	metabasites?	voir ci-dessous	CETTE ETUDE
4,5-5,5 kbar	<340°C		oui	Wadi Hulw - Wadi Meeh	schistes a Crossite-Ep	Méthode de Maruyama et al (86) - P: 3 ech. Cr+Act+Ab+Ep+chl+qz ; T: Pmp+Ep+Ab+Phl+Chi (metavolcanique)	CETTE ETUDE
~8-15 kbar	~380-500°C		oui	Region III - Zone B	S.B. AGln	champs de stabilité - Thermocalc...	CETTE ETUDE
10 kbar	440-580°C			Region III - Zone C	Eclogite et mafique et pélitique S.B.	Geothermomètre de Ellis & Green (79)	CETTE ETUDE
10 kbar	600-620°C			Region III - Zone B et C	opx	thermometre Gr-Ph de Krogh & Rahlene (78)	CETTE ETUDE
9,6-11,6 kbar	440-580°C			Region III - Zone C	eclogites foliées a Gt non zoné	Équilibre Jd-Oz -Ab	CETTE ETUDE
	440-475°C	BT		ech. As-85		geothermometrie. Grt-Cpx	CETTE ETUDE
El-Shazly & Coleman(1990)							
< 6 kbar	775-865°C			ophiolites du Semail (Amphibolites)		Ech. Fe-Mg entre Gt et Cpx (Ellis et Green (79))	Ghent & Stout (81) + Searle & Malpas (80)
2 kbar	400°C			ophiolites du Semail (Amphibolites) S.V. Wadi Tayin		Jadeite a Cpxoo existe avec Plagio.	Ghent & Stout (81)
> 4 kbar	310-340°C			Wadi Tayin		Équilibre de phase	Ghent & Stout (81)
> 3 kbar				Region I (Ruwi- Quryat)		champ stabilité... (Thermocalc + Geocalc)	Maruyama et al.(86) CETTE ETUDE
> 7,5 kbar	310-340°C			Region I (metapelites de Ruwi)		transition Calcite aragonite (présence d'Aragonite)	CETTE ETUDE
> 5,5-6 kbar	250-400°C			Region II		Psce de magnésio-Carpholite	CETTE ETUDE
> 4-6 kbar				Region II- Wadi Aday		geobaromètre de Maruyama (86)	CETTE ETUDE
10 kbar	440-585°C			Region III (As Sifah Eclogites)		Gln+Ep= Gt+opx+paragonite	CETTE ETUDE
	500-585°C			Region III (As Sifah Eclogites)		et Gln+hd= Gt+paragonite	CETTE ETUDE
8-9,3 kbar	360-500°C			Region III (S.B. Zone B)		champ stabilité...	CETTE ETUDE
4,5-5,5 kbar	280°C			Region III (Zone A)	Schistes a Ep. Crossite	Maruyama et al.(86)	CETTE ETUDE
Le Metour et al (1990)							
~ 12-13 kbar	~ 500-540°C			Sali Hatat Eclogite a Glauophane	reactions petro		CETTE ETUDE
~ 4-7 kbar	~ 350-410°C			Sali Hatat transition S.V. S.B.	reactions petro		CETTE ETUDE
Goffé et al (1988)							
~8 kbar	<270°C		oui	Nappes de Muscat		champs de stabilités	CETTE ETUDE
~11 kbar	<400°C		oui	As Sifah		grille petrogenétique	CETTE ETUDE
<12 kbar	<600°C			Assemblages d'Oman...	metapelites	grille petrogenétique	CETTE ETUDE
>8 kbar	<280°C			Ruwi type	metapelites	grille petrogenétique	CETTE ETUDE
4-5 kbar	280-350			Ruwi type	metapelites	grille petrogenétique	CETTE ETUDE
6 kbar	>280°C			nappe de Yiti	metapelites	grille petrogenétique	CETTE ETUDE
8-10 kbar	450-500°C			Al Amarat	metapelites	grille petrogenétique	CETTE ETUDE
7-9 kbar	450-500°C			As Sifah (unités profondes)	metapelites	Si phg	CETTE ETUDE
11 kbar	380-400°C			unité intermédiaire (Hulu)	metapelites	Si phg	CETTE ETUDE
				As Sifah eclogites	Metabasites	grille petrogenétique	CETTE ETUDE
Lippard (1983)							
4-8 kbar	400-450°C		oui	pelites: (pres de Muscat), Ss nappe ophiolite du Semail S.B. D'oman (S.V. Glauophaniques)		Alm+Gln+Phg	CETTE ETUDE
4-8 kbar	400°C			Moreaux mtm sub-ophiolitiques	As Sifah phengites	Si phg +abs de Lws et stabilité Almandin	CETTE ETUDE
	750-850°C				roches de plus haut grade		Searle et Malpas (80); Ghent & Stout (81)

Annexe F

Minéraux observés par échantillon

Les tableaux suivants présentent une compilation de l'ensemble des minéraux observés en lame mince pour les quelques échantillons de Bruno Goffé étudiés (pages 15 à 16) mais aussi pour les lames (quand celle-ci ont été réalisées) des séries OM.05* (parfois notées m* dans le texte, pages 17 à 22) et OD.05* (parfois notées d*, pages 23 à 30) réalisées lors des deux missions de terrain en Oman.

Lames de Bruno Goffé

Lame	unité	type	Qtz	Cc	Phg	Prg	Chl	Fk	Ab	Car	Cld	Lws	Gln	Ep	Gt	Bt	Ky	Rt/Ilm	Sph	Tour	Ap	op	gr	Carb	MO	autres	R	S	D
912a	HULW		x		x		x		x?	x?	x(b)							x											
912b	HULW		x		x						x(r.)							x											
912c	HULW		x		x		?		?		x(psd)							x											
912d	HULW		x		x						x(b+r.)							x		x									
912e	HULW		x	x	x	x?	x											x									x		
912f	HULW		x		x		x		x				x	x															
912g	HULW		x		x						?(psd)							xx							x				
912h	HULW		x		x												x		x		x			x					
931a	HULW		x		x	x	x		x									x									x		
931b	HULW		x		x		x		x									x											
931c	HULW		x		x		(x)		x				x				x		x										
931d	HULW		x		x		(x)		x								x		x		x								
931e	HULW		x		x												x?								x				
931f	HULW		x						x																x				
933a	HULW		x		(x)				x				x				x		x						x				
933b	HULW		x	x	x		((x))	x?	x									x											
933c	HULW		x		x			x	x																				
933d	HULW		x		x			x	x								x							x					
935a	HULW		x		x	x	x		x	x			x		x		x?	x		x				± (kln)	x				
935b	HULW		x		(x)				x								x	x	x		x								
935c	HULW		x		(x)		x		x				x		x									px					
937a	HULW		x				xx						x		x		x		x										
937b	HULW		x				x						x		x		x		x										
937c	HULW		x				x		x				x		x		x		x										
937d	HULW		x		x		x						x		x		x		x										
937e	HULW					x							x		x		x		x						amph.				
937f	HULW		x		x	x	x		x	x			x		x		x		x		x			amph?	x				
937g	HULW		x		x	x	?						x		x		x		x					± (?)					

Lames de Bruno Goffé

17

Lames de la série OM.05* (notée également m*)

Lames de la série OM.05* (notée également m*)

Lames de la série OM.05 (notée également m*)*

Lame	unité	type	Qtz	Cc	Phg	Prg	Prl	Chl	Fk	Ab	Car	Cld	Lws	Gln	Ep	Gt	Bt	Ky	Rt/lm	Sph	Tour	Ap	ox	gr	Carb	MO	autres	R	S	D
OM-05-47-B-a-1			x					?			x												x							
OM-05-51-1			x		x			?				?																		
OM-05-53A2	HULW S		x		x					x													x		x					
OM-05-55-B2				x	x			x		x													x		?					
OM-05-56C1	HULW		x	x							?		psd																	
OM-05-56C2			x		(x)			(x)		x	??	ex											x	x						
OM-05-57Ad	HULW		x		x			(x)		x		psd?																		
OM-05-57B			x		x			x	x			psd																		
OM-05-58-A5		mb	x		x			x			?		?										x					x		
OM-05-58-B1		mb	x	x	x			x														x								
OM-05-58-D2		mb	x		x			x		x?			(x)	x								x								
OM-05-61-Ab3		mp	x	x	x		x			x?	ex?											x	x							
OM-05-61Ad4	HULW		x	x	x				x																psd?					
OM-05-62	HULW pres HSZ		(x)	x									x									x			px?					
OM-05-62B		mb	x	x	x				x?				x	x												pyr?				
OM-05-63-C1		mp	x		x			x																	?					
OM-05-65b	HULW		x		x		x	x?	x		psd		x	x																
OM-05-65c		mp	x		x		?	rempl	x																					
OM-05-66-2	HULW	mb	x		x			x							xxx														x	
OM-05-67Bg2	HULW		x	x	x			x		x			x	x																
OM-05-68-A3			x		x				x												x		?		x					
OM-05-68C2	HULW		x		x		x														x		x		x					
OM-05-69-B2			x		(x)			x	x	x			x	x							x									
OM-05-70.e.8	HULW	x	x		x																									
OM-05-70.e.11	HULW	x	x		x																x					x	x			
OM-05-70.e.13		x	x		x							ex									x		x							
OM-05-70-eta-2		x	x		x																(x)	x	x							
OM-05-70-eta-1		x	x		x		x						? (Ex:x)								x		x						x	x

Lames de la série OM.05* (notée également m*)

Lames de la série OM.05 (notée également m*)*

Lame	unité	type	Qtz	Cc	Phg	Prg	Prl	Chl	Fk	Ab	Car	Cld	Lws	Gln	Ep	Gt	Bt	Ky	Rt/lm	Sph	Tour	Ap	ox	gr	Carb	MO	autres	R	S	D	
OM-05-88-2	Diqdah/AsBS		x		x			x(ds Gt)	x?						x								x								
OM-05-88-4	Diqdah/AsBS		x		x			x(ds Gt)							x								x								
OM-05-90-A1			x	x	x			x			x?			x									x								
OM-05-91-A4			x	x	x			x		x													x					x	x		
OM-05-92A2	DIQDAH	mb	(x)	(x)				x		x				x	XXX								x	x			px?				
OM-05-94-alpha			x		x									Ex									x	x				x			
OM-05-95-a-d-4			x		x							x															x				
OM-05-95-B2		x	x		x																		x								
OM-05-95-d-alpha-2		x		x			x					x											x					x			
OM-05-95-d-alpha-4		x	x		x																		x								
OM-05-96-ag2		x	x		x		x																x	x							
OM-05-96-ag3		x	x		x																		x		?						
OM-05-96-ag6		x	x		x																		x	x							
OM-05-96-ae1		x	x		x		x																x								
OM-05-96bb3		x	x		x		?					x											x	x							
OM-05-96bb5	HULW	x	x		x		x					x																x			
OM-05-96bb8	HULW HSZ	x	x		x							x											x								
OM-05-96bd3	HULW HSZ	x	x		x		x				x			x												?					
OM-05-96bd5		x	x		x						x												x								
OM-05-97-a2		x	x		x																		x	x							
OM-05-97-db2		x	x		x		x																x	x		x	x				
OM-05-97-db4		x	x		x		?																x	x	x						
OM-05-97-de3		x	x		x																		x	x			x				
OM-05-97-de5		x	x		x		x																x	x			x				
OM-05-97dg5	HULW	x	x		x																			x				x	x		
OM-05-97dz2	HULW	x	x		x																		x		x			x			
OM-05-97dz4		x	x		x																		x	x	x			x			
OM-05-98-A2				x																			x	x			x				

Lames de la série OM.05 (notée également m*)*

Lame	unité	type	Qtz	Cc	Phg	Prg	Prl	Chl	Fk	Ab	Car	Cld	Lws	Gln	Ep	Gt	Bt	Ky	Rt/lm	Sph	Tour	Ap	ox	gr	Carb	MO	autres	R	S	D
OM-05-100A6	HULW	x	x		x																		x							
OM-05-100A7	HULW	x	x		x		x						x																x	
OM-05-100-B11		x	x		x																		x						x	
OM-05-100-B13		x	x		x		x						x									x								
OM-05-100-C-a-2		x	x		x		x							x? (Ex:x)									x		x			x	x	
OM-05-100-C-a-4		x	x		x		x															x								
OM-05-100C3	HULW HSZ	x	x		x																	x								
OM-05-101-a-2		x	x		x		x															x		x						
OM-05-101-b'1		x	x		x																	x							x	
OM-05-101-d6		x	x		x																									
OM-05-101-d7		x	x		x																									

Lames de la série OD.05 (notée également d*)*

Lame	N°	Ech	n°	unité	type	Qtz	Cc	Phg	Prg	Chl	Fk	Ab	Car	Cld	Lws	Gln	Ep	Gt	Bt	Ky	Rt/lm	Sph	Tour	Ap	ox	gr	Carb	MO	autres	R	S	D
OD.05.	1					x		(x)		x														x	x	?						
OD.05.	2	A	1																													
			2			x	x	x	(?)		x																					
		B																														
OD.05.	3	A			mp	x		x																		x						
		B	1			x		x																x	x		x	x				
			2																													
OD.05.	4	A				x	x																			x	x		x			
		B		HULW-W		x	x	x		x	x												x	x			x					
OD.05.	5		1		mp	x	x	x		x	x												x	x	?	Prl						
			2																													
OD.05.	6																															
OD.05.	7		1																													
			2																													
			3																													
OD.05.	8		1																					x	x	x		x				
			2	HULW-W				x	x	x													x	x	x			x				
OD.05.	9					x	x	x		?		x	?										x		(x)							
OD.05.	9bis		1																					x	x							
			2			x	x	x															x	x								
			3																													
OD.05.	10	A																						x	x	x		x				
		B				x		x															x	x	x		x					
OD.05.	11		1																					x					x			
			2	HULW-W				x		x		x				x							x					x		x		
OD.05.	12					x	x																x		x		x		x			

Lames de la série OD.05* (notée également d*)

Lames de la série OD.05* (notée également d*)

Lames de la série OD.05 (notée également d*)*

Lame	N°	Ech	n°	unité	type	Qtz	Cc	Phg	Prg	Chl	Fk	Ab	Car	Cld	Lws	Gln	Ep	Gt	Bt	Ky	Rt/lIm	Sph	Tour	Ap	ox	gr	Carb	MO	autres	R	S	D
OD.05.	37	A			mb	x		x		x							x								x				sph?Prl?			
		B	1																													
			2																													
		C																														
OD.05.	38	A				x																						?		x		
		B																														
		C	1																													
			2																													
OD.05.	39	A			mb	x		x		x		x					x								x			sph? AmphV?				
		B																														
OD.05.	40		1																													
			2			x		x		ox?														x	x		x		x			
OD.05.	41	A		Diqdah				x		x		x		ex		(x)				x				x					x			
		B																														
OD.05.	42	A	1	Diqdah	mp	x		x		x				psd										x					x			
			2																													
			3																													
		B	1																													
			2	Diqdah	mp	x		x		x				ex?										x			Prl		x			
OD.05.	43	A	1		mb	x				x														x			Prl?	AmphV?				
			2																					x								
		B	1		mp	x	x	x		x		?				x								x			?					
			2																					x								
		OD.05.	44		mp	x		x		x													x		x	x		x				

Lames de la série OD.05 (notée également d*)*

Lame	N°	Ech	n°	unité	type	Qtz	Cc	Phg	Prg	Chl	Fk	Ab	Car	Cld	Lws	Gln	Ep	Gt	Bt	Ky	Rt/lm	Sph	Tour	Ap	ox	gr	Carb	MO	autres	R	S	D
OD.05.	45	A	1	Diqdah-g	mb	x		x		x						x	x	x						x						x		
			2																													
			3																													
		B	1																													
			2		mb	x		x	(x)							x	x	x		x			x									
		C	1																													
			2																													
			3																													
OD.05.	46						x																			x	?		x			
OD.05.	47		1		mb				x							x	x	x		x			x			pyr? Sph?						
			2																													
			3																													
OD.05.	48					x		x		x														x		x		x				
OD.05.	49	A	1																													
			2																													
		B	1		mb	x			x							x	x	x		x			x									
			2																													
			3																													
		C																														
OD.05.	50						x																x		x		x					
OD.05.	51						x															x		x		x			x			
OD.05.	52						x															x		x		x			x			
OD.05.	53	A																					x		x		x			x		
		B					x															x		x		x			x			

Lames de la série OD.05* (notée également d*)

Lames de la série OD.05 (notée également d*)*

Lame	N°	Ech	n°	unité	type	Qtz	Cc	Phg	Prg	Chl	Fk	Ab	Car	Cld	Lws	Gln	Ep	Gt	Bt	Ky	Rt/lm	Sph	Tour	Ap	ox	gr	Carb	MO	autres	R	S	D
OD.05.	59	A	1																													
			2		mp	x		x		ox		x													x				inclusion?			
		B																														
		C	1																													
			2																													
		D	1		mp	x		x		x								(x)							x	x	x					
			2																													
		OD.05.	60	A	1	mb			x	x						x	x	x			x			x								
			2																													
			3																													
		B	1		mb	x		x								x	x	x			x			x				?				
			2																													
		C	1																													
			2																													
		D	1																													
			2																													
		OD.05.	61	A																												
		B	1	AS_BS			x	x	x		x							x										x	x			
			2																													
		C	1																													
			2																													
		OD.05.	62			mp	x		x															x			?					
		OD.05.	63			mp	x		x									(x)					x			psd? + ?						
		OD.05.	64	A																												
		B	1		mp	x	x	x	x		ox				psd									x								
			2																													
		OD.05.	65			mp	x	x	x		x		x				x						x									

Lames de la série OD.05 (notée également d*)*

Lame	N°	Ech	n°	unité	type	Qtz	Cc	Phg	Prg	Chl	Fk	Ab	Car	Cld	Lws	Gln	Ep	Gt	Bt	Ky	Rt/lm	Sph	Tour	Ap	ox	gr	Carb	MO	autres	R	S	D
OD.05.	66	A	1																													
			2		mb?	x		x		x			Ex?	Ex?			x							x								
			3																													
			4																													
		B	1																													
			2																													
			3																													
		C	1																													
			2																													
OD.05.	67	A																														
		B		HULW	mb			x		x	x					x	x															
		A	1		mp	x		x		x																x	x	?				
			2																													
OD.05.	68	B	1		x		x																			x	x	PrI	x			
			2																													
		B	1																													
			2																													
OD.05.	69	1																								x	x	x	PrI	x		
		2			x		x		?(zebrée)																x	x	x	baguettes?+ PrI	x			
OD.05.	70							x																		x	x	x				
																										x	x	x				
		A																														
		B			x		x			x	ex?	ex?													x	x	x		x			
OD.05.	71	C	1																													
			2																													
OD.05.	72				x	x	x																		x	x	x		x			
																										x	x	x				
OD.05.	73				mb	x		x		x	x					x								x			sph					
																										x						
OD.05.	74	A																														
		B			?	x	x	(x)		(?)			x		?									x								

Annexe G

Analyses ponctuelles pour nos échantillons et premiers traitements

Ci-après sont présentées les analyses brutes des minéraux en poids d'oxydes pour les analyses réalisées à la microsonde, en mode ponctuel. Ces analyses sont classées pour chaque lame par familles de minéraux. Seules les lames principales ayant servies à cette étude sont fournies.

Les analyses des chlorites et des phengites sont décrites plus en détails. Les premiers tris de validité de celles-ci sont présentés ainsi que les résultats de l'estimation de quantité de Fe^{3+} dans les chlorites.

LAME 935a (CHLORITES)

1) MON TRI

resultat Al>20	chl	-	-	-	-																					
resultat Al>19,5	chl																									
Minéral	chl																									
Echant.	935a																									
Analyse	h82	g7	h124	h66	h32	h123	h47	h26	h44	h122	h51	h83	h45	g6	g38	h89	g2	h92	h114	h77	h37	h128	h129	h74	h49	
SiO2	25,25	25,08	25,22	26,06	25,79	25,23	26,07	25,71	25,86	25,93	26,42	26,09	26,20	26,01	26,46	26,38	26,39	26,86	26,95	27,20	27,60	26,50	26,45	26,11	26,14	
TiO2	0,04	0,06	0,00	0,11	0,05	0,02	0,09	0,02	0,07	0,05	0,05	0,07	0,00	0,01	0,02	0,00	0,01	0,07	0,00	0,05	0,04	0,07	0,09	0,00	0,00	
Al2O3	22,95	22,57	22,78	23,02	22,15	22,32	22,72	21,96	21,86	21,87	21,66	21,75	22,06	21,71	21,46	21,27	21,61	21,42	21,56	21,02	21,30	21,14	21,23	20,27	20,94	
FeO	22,34	21,64	21,99	22,38	21,87	21,96	21,71	21,11	22,92	21,74	21,85	21,44	22,27	20,53	20,86	22,05	20,54	21,26	21,59	23,87	19,03	22,73	22,81	21,13	24,02	
MnO	0,17	0,10	0,08	0,11	0,06	0,17	0,14	0,05	0,01	0,06	0,00	0,12	0,01	0,07	0,03	0,09	0,12	0,00	0,17	0,02	0,08	0,02	0,12	0,05	0,07	
MgO	15,45	15,37	15,43	16,21	16,74	15,45	16,04	15,89	15,38	16,09	16,64	16,02	15,49	15,81	16,79	16,05	15,91	16,78	16,25	15,45	17,33	17,26	16,59	15,70	17,40	
CaO	0,01	0,02	0,04	0,04	0,00	0,01	0,01	0,06	0,05	0,04	0,04	0,00	0,00	0,04	0,05	0,02	0,01	0,04	0,05	0,01	0,09	0,06	0,03	0,00	0,02	
Na2O	0,00	0,01	0,03	0,00	0,01	0,00	0,04	0,02	0,00	0,00	0,02	0,00	0,01	0,03	0,09	0,02	0,02	0,04	0,00	0,03	0,07	0,06	0,11	0,00	0,01	
K2O	0,01	0,07	0,01	0,00	0,04	0,02	0,00	0,04	0,04	0,02	0,00	0,04	0,00	0,00	0,05	0,03	0,05	0,03	0,00	0,02	0,05	0,04	0,07	0,04	0,04	
Cr2O3																										
S	86,22	84,91	85,57	87,94	86,71	85,18	86,82	84,86	86,17	85,80	86,67	85,53	86,05	84,21	85,81	85,90	84,73	86,43	86,57	87,69	85,55	87,86	87,44	85,06	85,87	85,68

Formule structurelles

2) TESTS (Vidal et Parra, 2000)

LAME 935a (CHLORITES suite)**1) MON TRI**

resultat Al>20 resultat Al>19,5	chl																									
	chl																									
Minéral	chl																									
Echant.	935a																									
Analyse	h52	g28	h36	h79	h90	h23	h94	h22	h24	h20	h21	h53	h67	h33	h50	h18	h59	h19	h54	h71	h17					
SiO2	26,48	26,26	26,48	25,96	26,23	26,75	26,62	26,86	26,79	26,45	26,92	27,05	27,00	26,62	26,82	26,57	27,07	26,98	26,94	26,99	27,16					
TiO2	0,03	0,03	0,01	0,04	0,04	0,03	0,06	0,07	0,14	0,03	0,07	0,01	0,07	0,07	0,02	0,05	0,01	0,00	0,10	0,00	0,00					
Al2O3	20,81	20,94	20,60	19,99	20,73	20,23	20,70	20,36	19,98	20,11	20,70	20,65	20,91	20,21	20,42	20,53	20,34	19,77	20,33	20,63	20,74					
FeO	22,21	21,62	21,93	25,14	22,68	21,89	21,80	22,21	22,26	21,61	21,98	21,80	21,37	21,98	21,71	21,04	21,89	21,93	21,42	20,57	20,42					
MnO	0,05	0,10	0,20	0,20	0,03	0,00	0,08	0,01	0,13	0,00	0,08	0,05	0,16	0,14	0,03	0,10	0,08	0,05	0,11	0,04	0,12					
MgO	16,89	16,42	16,94	14,73	16,07	17,54	16,66	17,06	17,22	16,54	16,59	17,04	16,62	16,15	16,43	15,88	16,66	16,86	16,36	16,49	16,42					
CaO	0,02	0,06	0,00	0,00	0,06	0,05	0,04	0,03	0,04	0,04	0,05	0,00	0,01	0,03	0,00	0,06	0,00	0,05	0,06	0,10	0,03					
Na2O	0,01	0,06	0,00	0,01	0,00	0,05	0,00	0,04	0,07	0,03	0,02	0,01	0,05	0,03	0,07	0,04	0,02	0,06	0,00	0,12	0,09					
K2O	0,02	0,05	0,00	0,04	0,00	0,02	0,03	0,03	0,02	0,03	0,04	0,03	0,04	0,02	0,01	0,10	0,00	0,04	0,05	0,00	0,09					
Cr2O3																										
Σ	86,51	85,52	86,15	86,10	85,83	86,56	85,98	86,66	86,65	84,85	86,45	86,65	86,19	85,27	85,46	84,31	86,19	85,61	85,41	84,86	85,03	84,49	85,53	85,52	84,66	84,74

Formule structurale

Si	2,77	2,78	2,78	2,78	2,78	2,80	2,80	2,81	2,81	2,82	2,82	2,82	2,83	2,83	2,84	2,84	2,85	2,85	2,85	2,86	2,86	2,88	2,73	2,83		
XMg	0,57	0,57	0,58	0,51	0,56	0,59	0,58	0,58	0,58	0,58	0,57	0,57	0,58	0,57	0,57	0,57	0,58	0,58	0,59	0,59	0,61	0,58	0,55	0,57	0,61	
Ti	0,00	0,00	0,00	0,00	0,00	0,00	0,00	0,01	0,01	0,00	0,01	0,00	0,01	0,00	0,00	0,00	0,00	0,00	0,00	0,00	0,00	0,00	0,00	0,00	0,05	
Al	2,57	2,61	2,55	2,53	2,59	2,49	2,57	2,51	2,47	2,53	2,55	2,54	2,58	2,53	2,54	2,59	2,51	2,46	2,53	2,57	2,58	2,56	2,52	2,63	2,59	2,50
Fetot	1,95	1,91	1,93	2,26	2,01	1,91	1,92	1,94	1,95	1,93	1,92	1,90	1,87	1,95	1,92	1,88	1,92	1,94	1,89	1,82	1,80	1,72	1,85	2,03	1,96	1,73
Mn	0,00	0,01	0,02	0,02	0,00	0,01	0,00	0,01	0,00	0,01	0,00	0,01	0,01	0,00	0,01	0,00	0,01	0,00	0,01	0,00	0,01	0,00	0,01	0,00	0,00	
Mg	2,64	2,59	2,65	2,36	2,54	2,73	2,61	2,66	2,69	2,63	2,59	2,65	2,59	2,56	2,59	2,53	2,61	2,66	2,58	2,60	2,58	2,69	2,60	2,52	2,65	2,74
Ca	0,00	0,01	0,00	0,00	0,01	0,01	0,00	0,00	0,00	0,00	0,01	0,00	0,00	0,00	0,01	0,00	0,01	0,00	0,01	0,00	0,00	0,01	0,00	0,00	0,00	
Na	0,00	0,01	0,00	0,00	0,00	0,01	0,00	0,01	0,01	0,01	0,00	0,00	0,01	0,00	0,01	0,01	0,00	0,01	0,00	0,02	0,00	0,03	0,02	0,01	0,01	
K	0,00	0,01	0,00	0,00	0,00	0,00	0,00	0,00	0,00	0,00	0,01	0,00	0,00	0,00	0,00	0,00	0,01	0,00	0,01	0,00	0,01	0,00	0,01	0,00	0,00	
Charge +	28,00	28,00	28,00	28,00	28,00	28,00	28,00	28,00	28,00	28,00	28,00	28,00	28,00	28,00	28,00	28,00	28,00	28,00	28,00	28,00	28,00	28,00	28,00	28,00		
AlIV	1,22	1,22	1,21	1,21	1,22	1,20	1,20	1,19	1,18	1,18	1,18	1,17	1,17	1,16	1,16	1,16	1,15	1,15	1,15	1,14	1,14	1,12	1,27	1,26	1,12	
AlVI	1,35	1,39	1,34	1,32	1,37	1,29	1,32	1,29	1,35	1,37	1,36	1,41	1,37	1,38	1,43	1,36	1,31	1,39	1,43	1,44	1,42	1,40	1,37	1,33	1,38	
Σ ox	0,00	0,02	0,00	0,01	0,00	0,01	0,00	0,02	0,01	0,01	0,01	0,01	0,02	0,00	0,02	0,01	0,03	0,02	0,00	0,05	0,02	0,01	0,00	0,01	0,01	
Σ oxy	5,93	5,90	5,94	5,94	5,92	5,94	5,91	5,92	5,94	5,90	5,89	5,91	5,88	5,89	5,85	5,89	5,92	5,87	5,85	5,83	5,84	5,86	5,93	5,95	5,86	
Na/Na+K	0,41	0,63		0,23		0,79	0,00	0,65	0,82	0,58	0,45	0,27	0,77	0,84	0,89	0,36	1,00	0,72	0,07	0,78	0,74	1,00	0,73	0,67	0,63	0,63

2) TESTS (Vidal et Parra, 2000)

ok	ok	ok	ok	ok	ok	ok	ok	ok	ok	ok	ok	ok	ok	ok	ok	ok	ok	ok	ok	ok	ok	ok	ok	ok	ok	
3) Fe3+:																										
Analyse	h52	g28	h36	h79	h90	h23	h94	h22	h24	h20	h21	h53	h67	h33	h50	h18	h59	h19	h54	h71	h17	h30	h72	g33	g34	h115
10 kbar	h52	g28	h36	h79	h90	h23	h94	h22	h24	h20	h21	h53	h67	h33	h50	h18	h59	h19	h54	h71	h17	h30	h72	g33	g34	h115
average T (all reactions)	303,80	296,72	305,06	303,93	296,55	295,68	283,75	283,25	291,21	272,11	272,45	275,94	267,01	267,68	260,76	252,03	262,11	263,23	253,46	245,40	238,14	241,85	233,51	330,34	336,76	
sigma	0,23	1,67	1,13	3,35	1,77	0,71	0,96	2,91	2,18	2,60	0,79	0,00	3,03	0,64	2,18	0,58	0,00	3,87	0,45	1,15	2,50	1,23	0,64	0,61	0,96	
av.T (reactions 1,2,3)	303,86	297,50	305,55	305,58	295,74	295,35	283,29	281,85	290,15	270,83	272,83	275,94	265,57	268,00	261,84	251,74	262,11	265,14	253,64	249,98	239,38	241,24	233,20	330,03	336,29	
sigma	0,23	0,72	0,70	0,72	0,86	0,30	0,25	0,94	0,67	0,59	0,30	0,00	1,15	0,00	0,27	0,00	0,00	0,80	0,31	0,00	0,54	0,21	0,17	0,06	0,25	
XFe3+	0,33	0,33	0,34	0,31	0,31	0,39	0,35	0,38	0,40	0,38	0,37	0,38	0,36	0,38	0,38	0,37	0,40	0,42	0,40	0,39	0,41	0,43	0,41	0,28	0,29	

N° Analyse	h52	g28	h36	h79	h90	h23	h94	h22	h24	h20	h21	h53	h67	h33	h50	h18	h59	h19	h54	h71	h17	h30	h72	g33	g34
Si																									

LAME 935a (PHENGITES)

1) MON TRI

resultat	phg	phg																							
Minéral	mu	mu																							
Echant.	935a																								
Analyse	h6	h76	h127	h46	h99	h4	g37	h125	h78	h80	h58	h98	g31	g36	h48	h5	h43	h56	h81	h87	g8	g11	h93	g24	935a
SiO2	45,98	46,37	47,07	47,26	46,35	46,49	47,52	47,51	47,26	47,73	47,63	47,55	48,00	47,71	48,49	49,14	49,67	48,75	48,86	49,28	48,73	49,43	49,11	49,02	
TiO2	0,00	0,11	0,12	0,09	0,09	0,13	0,08	0,17	0,09	0,20	0,03	0,12	0,14	0,12	0,12	0,13	0,08	0,08	0,18	0,10	0,15	0,16	0,28	0,05	
Al2O3	33,49	32,22	32,83	32,76	32,27	31,36	31,81	31,22	30,64	30,23	29,50	29,63	29,50	28,35	28,63	28,02	29,05	27,48	27,33	27,72	27,28	27,47	27,15	27,47	
FeO	2,16	3,15	2,89	2,37	2,27	2,86	3,29	3,13	3,64	3,30	3,71	3,77	3,98	4,00	3,75	3,42	3,78	4,12	4,86	4,16	4,37	3,65	4,62	3,73	
MnO	0,01	0,04	0,00	0,05	0,03	0,04	0,04	0,04	0,04	0,06	0,00	0,00	0,00	0,00	0,12	0,00	0,01	0,00	0,00	0,02	0,00	0,06	0,02	0,03	
MgO	0,93	1,28	1,51	1,36	1,34	1,38	1,85	1,76	1,53	1,90	2,20	1,83	2,09	2,47	2,48	2,56	2,45	2,57	2,01	2,57	2,05	2,68	2,29	2,45	
CaO	0,00	0,00	0,00	0,00	0,09	0,03	0,06	0,00	0,04	0,01	0,01	0,04	0,02	0,01	0,00	0,05	0,00	0,00	0,02	0,03	0,00	0,00	0,00	0,01	
Na2O	0,92	0,66	0,50	0,78	0,60	0,69	0,59	0,62	0,57	0,52	0,59	0,43	0,47	0,35	0,44	0,31	0,19	0,31	0,34	0,46	0,29	0,40	0,23	0,28	
K2O	9,48	9,58	9,89	9,81	9,29	10,00	8,69	10,19	9,85	10,06	9,90	9,87	9,97	9,23	10,42	10,21	8,27	9,95	10,57	9,81	10,13	10,30	10,31	10,13	
Σ	92,96	93,40	94,82	94,46	92,32	92,98	93,93	94,65	93,65	94,01	93,56	93,25	94,17	92,23	94,45	93,83	93,50	93,25	94,15	94,16	92,99	94,13	94,01	93,15	

Formule structurale

Atomic structure	Si	3,14	3,16	3,16	3,18	3,18	3,19	3,20	3,21	3,23	3,25	3,26	3,26	3,27	3,30	3,30	3,35	3,35	3,35	3,35	3,35	3,36	3,36	3,36	3,37
	X Mg	0,43	0,42	0,48	0,50	0,51	0,46	0,50	0,50	0,43	0,50	0,51	0,46	0,48	0,52	0,53	0,57	0,54	0,53	0,42	0,52	0,46	0,56	0,47	0,54
Ti	0,00	0,01	0,01	0,00	0,00	0,01	0,00	0,01	0,00	0,01	0,01	0,00	0,01	0,01	0,01	0,01	0,01	0,00	0,00	0,01	0,01	0,01	0,01	0,01	0,00
Al	2,69	2,59	2,60	2,60	2,61	2,54	2,53	2,49	2,47	2,42	2,38	2,40	2,37	2,31	2,29	2,25	2,31	2,22	2,21	2,22	2,22	2,20	2,19	2,22	2,22
Fetot	0,12	0,18	0,16	0,13	0,13	0,16	0,19	0,18	0,21	0,19	0,21	0,22	0,23	0,23	0,21	0,19	0,21	0,24	0,28	0,24	0,25	0,21	0,26	0,21	0,21
Mn	0,00	0,00	0,00	0,00	0,00	0,00	0,00	0,00	0,00	0,00	0,00	0,00	0,00	0,00	0,01	0,00	0,00	0,00	0,00	0,00	0,00	0,00	0,00	0,00	0,00
Mg	0,09	0,13	0,15	0,14	0,14	0,14	0,19	0,18	0,16	0,19	0,22	0,19	0,21	0,25	0,25	0,26	0,25	0,26	0,21	0,26	0,21	0,27	0,23	0,25	0,25
Ca	0,00	0,00	0,00	0,00	0,01	0,00	0,00	0,00	0,00	0,00	0,00	0,00	0,00	0,00	0,00	0,00	0,00	0,00	0,00	0,00	0,00	0,00	0,00	0,00	0,00
Na	0,12	0,09	0,07	0,10	0,08	0,09	0,08	0,07	0,07	0,08	0,06	0,06	0,06	0,05	0,06	0,04	0,03	0,04	0,04	0,06	0,04	0,05	0,03	0,04	0,04
K	0,82	0,83	0,85	0,84	0,81	0,88	0,75	0,88	0,86	0,87	0,86	0,86	0,87	0,81	0,90	0,89	0,71	0,87	0,92	0,85	0,89	0,89	0,90	0,89	0,89
Charge +	22,00	22,00	22,00	22,00	22,00	22,00	22,00	22,00	22,00	22,00	22,00	22,00	22,00	22,00	22,00	22,00	22,00	22,00	22,00	22,00	22,00	22,00	22,00	22,00	22,00
Al IV	0,86	0,83	0,83	0,82	0,82	0,80	0,79	0,78	0,77	0,74	0,74	0,73	0,73	0,69	0,70	0,65	0,65	0,65	0,64	0,64	0,63	0,62	0,63	0,62	0,63
Al VI	1,83	1,76	1,76	1,78	1,79	1,74	1,74	1,70	1,70	1,68	1,64	1,67	1,64	1,62	1,60	1,66	1,58	1,57	1,58	1,59	1,57	1,57	1,57	1,57	1,59
$\Sigma \alpha_{\lambda}$	0,95	0,92	0,91	0,94	0,89	0,97	0,82	0,96	0,93	0,94	0,94	0,92	0,93	0,86	0,96	0,93	0,74	0,91	0,97	0,91	0,93	0,95	0,93	0,92	0,93
$\Sigma \sigma_{\text{tot}}$	2,05	2,07	2,08	2,05	2,06	2,05	2,11	2,06	2,07	2,06	2,08	2,07	2,08	2,10	2,07	2,06	2,12	2,08	2,05	2,05	2,06	2,06	2,06	2,06	2,06
No/Na+K	0,13	0,09	0,07	0,11	0,09	0,10	0,09	0,08	0,08	0,07	0,08	0,06	0,07	0,05	0,06	0,04	0,03	0,04	0,05	0,07	0,04	0,06	0,03	0,04	0,04

2) TESTS (Vidal et Parra, 2000)

LAME 935a (PHENGITES suite)

1) MON TRI

resultat	phg	phg	phg	phg	phg																				
Minéral	mu	mu	mu	mu	mu																				
Echant.	935a	935a	935a	935a																					
Analyse	b39	b75	b117	b118	b119	b121	b27	b40	b57	b91	b41	b116	b120	b95	b88	b16	b42	b97	b126	b96	b40				
SiO2	49,10	49,75	48,45	48,53	49,18	49,12	50,10	49,30	48,88	49,89	49,84	49,78	48,92	49,71	50,30	50,55	49,81	51,24	50,76	51,63	49,06				
TiO2	0,11	0,10	0,15	0,14	0,20	0,12	0,02	0,12	0,10	0,19	0,09	0,16	0,22	0,03	0,11	0,07	0,11	0,12	0,04	0,02	0,04				
Al2O3	27,20	27,34	26,08	26,55	26,75	26,71	28,32	27,29	26,51	27,19	27,15	26,74	26,45	26,84	27,30	26,66	26,38	27,19	26,75	26,27	26,59				
FeO	4,05	3,90	4,58	3,58	4,04	4,46	3,41	4,28	4,28	4,32	3,63	4,06	3,77	3,76	4,33	3,55	3,15	2,86	2,35	3,17	3,98				
MnO	0,00	0,00	0,00	0,00	0,04	0,01	0,00	0,00	0,09	0,00	0,16	0,05	0,00	0,01	0,10	0,00	0,00	0,08	0,00	0,00	0,16				
MgO	2,48	2,87	2,87	2,85	2,75	2,76	2,50	2,31	2,72	2,48	2,81	2,95	2,70	2,49	2,45	2,89	2,92	3,18	3,40	3,16	2,16				
CaO	0,00	0,03	0,00	0,03	0,00	0,00	0,00	0,00	0,00	0,02	0,02	0,01	0,00	0,00	0,00	0,01	0,00	0,04	0,05	0,04	0,10				
Na2O	0,28	0,30	0,36	0,35	0,32	0,42	0,21	0,14	0,36	0,21	0,19	0,23	0,28	0,21	0,18	0,36	0,18	0,09	0,18	0,26					
K2O	10,32	10,31	10,30	10,09	10,34	10,20	9,01	10,19	10,04	10,46	10,20	10,31	10,27	10,39	10,19	10,21	10,45	10,04	10,36	10,23	9,76				
Σ	93,54	94,58	92,79	92,13	93,63	93,79	93,57	93,63	92,97	94,76	94,08	94,28	92,61	93,45	94,96	94,29	92,98	94,85	93,86	94,71	92,11				

Formule structurale

Si	3,37	3,37	3,37	3,37	3,37	3,37	3,38	3,38	3,38	3,38	3,39	3,39	3,39	3,40	3,39	3,42	3,42	3,43	3,43	3,47	3,41
X Mg	0,52	0,57	0,53	0,59	0,55	0,52	0,57	0,49	0,53	0,51	0,57	0,56	0,56	0,54	0,50	0,59	0,62	0,66	0,72	0,64	0,48
Ti	0,01	0,01	0,01	0,01	0,01	0,01	0,00	0,01	0,01	0,01	0,00	0,01	0,00	0,01	0,00	0,01	0,00	0,01	0,00	0,00	0,00
Al	2,20	2,18	2,14	2,18	2,16	2,16	2,26	2,20	2,16	2,17	2,17	2,14	2,16	2,17	2,17	2,13	2,13	2,14	2,13	2,08	2,18
Fetot	0,23	0,22	0,27	0,21	0,23	0,26	0,19	0,24	0,25	0,24	0,21	0,23	0,22	0,22	0,24	0,20	0,18	0,16	0,13	0,18	0,23
Mn	0,00	0,00	0,00	0,00	0,00	0,00	0,00	0,00	0,01	0,00	0,01	0,00	0,00	0,00	0,01	0,00	0,00	0,00	0,00	0,00	0,01
Mg	0,25	0,29	0,30	0,30	0,28	0,28	0,25	0,24	0,28	0,25	0,28	0,30	0,28	0,25	0,25	0,29	0,30	0,32	0,34	0,32	0,22
Ca	0,00	0,00	0,00	0,00	0,00	0,00	0,00	0,00	0,00	0,00	0,00	0,00	0,00	0,00	0,00	0,00	0,00	0,00	0,00	0,00	0,01
Na	0,04	0,04	0,05	0,05	0,04	0,06	0,03	0,02	0,05	0,03	0,02	0,03	0,04	0,03	0,02	0,05	0,02	0,01	0,02	0,02	0,03
K	0,90	0,89	0,91	0,89	0,90	0,89	0,78	0,89	0,88	0,90	0,88	0,89	0,91	0,91	0,88	0,88	0,91	0,86	0,89	0,88	0,86
Charge +	22,00	22,00	22,00	22,00	22,00	22,00	22,00	22,00	22,00	22,00	22,00	22,00	22,00	22,00	22,00	22,00	22,00	22,00	22,00	22,00	22,00
Al IV	0,63	0,63	0,62	0,62	0,62	0,63	0,61	0,62	0,62	0,61	0,61	0,61	0,60	0,59	0,60	0,57	0,58	0,57	0,57	0,53	0,59
Al VI	1,57	1,56	1,51	1,56	1,55	1,53	1,64	1,58	1,54	1,56	1,57	1,54	1,55	1,57	1,57	1,55	1,56	1,58	1,56	1,55	1,58
Σox	0,94	0,93	0,96	0,94	0,95	0,95	0,80	0,91	0,93	0,93	0,91	0,92	0,94	0,94	0,90	0,93	0,94	0,87	0,92	0,90	0,90
Σoxr	2,06	2,07	2,08	2,06	2,06	2,07	2,09	2,06	2,07	2,06	2,07	2,07	2,05	2,04	2,07	2,05	2,04	2,06	2,04	2,04	2,05
Na/Non-X	0,04	0,04	0,05	0,05	0,05	0,06	0,03	0,02	0,05	0,03	0,03	0,04	0,03	0,03	0,02	0,03	0,05	0,02	0,01	0,03	0,04

2) TESTS (Vidal et Parra, 2000)

ok OUT

LAME OM-05-935a (AUTRES)

Minéral	ep	prg	prg	prg	Kln	Kln	Kln	Kln	Kln																
Echant.	935a																								
Analyse	g19	g9	h104	g10	g18	h107	g1	h101	h106	g17	h70	h103	g3	g20	h112	h100	h38	h10	g23	h65	h62	h60	h63	h61	
SiO ₂	36,23	36,96	37,60	37,01	37,55	37,01	36,66	38,04	37,08	37,31	37,30	37,82	37,86	37,80	38,25	37,52	38,67	47,14	48,14	48,29	47,82	49,00	49,03	50,68	49,07
TiO ₂	0,00	0,01	0,04	0,00	0,06	0,03	0,04	0,09	0,07	0,04	0,09	0,04	0,03	0,00	0,00	0,00	0,03	0,07	0,03	0,14	0,36	0,08	0,33	0,19	
Al ₂ O ₃	23,50	24,06	24,76	23,88	24,14	23,79	23,13	24,25	23,57	23,66	23,88	23,89	23,52	26,61	24,34	23,26	23,71	38,28	38,29	36,97	38,71	36,97	36,76	30,82	29,61
FeO	11,39	11,20	10,96	11,53	11,60	11,25	11,84	11,54	11,65	11,29	11,21	11,52	12,28	8,23	11,17	11,43	11,83	1,01	0,68	1,16	0,67	0,50	0,63	1,77	1,45
MnO	0,12	0,13	0,22	0,14	0,18	0,23	0,20	0,05	0,14	0,23	0,17	0,12	0,10	0,15	0,08	0,06	0,00	0,04	0,00	0,00	0,00	0,00	0,07	0,01	
MgO	0,03	0,02	0,03	0,04	0,02	0,00	0,02	0,01	0,02	0,00	0,00	0,02	0,02	0,23	0,01	0,02	0,01	0,38	0,36	0,66	0,28	0,76	0,93	1,91	1,97
CaO	22,28	22,48	22,59	21,92	22,55	22,47	21,90	22,97	22,33	22,20	22,04	22,69	22,42	18,57	22,61	22,22	22,59	0,08	0,08	0,00	0,08	0,05	0,04	0,14	0,12
Na ₂ O	0,01	0,00	0,00	0,03	0,01	0,00	0,00	0,02	0,01	0,01	0,03	0,04	0,01	1,30	0,01	0,00	0,01	6,65	6,26	5,37	0,07	0,01	0,01	0,07	0,05
K ₂ O	0,01	0,00	0,03	0,00	0,01	0,00	0,01	0,00	0,00	0,00	0,00	0,02	0,04	0,15	0,01	0,00	0,00	1,31	1,43	2,23	0,93	0,12	0,09	0,33	0,32
Σ	93,57	94,86	96,23	94,55	96,12	94,78	93,79	96,97	94,86	94,72	94,72	96,16	96,27	93,03	96,48	94,51	96,91	94,91	95,30	94,73	88,69	87,78	87,56	86,11	82,77
Formule structurale																									
Si	3,07	3,08	3,08	3,09	3,09	3,09	3,10	3,10	3,10	3,11	3,11	3,11	3,12	3,12	3,12	3,13	3,15	3,04	3,07	3,11	2,88	2,96	2,97	3,14	3,16
XMg	0,00	0,00	0,00	0,01	0,00	0,00	0,00	0,00	0,00	0,00	0,00	0,00	0,00	0,05	0,00	0,00	0,00	0,40	0,49	0,50	0,43	0,73	0,72	0,65	0,71
Ti	0,00	0,00	0,00	0,00	0,00	0,00	0,00	0,01	0,00	0,00	0,01	0,00	0,00	0,00	0,00	0,00	0,01	0,00	0,00	0,00	0,01	0,02	0,00	0,01	
Al	2,35	2,36	2,39	2,35	2,34	2,34	2,30	2,33	2,32	2,32	2,34	2,31	2,28	2,59	2,34	2,29	2,28	2,91	2,88	2,81	2,75	2,63	2,62	2,25	2,25
Fetot	0,81	0,78	0,75	0,81	0,80	0,78	0,84	0,79	0,81	0,79	0,78	0,79	0,85	0,57	0,76	0,80	0,81	0,05	0,04	0,06	0,03	0,03	0,03	0,09	0,08
Mn	0,01	0,01	0,02	0,01	0,01	0,02	0,01	0,00	0,01	0,02	0,01	0,01	0,01	0,01	0,01	0,01	0,00	0,00	0,00	0,00	0,00	0,00	0,00	0,00	
Mg	0,00	0,00	0,00	0,01	0,00	0,00	0,00	0,00	0,00	0,00	0,00	0,00	0,00	0,03	0,00	0,00	0,00	0,04	0,03	0,06	0,03	0,07	0,08	0,18	0,19
Ca	2,02	2,01	1,98	1,96	1,99	2,01	1,98	2,01	2,00	1,98	1,97	2,00	1,98	1,64	1,98	1,99	1,97	0,01	0,01	0,00	0,01	0,00	0,00	0,01	0,01
Na	0,00	0,00	0,00	0,00	0,00	0,00	0,00	0,00	0,00	0,00	0,00	0,01	0,00	0,21	0,00	0,00	0,00	0,83	0,78	0,67	0,01	0,00	0,00	0,01	0,01
K	0,00	0,00	0,00	0,00	0,00	0,00	0,00	0,00	0,00	0,00	0,00	0,00	0,02	0,00	0,00	0,00	0,00	0,11	0,12	0,18	0,07	0,01	0,01	0,03	0,03
Charge +	25,00	25,00	25,00	25,00	25,00	25,00	25,00	25,00	25,00	25,00	25,00	25,00	25,00	25,00	25,00	25,00	22,00	22,00	22,00	20,00	20,00	20,00	20,00	20,00	
Al IV	0,93	0,92	0,92	0,91	0,91	0,91	0,90	0,89	0,90	0,89	0,89	0,89	0,88	0,88	0,88	0,87	0,85	0,96	0,92	0,88	1,11	1,02	1,03	0,84	0,83
Al VI	1,42	1,44	1,47	1,45	1,43	1,43	1,41	1,43	1,42	1,44	1,46	1,43	1,40	1,72	1,46	1,43	1,43	1,94	1,96	1,93	1,64	1,61	1,59	1,41	1,42
Σ oxz.	0,00	0,00	0,00	0,00	0,00	0,00	0,00	0,00	0,00	0,00	0,00	0,01	0,01	0,23	0,00	0,00	0,00	0,94	0,89	0,86	0,08	0,01	0,01	0,03	0,03
Σ oxy.	2,23	2,23	2,24	2,27	2,25	2,23	2,26	2,22	2,24	2,24	2,25	2,23	2,26	2,32	2,23	2,23	2,24	2,04	2,03	2,05	1,69	1,70	1,71	1,69	1,68
Na/Na+K	0,66	0,00	0,00	1,00	0,60	1,00	0,00	1,00	1,00	1,00	1,00	0,71	0,20	0,93	0,52	1,00	1,00	0,89	0,87	0,79	0,11	0,12	0,08	0,24	0,19

LAME OM-05-935a (AUTRES suite)

Minéral	Ab	Ab	Ab	Ab	Ab	Ab	Ab	Ab	Ab	Ab	Ab	apatite	apatite	apatite	Rt
Echant.	935a	935a	935a	935a	935a	935a	935a	935a	935a	935a	935a	935a	935a	935a	935a
Analyse	h35	h15	h25	h28	h29	h34	h105	g5	g21	h69	h109	h111	g39	h1	h2
SiO ₂	65,91	69,10	69,48	68,78	67,91	68,19	69,55	69,76	69,17	70,73	69,24	76,07	0,03	0,04	0,05
TiO ₂	0,01	0,08	0,00	0,01	0,07	0,03	0,02	0,00	0,04	0,01	0,00	0,00	0,07	0,00	0,00
Al ₂ O ₃	19,19	19,97	19,73	19,80	19,32	19,61	19,96	19,78	19,70	20,32	19,72	16,74	0,01	0,00	0,00
FeO	0,28	0,06	0,34	0,08	0,06	0,10	0,04	0,09	0,06	0,10	0,00	0,04	0,19	0,83	1,03
MnO	0,02	0,00	0,00	0,00	0,00	0,00	0,01	0,10	0,00	0,03	0,00	0,02	0,03	0,22	0,31
MgO	0,04	0,00	0,02	0,00	0,00	0,01	0,00	0,01	0,00	0,00	0,00	0,00	0,00	0,13	0,15
CaO	0,41	0,10	0,13	0,00	0,08	0,13	0,02	0,10	0,03	0,06	0,03	0,06	53,56	39,28	46,88
Na ₂ O	12,43	11,71	11,97	11,81	12,00	11,71	11,67	11,63	11,52	11,26	11,62	10,20	0,14	0,23	0,32
K ₂ O	0,00	0,05	0,01	0,08	0,01	0,00	0,00	0,01	0,01	0,01	0,03	0,04	0,03	0,01	0,01
Σ	98,29	101,08	101,68	100,57	99,44	99,79	101,26	101,49	100,54	102,52	100,64	103,16	54,05	40,75	48,74
<hr/>													54,05	40,75	48,74
<hr/>													54,05	40,75	48,74
<hr/>													96,65		
<hr/>													96,65		
<hr/>															
Formule structurale															
Si	2,95	2,99	2,99	2,99	2,99	2,99	2,99	3,00	3,00	3,00	3,00	3,17	0,01	0,01	0,01
XMg	0,20	0,00	0,09	0,00	0,00	0,18	0,00	0,10	0,00	0,00	0,00	#DIV/0!	0,00	0,00	0,00
Ti	0,00	0,00	0,00	0,00	0,00	0,00	0,00	0,00	0,00	0,00	0,00	0,00	0,01	0,00	0,00
Al	1,01	1,02	1,00	1,01	1,00	1,01	1,01	1,00	1,01	1,02	1,01	0,82	0,00	0,00	0,00
Fetot	0,01	0,00	0,01	0,00	0,00	0,00	0,00	0,00	0,00	0,00	0,00	0,00	0,03	0,19	0,20
Mn	0,00	0,00	0,00	0,00	0,00	0,00	0,00	0,00	0,00	0,00	0,00	0,00	0,01	0,05	0,06
Mg	0,00	0,00	0,00	0,00	0,00	0,00	0,00	0,00	0,00	0,00	0,00	0,00	0,00	0,05	0,05
Ca	0,02	0,00	0,01	0,00	0,00	0,01	0,00	0,00	0,00	0,00	0,00	0,00	11,89	11,61	11,60
Na	1,08	0,98	1,00	0,99	1,02	0,99	0,97	0,97	0,97	0,93	0,98	0,83	0,05	0,12	0,14
K	0,00	0,00	0,00	0,00	0,00	0,00	0,00	0,00	0,00	0,00	0,00	0,00	0,01	0,00	0,00
Charge +	16,00	16,00	16,00	16,00	16,00	16,00	16,00	16,00	16,00	16,00	16,00	16,00	24,00	24,00	24,00
Al IV	1,05	1,01	1,01	1,01	1,01	1,01	1,00	1,00	1,00	1,00	1,00	0,83	3,98	3,99	3,99
Al VI	-0,03	0,00	-0,01	0,00	-0,01	0,00	0,01	0,00	0,01	0,02	0,01	0,00	-3,98	-3,99	-3,99
Σ αλχ.	1,08	0,98	1,00	1,00	1,02	0,99	0,97	0,97	0,97	0,93	0,98	0,83	0,06	0,13	0,15
Σ oxy.	-0,02	0,01	0,00	0,01	-0,01	0,00	0,01	0,01	0,01	0,02	0,01	0,00	-3,94	-3,69	-3,68
Na/Na+K	1,00	1,00	1,00	1,00	1,00	1,00	1,00	1,00	1,00	1,00	1,00	1,00	0,88	0,96	0,99
<hr/>													1,00		

/ε

LAME 937f (CHLORITES)

1) MON TRI

Formule structurale

Formule structurale	Si	2,51	2,59	2,50	2,51	2,51	2,53	2,54	2,55	2,55	2,56	2,58	2,57	2,63	2,66	2,67	2,67	2,58	2,63	2,64
X Mg		0,17	0,17	0,15	0,15	0,16	0,17	0,14	0,19	0,17	0,19	0,17	0,17	0,18	0,18	0,20	0,19	0,18	0,18	0,20
Ti		0,00	0,01	0,01	0,03	0,04	0,00	0,01	0,01	0,02	0,01	0,01	0,01	0,01	0,00	0,01	0,01	0,01	0,01	0,01
Al		3,01	2,86	3,00	2,97	2,98	2,94	2,94	2,88	2,86	2,86	2,87	2,81	2,77	2,76	2,77	2,70	2,81	2,79	2,66
Fetot		3,68	3,74	3,81	3,76	3,72	3,72	3,82	3,69	3,78	3,71	3,75	3,80	3,75	3,68	3,59	3,69	3,75	3,71	3,75
Mn		0,01	0,02	0,02	0,01	0,00	0,01	0,01	0,01	0,01	0,01	0,00	0,01	0,01	0,00	0,01	0,02	0,02	0,01	0,01
Mg		0,76	0,76	0,65	0,69	0,70	0,78	0,65	0,85	0,80	0,85	0,76	0,79	0,80	0,83	0,90	0,87	0,83	0,82	0,94
Ca		0,00	0,00	0,00	0,00	0,00	0,00	0,01	0,01	0,00	0,00	0,00	0,01	0,00	0,00	0,00	0,00	0,00	0,00	0,00
Na		0,00	0,01	0,01	0,01	0,03	0,01	0,00	0,00	0,00	0,01	0,01	0,01	0,01	0,00	0,01	0,00	0,01	0,00	0,00
K		0,00	0,00	0,00	0,01	0,00	0,00	0,01	0,00	0,00	0,00	0,00	0,00	0,00	0,00	0,00	0,00	0,00	0,00	0,00
Charge +		28,00	28,00	28,00	28,00	28,00	28,00	28,00	28,00	28,00	28,00	28,00	28,00	28,00	28,00	28,00	28,00	28,00	28,00	28,00
Al IV		1,48	1,41	1,49	1,46	1,45	1,46	1,45	1,44	1,44	1,44	1,42	1,42	1,36	1,33	1,32	1,32	1,41	1,36	1,36
Al VI		1,53	1,46	1,51	1,51	1,52	1,48	1,49	1,44	1,42	1,43	1,45	1,39	1,41	1,43	1,44	1,38	1,40	1,42	1,31
$\Sigma \alpha_{\text{d}}$		0,01	0,01	0,01	0,01	0,03	0,02	0,01	0,01	0,00	0,01	0,01	0,02	0,01	0,01	0,01	0,01	0,00	0,00	0,00
$\Sigma \alpha_{\text{ct}}$		5,97	5,97	5,98	5,97	5,95	5,99	5,97	5,99	6,01	6,00	5,97	5,99	5,97	5,95	5,94	5,96	6,00	5,96	6,02
Nr/Nr+K		0,42	0,94	1,00	0,57	0,90	0,85	0,00	0,31	1,00	1,00	0,71	0,71	0,85	0,92	0,66	1,00	0,09	0,00	0,00

3) TESTS (Vidal et Barre, 2000)

(2) TESTS (Vidal et Parra, 2000)																			
	ok	ok	OUT	ok	ok	ok	ok	ok	OUT	OUT	OUT								
3) Fe3 +:																			
Analyse	c228	c248	o3	c221	e224	c229	o7	c232	o12	o22	g12	o27	c213	c214	c226	o26	o13	o18	o28
10 kbar	e228	e248	o3	c221	e224	e229	o7	c232	o12	o22	g12	o27	e213	e214	e226	o26	o13	o18	o28
averageT (all reactions)	540,69	451,84	550,45	493,74	476,72	496,89	484,10	483,67	492,63	479,33	461,74	477,58	425,75	450,90	371,40	385,41	465,13	422,51	440,44
sigma	176,36	87,23	185,28	152,29	126,96	160,94	140,33	140,86	143,80	132,49	96,39	118,58	33,82	0,26	0,68	2,49	102,38	36,21	54,32
av.T (reactions 1,2,3)	622,02	492,81	637,35	563,27	535,19	569,78	548,49	548,31	558,33	540,21	506,78	532,50	441,88	450,84	371,72	384,26	512,83	439,87	466,08
sigma	83,42	36,66	78,68	76,05	60,51	83,55	68,26	68,52	71,53	63,96	42,04	54,70	12,41	0,28	0,24	1,15	45,52	12,57	21,91
XFe3+	0,07	0,08	0,08	0,09	0,08	0,11	0,09	0,11	0,11	0,11	0,08	0,11	0,07	0,03	0,08	0,09	0,10	0,07	0,11
N° Analyse	e228	e248	o3	e221	e224	e229	o7	e232	o12	o22	g12	o27	e213	e214	e226	o26	o13	o18	o28
Si	2,49	2,56	2,47	2,48	2,48	2,49	2,51	2,51	2,51	2,52	2,55	2,53	2,61	2,65	2,64	2,64	2,55	2,60	2,60
Ti	0,00	0,01	0,01	0,03	0,04	0,00	0,01	0,01	0,02	0,01	0,01	0,01	0,01	0,00	0,01	0,01	0,01	0,01	0,01
Al	2,98	2,83	2,97	2,94	2,94	2,90	2,90	2,84	2,82	2,82	2,84	2,77	2,75	2,75	2,74	2,66	2,78	2,76	2,63
Fe2+	3,39	3,41	3,46	3,38	3,39	3,27	3,44	3,24	3,31	3,26	3,42	3,33	3,45	3,56	3,27	3,32	3,33	3,42	3,29
Fe3+	0,26	0,30	0,30	0,33	0,29	0,40	0,34	0,40	0,41	0,40	0,30	0,41	0,26	0,11	0,28	0,33	0,37	0,26	0,41
Mn	0,01	0,02	0,02	0,01	0,00	0,01	0,01	0,01	0,01	0,01	0,00	0,01	0,01	0,00	0,01	0,02	0,01	0,01	0,01
Mg	0,76	0,75	0,64	0,68	0,69	0,77	0,64	0,84	0,79	0,84	0,75	0,78	0,79	0,83	0,89	0,86	0,82	0,81	0,93
Ca	0,00	0,00	0,00	0,00	0,00	0,00	0,01	0,01	0,00	0,00	0,00	0,01	0,00	0,00	0,00	0,00	0,00	0,00	0,00
Na	0,00	0,01	0,01	0,01	0,03	0,01	0,00	0,00	0,01	0,01	0,01	0,01	0,01	0,00	0,01	0,00	0,00	0,00	0,00
K	0,00	0,00	0,00	0,00	0,00	0,00	0,01	0,00	0,00	0,00	0,00	0,00	0,00	0,00	0,00	0,00	0,00	0,00	0,00
Sum	88,74	88,86	87,50	89,32	88,54	87,80	86,72	87,26	87,72	87,74	86,59	87,54	88,98	89,35	88,01	86,15	87,37	87,61	87,78
Si	2,49	2,56	2,47	2,48	2,48	2,49	2,51	2,51	2,51	2,52	2,55	2,53	2,61	2,65	2,64	2,55	2,60	2,60	2,60
XMg	0,18	0,18	0,16	0,17	0,17	0,19	0,16	0,21	0,19	0,20	0,18	0,19	0,19	0,21	0,21	0,20	0,19	0,21	0,22

LAME 937f (PHENGITES)

1) MON TRI

resultat	phg	phg												
Minéral	mu	mu												
Echant.	937f	937f												
Analyse	o6	o10	e211	o17	o4	e268	o20	o23	e244	e245	e216	o8	o24	
SiO2	45,25	45,07	46,27	44,70	46,28	46,94	46,44	46,73	47,92	48,98	49,16	48,93	48,32	
TiO2	0,15	0,23	0,23	0,23	0,18	0,21	0,21	0,15	0,13	0,12	0,18	0,11	0,15	
Al2O3	32,42	32,83	33,27	31,58	30,83	31,00	28,45	27,99	27,68	26,69	26,80	26,64	26,46	
FeO	4,77	3,89	4,06	4,52	5,21	5,29	5,92	5,05	5,85	6,29	5,74	5,70	5,50	
MnO	0,01	0,00	0,03	0,00	0,00	0,02	0,00	0,03	0,00	0,00	0,00	0,00	0,00	
MgO	0,62	0,51	0,55	0,58	0,82	0,98	1,01	1,75	1,97	2,15	2,19	2,05	1,81	
CaO	0,04	0,00	0,05	0,00	0,00	0,02	0,00	0,01	0,06	0,03	0,11	0,00	0,00	
Na2O	0,81	0,87	0,76	0,87	0,68	0,96	0,49	0,60	0,25	0,26	0,13	0,20	0,33	
K2O	9,56	9,56	9,82	9,57	9,44	9,03	9,82	9,76	9,34	10,30	10,56	10,16	10,38	

Formule structurale

Formule structurale												
Si	3,11	3,11	3,12	3,13	3,19	3,20	3,26	3,28	3,31	3,35	3,36	3,37
XMg	0,19	0,19	0,19	0,19	0,22	0,25	0,23	0,38	0,38	0,38	0,40	0,39
Ti	0,01	0,01	0,01	0,01	0,01	0,01	0,01	0,01	0,01	0,01	0,01	0,01
Al	2,63	2,67	2,65	2,60	2,50	2,49	2,35	2,31	2,26	2,15	2,16	2,17
Fetot	0,27	0,22	0,23	0,26	0,30	0,30	0,35	0,30	0,34	0,36	0,33	0,32
Mn	0,00	0,00	0,00	0,00	0,00	0,00	0,00	0,00	0,00	0,00	0,00	0,00
Mg	0,06	0,05	0,05	0,06	0,08	0,10	0,11	0,18	0,20	0,22	0,22	0,21
Ca	0,00	0,00	0,00	0,00	0,00	0,00	0,00	0,00	0,00	0,00	0,01	0,00
Na	0,11	0,12	0,10	0,12	0,09	0,13	0,07	0,08	0,03	0,03	0,02	0,03
K	0,84	0,84	0,85	0,85	0,83	0,78	0,88	0,87	0,82	0,90	0,92	0,89
Charge +	22,00	22,00	22,00	22,00	22,00	22,00	22,00	22,00	22,00	22,00	22,00	22,00
Al IV	0,88	0,88	0,87	0,86	0,80	0,79	0,73	0,71	0,68	0,64	0,63	0,62
Al VI	1,75	1,79	1,78	1,75	1,70	1,69	1,63	1,60	1,58	1,51	1,53	1,55
Σox_x	0,95	0,96	0,94	0,97	0,92	0,91	0,95	0,96	0,86	0,93	0,94	0,92
Σext	2,09	2,07	2,07	2,09	2,09	2,08	2,08	2,12	2,09	2,08	2,08	2,06
Nr/Nr+K	0,11	0,12	0,11	0,12	0,10	0,14	0,07	0,09	0,04	0,04	0,02	0,03

2) TESTS (Vidal et Parra, 2000)

ok ok

LAME 937f (CHLORITOIDES)**1) MON TRI**

Minéral	ctd													
Echant.	937f													
Analyse	e259	g14	e209	e222	e223	e236	e239	e247	e262	o1	o15	o16	o25	
SiO ₂	23,07	23,68	24,46	24,00	23,86	24,11	24,05	23,55	24,22	23,70	23,73	23,81	23,93	
TiO ₂	3,91	0,01	0,02	0,37	0,28	0,00	0,26	0,29	0,00	0,05	0,01	0,04	0,03	
Al ₂ O ₃	37,78	39,28	39,81	38,90	38,97	38,89	38,61	37,60	39,50	38,26	38,04	38,43	38,66	
FeO	27,81	27,03	28,22	29,18	28,38	29,45	29,05	28,78	28,76	28,99	29,29	28,46	27,20	
MnO	0,05	0,17	0,01	0,06	0,09	0,05	0,06	0,09	0,14	0,13	0,18	0,00	0,09	
MgO	0,98	1,35	1,20	0,85	0,88	0,87	0,88	0,92	1,02	0,77	0,87	0,88	1,48	
CaO	0,00	0,03	0,02	0,00	0,03	0,01	0,01	0,02	0,00	0,05	0,02	0,03	0,03	
Na ₂ O	0,02	0,00	0,02	0,06	0,03	0,10	0,02	0,02	0,00	0,02	0,01	0,02	0,01	
K ₂ O	0,02	0,01	0,02	0,03	0,02	0,02	0,00	0,01	0,01	0,00	0,00	0,02	0,00	
Σ	93,63	91,57	93,77	93,44	92,51	93,49	92,94	91,28	93,64	91,96	92,15	91,70	91,43	
Formule structurale														
Si	0,96	1,00	1,01	1,01	1,01	1,01	1,01	1,01	1,01	1,01	1,01	1,01	1,01	1,02
XMg	0,06	0,08	0,07	0,05	0,05	0,05	0,05	0,05	0,06	0,04	0,05	0,05	0,09	
Ti	0,12	0,00	0,00	0,01	0,01	0,00	0,01	0,01	0,00	0,00	0,00	0,00	0,00	0,00
Al	1,86	1,96	1,94	1,92	1,94	1,92	1,92	1,91	1,94	1,92	1,91	1,93	1,93	
Fetot	0,97	0,96	0,98	1,02	1,00	1,03	1,02	1,03	1,00	1,03	1,04	1,01	0,97	
Mn	0,00	0,01	0,00	0,00	0,00	0,00	0,00	0,00	0,00	0,00	0,01	0,00	0,00	
Mg	0,06	0,09	0,07	0,05	0,06	0,05	0,06	0,06	0,06	0,05	0,06	0,06	0,09	
Ca	0,00	0,00	0,00	0,00	0,00	0,00	0,00	0,00	0,00	0,00	0,00	0,00	0,00	
Na	0,00	0,00	0,00	0,00	0,00	0,01	0,00	0,00	0,00	0,00	0,00	0,00	0,00	
K	0,00	0,00	0,00	0,00	0,00	0,00	0,00	0,00	0,00	0,00	0,00	0,00	0,00	
Charge +	12,00	12,00	12,00	12,00	12,00	12,00	12,00	12,00	12,00	12,00	12,00	12,00	12,00	12,00
Al _{IV}	2,91	3,00	2,99	2,98	2,98	2,99	2,98	2,98	2,99	2,99	2,99	2,98	2,98	2,98
Al _{VI}	-1,05	-1,04	-1,04	-1,06	-1,05	-1,07	-1,06	-1,07	-1,05	-1,06	-1,08	-1,05	-1,05	
Σ αλχ	0,00	0,00	0,00	0,01	0,00	0,01	0,00	0,00	0,00	0,00	0,00	0,00	0,00	
Σ oxy.	-0,02	0,01	0,01	0,02	0,01	0,02	0,02	0,02	0,02	0,02	0,03	0,02	0,01	
Na/Na+K	0,70	0,00	0,66	0,72	0,75	0,90	0,90	0,88	0,00	1,00	0,88	0,58	1,00	

LAME 937f (AUTRES)

Minéral	Prg	Ab	q	cal													
Echant.	937f	937f	937f	937f	937f	g15	937f										
Analyse	c230	c257	c260	c271	c218	c227	c212	c231	c240	c243	c11	c269	c14	g13	c241	c266	
SiO ₂	44,97	47,10	47,61	47,30	46,98	47,42	46,77	47,07	46,42	46,61	47,22	46,70	47,85	47,08	46,57	100,62	0,00
TiO ₂	0,04	0,06	0,10	0,00	0,03	0,06	0,05	0,05	0,05	0,00	0,04	0,05	0,08	0,05	0,02	0,01	
Al ₂ O ₃	38,00	39,70	40,04	40,03	39,18	39,41	38,87	38,89	37,87	38,71	39,47	38,65	39,66	38,31	39,21	0,02	0,01
FeO	1,62	1,44	1,55	1,31	1,29	1,74	1,14	1,86	1,76	1,60	1,26	1,15	1,41	1,58	1,56	0,46	0,63
MnO	0,00	0,00	0,05	0,03	0,03	0,00	0,00	0,00	0,05	0,05	0,00	0,00	0,00	0,02	0,00	0,00	0,01
MgO	0,37	0,08	0,05	0,15	0,12	0,07	0,10	0,16	0,16	0,08	0,02	0,17	0,05	0,14	0,11	0,00	0,40
CaO	0,52	0,04	0,01	0,02	0,02	0,04	0,06	0,04	0,96	0,02	0,01	0,04	0,02	0,03	0,06	0,01	59,91
Na ₂ O	6,53	6,53	6,89	6,84	6,85	6,87	6,91	6,32	5,77	6,00	6,76	7,07	6,15	6,76	7,27	0,00	0,01
K ₂ O	0,54	0,88	0,40	0,41	0,68	0,75	1,41	1,10	1,23	1,08	0,38	0,60	0,72	1,03	0,86	0,02	0,03
Σ	92,59	95,83	96,70	96,09	95,18	96,35	95,32	95,49	94,25	94,14	95,17	94,42	95,90	95,03	95,68	101,14	61,00
Formule structurale																	
Si	2,97	3,00	3,00	3,00	3,01	3,01	3,01	3,02	3,02	3,02	3,02	3,02	3,03	3,03	2,17	0,00	0,00
XMg	0,29	0,09	0,05	0,17	0,14	0,07	0,13	0,13	0,13	0,08	0,03	0,21	0,06	0,13	0,11	#DIV/0!	#DIV/0!
Ti	0,00	0,00	0,00	0,00	0,00	0,00	0,00	0,00	0,00	0,00	0,00	0,00	0,00	0,00	0,00	0,00	0,00
Al	2,96	2,98	2,97	2,99	2,96	2,95	2,94	2,94	2,91	2,96	2,97	2,94	2,96	2,91	2,15	0,00	0,00
Fetot	0,09	0,08	0,08	0,07	0,07	0,09	0,06	0,10	0,10	0,09	0,07	0,06	0,07	0,09	0,06	0,00	0,00
Mn	0,00	0,00	0,00	0,00	0,00	0,00	0,00	0,00	0,00	0,00	0,00	0,00	0,00	0,00	0,00	0,00	0,00
Mg	0,04	0,01	0,00	0,01	0,01	0,01	0,01	0,02	0,02	0,01	0,00	0,02	0,00	0,01	0,01	0,00	0,00
Ca	0,04	0,00	0,00	0,00	0,00	0,00	0,00	0,00	0,07	0,00	0,00	0,00	0,00	0,00	0,00	0,00	0,00
Na	0,84	0,81	0,84	0,84	0,85	0,85	0,86	0,79	0,73	0,75	0,84	0,89	0,76	0,84	0,66	0,00	0,00
K	0,05	0,07	0,03	0,03	0,06	0,06	0,12	0,09	0,10	0,09	0,03	0,05	0,06	0,08	0,05	0,00	0,00
Charge +	22,00	22,00	22,00	22,00	22,00	22,00	22,00	22,00	22,00	22,00	22,00	22,00	22,00	22,00	16,00	0,00	0,00
Al IV	1,02	1,00	0,99	1,00	0,99	0,99	0,99	0,98	0,98	0,98	0,98	0,98	0,97	0,96	1,83	4,00	4,00
Al VI	1,94	1,98	1,98	1,99	1,97	1,96	1,95	1,96	1,93	1,98	1,99	1,96	2,00	1,94	0,33	-4,00	-4,00
Σ aXz.	0,88	0,88	0,87	0,87	0,91	0,91	0,98	0,87	0,83	0,84	0,87	0,94	0,81	0,93	0,71	0,00	0,00
Σ ext.	2,06	2,07	2,07	2,07	2,05	2,06	2,03	2,07	2,04	2,08	2,06	2,04	2,08	2,04	0,39	-4,00	-4,00
Na/Na+K	0,95	0,92	0,96	0,96	0,94	0,93	0,88	0,90	0,88	0,89	0,96	0,95	0,93	0,91	0,93	#DIV/0!	#DIV/0!
	ok																

LAME OM-05-29C2 (CHLORITES)**1) MON TRI**

	resultat Al>20		resultat Al>19,5		chl		chl															
	chl	chl	chl	chl	chl	chl	chl	chl	chl	chl	chl	chl	chl	chl	chl	chl	chl	chl	chl	chl	chl	chl
Minéral	chl	chl	chl	chl	chl	chl	chl	chl	chl	chl	chl	chl	chl	chl	chl	chl	chl	chl	chl	chl	chl	chl
Echant.	29C2	29C2	29C2	29C2	29C2	29C2	29C2	29C2	29C2	29C2	29C2	29C2	29C2	29C2	29C2	29C2	29C2	29C2	29C2	29C2	29C2	29C2
Analyse	m107	m82	m87	m86	m84	m91	m88	m95	m97	n58	n64	m98	m100	m80	m74	m102	m99	m96	m73			
SiO2	24,54	24,85	24,81	25,21	25,36	24,34	25,09	25,06	26,07	23,70	24,36	24,26	24,48	24,44	24,77	24,39	24,68	24,97	25,23			
TiO2	0,02	0,03	0,08	0,04	0,05	0,08	0,08	0,00	0,03	0,05	0,07	0,09	0,10	0,07	0,06	0,08	0,13	0,09	0,05			
Al2O3	22,21	21,70	21,53	21,78	21,66	21,07	21,87	21,45	21,05	20,81	19,86	20,26	20,78	20,68	20,71	20,35	20,44	20,68	20,11			
FeO	26,30	25,97	28,82	27,40	27,00	28,69	27,38	28,00	27,60	28,22	31,78	27,93	29,00	28,46	28,48	27,29	27,61	29,37	29,54			
MnO	0,41	0,29	0,38	0,28	0,39	0,35	0,37	0,29	0,27	0,24	0,33	0,27	0,10	0,32	0,25	0,48	0,12					
MgO	11,39	11,92	10,09	11,08	11,59	9,14	10,51	9,86	9,93	11,89	10,15	10,55	9,58	9,86	10,49	10,68	10,71	8,65	10,12			
CaO	0,14	0,05	0,03	0,07	0,02	0,09	0,04	0,08	0,11	0,02	0,00	0,06	0,10	0,04	0,02	0,06	0,11	0,06	0,01			
Na2O	0,00	0,03	0,00	0,02	0,04	0,00	0,01	0,01	0,00	0,03	0,03	0,04	0,07	0,03	0,00	0,00	0,00	0,07	0,06			
K2O	0,03	0,01	0,00	0,00	0,09	0,00	0,03	0,02	0,04	0,01	0,02	0,00	0,01	0,00	0,01	0,00	0,06	0,00	0,00			
Σ	85,03	84,86	85,74	85,88	86,19	83,75	85,36	84,77	85,10	85,00	86,60	83,44	84,18	83,93	84,81	83,16	83,92	84,43	85,23			

Formule structurale

Si	2,69	2,72	2,73	2,74	2,74	2,75	2,75	2,77	2,86	2,64	2,71	2,74	2,75	2,75	2,75	2,75	2,76	2,80	2,80				
XMg	0,43	0,45	0,38	0,42	0,43	0,36	0,40	0,38	0,39	0,43	0,36	0,40	0,37	0,38	0,39	0,41	0,41	0,34	0,38				
Ti	0,00	0,00	0,01	0,00	0,00	0,01	0,01	0,00	0,00	0,00	0,01	0,01	0,01	0,01	0,01	0,01	0,01	0,01	0,00				
Al	2,87	2,80	2,79	2,79	2,76	2,80	2,82	2,80	2,72	2,73	2,60	2,70	2,75	2,74	2,71	2,71	2,70	2,74	2,63				
Fetot	2,41	2,38	2,65	2,49	2,44	2,71	2,51	2,59	2,53	2,62	2,95	2,64	2,73	2,68	2,65	2,58	2,58	2,76	2,74				
Mn	0,04	0,03	0,04	0,03	0,04	0,03	0,03	0,03	0,02	0,02	0,03	0,01	0,03	0,02	0,03	0,02	0,02	0,05	0,01				
Mg	1,86	1,94	1,65	1,80	1,87	1,54	1,71	1,63	1,62	1,97	1,68	1,78	1,60	1,65	1,74	1,80	1,79	1,45	1,68				
Ca	0,02	0,01	0,00	0,01	0,00	0,01	0,00	0,01	0,01	0,00	0,00	0,01	0,00	0,01	0,00	0,01	0,01	0,01	0,00				
Na	0,00	0,01	0,00	0,00	0,01	0,00	0,00	0,00	0,00	0,00	0,01	0,01	0,00	0,01	0,01	0,00	0,00	0,01	0,01				
K	0,00	0,00	0,00	0,00	0,01	0,00	0,00	0,00	0,01	0,00	0,00	0,00	0,00	0,00	0,00	0,00	0,00	0,01	0,00				
Charge +	28,00	28,00	28,00	28,00	28,00	28,00	28,00	28,00	28,00	28,00	28,00	28,00	28,00	28,00	28,00	28,00	28,00	28,00	28,00				
Al IV	1,31	1,28	1,27	1,26	1,25	1,25	1,25	1,23	1,14	1,36	1,29	1,25	1,24	1,24	1,24	1,24	1,23	1,19	1,19				
Al VI	1,56	1,52	1,53	1,54	1,51	1,56	1,57	1,57	1,58	1,37	1,31	1,45	1,51	1,50	1,47	1,47	1,47	1,55	1,44				
Σ aXz	0,00	0,01	0,00	0,00	0,02	0,00	0,01	0,00	0,01	0,01	0,01	0,01	0,01	0,00	0,00	0,00	0,02	0,01	0,01				
Σ oxy.	5,86	5,87	5,87	5,85	5,86	5,83	5,83	5,82	5,76	5,99	5,98	5,89	5,85	5,86	5,88	5,88	5,87	5,80	5,87				
Na/Na+K	0,00	0,81	1,00	1,00	0,40		0,20	0,35	0,00	0,89	0,66	1,00	0,82	1,00	1,00	0,00	0,61	1,00					

2) TESTS (Vidal et Parra, 2000)

ok	ok	ok	ok	ok	ok	ok	ok	ok	OUT	ok	ok	ok	ok										
3) Fe3+ :																							
Analyse	m107	m82	m87	m86	m84	m91	m88	m95	m97	n58	n64	m98	m100	m80	m74	m102	m99	m96	m73				
10 kbar	m107	m82	m87	m86	m84	m91	m88	m95	m97	n58	n64	m98	m100	m80	m74	m102	m99	m96	m73				
averageT (all reactions)	359,55	322,85	315,03	303,66	306,72	297,12	296,26	279,89	227,77	454,55	371,00	311,14	290,19	300,97	299,88	302,00	291,96	265,50	270,30				
sigma	1,11	0,55	0,06	1,69	0,55	2,86	1,27	3,65	4,50	68,13	0,47	3,62	2,89	3,32	3,86	2,07	1,53	0,75	0,94				
av.T (reactions 1,2,3)	359,00	323,12	315,00	304,45	307,00	295,74	296,89	278,13	225,54	486,43	371,19	312,89	288,79	299,33	301,71	303,01	292,69	265,86	270,73				
sigma	0,00	0,11	0,00	0,75	0,00	0,86	0,18	1,20	0,74	29,39	0,34	1,17	0,90	0,58	1,45	0,58	0,54	0,25	0,48				
XFe3+	0,08	0,15	0,14	0,16	0,18	0,14	0,15	0,16	0,21	0,14	0,16	0,19	0,17	0,17	0,19	0,19	0,20	0,19	0,23				

N° Analyse	m107	m82	m87	m86	m84	m91	m88	m95	m97	n58	n64	m98	m100	m80	m74	m102	m99	m96	m73				
Si	2,67	2,69	2,69	2,70	2,70	2,71	2,71	2,73	2,81	2,60	2,66	2,69	2,71	2,71	2,71	2,71	2,71	2,74	2,74				
Ti	0,00	0,00	0,01	0,00	0,01	0,01	0,01	0,00	0,00	0,00	0,01	0,01	0,01	0,01	0,01	0,01	0,01	0,01	0,01				
Al	2,85	2,76	2,75	2,75	2,72	2,76	2,78	2,76	2,76	2,67	2,69	2,56	2,65	2,71	2,70	2,66	2,66	2,65	2,69	2,57			
Fe2+	2,20	1,99	2,25	2,06	1,97	2,30	2,10	2,14	1,96	2,23	2,44	2,10	2,23	2,19	2,11	2,05	2,03	2,19	2,07				
Fe3+	0,19	0,35	0,37	0,39	0,43	0,37	0,37	0,41	0,52	0,36	0,46	0,49	0,46	0,45	0,49	0,48	0,51	0,51	0,62				
Mn	0,04	0,03	0,03	0,04	0,03	0,03	0,03	0,03	0,02	0,02													

LAME OM-05-29C2 (PHENGITES)**1) MON TRI**

resultat base	phg	phg	phg	phg	-	-	-	-	-	-	-	-	-	-
resultat sum(Phg)>90	phg													
Minéral	mu													
Echant.	29C2													
Analyse	m66	m68	m83	n70	n62	n63	n60	n67	n59	n68	n54	n55	n56	n61
SiO ₂	45,56	50,14	50,56	51,08	46,73	47,04	47,39	47,49	48,03	49,54	48,83	49,91	49,94	51,13
TiO ₂	0,34	0,22	0,24	0,09	0,17	0,24	0,27	0,20	0,13	0,13	0,09	0,14	0,17	0,07
Al ₂ O ₃	30,01	29,13	29,13	26,52	31,17	30,14	30,11	28,48	27,92	27,28	26,24	25,60	25,17	23,81
FeO	4,75	2,50	2,71	2,41	1,81	2,42	1,95	2,60	2,59	2,93	2,95	2,75	3,58	2,99
MnO	0,00	0,00	0,00	0,06	0,01	0,02	0,03	0,04	0,00	0,00	0,01	0,00	0,02	0,00
MgO	2,37	2,25	1,99	3,07	1,45	1,57	1,62	1,96	2,18	2,39	2,62	3,02	2,72	3,75
CaO	0,07	0,05	0,09	0,03	0,07	0,00	0,01	0,03	0,07	0,07	0,00	0,03	0,06	0,05
Na ₂ O	0,41	0,28	0,25	0,02	0,02	0,03	0,03	0,01	0,03	0,03	0,00	0,02	0,01	0,00
K ₂ O	8,71	9,98	10,28	8,73	9,21	9,34	9,35	9,25	9,38	9,26	9,55	9,83	9,40	9,58
Σ	92,21	94,53	95,24	92,01	90,63	90,80	90,75	90,06	90,33	91,63	90,29	91,31	91,07	91,39

Formule structurale

Si	3,17	3,36	3,37	3,48	3,24	3,27	3,29	3,33	3,36	3,42	3,43	3,47	3,48	3,54
XMg	0,47	0,62	0,57	0,69	0,59	0,53	0,59	0,57	0,60	0,59	0,61	0,66	0,57	0,69
Ti	0,02	0,01	0,01	0,00	0,01	0,01	0,01	0,01	0,01	0,01	0,00	0,01	0,01	0,00
Al	2,46	2,30	2,29	2,13	2,55	2,47	2,46	2,36	2,30	2,22	2,17	2,10	2,07	1,94
Fetot	0,28	0,14	0,15	0,14	0,10	0,14	0,11	0,15	0,15	0,17	0,17	0,16	0,21	0,17
Mn	0,00	0,00	0,00	0,00	0,00	0,00	0,00	0,00	0,00	0,00	0,00	0,00	0,00	0,00
Mg	0,25	0,22	0,20	0,31	0,15	0,16	0,17	0,21	0,23	0,25	0,27	0,31	0,28	0,39
Ca	0,01	0,00	0,01	0,00	0,01	0,00	0,00	0,00	0,01	0,01	0,00	0,00	0,00	0,00
Na	0,05	0,04	0,03	0,00	0,00	0,00	0,00	0,00	0,00	0,00	0,00	0,00	0,00	0,00
K	0,77	0,85	0,87	0,76	0,82	0,83	0,83	0,83	0,84	0,81	0,86	0,87	0,84	0,85
Charge +	22,00	22,00	22,00	22,00	22,00	22,00	22,00	22,00	22,00	22,00	22,00	22,00	22,00	22,00
Al IV	0,81	0,63	0,62	0,51	0,75	0,71	0,70	0,66	0,63	0,58	0,57	0,53	0,51	0,45
Al VI	1,64	1,67	1,67	1,61	1,80	1,76	1,77	1,70	1,67	1,64	1,61	1,57	1,56	1,49
Σ oxz.	0,83	0,89	0,91	0,76	0,82	0,83	0,83	0,83	0,84	0,82	0,86	0,87	0,84	0,85
Σ oxy.	2,17	2,03	2,02	2,07	2,06	2,06	2,05	2,06	2,05	2,05	2,04	2,04	2,05	2,05
Na/Na+K	0,07	0,04	0,04	0,00	0,00	0,01	0,01	0,00	0,01	0,01	0,00	0,00	0,00	0,00

2) TESTS (Vidal et Parra, 2000)

ok	ok	ok	ok	ok	OUT									
----	----	----	----	----	-----	-----	-----	-----	-----	-----	-----	-----	-----	-----

LAME OM-05-30Bb2 (CHLORITES)**1) MON TRI**

resultat Al>20 resultat Al>19,5	chl chl																							
Minéral	chl																							
Echant.	30Bb2																							
Analyse	n41	n18	n34	o49	o44	o45	o46	o30	n32	o35	o53	o52	o33	n40	m45	n45	n33	m16	n20	n19	o31	o51	n21	m6
SiO2	47,94	21,74	22,77	23,50	23,75	23,62	23,29	23,53	23,40	23,67	23,82	23,57	23,84	23,34	23,14	23,57	23,38	22,85	23,74	23,79	24,04	24,12	24,18	23,73
TiO2	0,10	0,02	0,05	0,04	0,09	0,02	0,01	0,03	0,06	0,10	0,06	0,05	0,02	0,02	0,00	0,02	0,05	0,03	0,05	0,05	0,02	0,01	0,05	0,07
Al2O3	30,86	20,83	22,08	22,99	22,73	22,77	22,30	22,21	21,93	22,84	22,49	22,01	22,14	21,63	22,60	21,97	21,21	21,36	21,84	21,97	21,63	22,32	22,49	22,35
FeO	2,18	31,98	32,73	32,27	32,02	32,80	32,38	32,96	32,00	32,26	33,08	32,20	32,00	30,23	30,81	32,07	32,06	30,76	32,31	31,04	30,63	31,36	32,08	30,24
MnO	0,00	0,06	0,01	0,05	0,08	0,15	0,04	0,00	0,09	0,09	0,14	0,00	0,13	0,08	0,06	0,08	0,08	0,00	0,05	0,08	0,14	0,08	0,00	0,03
MgO	1,55	8,22	8,01	8,65	9,33	8,34	8,73	8,57	8,97	8,07	8,44	8,94	9,31	9,88	7,75	8,71	9,26	8,10	8,86	9,55	10,49	9,38	8,49	8,48
CaO	0,02	0,15	0,10	0,02	0,07	0,08	0,12	0,08	0,07	0,15	0,04	0,07	0,04	0,05	0,09	0,07	0,11	0,16	0,07	0,08	0,09	0,04	0,10	0,12
Na2O	0,01	0,00	0,04	0,02	0,03	0,03	0,02	0,04	0,03	0,04	0,01	0,05	0,00	0,06	0,03	0,02	0,00	0,02	0,01	0,01	0,04	0,05		
K2O	9,22	0,01	0,00	0,02	0,03	0,01	0,04	0,00	0,03	0,01	0,02	0,00	0,01	0,06	0,02	0,01	0,00	0,01	0,04	0,02	0,05	0,06	0,00	
Cr2O3	0,00	0,00	0,00	0,00	0,00	0,00	0,00	0,00	0,00	0,00	0,00	0,00	0,00	0,00	0,00	0,00	0,00	0,00	0,00	0,00	0,00	0,00	0,00	
Σ	91,89	83,00	85,78	87,56	88,14	87,82	86,57	87,42	86,54	87,27	88,11	86,90	87,49	85,24	84,56	86,54	86,18	83,26	86,95	86,59	87,07	87,41	87,51	85,08

Formule structurale

Si	3,28	2,55	2,57	2,58	2,58	2,59	2,59	2,60	2,60	2,61	2,61	2,61	2,61	2,62	2,62	2,63	2,63	2,63	2,64	2,65	2,65			
XMg	0,56	0,31	0,30	0,32	0,34	0,31	0,31	0,32	0,33	0,31	0,33	0,34	0,37	0,31	0,33	0,34	0,32	0,33	0,35	0,38	0,35	0,32	0,33	
Ti	0,00	0,00	0,00	0,00	0,01	0,00	0,00	0,00	0,00	0,01	0,00	0,00	0,00	0,00	0,00	0,00	0,00	0,00	0,00	0,00	0,00	0,01	0,01	
Al	2,49	2,88	2,94	2,97	2,91	2,94	2,93	2,89	2,87	2,96	2,90	2,87	2,86	2,85	3,01	2,88	2,80	2,90	2,85	2,86	2,79	2,87	2,90	
Fetot	0,13	3,13	3,09	2,96	2,91	3,01	3,01	3,04	2,97	2,97	3,03	2,98	2,94	2,83	2,91	2,98	3,00	2,97	2,99	2,87	2,81	2,87	2,94	2,83
Mn	0,00	0,01	0,00	0,00	0,01	0,01	0,00	0,01	0,01	0,01	0,01	0,00	0,01	0,01	0,01	0,01	0,00	0,01	0,01	0,01	0,01	0,00	0,00	
Mg	0,16	1,43	1,35	1,41	1,51	1,36	1,39	1,41	1,49	1,32	1,38	1,48	1,52	1,65	1,31	1,44	1,54	1,39	1,46	1,57	1,71	1,53	1,38	1,41
Ca	0,00	0,02	0,01	0,00	0,01	0,01	0,01	0,02	0,00	0,01	0,00	0,01	0,01	0,02	0,01	0,01	0,00	0,01	0,01	0,01	0,00	0,01	0,01	
Na	0,00	0,00	0,01	0,00	0,01	0,01	0,01	0,01	0,01	0,01	0,00	0,01	0,00	0,01	0,01	0,01	0,00	0,01	0,00	0,00	0,01	0,01	0,01	
K	0,81	0,00	0,00	0,00	0,00	0,00	0,01	0,00	0,00	0,00	0,00	0,00	0,00	0,00	0,00	0,00	0,00	0,00	0,00	0,01	0,01	0,00	0,00	
Charge +	22,00	28,00	28,00	28,00	28,00	28,00	28,00	28,00	28,00	28,00	28,00	28,00	28,00	28,00	28,00	28,00	28,00	28,00	28,00	28,00	28,00	28,00		
AlIV	0,71	1,45	1,43	1,42	1,41	1,41	1,40	1,39	1,39	1,39	1,39	1,38	1,38	1,38	1,38	1,37	1,37	1,37	1,36	1,36	1,35	1,34		
AlVI	1,78	1,42	1,51	1,55	1,51	1,54	1,52	1,49	1,48	1,58	1,51	1,48	1,48	1,47	1,63	1,50	1,42	1,54	1,48	1,48	1,43	1,51	1,55	
Σ oxz.	0,81	0,00	0,01	0,01	0,01	0,01	0,01	0,01	0,01	0,01	0,00	0,00	0,02	0,01	0,01	0,00	0,01	0,01	0,01	0,01	0,02	0,01	0,01	
Σ oxy.	2,06	6,00	5,94	5,93	5,94	5,92	5,94	5,95	5,93	5,94	5,95	5,95	5,95	5,95	5,97	5,89	5,94	5,93	5,96	5,91	5,88	5,85		
Na/Na+K	0,00	0,00	1,00	0,60	0,57	0,81	0,46	0,97	1,00	0,65	0,57	0,79	0,58	0,42	0,60	0,75	0,71	0,00	0,48	0,48	0,26	0,52	1,00	

2) TESTS (Vidal et Parra, 2000)

OUT	ok	ok																						
3) Fe3+:																								
Analyse	n44	n18	n34	o49	o44	o45	o46	o30	n32	o35	o53	o52	o33	n40	m45	n45	n33	m16	n20	n19	o31	o51	n21	m6
10 kbar	n48	n34	o49	o44	o45	o46	o30	n32	o35	o53	o52	o33	n40	m45	n45	n33	m16	n20	n19	o31	o51	n21	m6	
average T (all reactions)	616,04	466,11	453,94	463,47	457,14	451,34	448,75	446,21	428,46	443,57	438,16	443,87	440,14	419,84	428,88	445,50	422,58	436,94	434,13	453,68	431,90	384,05	360,33	
sigma	169,97	112,40	96,16	93,16	85,01	82,65	78,78	80,08	44,66	64,77	63,57	68,31	75,95	27,30	52,51	72,96	25,02	43,45	48,21	57,28	26,90	1,44	0,59	
av.T (reactions 1,2,3)	700,00	517,98	498,68	506,78	496,80	489,84	485,61	483,77	449,72	474,09	468,03	476,03	475,67	432,85	453,74	479,44	434,58	457,57	456,90	480,67	444,71	384,75	360,04	
sigma	0,00	53,00	43,15	42,04	37,45	36,81	34,02	34,03	16,69	26,50	26,57	28,18	32,86	10,12	20,68	30,83	8,64	16,64	19,37	23,50	10,03	0,43	0,03	
XFe3+	0,06	0,09	0,07	0,08	0,06	0,07	0,08	0,09	0,03	0,06	0,08	0,08	0,10	0,00	0,07	0,11	0,03	0,06	0,07	0,09	0,04	0,04	0,04	
N° Analyse	n48	n34	o49	o44	o45	o46	o30	n32	o35	o53	o52	o33	n40	m45	n45	n33	m16	n20	n19	o31	o51	n21	m6	
Si	2,53	2,54	2,56	2,56	2,57	2,57	2,58	2,60	2,59	2,59	2,59	2,59	2,59	2,62	2,62	2,62	2,62	2,62	2,61	2,61	2,62	2,64	2,64	
XMg	0,33	0,32	0,34	0,36	0,33	0,33	0,34	0,35	0,31	0,33	0,35	0,36	0,39	0,31	0,34	0,37	0,33	0,34	0,37	0,40	0,36	0,33	0,34	

LAME OM-05-30Bb2 (CHLORITES suite)**1) MON TRI**

resultat Al>20	chl	-								
resultat Al>19,5	chl									
Minéral	chl									
Echant.	30Bb2									
Analyse	n46	m63	m55	m1	m53	m54	m61	n39	n44	o55
SiO ₂	24,10	23,49	24,08	23,91	23,65	24,12	24,39	22,52	23,49	23,08
TiO ₂	0,03	0,03	0,03	0,12	0,05	0,11	0,06	0,05	0,03	0,01
Al ₂ O ₃	21,52	21,86	22,07	22,08	21,96	22,24	21,99	20,68	21,65	23,21
FeO	30,48	29,55	30,99	29,62	29,53	30,13	28,64	30,34	30,61	33,32
MnO	0,06	0,07	0,04	0,16	0,09	0,00	0,13	0,05	0,06	0,02
MgO	9,97	7,94	8,52	8,60	8,06	8,28	9,41	8,91	9,67	7,91
CaO	0,03	0,14	0,12	0,14	0,13	0,12	0,16	0,07	0,06	0,04
Na ₂ O	0,00	0,14	0,03	0,05	0,00	0,03	0,05	0,03	0,07	0,05
K ₂ O	0,05	0,10	0,01	0,00	0,04	0,04	0,02	0,08	0,03	0,02
Cr ₂ O ₃	0,00	0,00	0,00	0,00	0,00	0,00	0,00	0,00	0,00	0,00
Σ	86,24	83,31	85,88	84,69	83,49	85,07	84,84	82,73	85,67	87,65

Formule structurale

Si	2,66	2,68	2,68	2,68	2,69	2,69	2,71	2,62	2,62	2,54
XMg	0,37	0,32	0,33	0,34	0,33	0,33	0,37	0,34	0,36	0,30
Ti	0,00	0,00	0,00	0,01	0,00	0,01	0,00	0,00	0,00	0,00
Al	2,80	2,94	2,89	2,92	2,94	2,92	2,88	2,83	2,85	3,02
Fetot	2,82	2,82	2,88	2,77	2,81	2,81	2,66	2,95	2,86	3,07
Mn	0,01	0,01	0,00	0,02	0,01	0,00	0,01	0,01	0,01	0,00
Mg	1,64	1,35	1,41	1,44	1,37	1,38	1,56	1,54	1,61	1,30
Ca	0,00	0,02	0,01	0,02	0,02	0,01	0,02	0,01	0,01	0,01
Na	0,00	0,03	0,01	0,01	0,00	0,01	0,01	0,01	0,02	0,01
K	0,01	0,01	0,00	0,00	0,01	0,01	0,00	0,01	0,00	0,00
Charge +	28,00	28,00	28,00	28,00	28,00	28,00	28,00	28,00	28,00	28,00
Al _{IV}	1,34	1,32	1,32	1,31	1,31	1,30	1,29	1,38	1,38	1,45
Al _{VI}	1,47	1,63	1,57	1,60	1,64	1,63	1,59	1,45	1,47	1,56
Σ al ₂	0,01	0,04	0,01	0,01	0,01	0,01	0,01	0,02	0,02	0,01
Σ oxy.	5,93	5,81	5,86	5,83	5,82	5,82	5,95	5,94	5,94	5,94
Na/Na+K	0,00	0,69	0,90	1,00	0,00	0,50	0,82	0,34	0,79	0,76

2) TESTS (Vidal et Parra, 2000)

	ok	OUT	OUT	ok						
3) Fe3+:										
Analyse	n46	m63	m55	m1	m53	m54	m61	n39	n44	o55
10 kbar	n46	m63	m55	m1	m53	m54	m61	n39	n44	o55
averageT (all reactions)	411,48	319,76	344,67	330,29	319,58	309,52	310,66	442,02	432,21	484,79
sigma	4,50	1,66	3,44	2,46	1,78	0,99	3,15	60,68	55,16	137,34
av.T (reactions 1,2,3)	413,64	320,54	343,00	331,50	318,77	309,95	309,17	470,49	458,18	547,50
sigma	1,52	0,70	1,00	0,43	0,88	0,58	1,26	25,67	22,73	68,57
XFe3+	0,06	0,09	0,07	0,08	0,07	0,09	0,11	0,09	0,09	0,08
N° Analyse	n46	m63	m55	m1	m53	m54	m61	n39	n44	o55
Si	2,65	2,66	2,66	2,66	2,67	2,67	2,68	2,59	2,60	2,52
Ti	0,00	0,00	0,00	0,01	0,00	0,01	0,00	0,00	0,00	0,00
Al	2,78	2,92	2,87	2,89	2,92	2,90	2,85	2,80	2,82	2,99
Fe2+	2,63	2,54	2,66	2,53	2,59	2,54	2,34	2,66	2,57	2,80
Fe3+	0,17	0,25	0,20	0,22	0,20	0,25	0,29	0,26	0,25	0,24
Mn	0,01	0,01	0,00	0,02	0,01	0,00	0,01	0,01	0,01	0,00
Mg	1,63	1,34	1,40	1,43	1,36	1,37	1,54	1,53	1,59	1,29
Ca	0,00	0,02	0,01	0,02	0,02	0,01	0,02	0,01	0,01	0,01
Na	0,00	0,03	0,01	0,01	0,00	0,01	0,01	0,01	0,02	0,01
K	0,01	0,01	0,00	0,00	0,01	0,01	0,00	0,01	0,00	0,00
Sum	86,24	83,31	85,88	84,69	83,49	85,07	84,84	82,73	85,67	87,65
Si	2,65	2,66	2,66	2,66	2,67	2,67	2,68	2,59	2,60	2,52
XMg	0,38	0,34	0,35	0,36	0,34	0,35	0,40	0,37	0,38	0,32

LAME OM-05-30Bb2 (PHENGITES)

1) MON TRI

resultat	phg																								
Minéral	phg																								
Echant.	30Bb2																								
Analyse	o41	l14	m60	o36	o47	o50	o39	o42	m65	o32	m35	o43	m28	m31	l16	l18	m48	m15	m33	m29	m24	o37	m39		
SiO2	46,42	46,79	47,51	46,94	46,93	47,60	47,74	46,66	47,94	47,29	48,45	47,23	47,70	48,22	47,68	47,63	48,44	47,57	47,44	47,78	48,55	47,66	47,78	48,63	
TiO2	0,07	0,12	0,12	0,16	0,13	0,13	0,10	0,06	0,14	0,12	0,47	0,13	0,12	0,17	0,13	0,07	0,11	0,13	0,10	0,06	0,16	0,06	0,09	0,09	
Al2O3	34,18	34,38	33,68	33,52	33,61	34,35	34,29	33,61	34,50	33,27	34,38	33,59	33,85	34,43	33,28	32,97	33,61	33,01	33,00	33,10	33,42	32,47	32,64	33,24	
FeO	1,25	1,41	2,59	2,02	1,67	1,63	1,47	1,35	1,20	1,89	1,18	1,31	1,37	1,03	1,49	1,60	1,18	1,49	1,43	1,39	1,52	1,45	1,63	1,37	
MnO	0,00	0,00	0,00	0,00	0,03	0,00	0,00	0,00	0,00	0,02	0,00	0,02	0,00	0,00	0,00	0,00	0,00	0,02	0,04	0,01	0,05	0,04	0,00	0,01	
MgO	0,91	1,03	1,29	1,16	1,09	1,10	1,12	1,07	1,06	1,26	0,98	1,12	0,90	0,95	1,20	1,41	1,32	1,06	1,14	1,20	1,07	1,28	1,47	0,98	
CaO	0,09	0,09	0,05	0,07	0,00	0,04	0,02	0,08	0,00	0,07	0,12	0,05	0,10	0,10	0,07	0,06	0,02	0,07	0,05	0,06	0,08	0,16	0,05	0,09	
Na2O	1,30	0,70	0,78	0,60	0,73	0,74	0,72	0,75	0,86	0,56	1,85	0,63	0,74	1,38	0,54	0,51	0,58	0,58	1,71	0,38	0,90	1,08	0,45	1,58	
K2O	8,40	9,18	9,01	9,08	9,03	8,25	9,07	8,85	9,56	9,25	7,47	9,08	8,98	7,64	9,09	9,36	9,76	9,11	7,27	9,82	9,00	8,66	9,36	7,77	
Cr2O3	0,00	0,00	0,00	0,00	0,00	0,00	0,00	0,00	0,00	0,00	0,00	0,00	0,00	0,00	0,00	0,00	0,00	0,00	0,00	0,00	0,00	0,00	0,00	0,00	
Σ	92,62	93,69	95,02	93,56	93,21	94,13	94,54	92,43	95,25	93,74	94,89	93,16	93,75	93,92	93,46	93,61	95,05	93,05	92,14	93,82	94,75	92,82	93,46	93,75	

Formule structurale

Formule structurale	Si	3,14	3,14	3,16	3,16	3,17	3,17	3,17	3,17	3,18	3,18	3,18	3,19	3,19	3,20	3,20	3,20	3,21	3,21	3,21	3,22	3,22	3,22	3,24	
X Mg		0,56	0,57	0,47	0,51	0,53	0,55	0,58	0,59	0,61	0,54	0,60	0,60	0,54	0,62	0,59	0,61	0,66	0,55	0,59	0,60	0,55	0,61	0,62	0,56
Ti	0,00	0,01	0,01	0,01	0,01	0,01	0,01	0,00	0,01	0,01	0,02	0,01	0,01	0,01	0,00	0,01	0,01	0,00	0,01	0,01	0,00	0,01	0,00	0,00	
Al	2,73	2,72	2,64	2,66	2,67	2,69	2,68	2,69	2,69	2,64	2,66	2,67	2,67	2,69	2,63	2,61	2,62	2,63	2,63	2,62	2,61	2,59	2,59	2,61	
Fetot	0,07	0,08	0,14	0,11	0,09	0,09	0,08	0,08	0,07	0,11	0,06	0,07	0,08	0,06	0,08	0,09	0,07	0,08	0,08	0,08	0,08	0,08	0,09	0,08	
Mn	0,00	0,00	0,00	0,00	0,00	0,00	0,00	0,00	0,00	0,00	0,00	0,00	0,00	0,00	0,00	0,00	0,00	0,00	0,00	0,00	0,00	0,00	0,00	0,00	
Mg	0,09	0,10	0,13	0,12	0,11	0,11	0,11	0,11	0,10	0,13	0,10	0,11	0,09	0,09	0,12	0,14	0,13	0,11	0,11	0,12	0,11	0,13	0,15	0,10	
Ca	0,01	0,01	0,00	0,01	0,00	0,00	0,00	0,01	0,00	0,01	0,01	0,00	0,01	0,01	0,01	0,00	0,00	0,00	0,00	0,01	0,01	0,00	0,01	0,01	
Na	0,17	0,09	0,10	0,08	0,10	0,13	0,09	0,10	0,11	0,07	0,24	0,08	0,10	0,18	0,07	0,07	0,07	0,08	0,22	0,05	0,12	0,14	0,06	0,20	
K	0,73	0,79	0,76	0,78	0,78	0,70	0,77	0,77	0,80	0,79	0,63	0,78	0,77	0,64	0,78	0,80	0,82	0,78	0,63	0,84	0,76	0,75	0,80	0,66	
Charge +	22,00	22,00	22,00	22,00	22,00	22,00	22,00	22,00	22,00	22,00	22,00	22,00	22,00	22,00	22,00	22,00	22,00	22,00	22,00	22,00	22,00	22,00	22,00		
Al IV	0,85	0,85	0,83	0,83	0,83	0,83	0,82	0,83	0,83	0,81	0,80	0,81	0,80	0,80	0,79	0,79	0,79	0,78	0,79	0,79	0,78	0,77	0,78	0,76	
Al VI	1,87	1,87	1,81	1,83	1,85	1,86	1,86	1,86	1,86	1,82	1,87	1,86	1,86	1,89	1,84	1,82	1,83	1,84	1,83	1,81	1,81	1,81	1,81	1,85	
$\Sigma \alpha_{\text{Ax}}$	0,90	0,88	0,86	0,86	0,87	0,83	0,86	0,86	0,92	0,87	0,86	0,86	0,86	0,82	0,85	0,87	0,90	0,86	0,85	0,89	0,88	0,89	0,86	0,86	
Σoxy	2,04	2,05	2,08	2,06	2,05	2,06	2,05	2,05	2,03	2,06	2,03	2,04	2,04	2,03	2,05	2,05	2,03	2,04	2,04	2,04	2,03	2,03	2,02	2,02	
Na/No+K	0,19	0,10	0,12	0,09	0,11	0,16	0,11	0,11	0,12	0,08	0,27	0,10	0,11	0,22	0,08	0,08	0,08	0,09	0,26	0,06	0,13	0,16	0,07	0,24	

2) TESTS (Vidal et Parra, 2000)

ok ok

LAME OM-05-30Bb2 (PHENGITES suite)**1) MON TRI**

resultat	phg	phg	phg	phg
Minéral	phg	phg	phg	phg
Echant.	30bb2	30bb2	30bb2	30bb2
Analyse	m42	m47	m32	m40
SiO ₂	47,64	49,47	47,99	84,01
TiO ₂	0,11	0,15	0,85	0,00
Al ₂ O ₃	31,17	33,08	33,99	10,58
FeO	1,76	1,23	1,35	0,47
MnO	0,00	0,04	0,00	0,00
MgO	1,38	1,04	1,00	0,26
CaO	0,15	0,12	0,09	0,08
Na ₂ O	0,39	0,98	0,80	0,12
K ₂ O	9,68	8,70	9,14	2,19
Cr ₂ O ₃	0,00	0,00	0,00	0,00
Σ	92,27	94,79	95,21	97,70

Formule structurale

Si	3,26	3,26	3,17	4,89
XMg	0,58	0,59	0,57	0,50
Ti	0,01	0,01	0,04	0,00
Al	2,51	2,57	2,64	0,73
Fetot	0,10	0,07	0,07	0,02
Mn	0,00	0,00	0,00	0,00
Mg	0,14	0,10	0,10	0,02
Ca	0,01	0,01	0,01	0,00
Na	0,05	0,13	0,10	0,01
K	0,85	0,73	0,77	0,16
Charge +	22,00	22,00	22,00	22,00
Al IV	0,74	0,73	0,79	-0,89
Al VI	1,78	1,84	1,85	1,61
$\Sigma \text{ox}_\text{M}$	0,90	0,86	0,87	0,18
$\Sigma \text{ox}_\text{T}$	2,02	2,01	2,03	1,66
Na/Na+K	0,06	0,15	0,12	0,07

2) TESTS (Vidal et Parra, 2000)

ok ok OUT

LAME OM-05-30Bb2 (CHLORITOIDES)**1) MON TRI**

Minéral	cld	cld
Echant.	30Bb2	30Bb2
Analyse	o48	n13
SiO ₂	24,02	24,45
TiO ₂	0,19	0,04
Al ₂ O ₃	40,10	40,58
FeO	26,28	26,15
MnO	0,14	0,20
MgO	1,27	1,38
CaO	0,03	0,02
Na ₂ O	0,00	0,03
K ₂ O	0,02	0,02
Cr ₂ O ₃	0,00	0,00
Σ	92,03	92,86

Formule structurale

Si	1,01	1,01
XMg	0,08	0,09
Ti	0,01	0,00
Al	1,98	1,98
Fetot	0,92	0,91
Mn	0,00	0,01
Mg	0,08	0,09
Ca	0,00	0,00
Na	0,00	0,00
K	0,00	0,00
Charge +	12,00	12,00
Al IV	2,99	2,99
Al VI	-1,01	-1,01
Σ oxz.	0,00	0,00
Σ oxy.	0,00	-0,01
Na/Na+K	0,00	0,73

2) TESTS

ok ok

LAME OM-05-55B2 (CHLORITES)**1) MON TRI**

resultat Al>20	chl	-	-	-						
resultat Al>19,5	chl	chl								
Minéral	chl	chl								
Echant.	55B2	55B2								
Analyse	n2	o73	o65	o66	l7	o72	k13	n3	l8	
SiO ₂	23,78	23,65	23,49	24,02	23,86	27,20	23,28	22,68	24,59	
TiO ₂	0,07	0,00	0,07	0,08	0,04	0,04	0,12	0,07	0,08	
Al ₂ O ₃	21,16	21,35	21,10	21,75	21,71	23,94	20,85	19,99	20,90	
FeO	33,92	33,00	32,62	32,88	32,16	26,52	30,29	31,90	30,22	
MnO	0,10	0,01	0,06	0,10	0,00	0,04	0,04	0,05	0,03	
MgO	8,98	9,00	8,92	8,67	8,50	6,95	8,44	8,24	7,40	
CaO	0,11	0,08	0,08	0,02	0,13	0,10	0,22	0,09	0,22	
Na ₂ O	0,01	0,02	0,01	0,00	0,03	0,02	0,04	0,04	0,03	
K ₂ O	0,01	0,00	0,02	0,00	0,03	0,01	0,00	0,04	0,01	
Σ	88,14	87,11	86,37	87,52	86,45	84,82	83,28	83,10	83,49	

Formule structurale

Si	2,62	2,62	2,63	2,65	2,65	2,94	2,68	2,65	2,80	
XMg	0,32	0,33	0,33	0,32	0,32	0,32	0,33	0,31	0,30	
Ti	0,01	0,00	0,01	0,01	0,00	0,00	0,01	0,01	0,01	
Al	2,75	2,79	2,78	2,82	2,85	3,05	2,82	2,75	2,81	
Fetot	3,13	3,06	3,05	3,03	2,99	2,40	2,91	3,11	2,88	
Mn	0,01	0,00	0,01	0,01	0,00	0,00	0,00	0,01	0,00	
Mg	1,48	1,49	1,49	1,42	1,41	1,12	1,45	1,43	1,26	
Ca	0,01	0,01	0,01	0,00	0,02	0,01	0,03	0,01	0,03	
Na	0,00	0,00	0,00	0,00	0,01	0,01	0,01	0,01	0,01	
K	0,00	0,00	0,00	0,00	0,00	0,00	0,00	0,01	0,00	
Charge +	28,00	28,00	28,00	28,00	28,00	28,00	28,00	28,00	28,00	
Al _{IV}	1,37	1,38	1,37	1,35	1,34	1,06	1,31	1,35	1,19	
Al _{VI}	1,37	1,42	1,42	1,47	1,50	1,99	1,51	1,40	1,62	
Σ oxz.	0,00	0,00	0,01	0,00	0,01	0,01	0,01	0,01	0,01	
Σ oxy.	5,99	5,97	5,96	5,93	5,90	5,52	5,87	5,95	5,76	
Na/Na+K	0,54	0,90	0,51	1,00	0,54	0,78	1,00	0,59	0,77	

2) TESTS (Vidal et Parra, 2000)

	OUT	ok	ok	ok	ok	ok	OUT	ok	ok	ok
3) Fe₃ +:										
Analyse	n2	o73	o65	o66	l7	o72	k13	n3	l8	
10 kbar	n2	o73	o65	o66	l7	o72	k13	n3	l8	
average T (all reactions)	446,77	451,37	441,58	425,49	421,31	116,14	344,32	411,64	246,06	
sigma	72,22	62,28	52,13	19,25	1,83	4,14	1,06	27,45	1,60	
av.T (reactions 1,2,3)	480,67	480,65	466,06	434,62	422,14	118,19	344,83	424,60	246,85	
sigma	30,50	25,93	21,91	7,44	0,94	0,76	0,29	11,01	0,26	
XFe ₃₊	0,12	0,09	0,09	0,05	0,03	0,04	0,10	0,10	0,16	

N° Analyse	n2	o73	o65	o66	l7	o72	k13	n3	l8	
Si	2,59	2,60	2,60	2,63	2,64	2,93	2,65	2,62	2,76	
Ti	0,01	0,00	0,01	0,01	0,00	0,00	0,01	0,01	0,01	
Al	2,71	2,76	2,76	2,81	2,84	3,04	2,80	2,72	2,76	
FE++	2,71	2,76	2,75	2,86	2,89	2,29	2,59	2,77	2,38	
Fe ₃₊	0,37	0,27	0,27	0,15	0,09	0,10	0,29	0,31	0,45	
Mn	0,01	0,00	0,01	0,01	0,00	0,00	0,00	0,01	0,00	
Mg	1,46	1,47	1,47	1,41	1,40	1,12	1,43	1,42	1,24	
Ca	0,01	0,01	0,01	0,00	0,02	0,01	0,03	0,01	0,03	
Na	0,00	0,00	0,00	0,00	0,01	0,01	0,01	0,01	0,01	
K	0,00	0,00	0,00	0,00	0,00	0,00	0,00	0,01	0,00	
Sum	88,14	87,11	86,37	87,52	86,45	84,82	83,28	83,10	83,49	

Si	2,59	2,60	2,60	2,63	2,64	2,93	2,65	2,62	2,76	
XMg	0,35	0,35	0,35	0,33	0,33	0,33	0,36	0,34	0,34	

LAME OM-05-55B2 (PHENGITES)**1) MON TRI**

resultat	phg	phg	-	-
resultat (sum > 90)	phg	phg	phg	phg
Minéral	mu	mu	mu	mu
Echant.	55B2	55B2	55B2	55B2
Analyse	n9	k6	o70	o69
SiO ₂	48,95	50,76	47,35	49,48
TiO ₂	0,19	0,09	0,26	0,17
Al ₂ O ₃	28,86	26,88	28,66	26,20
FeO	3,21	3,01	3,28	4,08
MnO	0,02	0,03	0,00	0,00
MgO	1,92	2,37	1,92	2,21
CaO	0,08	0,06	0,12	0,00
Na ₂ O	0,05	0,16	0,35	0,18
K ₂ O	9,25	10,00	9,15	9,47
Σ	92,52	93,35	91,09	91,80

Formule structurale

Si	3,35	3,45	3,30	3,43
XMg	0,51	0,58	0,51	0,49
Ti	0,01	0,00	0,01	0,01
Al	2,33	2,15	2,36	2,14
Fetot	0,18	0,17	0,19	0,24
Mn	0,00	0,00	0,00	0,00
Mg	0,20	0,24	0,20	0,23
Ca	0,01	0,00	0,01	0,00
Na	0,01	0,02	0,05	0,02
K	0,81	0,87	0,81	0,84
Charge +	22,00	22,00	22,00	22,00
Al IV	0,64	0,55	0,68	0,56
Al VI	1,69	1,61	1,67	1,59
Σ Al _x	0,81	0,89	0,86	0,86
Σ oxy.	2,07	2,02	2,06	2,05
Na/Na+K	0,01	0,02	0,06	0,03

2) TESTS (Vidal et Parra, 2000)

ok ok OUT OUT

LAME OM-05-55B2 (AUTRES)

Minéral	prg	prg	prg	prg	prg	Ab	Ab
Echant.	55B2	55B2	55B2	55B2	55B2	55B2	55B2
Analyse	o71	19	o67	12	13	11	n7
SIO2	45,26	35,59	46,31	46,28	48,25	70,58	67,61
TIO2	0,05	1,01	0,04	0,04	0,00	0,03	0,00
Al2O3	37,61	28,11	39,53	37,85	39,75	20,00	18,77
FeO	0,58	0,36	0,56	2,43	0,89	0,08	0,00
MnO	0,05	0,00	0,00	0,00	0,00	0,00	0,00
MgO	0,26	0,21	0,12	0,46	0,17	0,00	0,01
CaO	0,10	0,17	0,11	0,11	0,13	0,04	0,08
Na2O	6,49	4,82	6,94	5,17	6,55	11,78	6,62
K2O	1,43	0,76	0,53	1,90	0,62	0,02	0,03
Σ	91,82	71,02	94,14	94,25	96,36	102,53	87,12
Formule structurale							
Si	3,01	3,05	2,99	3,02	3,04	3,00	3,20
XMg	0,43	0,51	0,28	0,25	0,26	0,06	1,00
Ti	0,00	0,07	0,00	0,00	0,00	0,00	0,00
Al	2,95	2,84	3,01	2,91	2,95	1,00	1,05
Fetot	0,03	0,03	0,03	0,13	0,05	0,00	0,00
Mn	0,00	0,00	0,00	0,00	0,00	0,00	0,00
Mg	0,03	0,03	0,01	0,04	0,02	0,00	0,00
Ca	0,01	0,02	0,01	0,01	0,01	0,00	0,00
Na	0,84	0,80	0,87	0,65	0,80	0,97	0,06
K	0,12	0,08	0,04	0,16	0,05	0,00	0,00
Charge +	22,00	22,00	22,00	22,00	22,00	16,00	16,00
Al IV	0,99	0,88	1,01	0,98	0,96	1,00	0,80
Al VI	1,96	1,96	2,00	1,93	1,99	0,01	0,24
$\Sigma \alpha \chi$	0,96	0,88	0,91	0,81	0,85	0,97	0,06
Σ oxy.	2,02	2,01	2,04	2,11	2,05	0,01	0,25
Na/Na+K	0,87	0,91	0,95	0,81	0,94	1,00	0,97

LAME OM-05-77B3 (CHLORITES)

1) MON TRI

Formule structurale

Formule structure		Teneur (%)																				
Si	2,61	2,63	2,65	2,63	2,63	2,66	2,67	2,68	2,70	2,71	2,73	2,73	2,75	2,76	2,65	2,68	2,67	2,71	2,72	2,75	2,77	2,84
X Mg	0,31	0,28	0,34	0,32	0,32	0,33	0,33	0,34	0,37	0,33	0,35	0,38	0,36	0,38	0,31	0,38	0,33	0,36	0,32	0,33	0,40	
Ti	0,01	0,00	0,00	0,00	0,00	0,01	0,01	0,00	0,01	0,00	0,01	0,01	0,00	0,00	0,01	0,01	0,00	0,00	0,01	0,01	0,01	0,00
Al	2,79	2,76	2,72	2,78	2,83	2,76	2,80	2,76	2,76	2,75	2,74	2,77	2,73	2,79	2,73	2,73	2,71	2,73	2,63	2,65	2,62	2,68
Fetot	3,11	3,25	3,05	3,08	3,04	3,03	2,97	2,95	2,80	2,94	2,86	2,67	2,77	2,63	3,12	2,79	3,09	2,83	3,12	3,02	2,98	2,56
Mn	0,02	0,02	0,01	0,01	0,01	0,01	0,02	0,01	0,02	0,01	0,01	0,01	0,01	0,02	0,01	0,01	0,01	0,02	0,02	0,02	0,02	0,01
Mg	1,42	1,30	1,55	1,46	1,41	1,48	1,46	1,51	1,62	1,47	1,54	1,67	1,58	1,61	1,44	1,71	1,49	1,60	1,46	1,47	1,51	1,70
Ca	0,01	0,02	0,01	0,01	0,01	0,02	0,01	0,01	0,01	0,02	0,01	0,01	0,02	0,02	0,02	0,02	0,00	0,02	0,01	0,01	0,01	0,03
Na	0,00	0,01	0,00	0,00	0,00	0,01	0,00	0,00	0,01	0,00	0,01	0,01	0,00	0,01	0,01	0,00	0,01	0,00	0,01	0,00	0,01	0,00
K	0,00	0,01	0,00	0,00	0,00	0,01	0,01	0,01	0,01	0,01	0,01	0,01	0,00	0,01	0,00	0,01	0,00	0,01	0,01	0,01	0,01	0,01
Charge +	28,00	28,00	28,00	28,00	28,00	28,00	28,00	28,00	28,00	28,00	28,00	28,00	28,00	28,00	28,00	28,00	28,00	28,00	28,00	28,00	28,00	
Al IV	1,38	1,36	1,35	1,36	1,36	1,34	1,32	1,32	1,30	1,28	1,27	1,26	1,24	1,23	1,35	1,31	1,33	1,28	1,28	1,25	1,23	1,16
Al VI	1,41	1,39	1,37	1,41	1,47	1,42	1,47	1,44	1,47	1,46	1,48	1,51	1,49	1,56	1,38	1,41	1,38	1,45	1,35	1,40	1,39	1,52
$\Sigma \text{ox.}$	0,01	0,02	0,00	0,00	0,01	0,01	0,01	0,01	0,01	0,02	0,02	0,01	0,01	0,03	0,00	0,01	0,01	0,02	0,01	0,02	0,01	0,01
$\Sigma \text{oxy.}$	5,97	5,96	5,98	5,96	5,93	5,94	5,92	5,92	5,90	5,89	5,88	5,86	5,85	5,82	5,96	5,92	5,97	5,89	5,95	5,91	5,89	5,79
Na/No-K	0,52	0,36	0,47	0,00	0,58	0,71	0,00	0,26	0,44	0,13	0,29	0,61	0,70	0,38	0,61	0,53	0,00	0,94	0,59	0,30	0,29	0,00

2) TESTS (Vidal et Parra, 2000)

LAME OM-05-77B3 (PHENGITES)

1) MON TRI

Formule structurale

3) TESTS (Vidal et Barra, 2000)

2) TESTS (Vidal et Parra, 2000)

LAME OM-05-77B3 (AUTRES)

Minéral	prg 77.B3 s16	prg 77.B3 s4	prg 77.B3 s6	prg 77.B3 s17	prg 77.B3 s3	prg 77.B3 s18
SIO2	40,77	42,21	47,36	47,06	47,31	47,64
TIO2	0,12	0,08	0,09	0,07	0,07	0,07
Al2O3	33,32	34,87	39,05	38,67	38,58	38,85
FeO	8,33	0,56	0,62	0,70	0,73	0,51
MnO	0,11	0,03	0,00	0,00	0,04	0,02
MgO	2,51	0,13	0,10	0,13	0,12	0,26
CaO	0,15	0,08	0,07	0,08	0,08	0,07
Na2O	4,50	5,68	6,38	6,12	6,72	6,45
K2O	1,00	0,34	0,62	0,60	0,38	0,53
Σ	90,81	83,97	94,29	93,42	94,02	94,39
<hr/>						
Formule structurale						
Si	2,86	3,04	3,04	3,05	3,05	3,05
XMg	0,35	0,28	0,22	0,25	0,22	0,46
Ti	0,01	0,00	0,00	0,00	0,00	0,00
Al	2,76	2,96	2,96	2,95	2,93	2,94
Fetot	0,49	0,03	0,03	0,04	0,04	0,03
Mn	0,01	0,00	0,00	0,00	0,00	0,00
Mg	0,26	0,01	0,01	0,01	0,01	0,02
Ca	0,01	0,01	0,00	0,01	0,01	0,00
Na	0,61	0,79	0,80	0,77	0,84	0,80
K	0,09	0,03	0,05	0,05	0,03	0,04
Charge +	22,00	22,00	22,00	22,00	22,00	22,00
Al IV	1,13	0,95	0,95	0,95	0,95	0,94
Al VI	1,63	2,01	2,00	2,01	1,99	1,99
Σ Al _x	0,70	0,82	0,85	0,82	0,87	0,84
Σ oxy.	2,39	2,06	2,05	2,06	2,04	2,05
Na/Na+K	0,87	0,96	0,94	0,94	0,96	0,95

OUT **OUT** ok ok ok ok

LAME OM-05-78B3 (CHLORITES)**1) MON TRI**

resultat resultat Al>19,5	chl	-	-	-	-											
	chl															
Minéral	chl															
Echant.	78-B3															
Analyse	s76	s68	s70	s75	s71	s72	s84	s88	s82	s93	s81	s73	s86	s78		
SiO2	24,10	24,42	24,67	24,87	24,86	25,12	25,28	25,43	25,45	25,92	26,35	25,38	25,61	25,50		
TiO2	0,00	0,02	0,03	0,00	0,00	0,08	0,07	0,00	0,06	0,01	0,05	0,09	0,00	0,09		
Al2O3	22,31	22,25	22,21	22,43	21,89	21,61	21,26	21,42	21,03	23,41	21,26	20,79	20,91	20,84		
FeO	28,14	28,56	28,73	28,56	29,46	27,95	28,33	27,46	30,30	27,67	28,52	31,11	29,03	28,24		
MnO	0,08	0,08	0,01	0,09	0,07	0,07	0,10	0,12	0,35	0,03	0,34	0,44	0,14	0,37		
MgO	12,32	12,14	12,08	11,93	11,96	11,81	12,13	12,54	11,06	10,26	11,42	10,74	11,66	11,00		
CaO	0,14	0,11	0,09	0,12	0,05	0,15	0,15	0,12	0,13	0,12	0,09	0,09	0,13	0,10		
Na2O	0,00	0,01	0,00	0,01	0,01	0,00	0,01	0,00	0,02	0,03	0,01	0,03	0,00	0,00		
K2O	0,04	0,00	0,00	0,04	0,00	0,02	0,03	0,02	0,07	0,02	0,06	0,02	0,02	0,07		
Σ	87,13	87,60	87,82	88,06	88,29	86,80	87,35	87,10	88,46	87,46	88,08	88,69	87,49	86,20		

Formule structurale

Si	2,60	2,62	2,64	2,65	2,66	2,71	2,72	2,73	2,73	2,75	2,80	2,73	2,76	2,78		
XMg	0,44	0,43	0,43	0,43	0,42	0,43	0,43	0,45	0,39	0,40	0,41	0,38	0,42	0,41		
Ti	0,00	0,00	0,00	0,00	0,00	0,01	0,01	0,00	0,00	0,00	0,00	0,01	0,00	0,01		
Al	2,84	2,82	2,80	2,82	2,76	2,75	2,69	2,71	2,66	2,93	2,66	2,63	2,65	2,68		
Fetot	2,54	2,56	2,57	2,55	2,63	2,52	2,55	2,46	2,72	2,46	2,54	2,80	2,61	2,57		
Mn	0,01	0,01	0,00	0,01	0,01	0,01	0,01	0,01	0,03	0,00	0,03	0,04	0,01	0,03		
Mg	1,98	1,94	1,93	1,90	1,90	1,90	1,94	2,00	1,77	1,62	1,81	1,72	1,87	1,79		
Ca	0,02	0,01	0,01	0,01	0,02	0,02	0,01	0,01	0,01	0,01	0,01	0,01	0,01	0,01		
Na	0,00	0,00	0,00	0,00	0,00	0,00	0,00	0,00	0,00	0,01	0,00	0,01	0,00	0,00		
K	0,01	0,00	0,00	0,01	0,00	0,00	0,00	0,01	0,00	0,01	0,00	0,00	0,01	0,01		
Charge +	28,00	28,00	28,00	28,00	28,00	28,00	28,00	28,00	28,00	28,00	28,00	28,00	28,00	28,00		
Al IV	1,40	1,38	1,36	1,35	1,34	1,28	1,28	1,27	1,26	1,25	1,19	1,26	1,24	1,21		
Al VI	1,44	1,44	1,44	1,47	1,41	1,46	1,41	1,43	1,39	1,68	1,47	1,37	1,41	1,46		
Σ oxz.	0,01	0,00	0,00	0,01	0,00	0,00	0,00	0,01	0,01	0,01	0,01	0,00	0,01	0,01		
Σ oxy.	5,96	5,95	5,95	5,92	5,96	5,89	5,91	5,91	5,91	5,77	5,85	5,93	5,90	5,86		
Na/Na+K	0,00	1,00	0,00	0,34	1,00	0,00	0,30	0,00	0,29	0,70	0,12	0,70	0,14	0,06		

2) TESTS (Vidal et Parra, 2000)

OUT	ok	ok	ok													
3) Fe3+:																
Analyse	s76	s68	s70	s75	s71	s72	s84	s88	s82	s93	s81	s73	s86	s78		
5 kb/10 kb	s76	s68	s70	s75	s71	s72	s84	s88	s82	s93	s81	s73	s86	s78		
average T (all reactions)	448,80	433,74	418,06	402,70	408,78	324,83	330,27	321,70	321,16	256,85	260,69	337,87	306,72	288,71		
sigma	136,11	101,26	71,73	54,50	58,67	1,22	2,20	1,39	0,99	2,71	0,59	1,73	0,55	3,83		
av.T (reactions 1,2,3)	512,57	481,74	452,38	428,82	436,93	324,22	329,17	322,35	321,64	258,17	260,99	337,00	307,00	286,82		
sigma	58,23	39,50	25,55	19,02	20,24	0,19	0,30	0,56	0,31	0,76	0,03	0,01	0,00	0,75		
XFe3+	0,14	0,11	0,09	0,08	0,10	0,12	0,14	0,15	0,16	0,12	0,23	0,18	0,21	0,21		
N° Analyse	s76	s68	s70	s75	s71	s72	s84	s88	s82	s93	s81	s73	s86	s78		
Si	2,57	2,60	2,62	2,63	2,63	2,68	2,68	2,69	2,69	2,72	2,74	2,68	2,70	2,73		
Ti	0,00	0,00	0,00	0,00	0,00	0,01	0,01	0,00	0,00	0,00	0,00	0,01	0,00	0,01		
Al	2,80	2,79	2,78	2,80	2,73	2,72	2,66	2,67	2,62	2,90	2,61	2,59	2,60	2,63		
Fe2+	2,16	2,26	2,32	2,33	2,35	2,20	2,16	2,07	2,25	2,14	1,91	2,25	2,02	2,00		
Fe3+	0,35	0,28	0,23	0,20	0,26	0,30	0,35	0,36	0,43	0,29	0,57	0,49	0,54	0,53		
Mn	0,01	0,01	0,00	0,01	0,01	0,01	0,01	0,01	0,03	0,00	0,03	0,04	0,01	0,03		
Mg	1,96	1,92	1,91	1,88	1,89	1,88	1,92	1,98	1,74	1,61	1,77	1,69	1,83	1,75		
Ca	0,02	0,01	0,01	0,01	0,01	0,02	0,02	0,01	0,01	0,01	0,01	0,01	0,01	0,01		
Na	0,00	0,00	0,00	0,00	0,00	0,00	0,00	0,00	0,00	0,01	0,00	0,01	0,00	0,00		
K	0,01	0,00	0,00	0,01	0,00	0,00	0,00	0,00	0,01	0,00	0,01	0,00	0,00	0,01		
Somme	87,13	87,60	87,82	88,06	88,29	86,80	87,35	87,10	88,46	87,46	88,08	88,69	87,49	86,20		
Si	2,57	2,60	2,62	2,63	2,63	2,68	2,68	2,69	2,69	2,72	2,74	2,68	2,70	2,73		
XMg	0,48	0,46	0,45	0,45	0,46	0,47	0,49	0,44	0,43	0,48	0,43	0,48	0,47			

LAME OM-05-78B3 (PHENGITES)**1) MON TRI**

resultat	phg										
Minéral	phg										
Echant.	78-B3										
Analyse	s67	s77	s74	s92	s83	s79	s91	s80	s69	s87	s85
SiO ₂	50,07	48,44	48,96	49,14	49,61	50,40	50,61	50,12	50,24	50,99	50,65
TiO ₂	0,12	0,15	0,05	0,04	0,10	0,14	0,15	0,22	0,16	0,15	0,08
Al ₂ O ₃	27,82	31,38	31,95	31,43	28,05	28,26	28,62	27,81	27,65	27,10	26,90
FeO	3,23	2,13	2,21	2,40	3,44	3,45	3,33	3,18	3,84	4,15	4,04
MnO	0,10	0,03	0,00	0,01	0,01	0,09	0,03	0,00	0,01	0,03	0,03
MgO	2,38	1,82	1,73	1,76	2,34	2,44	2,30	2,44	2,32	2,43	2,41
CaO	0,12	0,08	0,09	0,10	0,07	0,09	0,05	0,09	0,08	0,04	0,07
Na ₂ O	0,21	0,43	0,46	0,41	0,25	0,26	0,20	0,26	0,22	0,19	0,18
K ₂ O	9,09	9,73	9,49	9,43	9,48	9,69	9,66	9,76	9,40	9,75	9,75
Σ	93,14	94,20	94,93	94,72	93,34	94,80	94,94	93,88	93,92	94,82	94,11

Formule structurale

Si	3,40	3,25	3,25	3,27	3,38	3,38	3,38	3,39	3,40	3,43	3,43
XMg	0,56	0,60	0,58	0,56	0,55	0,55	0,55	0,58	0,52	0,51	0,51
Ti	0,01	0,01	0,00	0,00	0,01	0,01	0,01	0,01	0,01	0,01	0,00
Al	2,23	2,48	2,50	2,47	2,25	2,23	2,25	2,22	2,20	2,15	2,15
Fetot	0,18	0,12	0,12	0,13	0,20	0,19	0,19	0,18	0,22	0,23	0,23
Mn	0,01	0,00	0,00	0,00	0,00	0,00	0,00	0,00	0,00	0,00	0,00
Mg	0,24	0,18	0,17	0,17	0,24	0,24	0,23	0,25	0,23	0,24	0,24
Ca	0,01	0,01	0,01	0,01	0,01	0,01	0,00	0,01	0,01	0,00	0,01
Na	0,03	0,06	0,06	0,05	0,03	0,03	0,03	0,03	0,02	0,02	0,02
K	0,79	0,83	0,80	0,80	0,82	0,83	0,82	0,84	0,81	0,84	0,84
Charge +	22,00	22,00	22,00	22,00	22,00	22,00	22,00	22,00	22,00	22,00	22,00
Al IV	0,59	0,74	0,74	0,72	0,62	0,61	0,61	0,60	0,59	0,57	0,57
Al VI	1,63	1,74	1,76	1,75	1,63	1,62	1,64	1,62	1,61	1,58	1,58
Σ Al _x	0,82	0,89	0,86	0,85	0,86	0,86	0,85	0,88	0,84	0,86	0,87
Σ oxy.	2,06	2,05	2,05	2,05	2,06	2,06	2,06	2,05	2,06	2,06	2,05
Na/Na+K	0,03	0,06	0,07	0,06	0,04	0,04	0,03	0,04	0,03	0,03	0,03

2) TESTS (Vidal et Parra, 2000)

OUT	ok									
-----	----	----	----	----	----	----	----	----	----	----

LAME OM-05-91A4 (CHLORITES)**1) MON TRI**

Minéral	resultat Al> 21																							
	resultat Al> 19,5																							
Echant.	chl	chl	chl	chl	chl	chl	chl	chl	chl	chl	chl	chl	chl	chl	chl	chl	chl	chl	chl	chl	chl			
Analyse	r215	r165	r198	r195	r144	r202	r205	r155	r108	r141	r209	r158	r114	r157	r154	r160	r204	r80	r90	r92	r106			
SiO2	24,81	24,85	24,62	25,09	25,06	25,07	25,26	25,46	24,80	25,27	25,28	25,38	25,58	25,83	25,73	25,42	25,98	25,87	25,90	25,73	25,67	25,96		
TiO2	0,10	0,07	0,00	0,00	0,11	0,04	0,00	0,02	0,01	0,07	0,00	0,04	0,05	0,00	0,06	0,07	0,02	0,04	0,04	0,08	0,03	0,00	0,09	0,03
Al2O3	20,29	20,10	20,19	20,37	20,20	19,55	20,04	20,11	19,56	19,57	19,78	19,65	19,90	19,52	20,01	19,64	19,76	19,90	20,43	19,67	19,92	19,52	19,53	19,78
FeO	23,81	24,05	23,18	23,18	22,93	23,08	21,80	23,43	22,78	22,87	22,71	23,65	23,38	23,39	23,10	23,02	21,71	23,47	22,57	23,55	22,93	22,42	22,83	23,18
MnO	0,18	0,14	0,22	0,15	0,26	0,20	0,28	0,20	0,16	0,18	0,24	0,15	0,19	0,24	0,23	0,24	0,35	0,20	0,15	0,16	0,19	0,19	0,20	
MgO	17,00	16,71	16,35	17,04	16,37	17,24	17,75	16,76	16,38	17,31	17,33	16,98	17,05	16,99	17,18	17,13	17,24	16,85	16,63	16,82	16,95	17,31	17,11	17,24
CaO	0,06	0,22	0,09	0,06	0,05	0,08	0,10	0,07	0,08	0,07	0,07	0,04	0,04	0,19	0,01	0,04	0,09	0,06	0,06	0,17	0,11	0,06	0,09	0,04
Na2O	0,03	0,03	0,04	0,00	0,00	0,02	0,00	0,01	0,00	0,01	0,00	0,03	0,01	0,04	0,02	0,00	0,01	0,01	0,01	0,02	0,02	0,01	0,02	0,01
K2O	0,08	0,03	0,02	0,01	0,06	0,02	0,04	0,01	0,04	0,04	0,01	0,00	0,02	0,01	0,00	0,04	0,03	0,02	0,00	0,04	0,02	0,03	0,03	0,03
Σ	86,35	86,21	84,69	85,89	85,05	85,28	85,28	86,08	83,82	85,38	85,44	85,89	86,22	85,94	86,43	85,94	84,62	86,54	85,87	86,32	86,10	85,27	85,57	86,47

Formule structurale

Si	2,65	2,66	2,67	2,68	2,70	2,70	2,71	2,71	2,71	2,71	2,72	2,72	2,73	2,73	2,74	2,74	2,75	2,75	2,75	2,75	2,75	2,75	2,75
XMg	0,56	0,55	0,55	0,57	0,56	0,57	0,59	0,56	0,56	0,57	0,57	0,56	0,56	0,57	0,57	0,57	0,58	0,56	0,57	0,56	0,57	0,57	0,57
Ti	0,01	0,01	0,00	0,00	0,01	0,00	0,00	0,00	0,01	0,00	0,00	0,00	0,00	0,01	0,01	0,00	0,00	0,01	0,00	0,00	0,01	0,00	0,00
Al	2,55	2,54	2,58	2,56	2,57	2,48	2,52	2,53	2,48	2,50	2,48	2,49	2,46	2,50	2,47	2,51	2,48	2,55	2,46	2,49	2,46	2,46	2,47
Fetot	2,13	2,15	2,10	2,07	2,07	2,08	1,95	2,09	2,09	2,05	2,04	2,12	2,08	2,09	2,04	2,05	1,95	2,08	2,00	2,09	2,04	2,01	2,04
Mn	0,02	0,01	0,02	0,01	0,02	0,02	0,03	0,02	0,01	0,02	0,02	0,01	0,02	0,02	0,02	0,03	0,02	0,01	0,01	0,02	0,02	0,02	0,02
Mg	2,70	2,67	2,64	2,71	2,63	2,77	2,83	2,66	2,67	2,77	2,71	2,70	2,71	2,72	2,77	2,66	2,63	2,66	2,68	2,76	2,73	2,72	
Ca	0,01	0,02	0,01	0,01	0,01	0,01	0,01	0,01	0,01	0,01	0,00	0,02	0,00	0,01	0,01	0,01	0,02	0,01	0,01	0,01	0,01	0,01	0,00
Na	0,01	0,01	0,01	0,00	0,00	0,00	0,00	0,00	0,00	0,00	0,00	0,00	0,00	0,01	0,00	0,00	0,00	0,00	0,00	0,00	0,00	0,00	0,00
K	0,01	0,00	0,00	0,01	0,01	0,00	0,00	0,01	0,00	0,01	0,00	0,00	0,00	0,00	0,00	0,00	0,00	0,00	0,01	0,00	0,00	0,00	0,00
Charge +	28,00	28,00	28,00	28,00	28,00	28,00	28,00	28,00	28,00	28,00	28,00	28,00	28,00	28,00	28,00	28,00	28,00	28,00	28,00	28,00	28,00	28,00	
AlIV	1,34	1,33	1,32	1,29	1,30	1,30	1,28	1,28	1,28	1,29	1,28	1,27	1,27	1,26	1,25	1,25	1,24	1,24	1,25	1,25	1,25	1,25	1,25
AlVI	1,21	1,20	1,25	1,24	1,28	1,18	1,22	1,24	1,24	1,19	1,21	1,20	1,22	1,19	1,24	1,21	1,24	1,31	1,22	1,25	1,21	1,22	
Σ oxz.	0,02	0,01	0,01	0,00	0,01	0,00	0,01	0,01	0,00	0,00	0,00	0,01	0,00	0,01	0,01	0,00	0,01	0,00	0,01	0,01	0,01	0,01	0,01
Σ oxy.	6,05	6,04	6,02	6,03	6,00	6,05	6,02	6,01	6,01	6,03	6,04	6,02	6,01	6,01	6,00	5,99	5,96	5,99	5,98	6,00	6,00	6,00	6,01
Na/Na+K	0,32	0,59	0,75	0,00	0,07	0,00	0,41	0,00	0,29	0,00	0,53	0,00	0,83	1,00	0,62	0,47	0,15	0,54	1,00	0,34	0,65	0,49	0,40

2) TESTS (Vidal et Parra, 2000)

ok	OUT	ok	ok	OUT	ok	ok	ok	ok	ok	ok	ok													
3) Fe3+:																								
Analyse	r215	r165	r198	r195	r144	r202	r205	r155	r108	r141	r209	r158	r114	r157	r154	r160	r204	r80	r90	r92	r106	r112	r132	r147
10 kbar	r215	r165	r198	r195	r144	r202	r205	r155	r108	r141	r209	r158	r114	r157	r154	r160	r204	r80	r90	r92	r106	r112	r132	r147
average T (all reactions)	487,70	472,83	455,12	465,08	435,83	464,32	449,92	460,02	414,74	442,61	449,05	447,51	398,62	389,90	367,77	360,83	375,07	347,06	328,40	347,96	345,04	352,72	354,84	355,74
sigma	100,90	82,05	62,07	57,99	0,58	35,57	33,64	0,58	1,19	7,33	19,61	3,96	1,18	0,94	1,34	1,34	1,34	1,17	1,15	0,05	1,09	2,77	0,58	
av.T (reactions 1,2,3)	533,71	510,81	484,12	492,03	436,11	481,02	465,67	459,93	414,15	445,93	458,36	449,38	398,03	389,48	368,42	361,47	374,31	345,41	328,98	347,38	345,03	352,19	353,48	355,45
sigma	50,71	38,01	27,07	26,26	0,00	15,00	14,50	0,67	0,13	3,81	7,54	1,54	0,05	0,50	0,51	0,46	0,27	0,71	0,03	0,00	0,05	0,33	0,71	0,00
XFe3+	0,28	0,27	0,24	0,23	0,18	0,24	0,25	0,17	0,22	0,23	0,23	0,21	0,25	0,28	0,29	0,32	0,29	0,31	0,32	0,32	0,33	0,32	0,32	0,32
N° Analyse	r215	r165	r198	r195	r144	r202	r205	r155	r108	r141	r209	r158	r114	r157	r154	r160	r204	r80	r90	r92	r106	r112	r132	r147
Si	2,59	2,61	2,62	2,63	2,67	2,65	2,68	2,68	2,67	2,67	2,66	2,67	2,67	2,67	2,68	2,68	2,68	2,68	2,69	2,69	2,69	2,69	2,68	2,69
XMg	0,64	0,63	0,62	0,63	0,61	0,64	0,66	0,61	0,62	0,64	0,64	0,62	0,63	0,64	0,65	0,66	0,67	0,65	0,66	0,65	0,66	0,67	0,66	0,66

LAME OM-05-91A4 (CHLORITES suite)**1) MON TRI**

Minéral Echant. Analyse	resultat Al> 21													
	resultat Al> 19,5		chl											
SiO ₂	25,96	25,83	25,97	26,08	25,80	26,11	25,88	26,07	26,16	25,94	25,92	26,11	25,83	26,16
TiO ₂	0,02	0,03	0,07	0,04	0,00	0,06	0,06	0,11	0,01	0,00	0,05	0,01	0,01	0,08
Al ₂ O ₃	19,57	19,54	20,46	19,58	19,65	20,07	19,79	19,69	19,66	19,57	19,58	19,89	19,56	19,89
FeO	22,93	23,31	22,50	22,99	22,35	22,85	22,87	22,98	22,92	23,16	22,83	22,17	22,37	22,77
MnO	0,18	0,21	0,16	0,15	0,13	0,15	0,17	0,23	0,18	0,19	0,17	0,19	0,12	0,17
MgO	17,66	16,84	16,34	17,59	17,17	16,92	16,89	17,24	17,44	17,00	17,19	17,70	16,82	16,47
CaO	0,07	0,09	0,11	0,06	0,10	0,05	0,07	0,03	0,00	0,05	0,08	0,06	0,07	0,04
Na ₂ O	0,02	0,04	0,00	0,01	0,03	0,01	0,00	0,00	0,01	0,01	0,03	0,02	0,02	0,03
K ₂ O	0,03	0,00	0,03	0,01	0,01	0,00	0,02	0,04	0,05	0,00	0,02	0,00	0,05	0,00
Σ	86,44	85,89	85,65	86,51	85,24	86,24	85,76	86,39	86,44	85,92	85,88	86,15	84,84	85,61

Formule structurale

Si	2,75	2,76	2,76	2,76	2,76	2,76	2,76	2,76	2,76	2,76	2,76	2,76	2,78	2,79
XMg	0,58	0,56	0,56	0,58	0,58	0,57	0,57	0,57	0,57	0,56	0,57	0,59	0,57	0,56
Ti	0,00	0,00	0,01	0,00	0,00	0,00	0,00	0,01	0,00	0,00	0,00	0,00	0,00	0,01
Al	2,44	2,46	2,56	2,44	2,48	2,50	2,49	2,46	2,45	2,46	2,46	2,48	2,48	2,50
Fetot	2,03	2,08	2,00	2,03	2,00	2,02	2,04	2,03	2,03	2,06	2,03	1,96	2,01	2,03
Mn	0,02	0,02	0,01	0,01	0,01	0,02	0,02	0,02	0,02	0,02	0,02	0,02	0,01	0,02
Mg	2,78	2,68	2,59	2,77	2,74	2,67	2,68	2,72	2,75	2,70	2,73	2,79	2,69	2,61
Ca	0,01	0,01	0,01	0,01	0,01	0,01	0,00	0,00	0,01	0,01	0,01	0,01	0,01	0,00
Na	0,00	0,01	0,00	0,00	0,01	0,00	0,00	0,00	0,00	0,00	0,01	0,00	0,00	0,01
K	0,00	0,00	0,00	0,00	0,00	0,00	0,00	0,01	0,01	0,00	0,00	0,01	0,00	0,00
Charge +	28,00	28,00	28,00	28,00	28,00	28,00	28,00	28,00	28,00	28,00	28,00	28,00	28,00	28,00
Al _{IV}	1,25	1,24	1,23	1,24	1,24	1,23	1,24	1,23	1,23	1,24	1,24	1,24	1,22	1,21
Al _{VI}	1,19	1,22	1,33	1,20	1,24	1,27	1,25	1,22	1,21	1,22	1,22	1,23	1,25	1,29
Σ ox.	0,01	0,01	0,01	0,00	0,01	0,00	0,00	0,01	0,01	0,00	0,01	0,00	0,01	0,01
Σ oxy.	6,02	6,00	5,94	6,01	5,99	5,97	5,98	6,00	6,01	6,00	5,99	5,99	5,97	5,95
Na/Na+K	0,45	1,00	0,13	0,51	0,90	1,00	0,00	0,27	1,00	0,69	1,00	0,40	1,00	

2) TESTS (Vidal et Parra, 2000)

	ok	ok	ok	ok	OUT	OUT	OUT	ok	OUT	ok	ok	OUT	OUT	ok
3) Fe3+:														
Analyse	r180	r71	r87	r96	r100	r102	r113	r118	r150	r168	r172	r207	r138	r136
10 kbar	r180	r71	r87	r96	r100	r102	r113	r118	r150	r168	r172	r207	r138	r136
averageT (all reactions)	364,46	345,62	316,78	350,84	339,45	328,37	336,43	339,85	340,06	342,37	342,12	344,89	321,16	304,88
sigma	0,65	1,18	2,03	0,94	0,70	0,67	0,47	3,61	0,54	2,13	3,67	0,26	0,99	3,94
av.T (reactions 1,2,3)	364,78	345,03	315,80	350,46	339,11	328,18	336,62	338,11	339,93	341,46	340,36	344,83	321,64	306,84
sigma	0,19	0,05	0,60	0,67	0,18	0,67	0,33	1,16	0,58	1,39	1,31	0,29	0,31	0,32
XFe3+	0,33	0,33	0,31	0,34	0,34	0,33	0,33	0,34	0,35	0,33	0,34	0,34	0,36	0,36
N° Analyse	r180	r71	r87	r96	r100	r102	r113	r118	r150	r168	r172	r207	r138	r136
Si	2,68	2,69	2,70	2,69	2,69	2,70	2,69	2,69	2,70	2,70	2,69	2,69	2,71	2,72
Ti	0,00	0,00	0,01	0,00	0,00	0,00	0,00	0,01	0,00	0,00	0,00	0,00	0,00	0,01
Al	2,38	2,40	2,51	2,38	2,42	2,44	2,43	2,40	2,39	2,40	2,40	2,42	2,42	2,43
Fe2+	1,33	1,36	1,35	1,31	1,29	1,32	1,33	1,31	1,28	1,35	1,31	1,26	1,25	1,27
Fe3+	0,65	0,67	0,61	0,67	0,66	0,65	0,67	0,69	0,66	0,67	0,65	0,71	0,71	0,71
Mn	0,02	0,02	0,01	0,01	0,01	0,01	0,02	0,02	0,02	0,02	0,02	0,02	0,01	0,02
Mg	2,72	2,61	2,53	2,70	2,67	2,61	2,62	2,65	2,68	2,64	2,66	2,72	2,63	2,55
Ca	0,01	0,01	0,01	0,01	0,01	0,01	0,01	0,00	0,00	0,01	0,01	0,01	0,01	0,00
Na	0,00	0,01	0,00	0,00	0,01	0,00	0,00	0,00	0,00	0,01	0,00	0,00	0,00	0,01
K	0,00	0,00	0,00	0,00	0,00	0,00	0,01	0,01	0,00	0,00	0,00	0,00	0,01	0,00
Somme	86,44	85,89	86,35	86,51	85,24	86,24	85,76	86,39	86,44	85,92	85,88	86,15	84,84	85,61
Si	2,68	2,69	2,70	2,69	2,69	2,70	2,69	2,70	2,70	2,69	2,71	2,72		
XMg	0,67	0,66	0,65	0,67	0,66	0,66	0,67	0,68	0,66	0,67	0,68	0,68	0,67	

LAME OM-05-91A4 (PHENGITES suite)**1) MON TRI**

resultat	phg	phg											
	phg	phg											
Minéral	91A4	91A4											
Echant.	r171	r85	r182	r199	r123	r120	r149	r188	r101	r135	r122	r122	r83
SiO ₂	50,10	50,65	49,67	50,09	50,61	50,60	50,48	49,95	50,69	51,17	50,74	51,22	
TiO ₂	0,00	0,10	0,13	0,03	0,10	0,14	0,05	0,08	0,05	0,14	0,06	0,06	
Al ₂ O ₃	24,35	24,15	22,52	22,83	22,84	23,24	23,48	22,50	22,80	23,20	22,20	23,25	
FeO	4,35	4,67	5,24	5,09	4,77	4,33	4,04	5,61	4,31	4,21	4,83	4,31	
MnO	0,05	0,00	0,01	0,01	0,04	0,02	0,00	0,00	0,00	0,00	0,03	0,06	
MgO	3,46	3,29	3,61	3,76	3,91	3,74	3,70	3,49	3,82	3,89	3,83	3,53	
CaO	0,07	0,03	0,02	0,04	0,04	0,03	0,05	0,02	0,14	0,00	0,05	0,05	
Na ₂ O	0,08	0,13	0,15	0,09	0,08	0,08	0,09	0,06	0,10	0,13	0,11	0,10	
K ₂ O	10,57	10,31	10,66	10,68	10,64	10,74	10,60	10,80	10,51	10,38	10,64	10,14	
Σ	93,03	93,33	92,02	92,64	93,02	92,93	92,48	92,50	92,43	93,13	92,49	92,73	

Formule structurale

Si	3,47	3,49	3,50	3,50	3,51	3,51	3,51	3,51	3,53	3,53	3,54	3,54
XMg	0,58	0,56	0,55	0,57	0,59	0,60	0,62	0,53	0,61	0,62	0,58	0,59
Ti	0,00	0,01	0,01	0,00	0,01	0,01	0,00	0,00	0,00	0,01	0,00	0,00
Al	1,99	1,96	1,87	1,88	1,87	1,90	1,92	1,86	1,87	1,88	1,83	1,89
Fetot	0,25	0,27	0,31	0,30	0,28	0,25	0,23	0,33	0,25	0,24	0,28	0,25
Mn	0,00	0,00	0,00	0,00	0,00	0,00	0,00	0,00	0,00	0,00	0,00	0,00
Mg	0,36	0,34	0,38	0,39	0,40	0,39	0,38	0,36	0,40	0,40	0,40	0,36
Ca	0,01	0,00	0,00	0,00	0,00	0,00	0,00	0,00	0,01	0,00	0,00	0,00
Na	0,01	0,02	0,02	0,01	0,01	0,01	0,01	0,01	0,01	0,02	0,02	0,01
K	0,93	0,91	0,96	0,95	0,94	0,95	0,94	0,97	0,93	0,91	0,95	0,89
Charge +	22,00	22,00	22,00	22,00	22,00	22,00	22,00	22,00	22,00	22,00	22,00	22,00
Al _{IV}	0,53	0,51	0,49	0,50	0,48	0,48	0,49	0,49	0,47	0,47	0,45	0,46
Al _{VI}	1,45	1,45	1,38	1,38	1,39	1,41	1,43	1,37	1,40	1,42	1,37	1,44
Σ oxy.	0,94	0,92	0,98	0,96	0,95	0,96	0,95	0,98	0,95	0,93	0,96	0,91
Σ oxy.	2,06	2,06	2,07	2,07	2,07	2,05	2,05	2,07	2,05	2,06	2,06	2,05
Na/Na+K	0,01	0,02	0,02	0,01	0,01	0,01	0,01	0,01	0,01	0,02	0,02	0,01

2) TESTS (Vidal et Parra, 2000)

ok												
----	----	----	----	----	----	----	----	----	----	----	----	----

LAME OM-05-91A4 (PHENGITES)

1) MON TRI

resultat	phg																							
Minéral	91A4																							
Echant.	r107	r162	r181	r142	r143	r191	r91	r183	r184	r86	r166	r78	r116	r129	r117	r163	r72	r111	r175	r93	r94	r73	r164	r170
Analyse																								
SiO2	47,24	46,75	47,09	47,62	47,67	47,71	47,81	47,70	48,03	48,13	48,28	47,96	48,77	48,77	48,61	49,01	49,31	49,03	48,53	49,50	49,41	50,06	50,06	49,69
TiO2	0,11	0,02	0,09	0,15	0,17	0,01	0,10	0,14	0,07	0,27	0,09	0,12	0,17	0,02	0,19	0,19	0,11	0,10	0,18	0,02	0,13	0,04	0,08	0,04
Al2O3	27,29	24,45	27,17	27,32	26,78	27,20	26,29	26,53	26,86	25,97	26,47	26,15	25,97	26,30	25,64	25,73	26,53	25,76	24,88	25,37	25,08	25,49	24,22	23,92
FeO	4,48	6,80	4,69	4,06	4,53	4,01	4,92	4,92	4,67	5,55	4,76	4,99	4,17	4,20	4,41	4,98	3,83	4,36	5,11	4,47	4,41	4,23	4,48	4,42
MnO	0,05	0,00	0,00	0,00	0,05	0,04	0,02	0,07	0,03	0,00	0,03	0,00	0,03	0,10	0,02	0,00	0,01	0,00	0,03	0,00	0,04	0,06	0,03	0,03
MgO	2,57	4,99	2,52	2,81	2,66	2,67	2,71	2,57	2,61	2,68	2,69	2,58	3,03	2,67	3,06	2,99	2,61	3,01	3,19	3,04	3,07	2,87	3,59	3,58
CaO	0,02	0,15	0,04	0,02	0,02	0,02	0,06	0,04	0,02	0,09	0,04	0,09	0,01	0,01	0,04	0,02	0,09	0,05	0,02	0,04	0,03	0,07	0,02	0,09
Na2O	0,36	0,11	0,35	0,40	0,25	0,34	0,26	0,31	0,35	0,18	0,29	0,25	0,25	0,28	0,25	0,37	0,23	0,22	0,18	0,21	0,22	0,09	0,06	0,06
K2O	10,23	9,06	10,19	10,29	10,23	10,30	10,46	10,03	9,94	10,25	10,13	10,51	10,17	10,24	10,17	9,67	10,43	10,40	10,54	10,06	10,59	10,41		
Σ	92,34	92,33	92,14	92,67	92,37	92,30	92,63	92,31	92,59	93,12	92,86	92,30	93,02	92,41	92,48	93,35	92,52	93,01	92,54	93,18	92,89	93,08	93,19	92,24
Formule structurale																								
Si	3,30	3,30	3,30	3,31	3,33	3,33	3,34	3,34	3,34	3,35	3,35	3,36	3,38	3,39	3,39	3,39	3,40	3,40	3,42	3,43	3,45	3,46	3,47	
XMg	0,50	0,57	0,49	0,55	0,51	0,54	0,49	0,48	0,50	0,46	0,50	0,48	0,56	0,53	0,55	0,52	0,55	0,55	0,55	0,55	0,55	0,54	0,58	0,59
Ti	0,01	0,00	0,00	0,01	0,01	0,00	0,01	0,01	0,00	0,01	0,00	0,01	0,01	0,00	0,01	0,01	0,01	0,01	0,00	0,01	0,00	0,00	0,00	0,00
Al	2,25	2,03	2,25	2,24	2,20	2,23	2,17	2,19	2,20	2,13	2,17	2,16	2,12	2,15	2,10	2,16	2,10	2,05	2,07	2,05	2,07	1,97	1,97	
Fetot	0,26	0,40	0,27	0,24	0,26	0,23	0,29	0,29	0,27	0,32	0,28	0,29	0,24	0,24	0,26	0,29	0,22	0,25	0,30	0,26	0,26	0,24	0,26	0,26
Mn	0,00	0,00	0,00	0,00	0,00	0,00	0,00	0,00	0,00	0,00	0,00	0,00	0,01	0,00	0,00	0,00	0,00	0,00	0,00	0,00	0,00	0,00	0,00	0,00
Mg	0,27	0,52	0,26	0,29	0,28	0,28	0,27	0,27	0,28	0,28	0,28	0,27	0,31	0,28	0,32	0,31	0,27	0,31	0,33	0,31	0,32	0,29	0,37	0,37
Ca	0,00	0,01	0,00	0,00	0,00	0,00	0,00	0,00	0,00	0,01	0,00	0,01	0,00	0,00	0,00	0,01	0,00	0,00	0,00	0,01	0,00	0,01	0,00	0,01
Na	0,05	0,02	0,05	0,05	0,03	0,05	0,04	0,04	0,05	0,02	0,04	0,03	0,04	0,03	0,04	0,03	0,05	0,03	0,02	0,03	0,03	0,01	0,01	0,01
K	0,91	0,82	0,91	0,91	0,91	0,92	0,93	0,89	0,88	0,91	0,90	0,93	0,90	0,91	0,90	0,85	0,92	0,93	0,93	0,88	0,93	0,93	0,93	0,93
Charge +	22,00	22,00	22,00	22,00	22,00	22,00	22,00	22,00	22,00	22,00	22,00	22,00	22,00	22,00	22,00	22,00	22,00	22,00	22,00	22,00	22,00	22,00	22,00	
Al IV	0,69	0,70	0,69	0,68	0,66	0,67	0,65	0,66	0,66	0,64	0,64	0,64	0,61	0,61	0,60	0,60	0,59	0,60	0,60	0,58	0,57	0,55	0,53	0,53
Al VI	1,55	1,33	1,55	1,55	1,54	1,56	1,51	1,53	1,55	1,50	1,53	1,52	1,51	1,54	1,50	1,49	1,57	1,50	1,46	1,49	1,48	1,52	1,44	1,44
$\Sigma \text{ox.}$	0,96	0,83	0,96	0,97	0,95	0,96	0,97	0,94	0,93	0,93	0,95	0,94	0,97	0,93	0,95	0,93	0,90	0,95	0,96	0,95	0,96	0,91	0,95	0,94
$\Sigma \text{oxy.}$	2,09	2,26	2,09	2,08	2,09	2,07	2,08	2,09	2,09	2,10	2,08	2,08	2,07	2,07	2,07	2,09	2,06	2,07	2,09	2,06	2,06	2,06	2,07	2,07
Na/Na+K	0,05	0,02	0,05	0,06	0,04	0,05	0,04	0,04	0,05	0,03	0,04	0,04	0,04	0,04	0,04	0,04	0,05	0,03	0,03	0,03	0,03	0,01	0,01	0,01

2) TESTS (Vidal et Parra, 2000)

LAME OM-05-91A4 (AUTRES)

Minéral	Ab	Ab	Ab	Ab	Ab
Echant.	91A4	91A4	91A4	91A4	91A4
Analyse	r70	r89	r128	r153	r208
SIO2	67,86	67,93	67,43	65,91	66,00
TIO2	0,00	0,00	0,06	0,00	0,00
Al2O3	19,56	19,63	19,67	19,73	19,72
FeO	0,02	0,11	0,00	0,06	0,16
MnO	0,00	0,01	0,01	0,00	0,00
MgO	0,00	0,00	0,01	0,00	0,00
CaO	0,09	0,03	0,08	0,18	0,16
Na2O	10,23	10,47	10,39	10,89	10,26
K2O	0,08	0,04	0,04	0,05	0,05
Σ	97,85	98,21	97,68	96,81	96,35
Formule structurale					
Si	3,01	3,00	3,00	2,97	2,98
XMg	0,21	0,00	0,55	0,00	0,01
Ti	0,00	0,00	0,00	0,00	0,00
Al	1,02	1,02	1,03	1,05	1,05
Fetot	0,00	0,00	0,00	0,00	0,01
Mn	0,00	0,00	0,00	0,00	0,00
Mg	0,00	0,00	0,00	0,00	0,00
Ca	0,00	0,00	0,00	0,01	0,01
Na	0,88	0,90	0,90	0,95	0,90
K	0,00	0,00	0,00	0,00	0,00
Charge +	16,00	16,00	16,00	16,00	16,00
Al IV	0,99	1,00	1,00	1,03	1,02
Al VI	0,03	0,03	0,03	0,02	0,03
Σ αλχ	0,88	0,90	0,90	0,95	0,90
Σ oxy.	0,03	0,03	0,03	0,02	0,04
Na/Na+K	0,99	1,00	1,00	1,00	1,00

LAME OD-05-04B (CHLORITES)**1) MON TRI**

	resultat Al>21									
	chl	chl	chl	chl	chl	chl	chl	-	-	-
resultat Al>19,5	chl	chl	chl	chl	chl	chl	chl	chl	chl	chl
Minéral	chl	chl	chl	chl	chl	chl	chl	chl	chl	chl
Echant.	OD.05.04B	OD.05.04B	OD.05.04B	OD.05.04B	OD.05.04B	OD.05.04B	OD.05.04B	OD.05.04B	OD.05.04B	OD.05.04B
Analyse	q53	q39	q43	q48	q37	q50	q28	q36	q27	q40
SiO ₂	25,31	24,96	26,29	25,70	24,52	24,56	25,21	25,47	25,08	24,77
TiO ₂	0,00	0,07	0,00	0,02	0,10	0,07	0,13	0,05	0,08	0,29
Al ₂ O ₃	21,26	21,35	23,72	21,93	22,14	21,55	20,47	20,43	20,50	20,51
FeO	29,66	28,51	26,58	27,48	28,71	28,88	29,86	29,20	30,36	28,47
MnO	0,25	0,02	0,00	0,29	0,11	0,00	0,27	0,01	0,41	0,21
MgO	12,25	12,37	11,84	11,78	12,21	12,36	11,89	12,75	11,81	12,16
CaO	0,00	0,04	0,39	0,00	0,09	0,01	0,01	0,08	0,09	0,11
Na ₂ O	0,03	0,01	0,04	0,00	0,00	0,00	0,00	0,06	0,00	0,00
K ₂ O	0,00	0,02	0,00	0,02	0,05	0,02	0,02	0,00	0,01	0,00
Σ	88,76	87,35	88,87	87,21	87,92	87,44	87,86	88,06	88,34	86,53

Formule structurale										
Si	2,69	2,69	2,73	2,75	2,63	2,65	2,72	2,73	2,70	2,70
XMg	0,42	0,44	0,44	0,43	0,43	0,43	0,41	0,44	0,41	0,43
Ti	0,00	0,01	0,00	0,00	0,01	0,01	0,01	0,00	0,01	0,02
Al	2,67	2,71	2,90	2,76	2,79	2,74	2,60	2,58	2,60	2,63
Fetot	2,64	2,57	2,31	2,46	2,57	2,60	2,69	2,62	2,74	2,59
Mn	0,02	0,00	0,00	0,03	0,01	0,00	0,02	0,00	0,04	0,02
Mg	1,94	1,98	1,83	1,88	1,95	1,99	1,91	2,03	1,90	1,97
Ca	0,00	0,00	0,04	0,00	0,01	0,00	0,00	0,01	0,01	0,01
Na	0,01	0,00	0,01	0,00	0,00	0,00	0,00	0,01	0,00	0,00
K	0,00	0,00	0,00	0,00	0,01	0,00	0,00	0,00	0,00	0,00
Charge +	28,00	28,00	28,00	28,00	28,00	28,00	28,00	28,00	28,00	28,00
Al IV	1,31	1,31	1,27	1,25	1,37	1,35	1,27	1,27	1,29	1,28
Al VI	1,36	1,40	1,63	1,51	1,43	1,39	1,33	1,31	1,31	1,36
Σ oxz.	0,01	0,00	0,01	0,00	0,01	0,00	0,00	0,01	0,00	0,00
Σ oxy.	5,97	5,95	5,77	5,87	5,96	5,98	5,97	5,96	5,98	5,95
Na/Na+K	1,00	0,37	1,00	0,22	0,00	0,00	1,00	0,00		

2) TESTS (Vidal et Parra, 2000)										
3) Fe3+:	ok	ok	ok	ok	OUT	OUT	OUT	OUT	OUT	OUT
Analyse	q53	q39	q43	q48	q37	q50	q28	q36	q27	q40
10 kbar	q53	q39	q43	q48	q37	q50	q28	q36	q27	q40
average T (all reactions)	481,05	375,20	291,84	304,89	448,74	439,35	346,50	337,48	394,92	352,57
sigma	0,00	1,49	1,69	2,33	62,24	40,51	2,20	2,04	0,58	1,15
av.T (reactions 1,2,3)	481,05	374,49	291,00	303,78	477,92	458,49	345,44	336,48	394,63	352,00
sigma	0,00	0,50	0,00	0,89	26,51	16,28	0,69	0,50	0,00	0,00
XFe3+	0,06	0,13	0,13	0,17	0,11	0,11	0,19	0,22	0,15	0,18
N° Analyse	q53	q39	q43	q48	q37	q50	q28	q36	q27	q40
Si	2,68	2,65	2,70	2,71	2,60	2,62	2,67	2,67	2,66	2,66
Ti	0,00	0,01	0,00	0,00	0,01	0,01	0,01	0,00	0,01	0,02
Al	2,65	2,68	2,87	2,72	2,77	2,71	2,56	2,53	2,56	2,59
Fe2+	2,47	2,21	1,99	2,01	2,27	2,29	2,14	2,00	2,29	2,09
Fe3+	0,16	0,33	0,30	0,41	0,28	0,28	0,50	0,56	0,40	0,46
Mn	0,02	0,00	0,00	0,03	0,01	0,00	0,02	0,00	0,04	0,02
Mg	1,93	1,96	1,81	1,85	1,93	1,97	1,88	1,99	1,87	1,94
Ca	0,00	0,00	0,04	0,00	0,01	0,00	0,00	0,01	0,01	0,01
Na	0,01	0,00	0,01	0,00	0,00	0,00	0,00	0,01	0,00	0,00
K	0,00	0,00	0,00	0,00	0,01	0,00	0,00	0,00	0,00	0,00
somme	88,76	87,35	88,87	87,21	87,92	87,44	87,86	88,06	88,34	86,53
Si	2,68	2,65	2,70	2,71	2,60	2,62	2,67	2,67	2,66	2,66
XMg	0,44	0,47	0,48	0,48	0,46	0,46	0,47	0,50	0,45	0,48

LAME 0D-05-04B (PHENGITES)**1) MON TRI**

resultat	phg									
Minéral	phg									
Echant.	OD.05.04B									
Analyse	q42	q32	q44	q30	q49	q29	q47	q38	q35	q41
SiO ₂	47,20	47,73	48,57	47,93	48,92	50,15	49,39	50,88	52,20	49,76
TiO ₂	0,26	0,00	0,33	0,21	0,09	0,05	0,19	0,18	0,19	0,17
Al ₂ O ₃	34,24	32,16	32,32	30,10	30,54	27,41	26,66	27,31	23,14	29,91
FeO	1,47	2,12	2,43	2,21	2,32	3,89	3,06	3,43	4,51	2,75
MnO	0,00	0,01	0,00	0,00	0,00	0,02	0,00	0,00	0,00	0,18
MgO	1,05	1,61	1,69	2,02	2,11	2,52	2,66	2,62	3,23	2,13
CaO	0,15	0,01	0,09	0,00	0,00	0,03	0,09	0,03	0,12	0,09
Na ₂ O	0,49	0,50	0,33	0,47	0,34	0,19	0,29	0,15	0,14	0,38
K ₂ O	9,84	10,12	9,09	9,65	9,91	10,22	9,76	9,67	9,55	10,15
Σ	94,69	94,26	94,84	92,60	94,23	94,49	92,11	94,28	93,09	95,50

Formule structurale

Si	3,15	3,21	3,23	3,28	3,29	3,39	3,41	3,42	3,58	3,31
XMg	0,56	0,57	0,55	0,62	0,62	0,54	0,61	0,58	0,56	0,56
Ti	0,01	0,00	0,02	0,01	0,00	0,00	0,01	0,01	0,01	0,01
Al	2,69	2,55	2,53	2,43	2,42	2,19	2,17	2,17	1,87	2,35
Fetot	0,08	0,12	0,14	0,13	0,13	0,22	0,18	0,19	0,26	0,15
Mn	0,00	0,00	0,00	0,00	0,00	0,00	0,00	0,00	0,00	0,01
Mg	0,10	0,16	0,17	0,21	0,21	0,25	0,27	0,26	0,33	0,21
Ca	0,01	0,00	0,01	0,00	0,00	0,00	0,01	0,00	0,01	0,01
Na	0,06	0,06	0,04	0,06	0,04	0,02	0,04	0,02	0,02	0,05
K	0,84	0,87	0,77	0,84	0,85	0,88	0,86	0,83	0,83	0,86
Charge +	22,00	22,00	22,00	22,00	22,00	22,00	22,00	22,00	22,00	22,00
Al IV	0,84	0,79	0,76	0,71	0,71	0,60	0,58	0,57	0,41	0,68
Al VI	1,85	1,76	1,78	1,71	1,71	1,58	1,59	1,60	1,46	1,67
Σ Alx	0,90	0,93	0,81	0,90	0,89	0,91	0,90	0,85	0,85	0,91
Σ oxy.	2,04	2,04	2,08	2,05	2,05	2,06	2,04	2,06	2,04	2,04
Na/Na+K	0,07	0,07	0,05	0,07	0,05	0,03	0,04	0,02	0,02	0,05

2) TESTS (Vidal et Parra, 2000)

	ok	OUT								

LAME OD-05-04B (AUTRES)

Minéral	Ab
Echant.	OD.05.04B
Analyse	q54
SiO ₂	68,18
TiO ₂	0,00
Al ₂ O ₃	19,54
FeO	0,04
MnO	0,02
MgO	0,00
CaO	0,00
Na ₂ O	11,86
K ₂ O	0,04
Σ	99,68

Formule structurale	
Si	2,99
XMg	0,08
Ti	0,00
Al	1,01
Fetot	0,00
Mn	0,00
Mg	0,00
Ca	0,00
Na	1,01
K	0,00
Charge +	16,00
Al IV	1,01
Al VI	0,00
Σ al _x	1,01
Σ oxy.	0,00
Na/Na+K	1,00

Annexe H

Cartes de composition en éléments

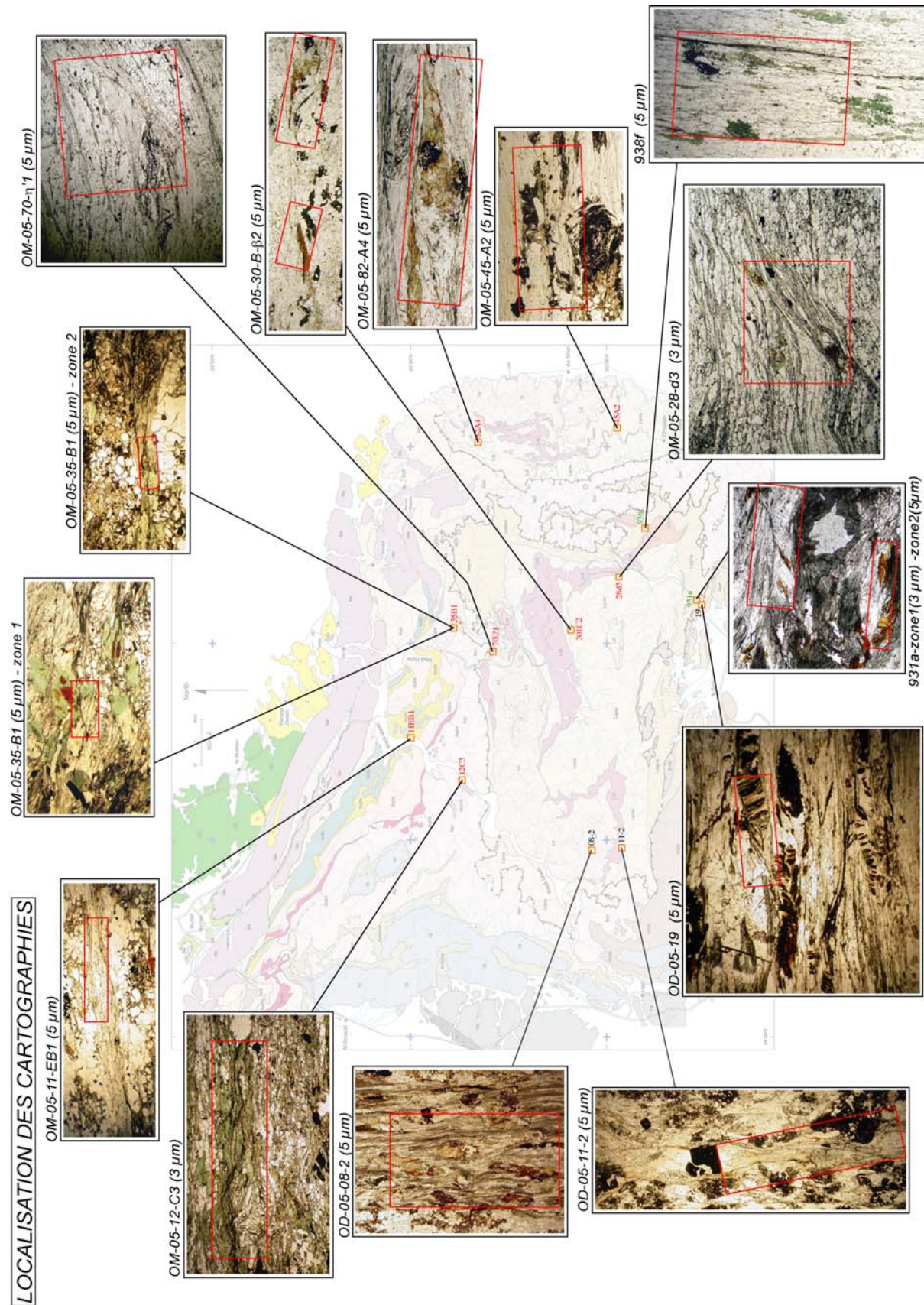
Cette annexe présente l'ensemble des cartographies en éléments effectuées au cours de cette thèse.

On y trouvera :

- 1- Une carte présentant leurs localisations
- 2-Les cartographies d'éléments d'échantillons provenant de la “upper plate”
- 3-Les cartographies d'éléments d'échantillons provenant de l'unité de Hulw s.s.
- 4-Les cartographies d'éléments d'échantillons provenant de l'unité de As Sheikh

Pour chaque carte sont présentés, les intensités brutes, les minéraux cartés ainsi que les diagrammes ternaires pour les chlorites et les phengites et une et une étude de la répartition du silicium dans les phengites et du XMg des chlorites.

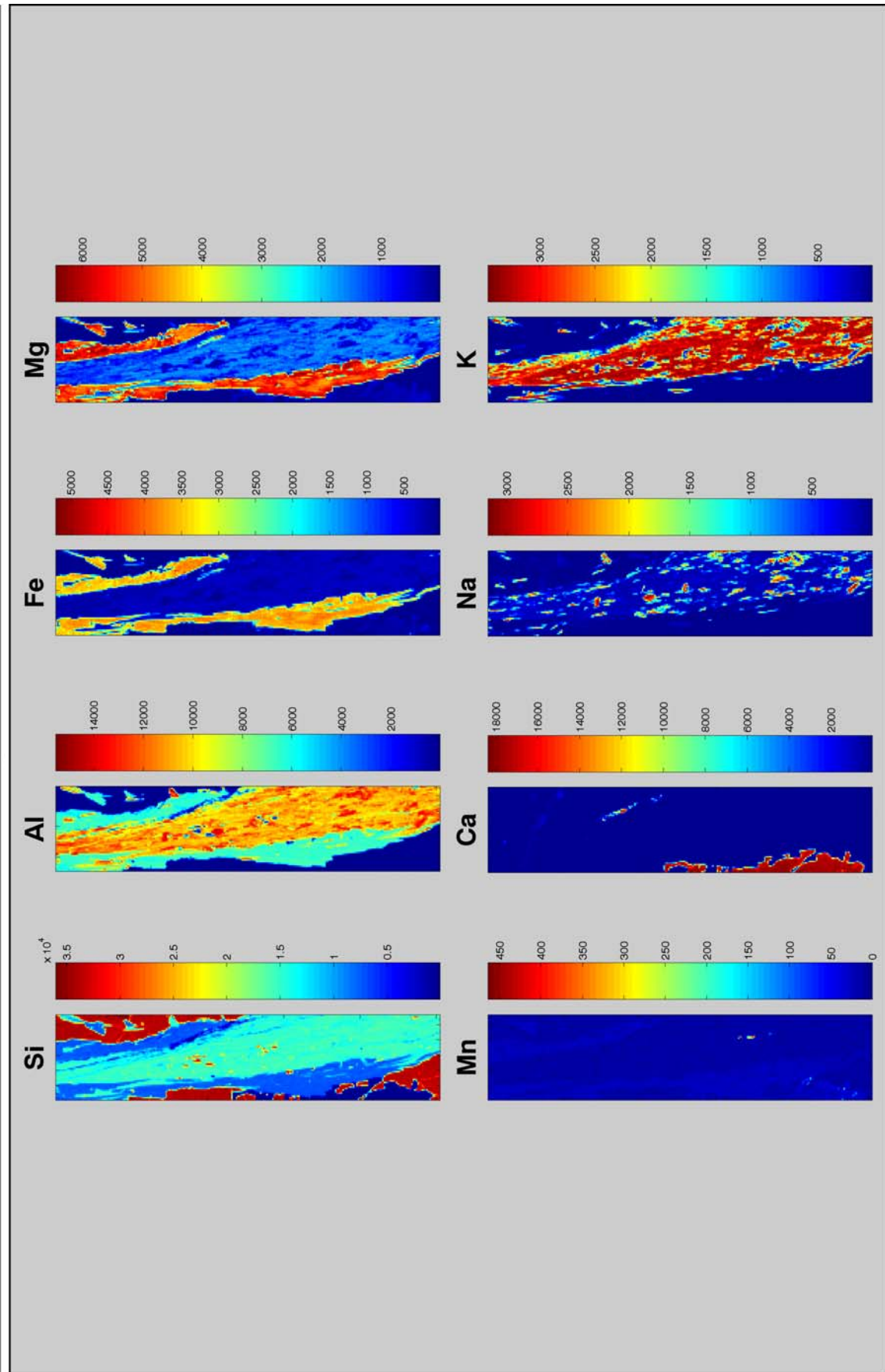
1-Localisation des cartographies

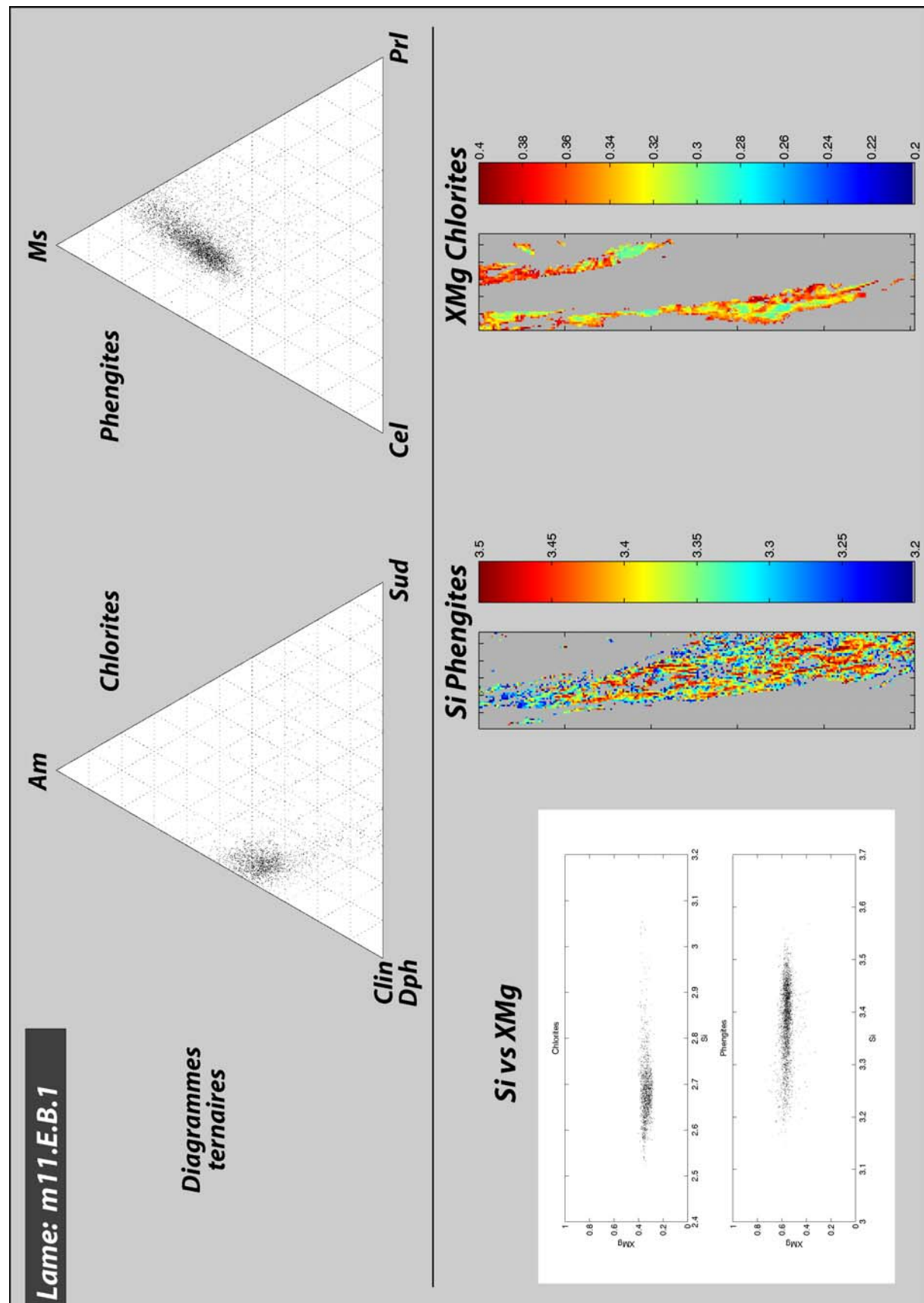


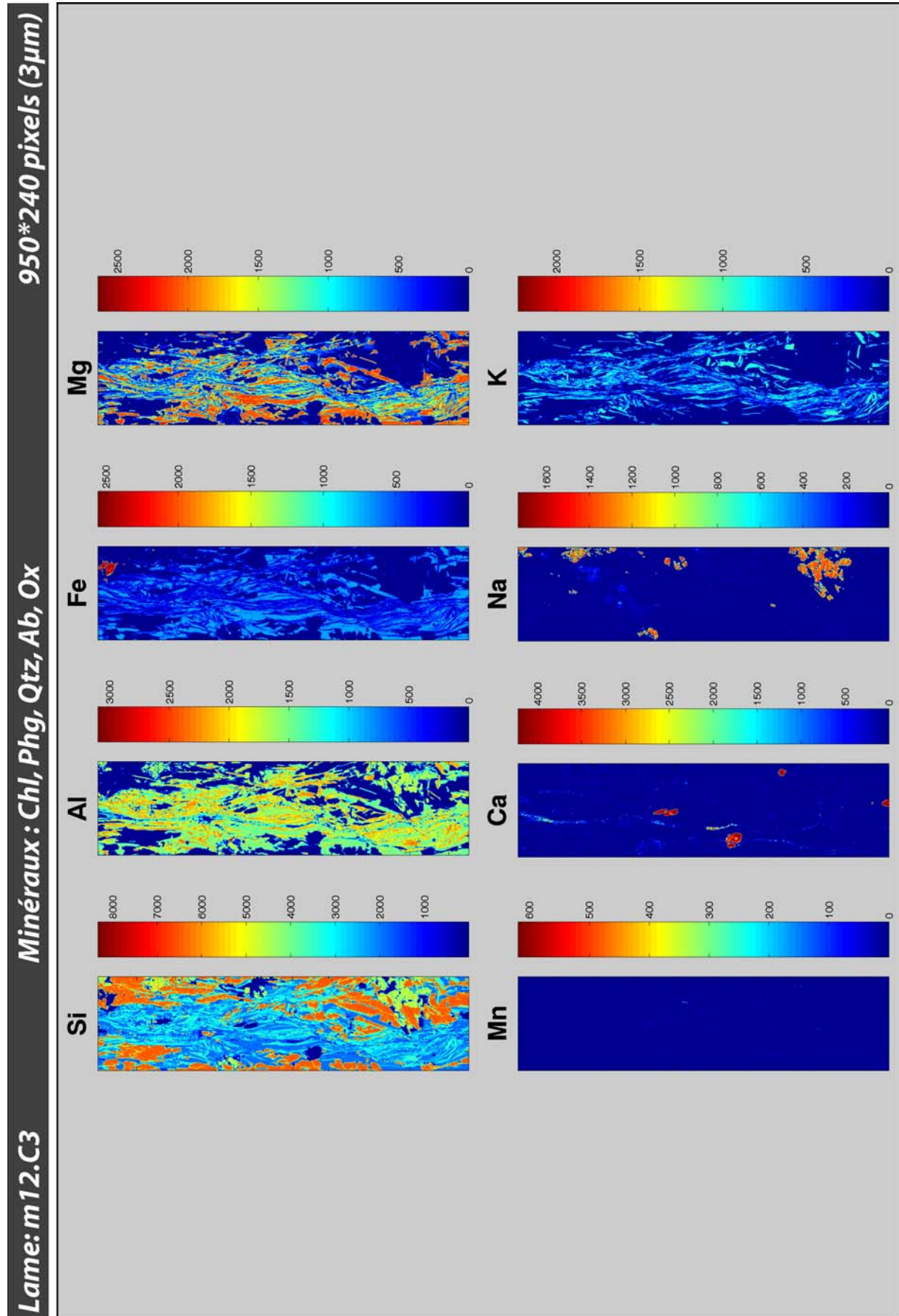
2-Cartographies d'éléments d'échantillons provenant de la “upper plate”

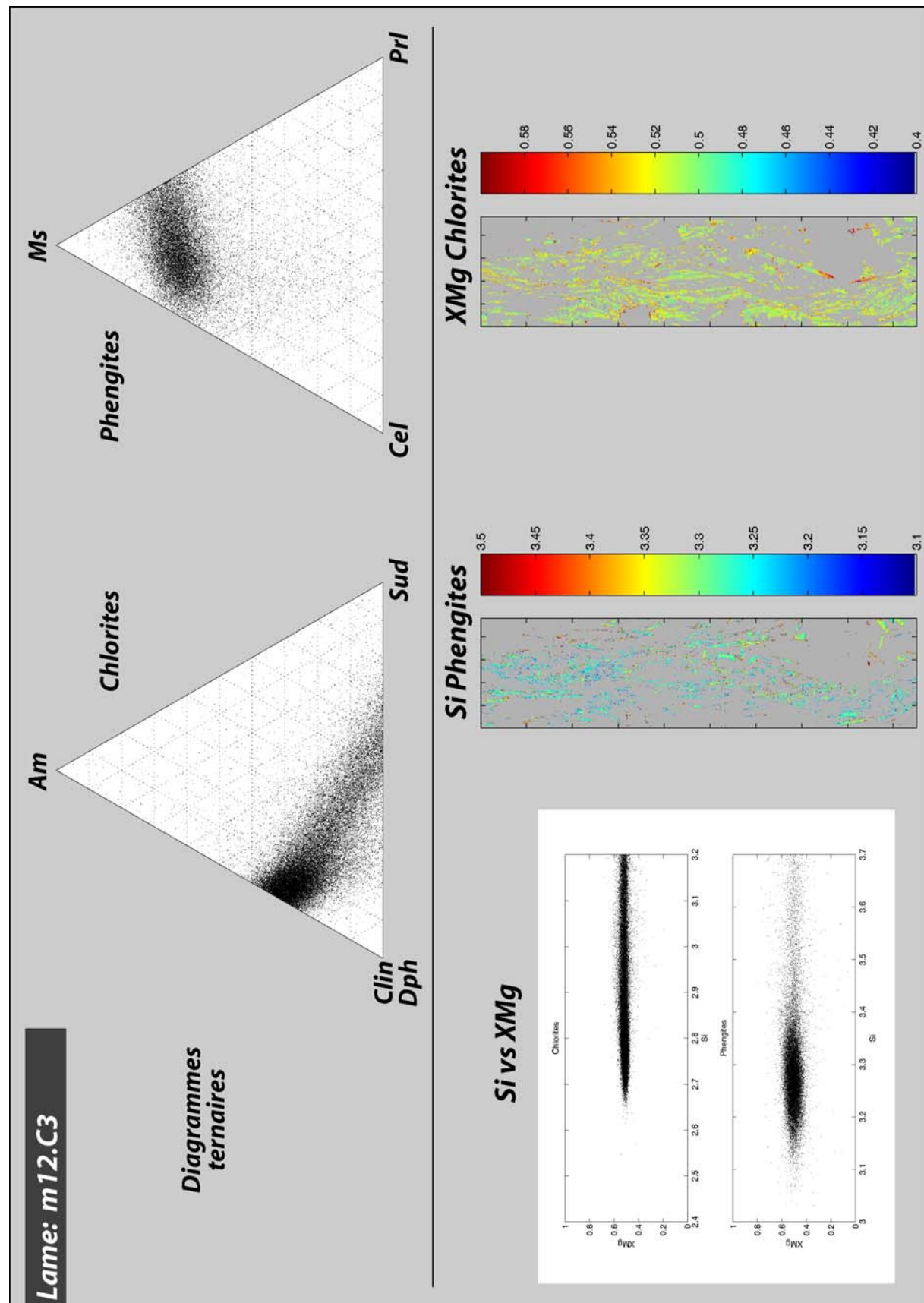
Lames m11EB1 ; m12C3, m35B1

Lame: m11.E.B1 Minéraux : Chl, Phg, Qtz, Cc
 252*56 pixels (5 μ m)

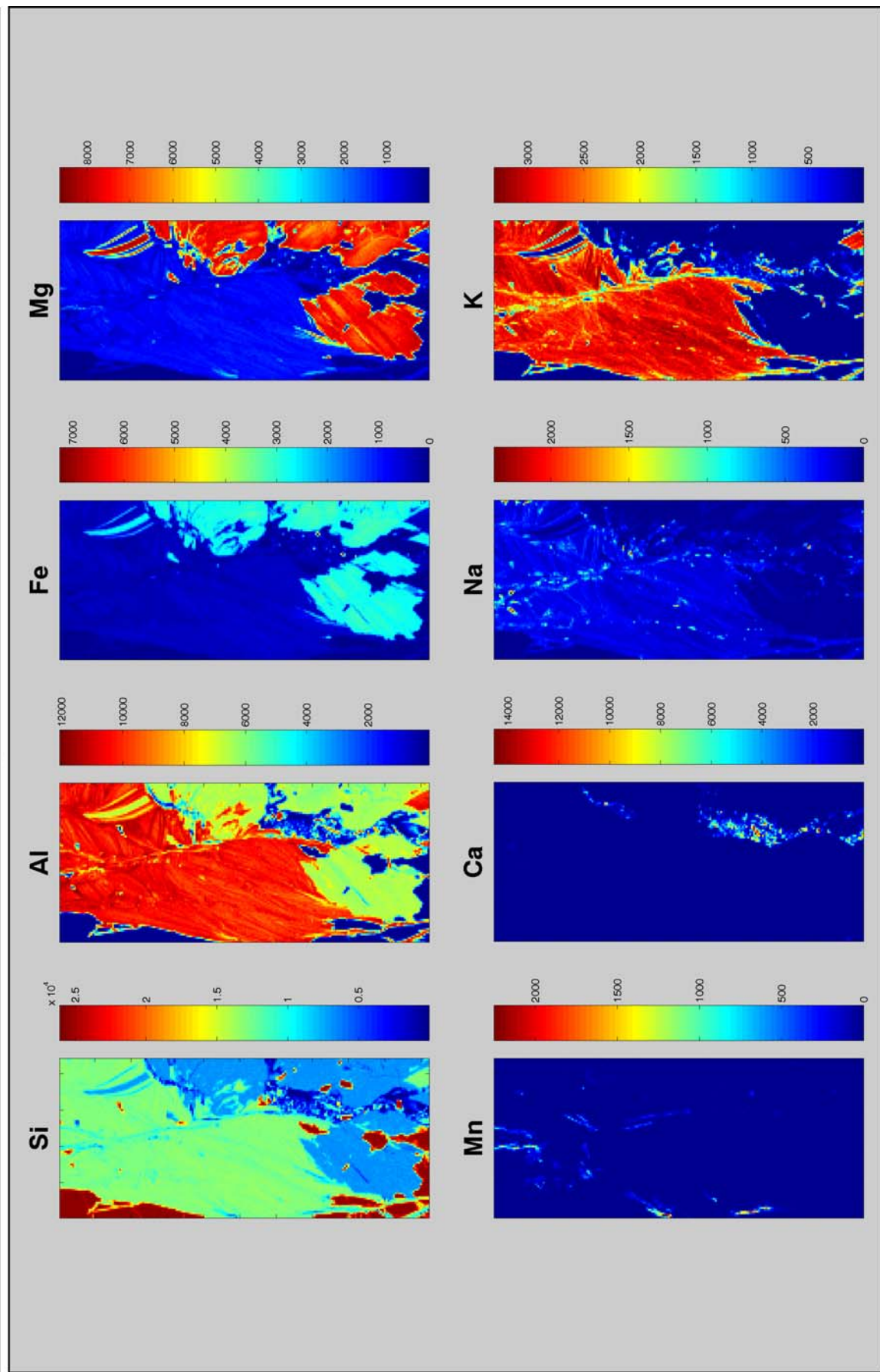


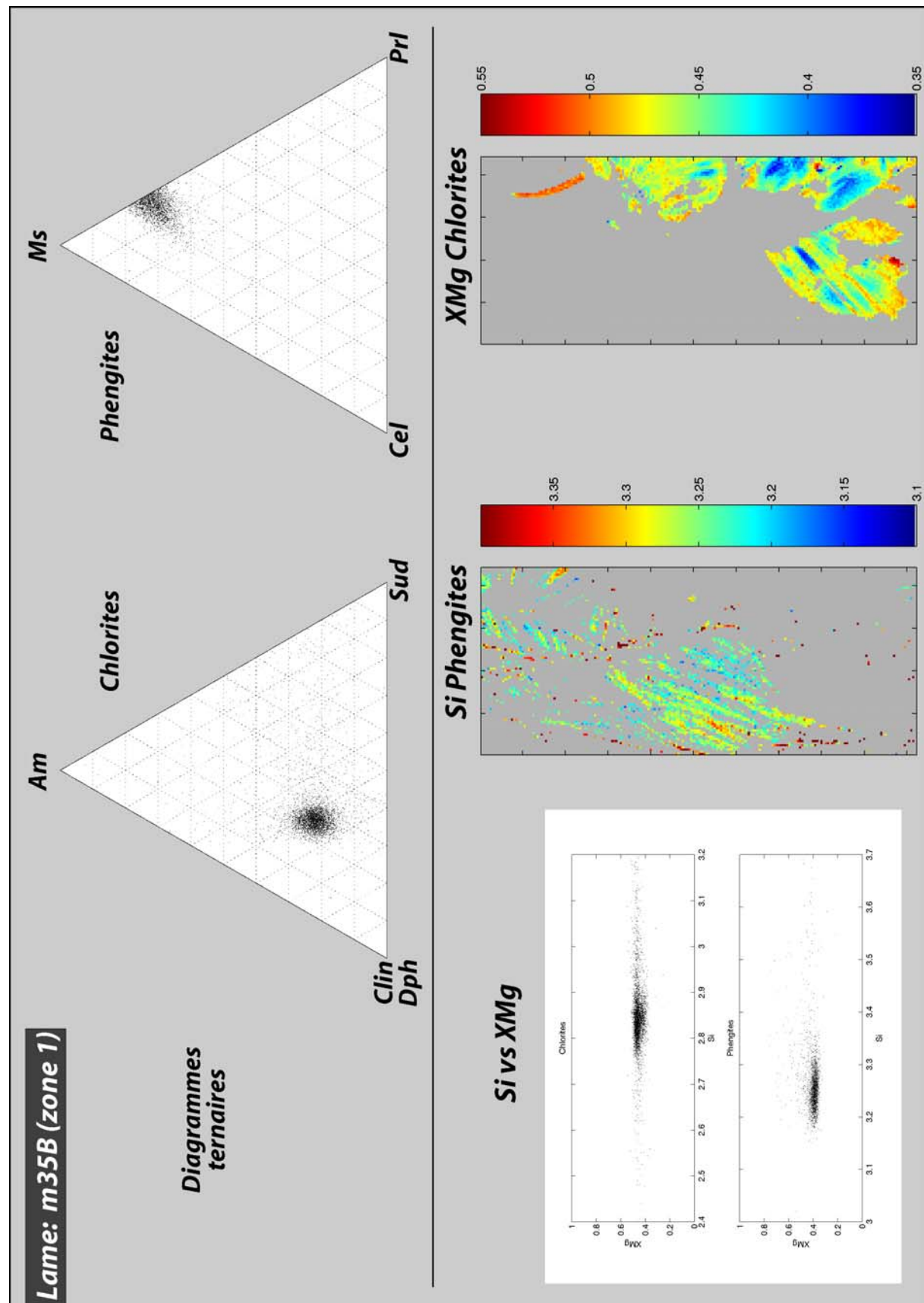




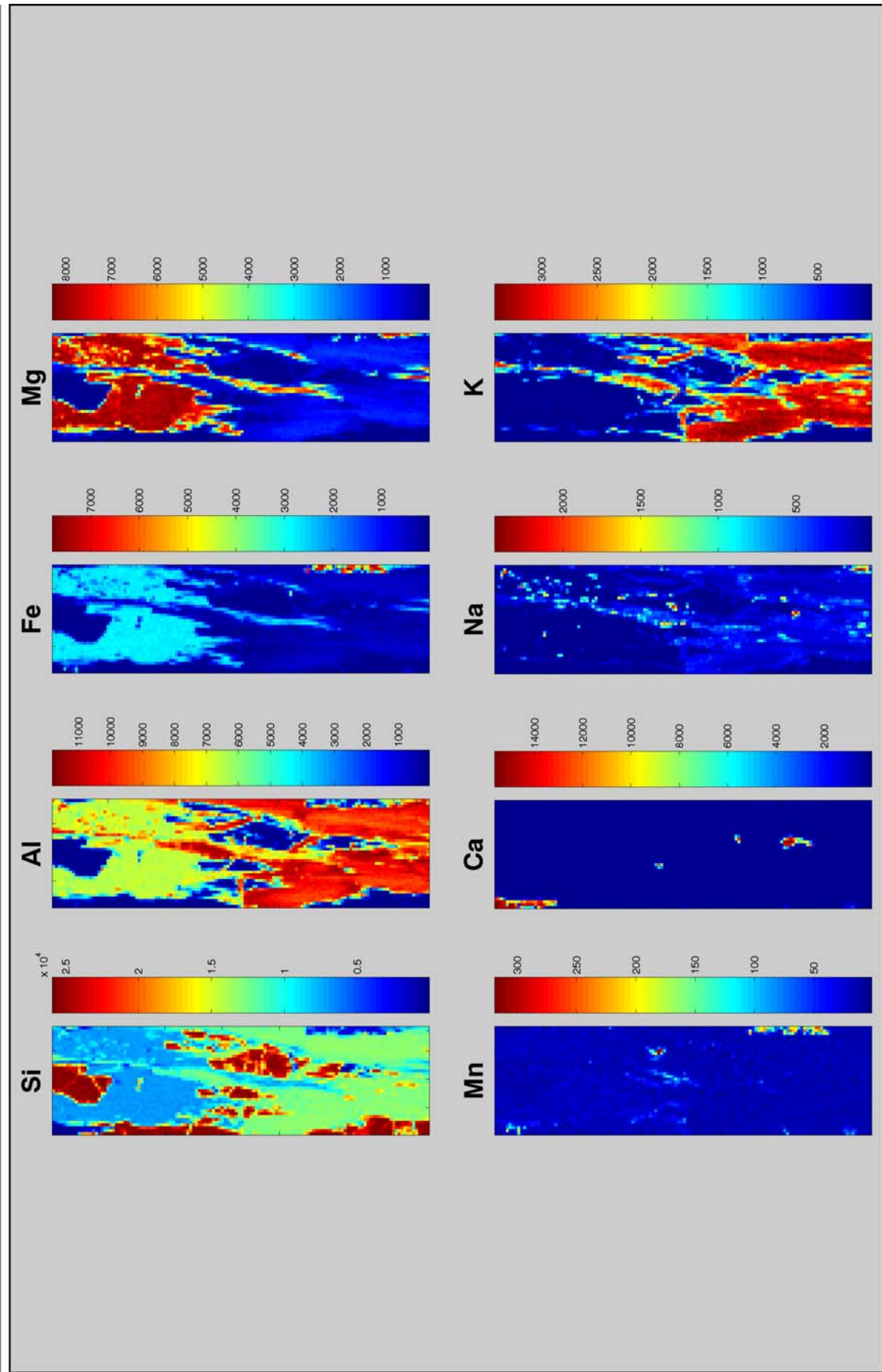


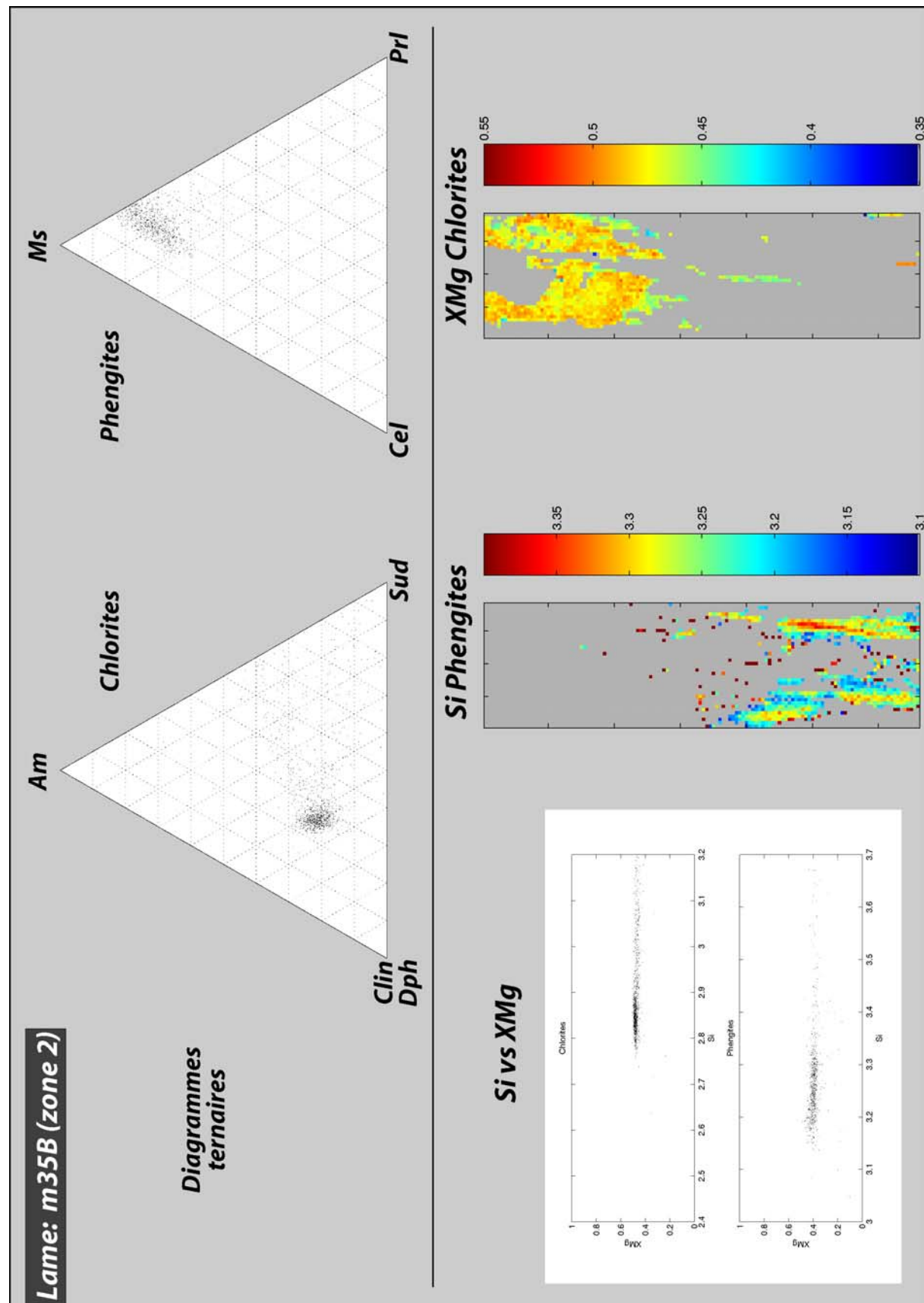
Lame: m35.B1 (zone 1) Minéraux : Chl, Phg, Qtz
 204*88 pixels (5 μ m)





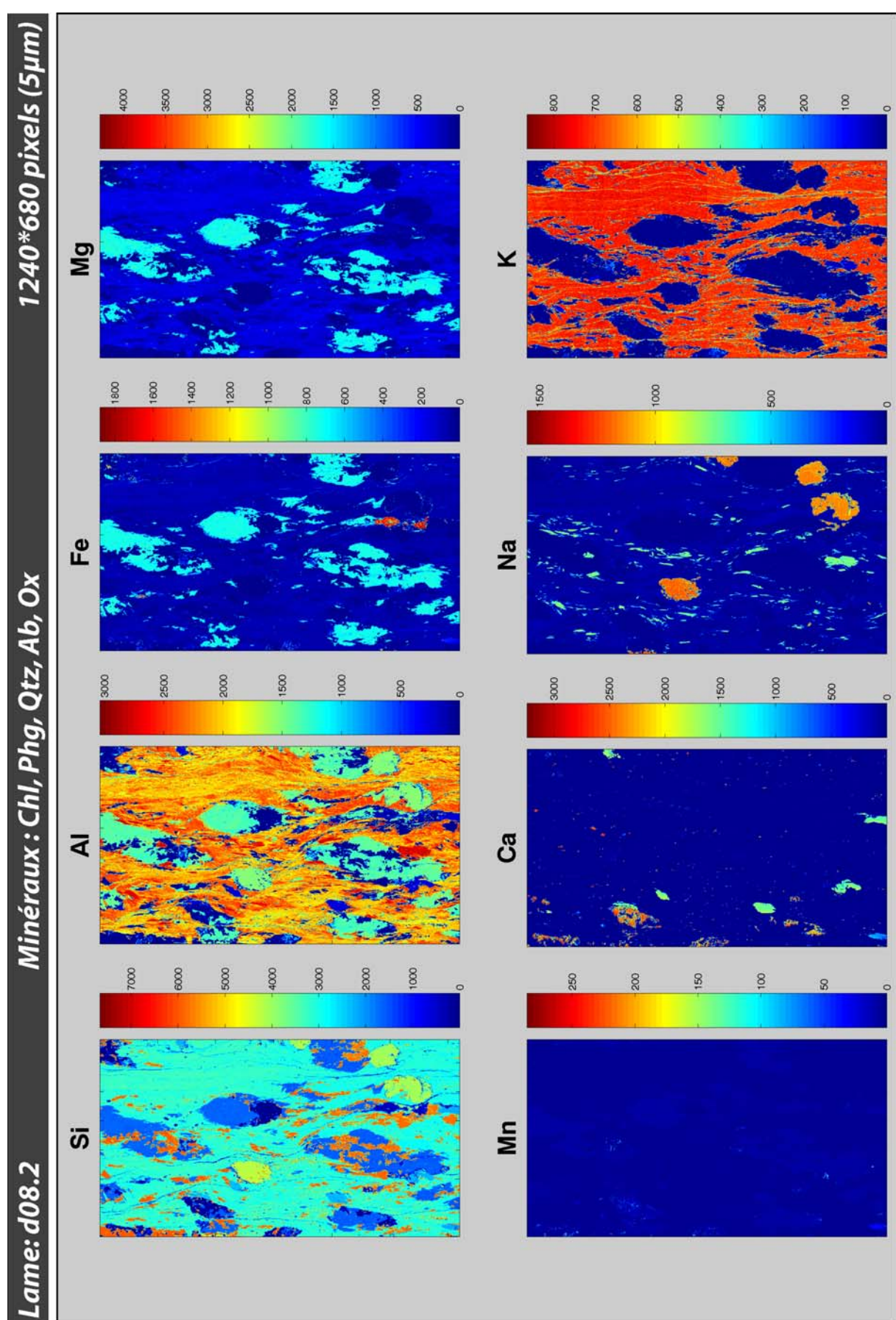
Lame: m35.B1 (zone 2) Minéraux : Chl, Phg, Qtz, Cc

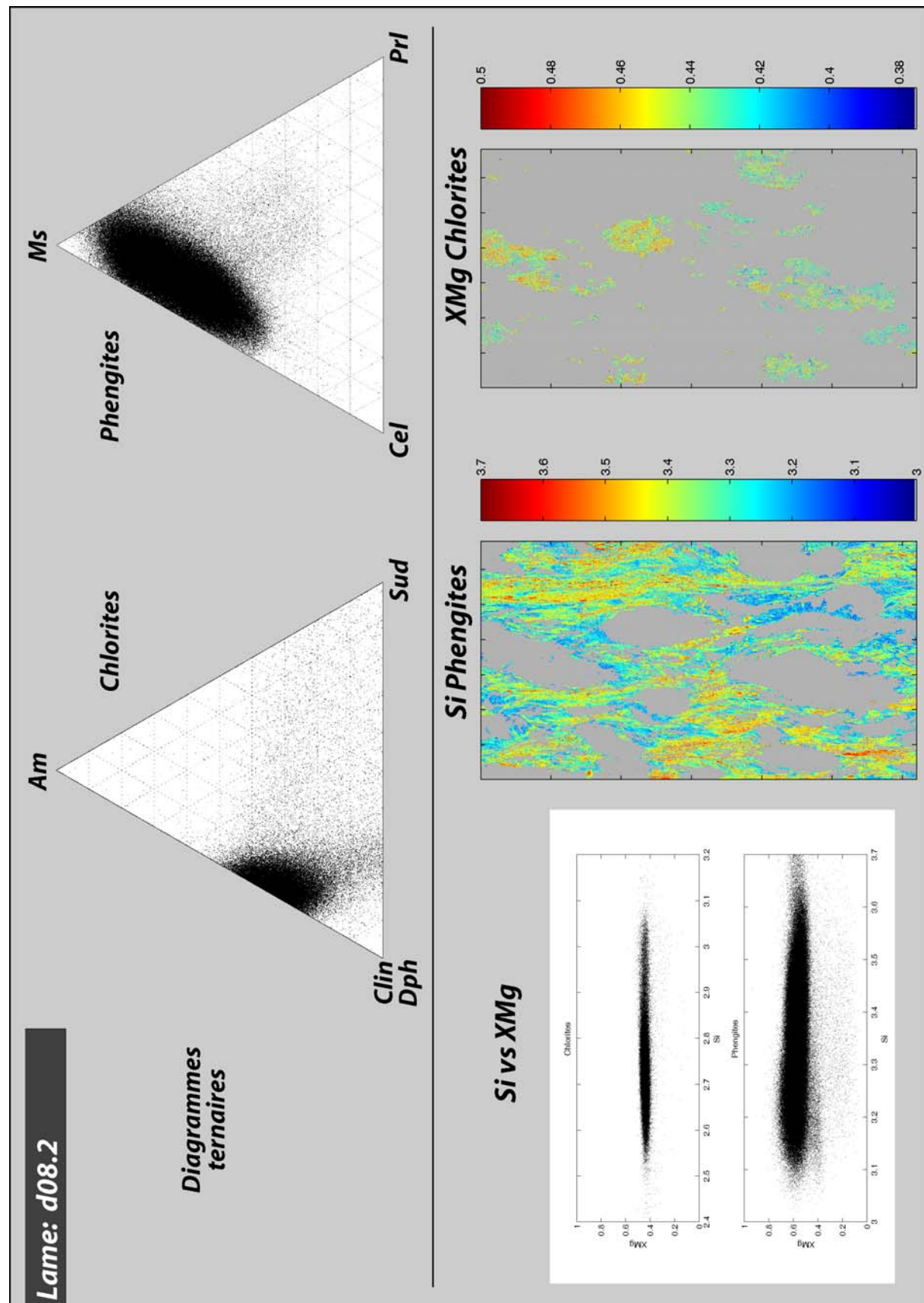




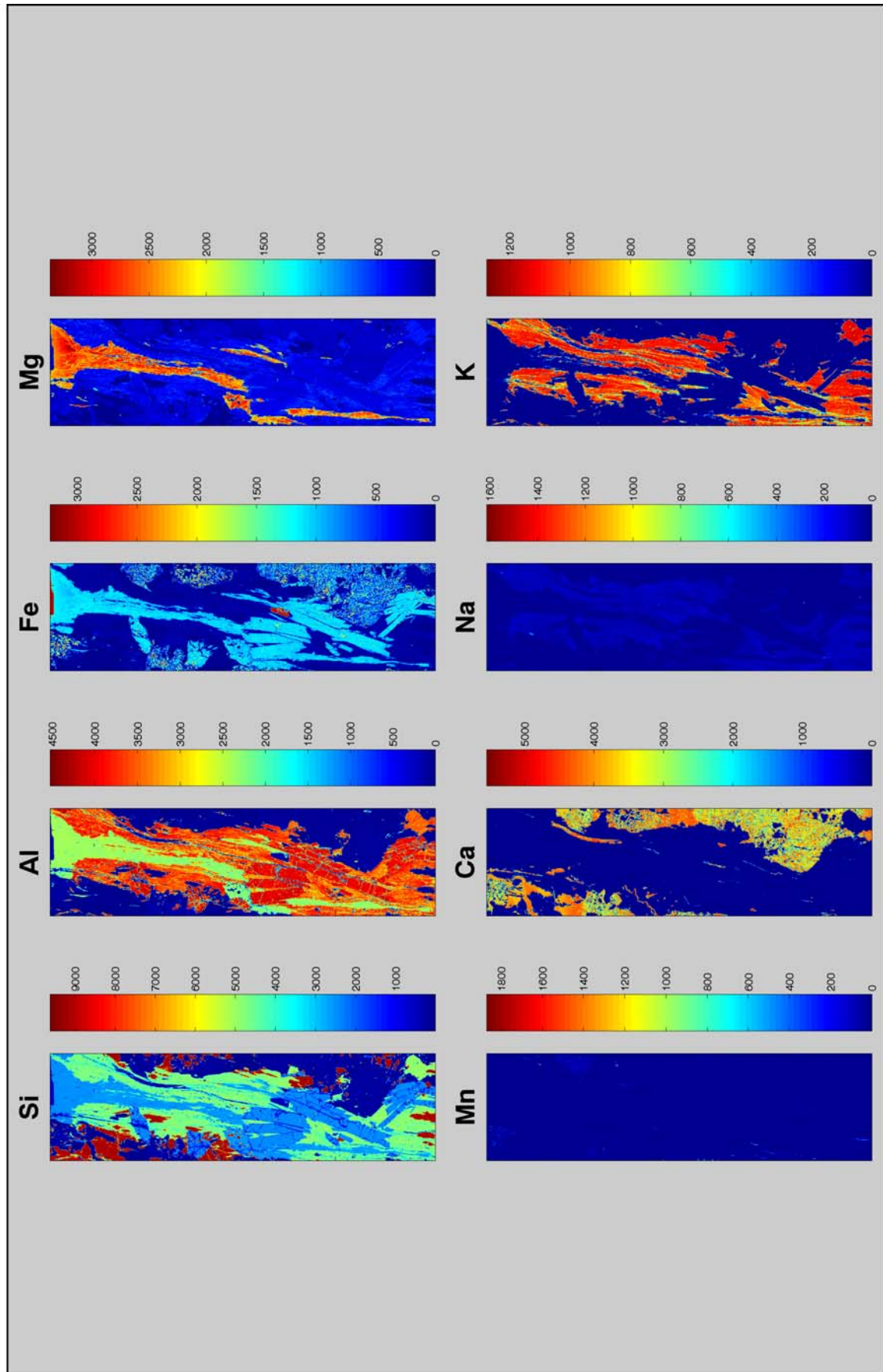
3-Cartographies d'éléments d'échantillons provenant de l'unité de Hulw s.s.

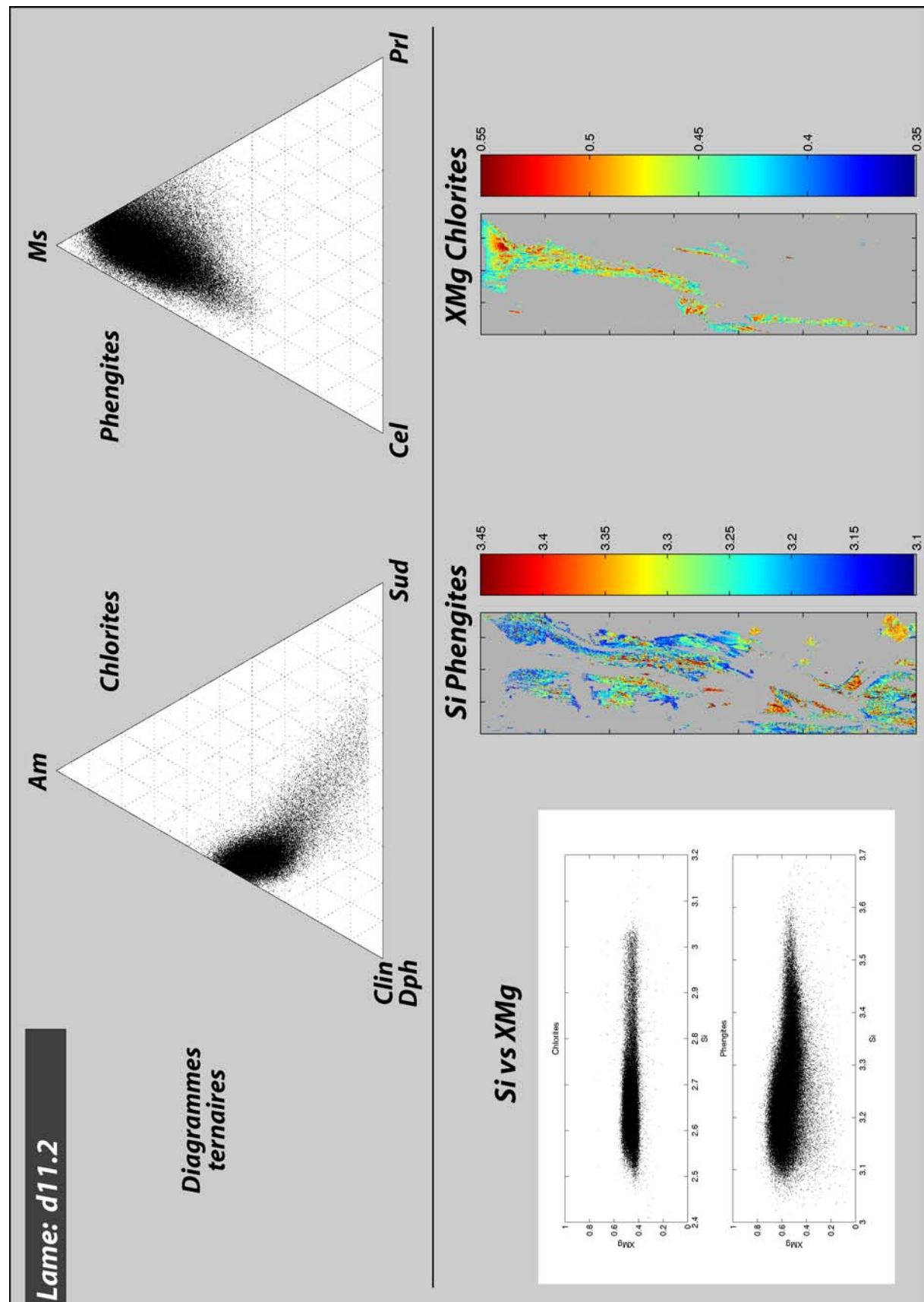
Lames d08.2 ; d11.2 ; m30Bb2 (2 cartes) ; m28d3, 931a (2 cartes); 938f ; d19 ; m70η'1



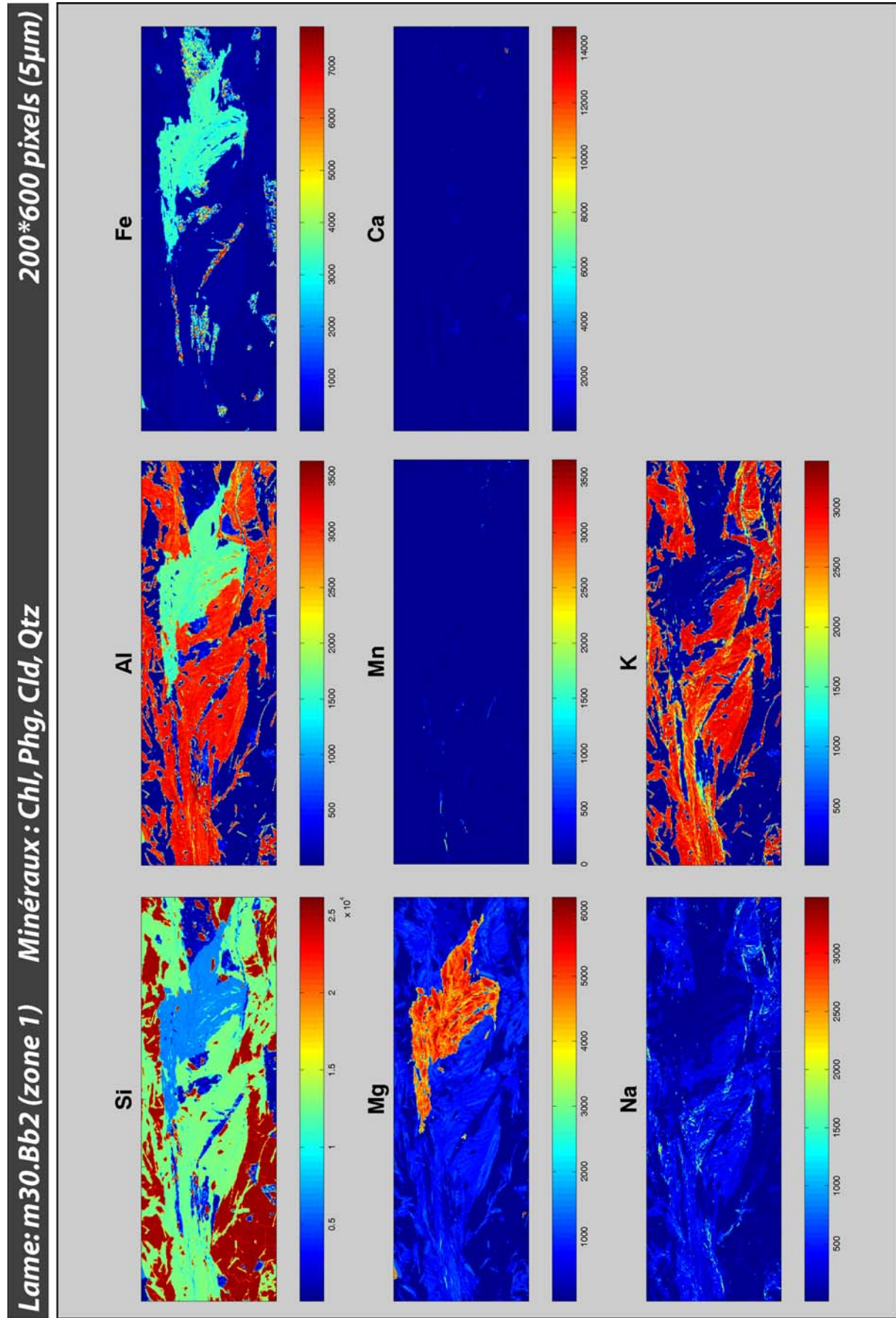


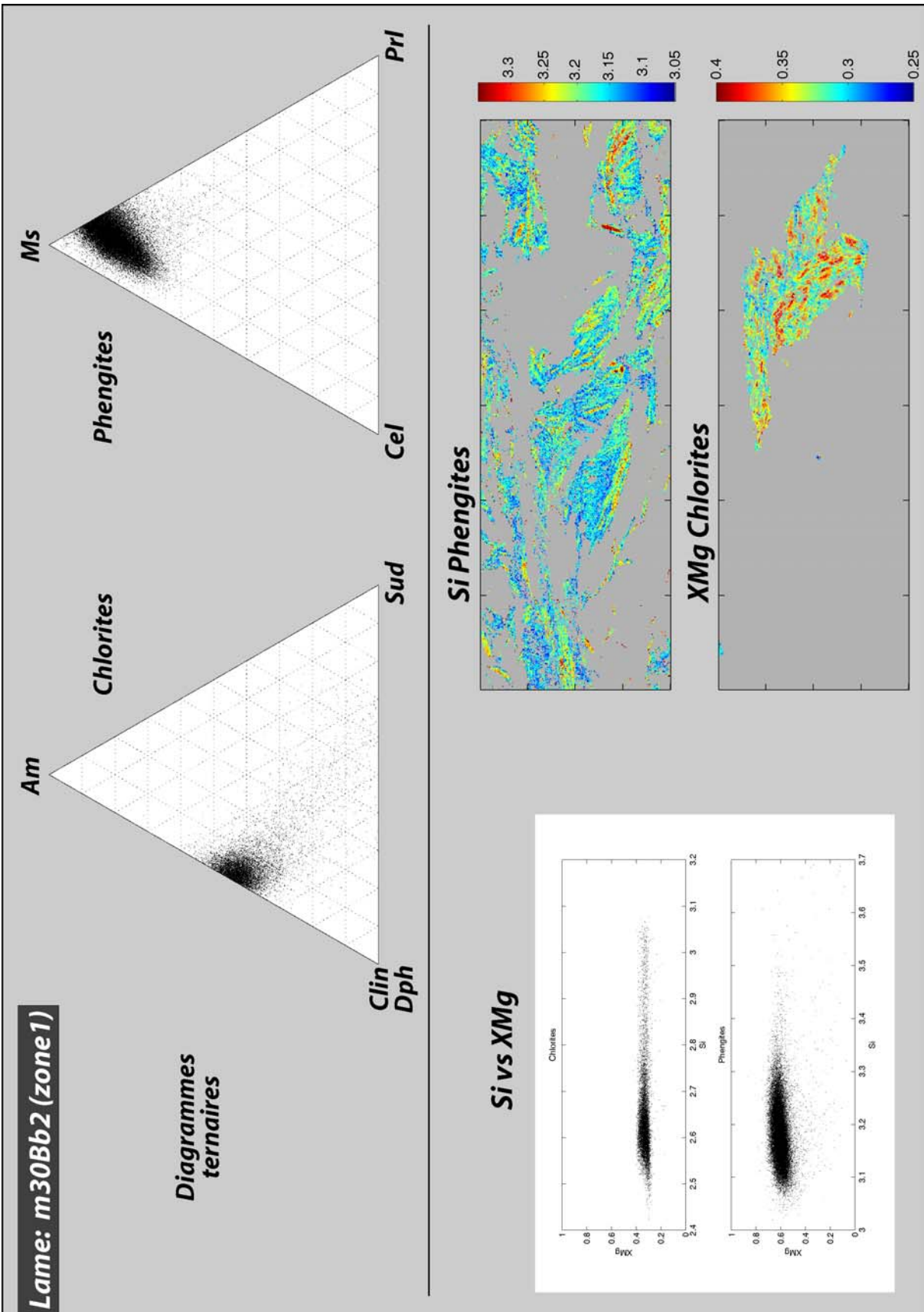
Lame: d11.2 Minéraux : Chl, Phg, Cl_d, Qtz, Cc, Ox
 1350*376 pixels (5µm)



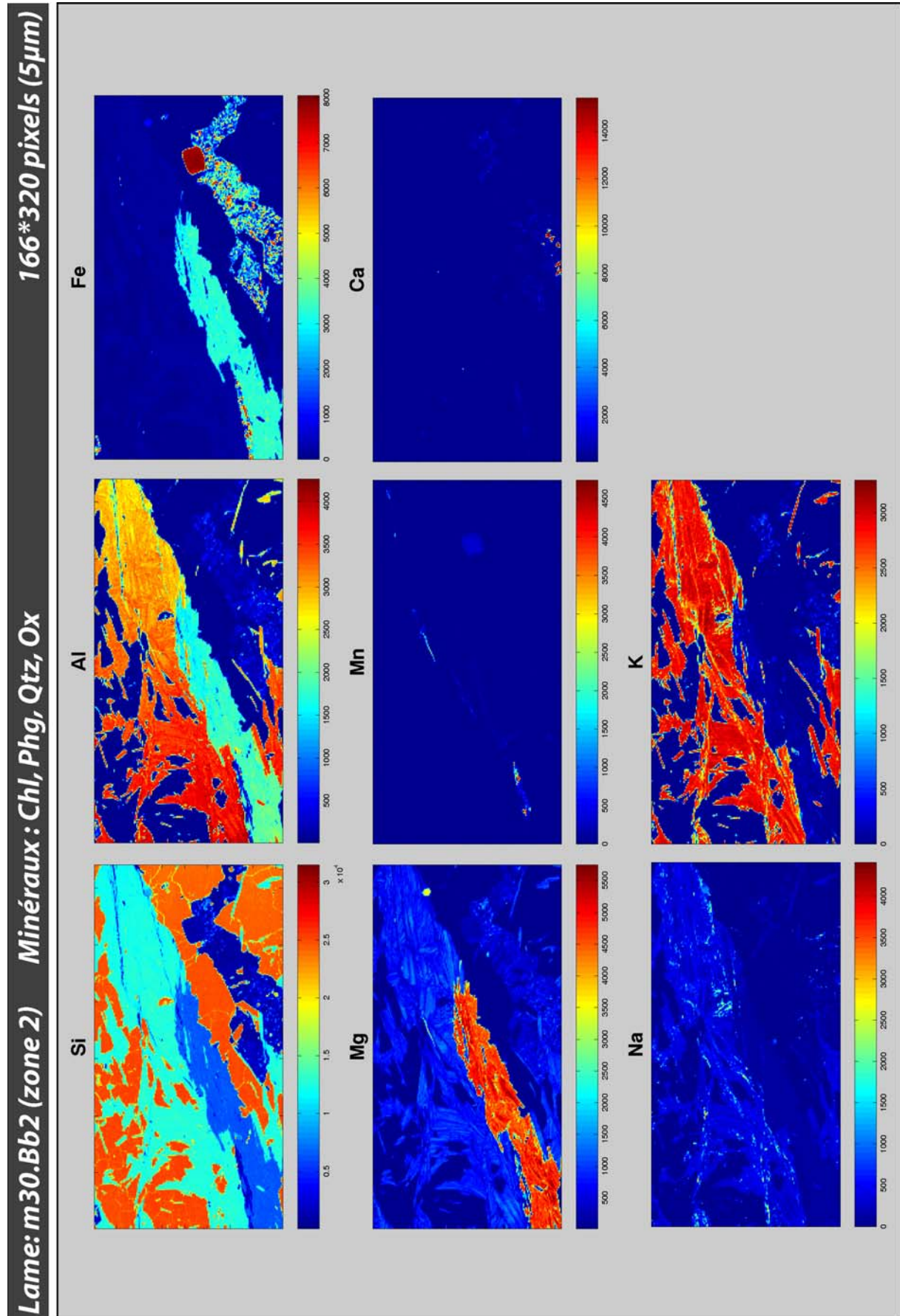


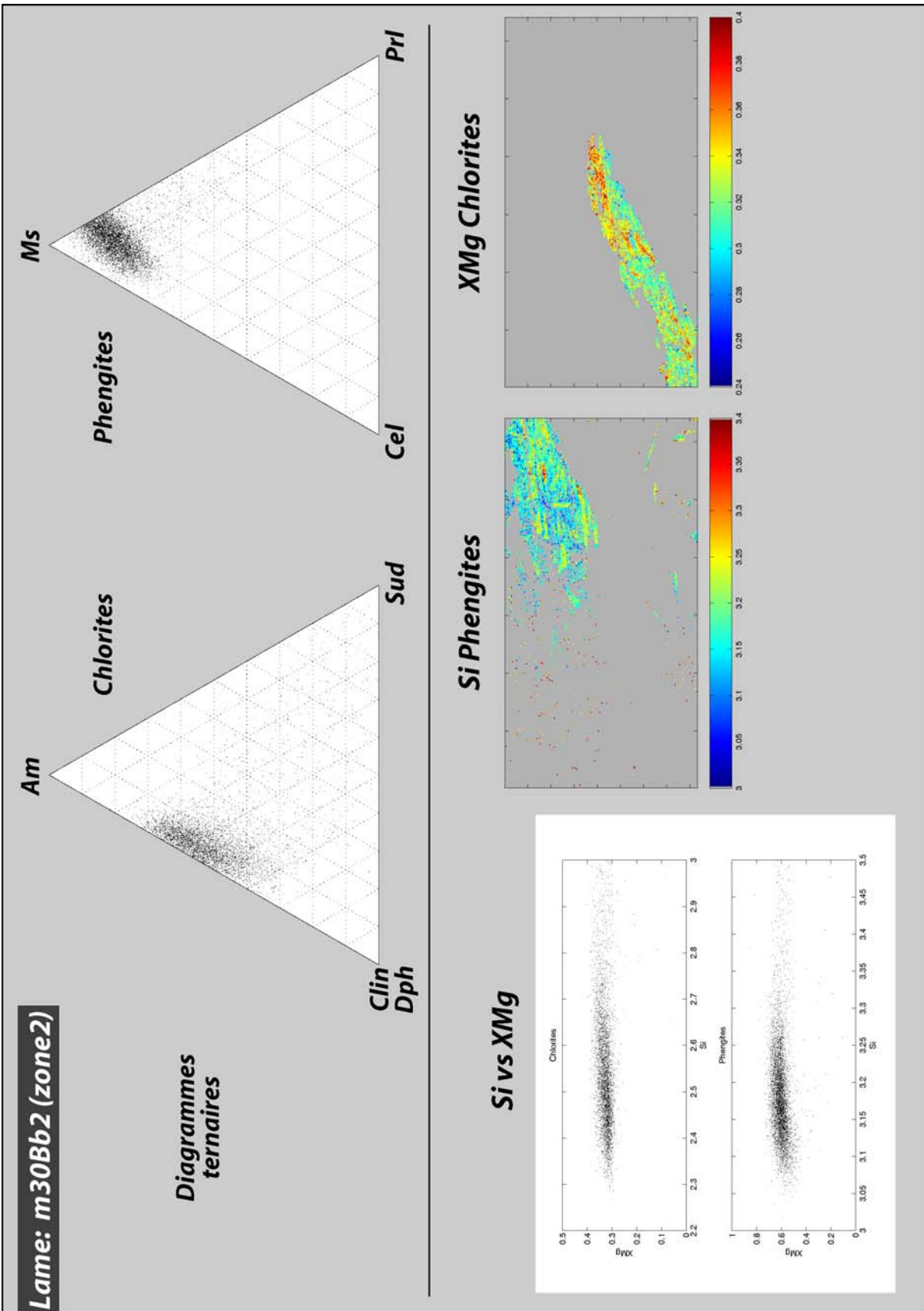
Lame: m30.Bb2 (zone 1) Minéraux : Chl, Phg, Cld, Qtz





Lame: m30.Bb2 (zone 2) Minéraux : Chl, Phg, Qtz, Ox

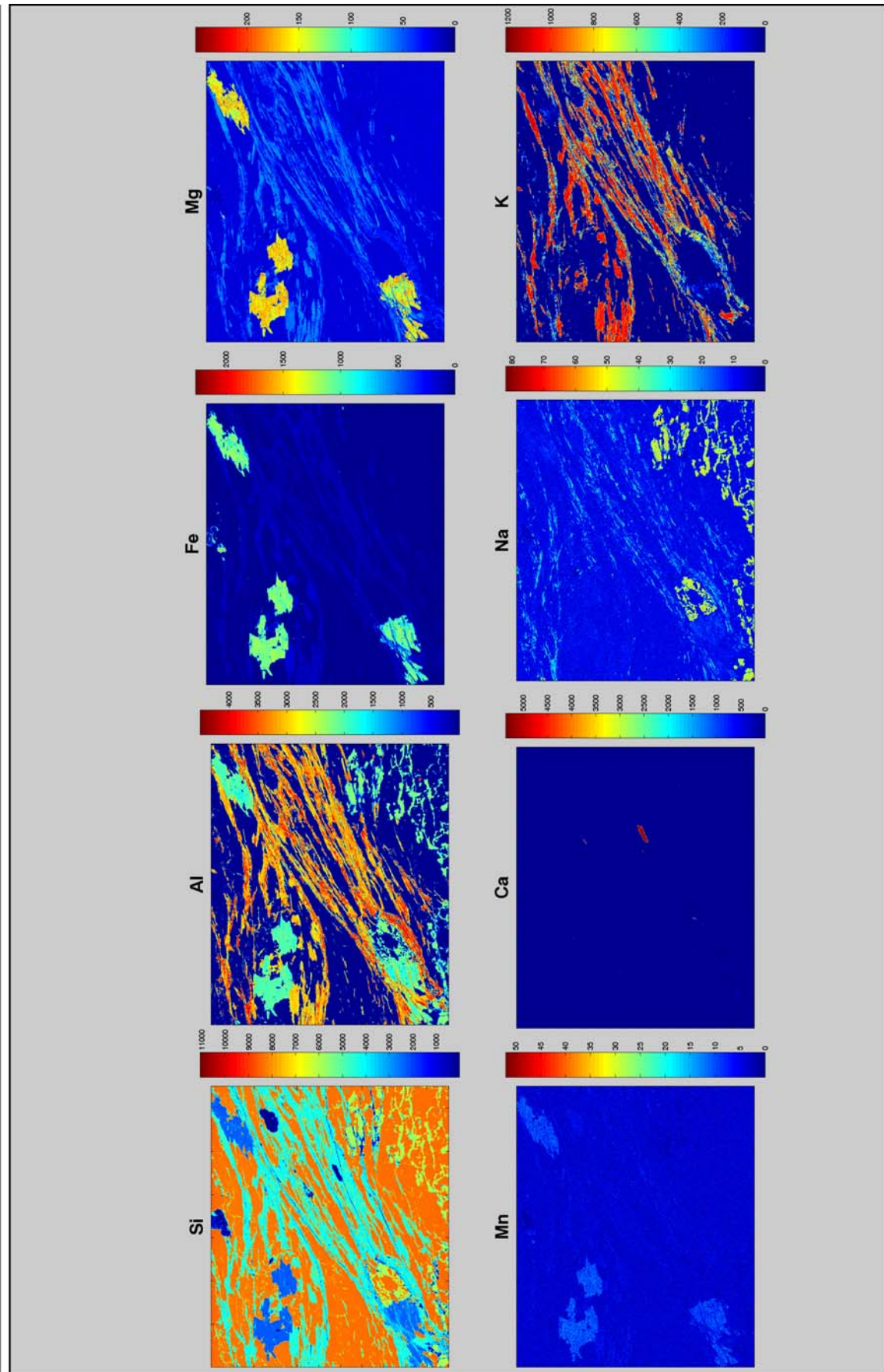


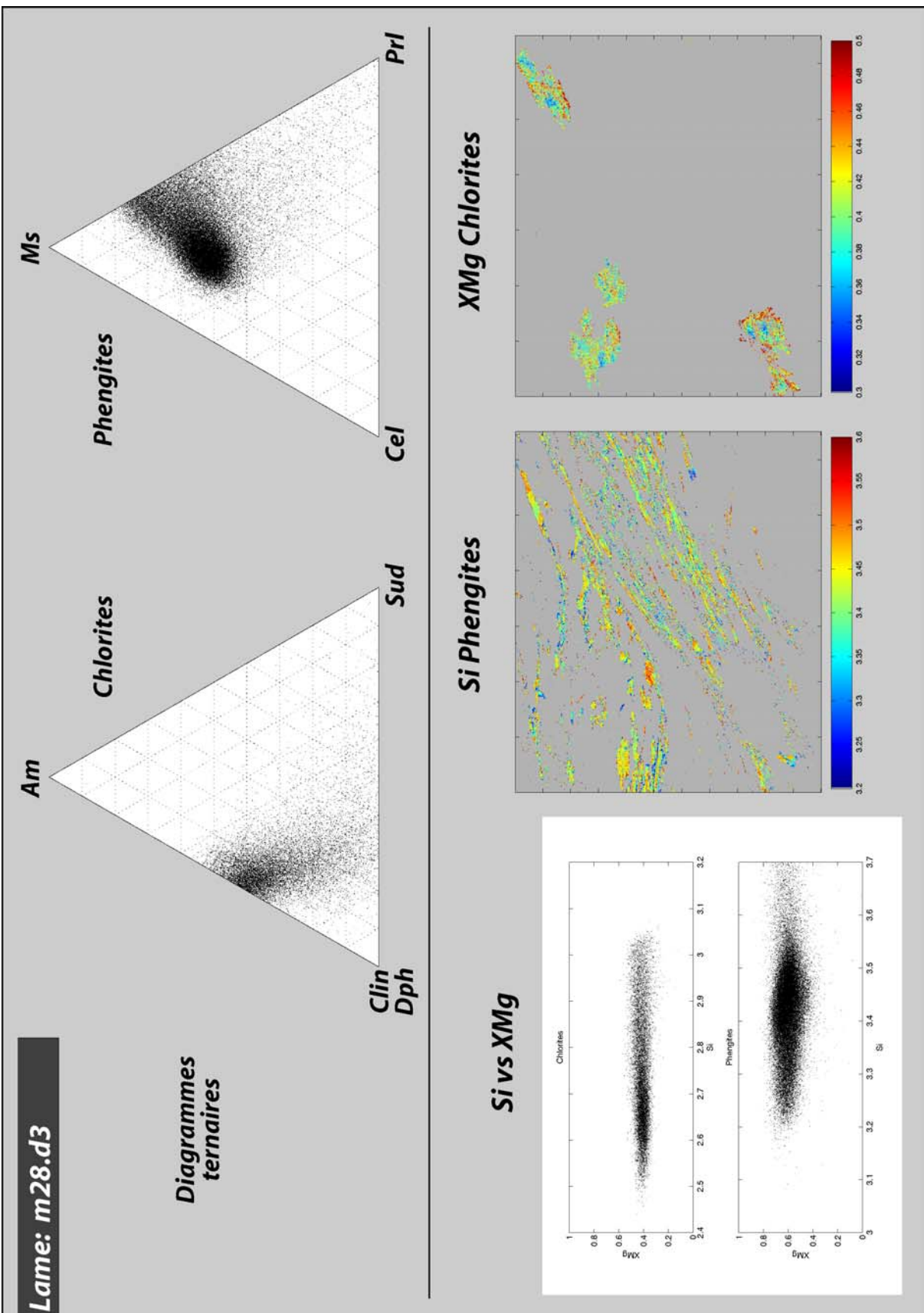


Lame: m28d3

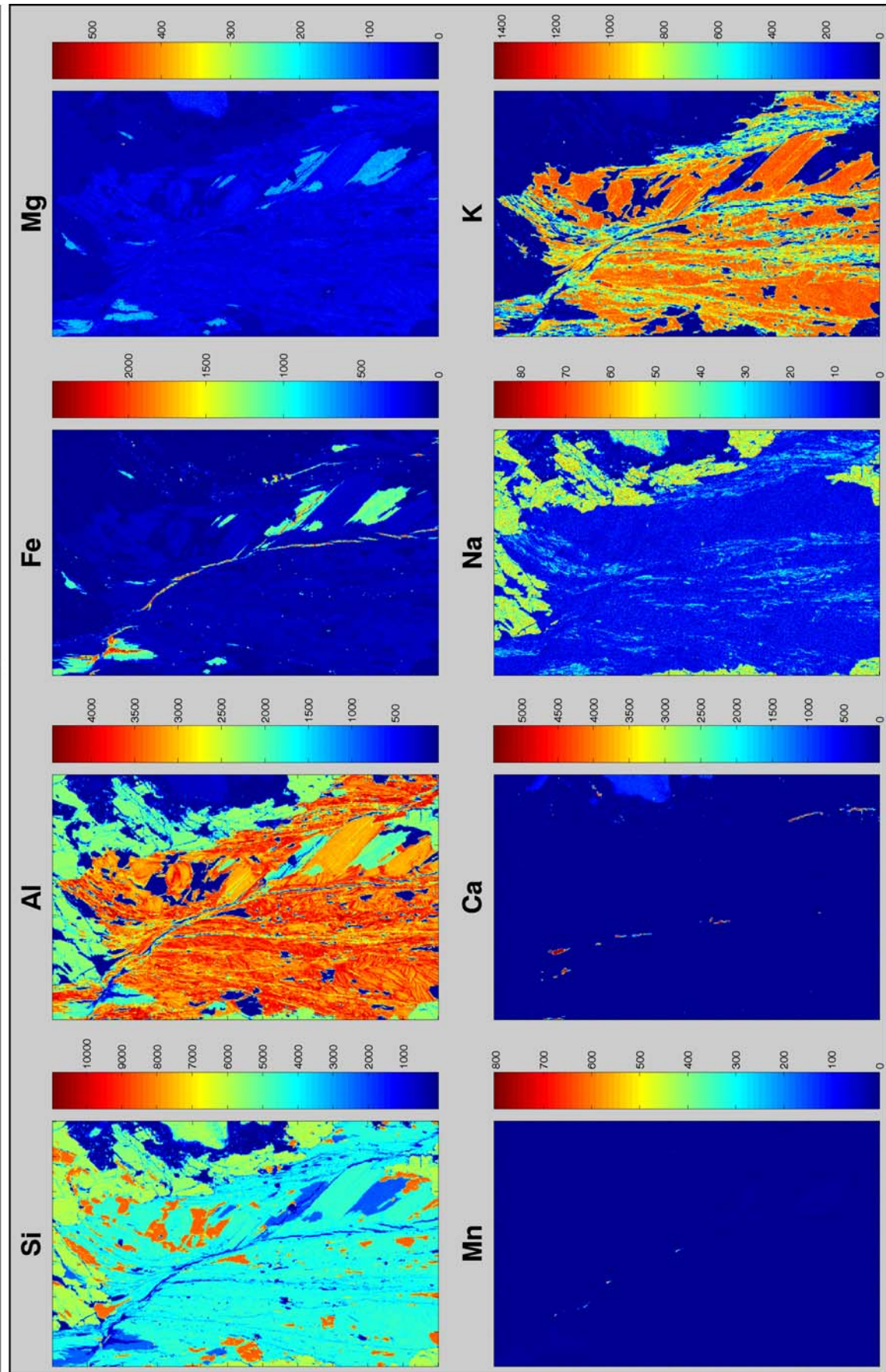
Minéraux : Chl, Phg, Qtz, Ab

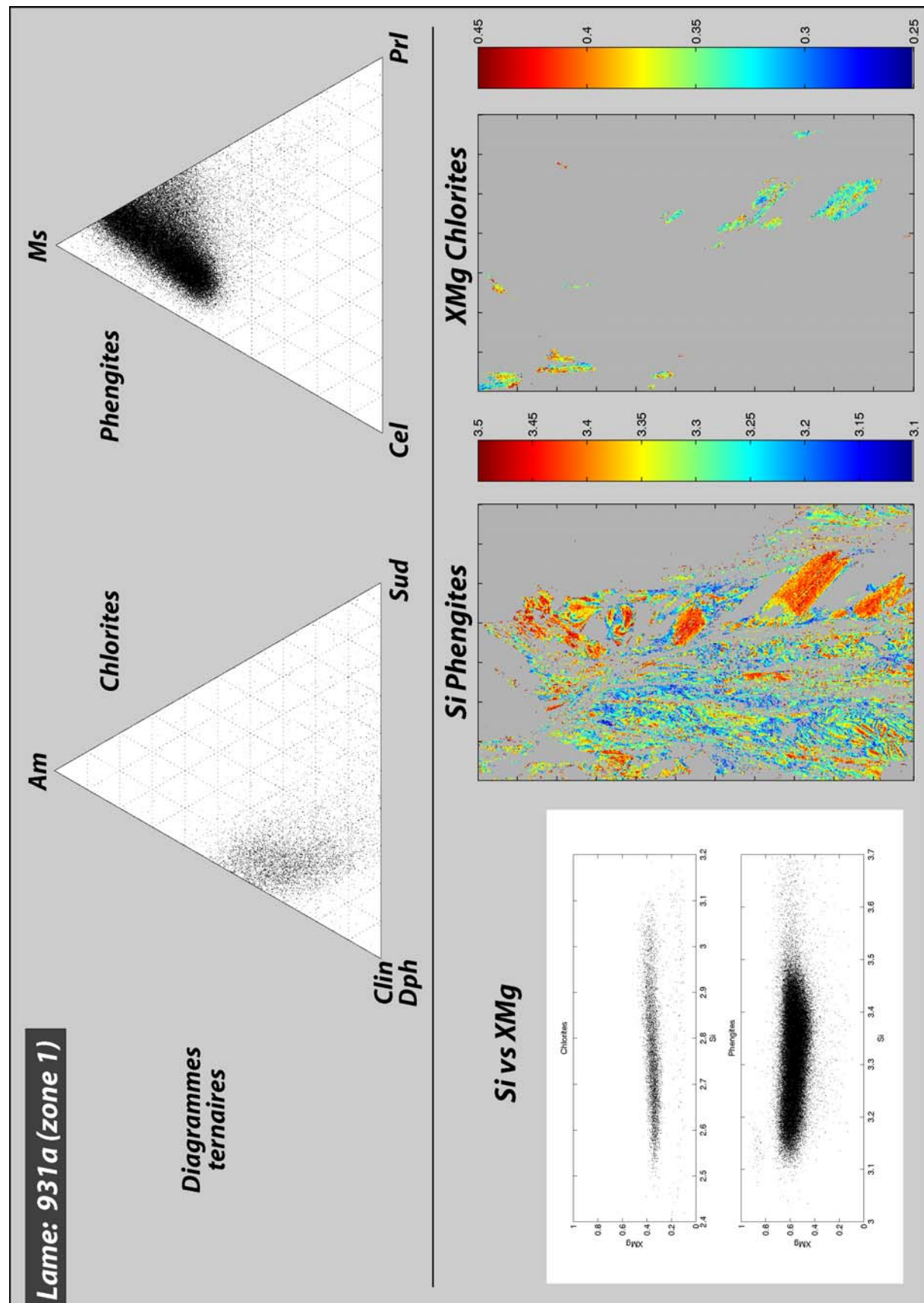
550*650 pixels (3 μ m)



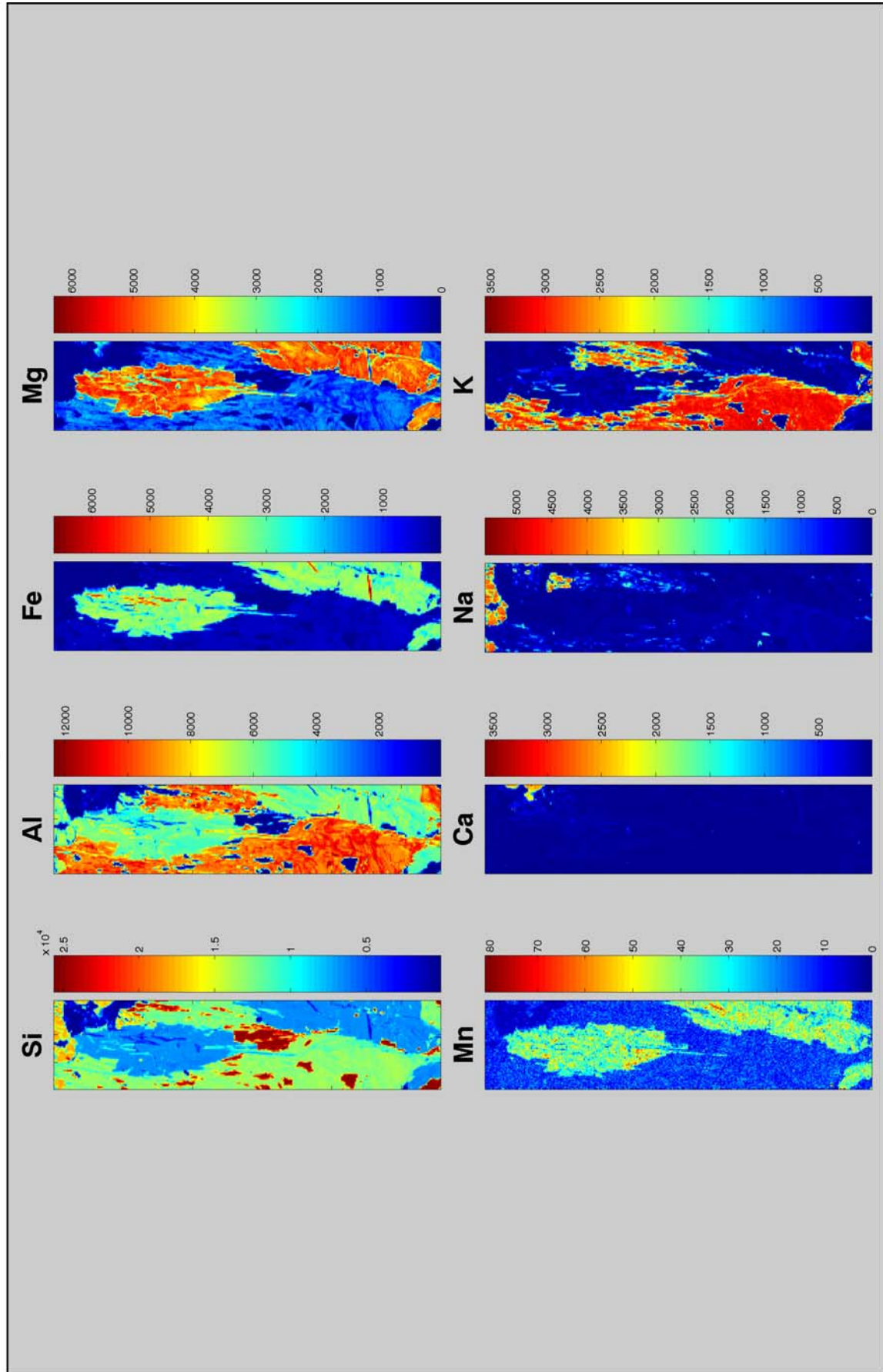


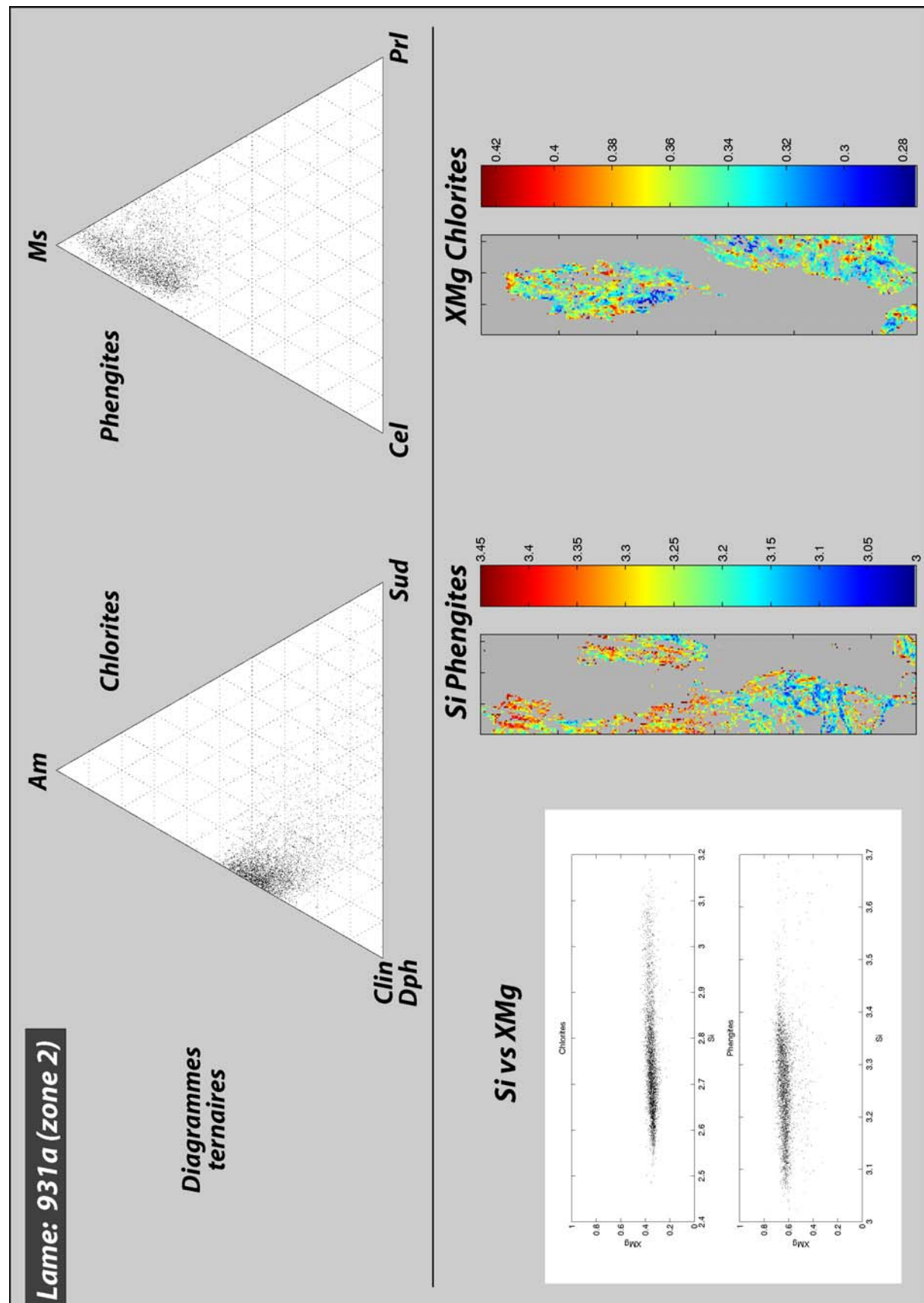
Lame: 931a (zone 1) Minéraux : Chlorite, Phengite, Quartz, Albite



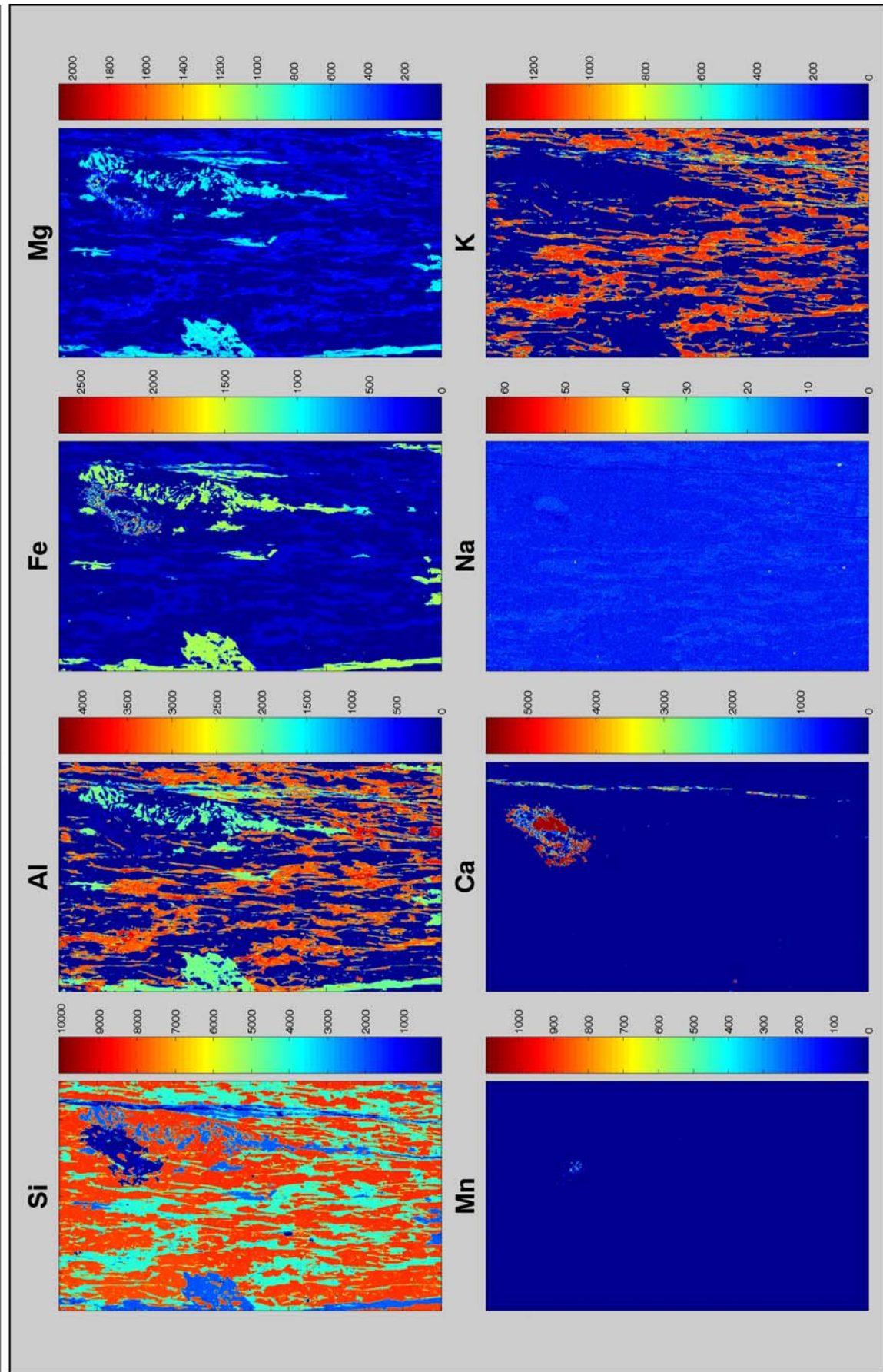


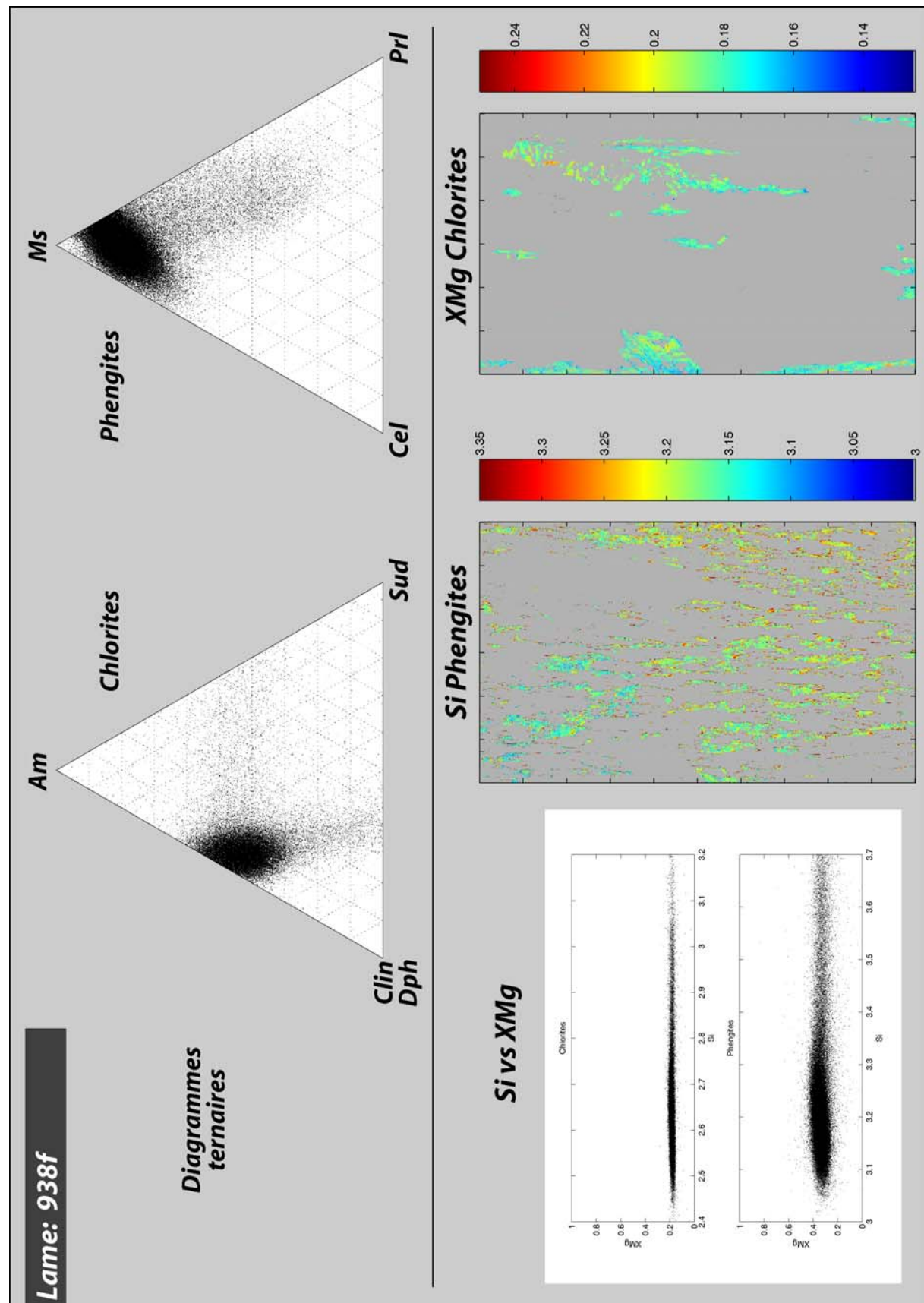
Lame: 931a (zone 2) Minéraux : Chl, Phg, Qtz, Ab, Cc
278*64 pixels (5 μ m)





Lame: 938f Minéraux : Chl, Phg, Qtz, Cl/d, Cc
 10000*6000 pixels (5µm)



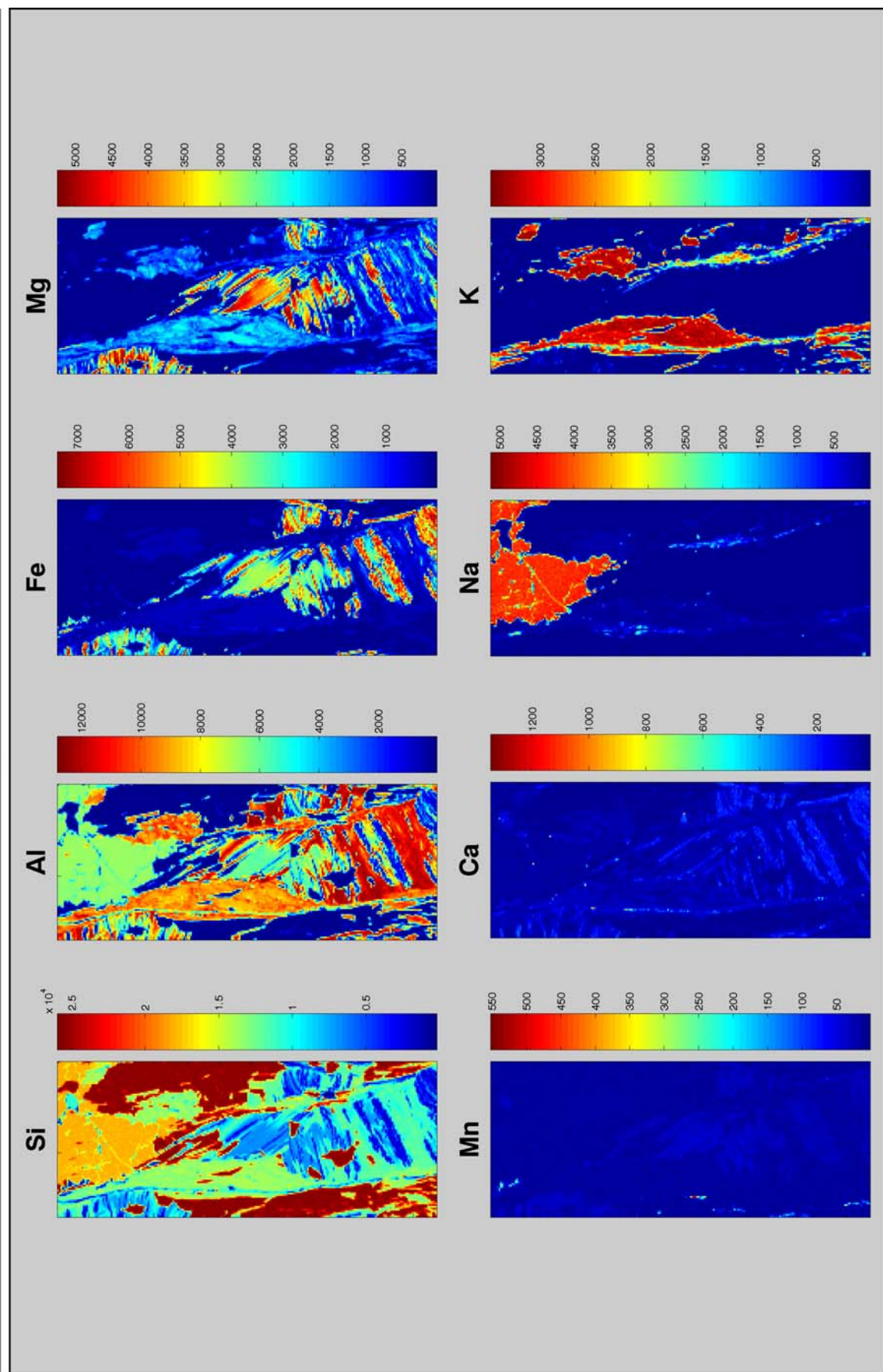


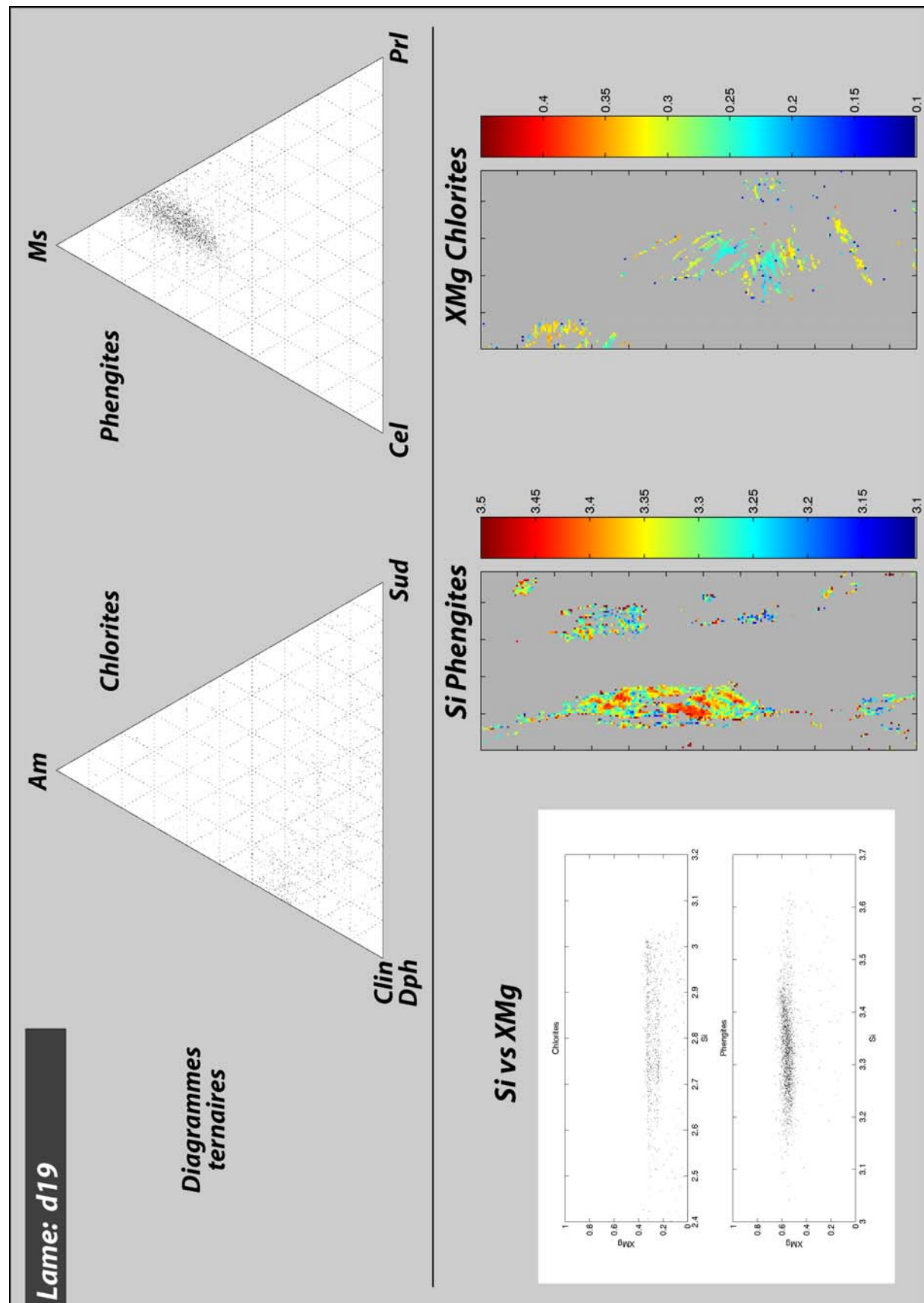
Lame: d19

Minéraux : Chl, Phg, Qtz, Ab

234*96 pixels (5 μ m)

Annexes



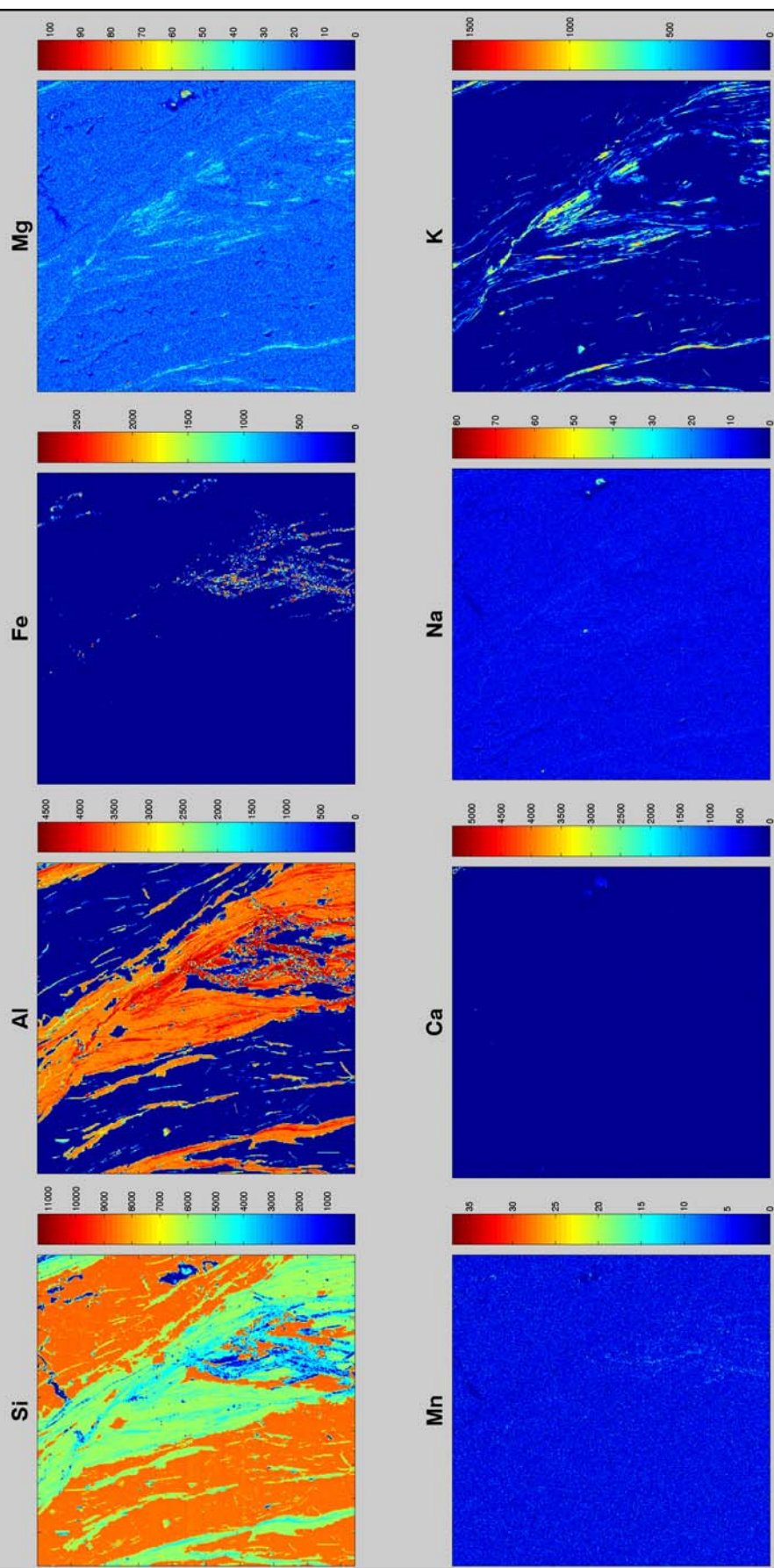


Lame: m70.n1'1

Minéraux: Phg, Qtz, Ox

470*460 pixels (5 μ m)

Annexes

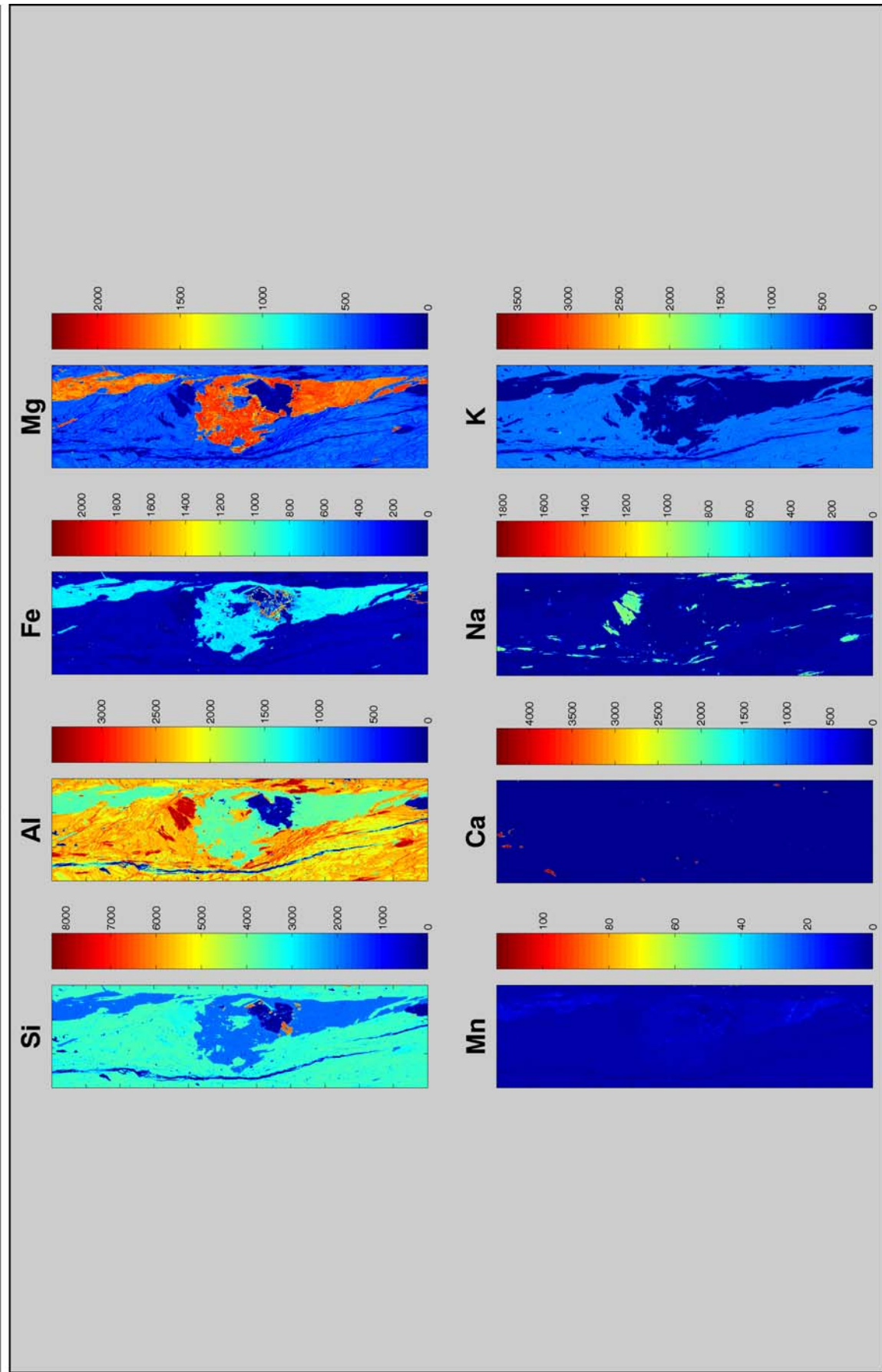


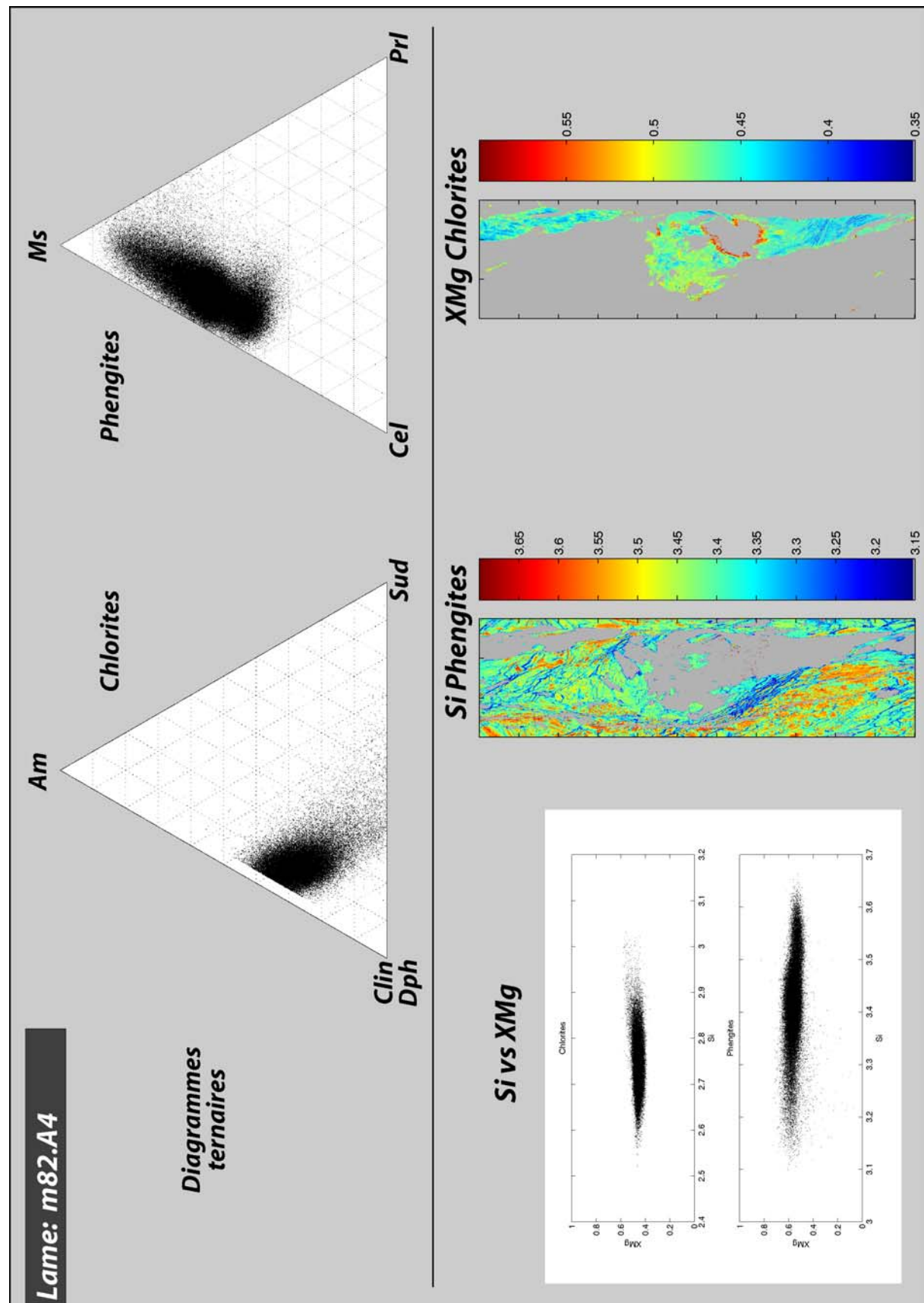
4-Cartographies d'éléments d'échantillons provenant de l'unité de As Sheikh

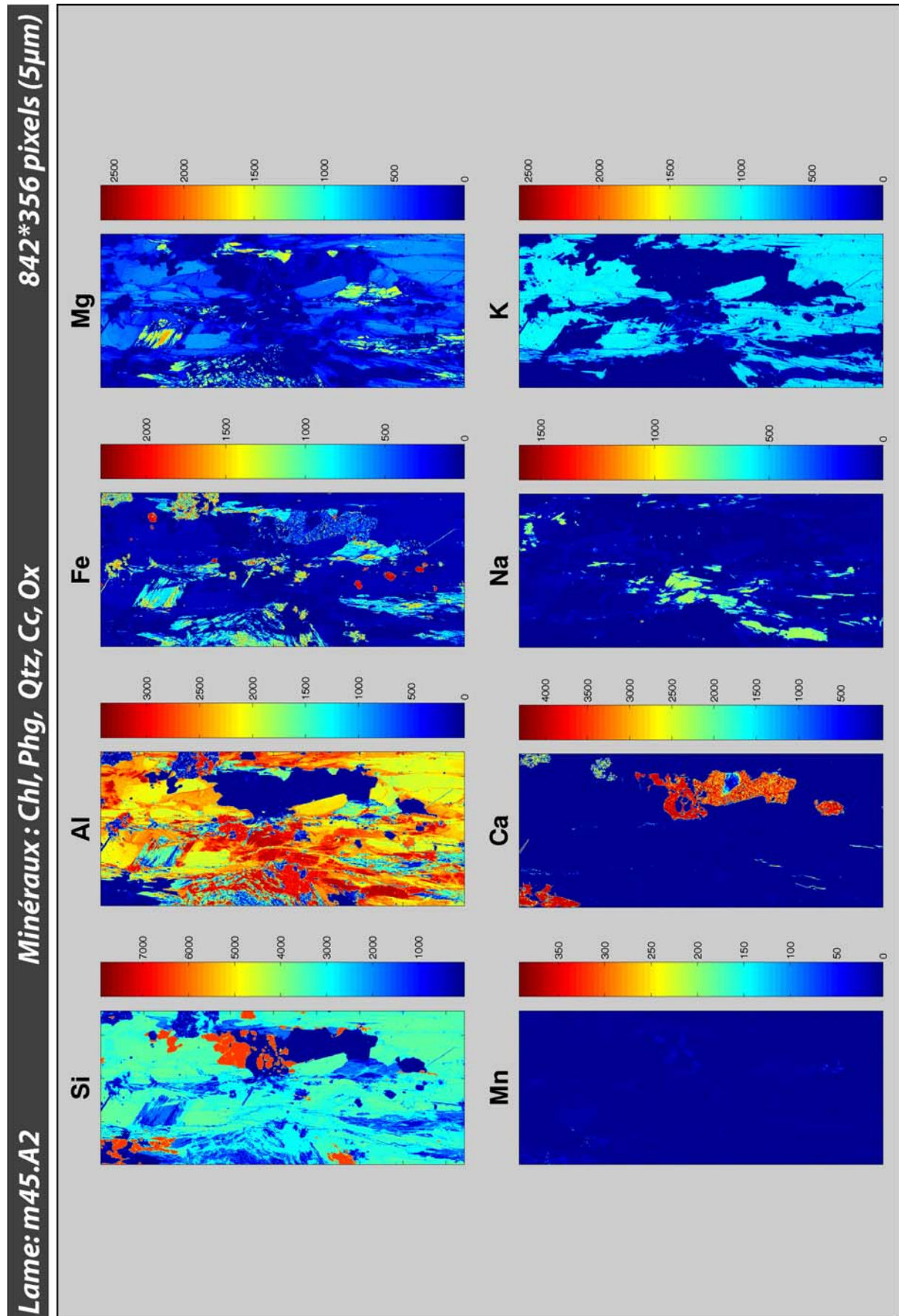
Lames m82A4 ; m 45A2

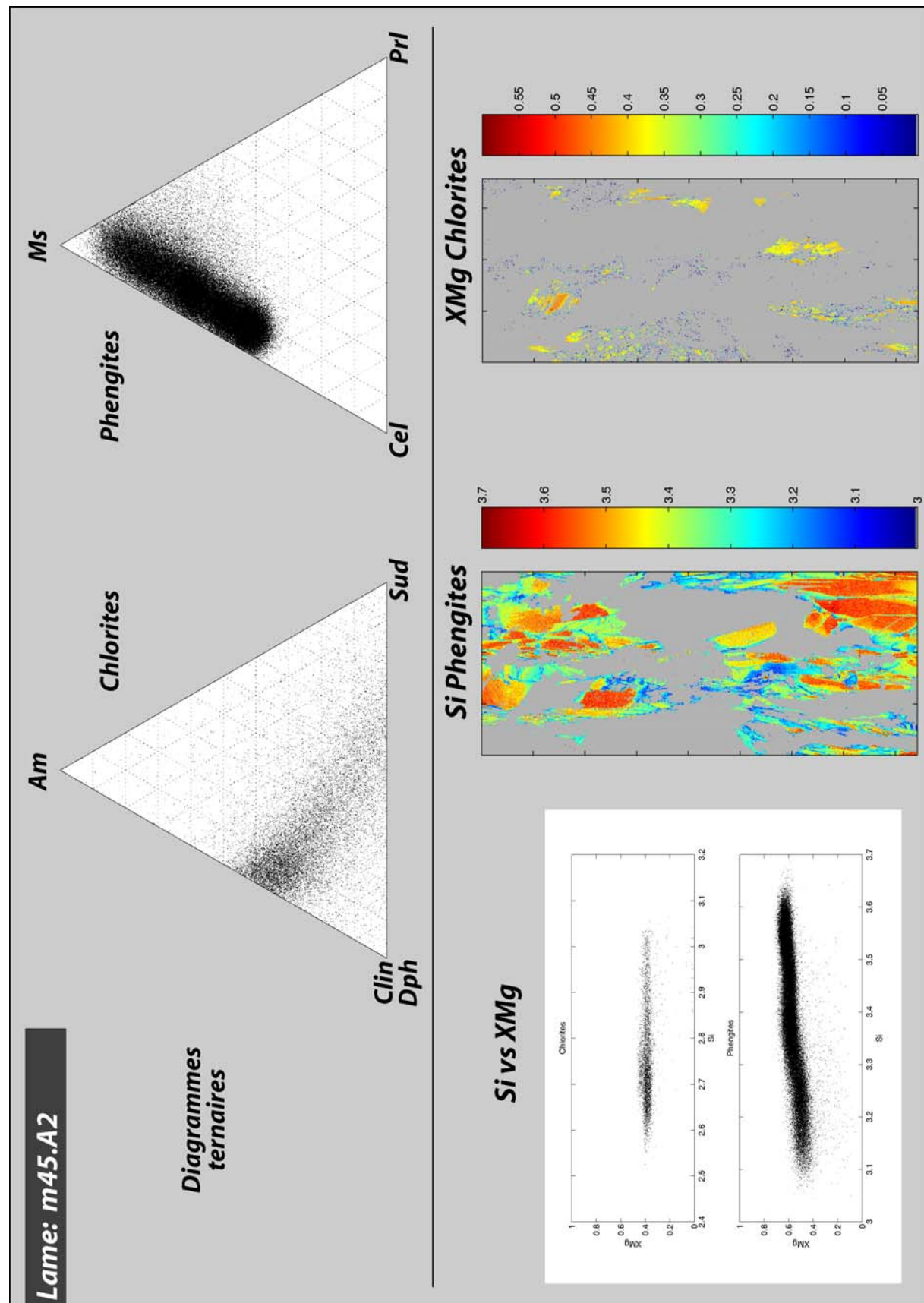
Lame: m82.A4 Minéraux: Phg, Chl

1100*300 pixels (5 μ m)









Annexe I

Résultats des pics de température obtenus pour les échantillons analysés par spectroscopie Raman

Spectre	Aires			Rapport T (°C)	r2	Tmoy	σ	DS
	D1	G	D2	R2				
OM-05-27-A1-1	46,3261418	47,5576056	6,11625263	0,46	434,85	0,995		
OM-05-27-A1-2	44,5739702	4,71E+01	8,2804753	0,45	442,65	0,994		
OM-05-27-A1-3	43,2562865	52,4217363	4,32197719	0,43	448,51	0,998		
OM-05-27-A1-4	40,1061186	55,394346	4,49953547	0,40	462,53	0,996		
OM-05-27-A1-5	43,8745269	52,3743195	3,75115366	0,44	445,76	0,997		
OM-05-27-A1-6	43,9229142	53,4218815	2,65520432	0,44	445,54	0,988		
OM-05-27-A1-7	4,24E+01	5,32E+01	4,42060527	0,42	452,43	0,991		
OM-05-27-A1-8	45,4907022	50,4231594	4,08613838	0,45	438,57	0,994		
OM-05-27-A1-9	43,3980389	5,18E+01	4,81048509	0,43	447,88	0,992		
OM-05-27-A1-10	47,2147122	44,3894484	8,39583941	0,47	430,89	0,993		
OM-05-27-A1-11	40,8796191	52,9217763	6,19860467	0,41	459,09	0,996		
OM-05-27-A1-12	43,9549399	51,1837451	4,86131494	0,44	445,40	0,996		
OM-05-27-A1-13	4,49E+01	5,09E+01	4,15268953	0,45	441,04	0,997	449	7,0 2,2
<hr/>								
OD-05-03-B1-1	4,52E+01	5,11E+01	3,67196522	0,45	439,82	0,992		
OD-05-03-B1-2	45,2428313	5,01E+01	4,68834912	0,45	439,67	0,995		
OD-05-03-B1-3	47,1784663	4,53E+01	7,51839949	0,47	431,06	0,987		
OD-05-03-B1-4	41,2914603	55,1537213	3,55481837	0,41	457,25	0,996		
OD-05-03-B1-5	42,6319792	5,21E+01	5,29995017	0,43	451,29	0,995		
OD-05-03-B1-6	44,0623585	52,9064368	3,03120468	0,44	444,92	0,995		
OD-05-03-B1-7	42,0974612	54,2579575	3,64458128	0,42	453,67	0,990		
OD-05-03-B1-8	43,0043752	51,4387168	5,55690808	0,43	449,63	0,997		
OD-05-03-B1-9	41,4590868	49,1325555	9,40835763	0,41	456,51	0,933		
OD-05-03-B1-10	44,3132249	49,5523656	6,1344095	0,44	443,81	0,989	447	8,4 2,7
<hr/>								
OD-05-31-1	33,7310593	63,3569393	2,91200141	0,34	490,90	0,997		
OD-05-31-2	3,34E+01	6,20E+01	4,52634716	0,33	492,16	0,997		
OD-05-31-3	30,9022324	66,3663276	2,73143996	0,31	503,49	0,999		
OD-05-31-4	3,54E+01	6,01E+01	4,51746364	0,35	483,68	0,993		
OD-05-31-5	3,49E+01	6,05E+01	4,59635572	0,35	485,66	0,992		
OD-05-31-6	31,9304571	61,6533091	6,41623377	0,32	498,91	0,995		
OD-05-31-7	29,9236757	65,3162487	4,76007562	0,30	507,84	0,995		
OD-05-31-8	31,0797901	65,9926855	2,92752441	0,31	502,69	0,998		
OD-05-31-9	30,2549239	61,8092329	7,93584314	0,30	506,37	0,993		
OD-05-31-10	35,8040479	59,4558882	4,74006384	0,36	481,67	0,993	495	9,8 3,1
<hr/>								

Spectre	Aires			Rapport T (°C)	r2	Tmoy	σ	DS
	D1	G	D2	R2				
OD-05-32-1	44,1810829	45,0569164	10,7620006	0,44	444,39	0,955		
OD-05-32-2	43,2599786	51,34843	5,39159147	0,43	448,49	0,995		
OD-05-32-3	43,1522357	49,3675095	7,48025483	0,43	448,97	0,991		
OD-05-32-4	45,112	50,3553438	4,5326561	0,45	440,25	0,996		
OD-05-32-5	42,9046199	46,1680581	10,927322	0,43	450,07	0,981		
OD-05-32-6	45,0456536	45,1106098	9,84373663	0,45	440,55	0,990		
OD-05-32-7	44,3686794	45,1302393	10,5010813	0,44	443,56	0,974		
OD-05-32-8	45,0311987	47,4706658	7,49813557	0,45	440,61	0,983		
OD-05-32-9	44,4080854	48,432463	7,15945158	0,44	443,38	0,990		
OD-05-32-10	44,8229116	48,0717186	7,10536983	0,45	441,54	0,987	444	3,7
								1,2
OD-05-46-1	20,8328709	75,7887751	3,37835395	0,21	548,29	0,963		
OD-05-46-2	18,4717546	78,8647145	2,66353092	0,18	558,80	0,995		
OD-05-46-3	16,8002297	81,065422	2,13434831	0,17	566,24	0,998		
OD-05-46-4	28,7503177	68,9993392	2,25034303	0,29	513,06	0,998		
OD-05-46-5	23,1090829	70,2341569	6,65676017	0,23	538,16	0,998		
OD-05-46-6	24,707047	71,2401585	4,05279451	0,25	531,05	0,989		
OD-05-46-7	17,6146341	80,9298478	1,45551808	0,18	562,61	0,995		
OD-05-46-8	29,8444451	67,6815896	2,4739653	0,30	508,19	0,992		
OD-05-46-9	20,4811189	76,1098839	3,4089972	0,20	549,86	0,984		
OD-05-46-10	21,2953532	76,7655252	1,93912158	0,21	546,24	0,996	542	19,8
								6,3
OD-05-72-1	26,0270753	70,0944125	3,87851224	0,26	525,18	0,997		
OD-05-72-2	34,4132347	61,7666844	3,8200809	0,34	487,86	0,997		
OD-05-72-3	29,7266428	67,7685013	2,50485583	0,30	508,72	0,998		
OD-05-72-4	25,5858652	69,1299374	5,2841974	0,26	527,14	0,979		
OD-05-72-5	30,3251734	67,8964706	1,77835593	0,30	506,05	0,941		
OD-05-72-6	34,8831321	62,445055	2,67181292	0,35	485,77	0,972		
OD-05-72-7	35,1342261	62,2822837	2,58349022	0,35	484,65	0,987		
OD-05-72-8	27,7105588	70,5489437	1,74049748	0,28	517,69	0,993		
OD-05-72-9	22,8321823	73,4327546	3,73506309	0,23	539,40	0,937		
OD-05-72-10	25,6022621	72,468302	1,92943588	0,26	527,07	0,977	511	19,6
								6,2
OM-05-73-b2-1	39,3098616	56,0029925	4,68714593	0,39	466,07	0,997		
OM-05-73-b2-2	34,9002697	55,9507096	9,14902067	0,35	485,69	0,987		
OM-05-73-b2-3	29,5131747	67,1693071	3,31751827	0,30	509,67	0,999		
OM-05-73-b2-4	30,3001515	65,5035528	4,19629572	0,30	506,16	0,998		
OM-05-73-b2-5	34,1140203	62,4198042	3,46617553	0,34	489,19	0,999		
OM-05-73-b2-6	41,246476	54,8753687	3,87815532	0,41	457,45	0,995		
OM-05-73-b2-7	39,8648893	53,9720853	6,16302547	0,40	463,60	0,997		
OM-05-73-b2-8	38,9061875	57,9145484	3,17926411	0,39	467,87	0,999		
OM-05-73-b2-9	30,7017492	65,9304412	3,36780952	0,31	504,38	0,997		
OM-05-73-b2-10	36,8267838	58,3983694	4,77484683	0,37	477,12	0,998	483	19,2
								6,1

Spectre	Aires			Rapport T (°C)	r2	Tmoy	σ	DS
	D1	G	D2	R2				
OD.05.12-1	21,6052314	74,8672825	3,5274861	0,22	544,86	0,984		
OD.05.12-2	84,7871341	244,742614	15,2128659	0,25	531,56	0,980		
OD.05.12-3	26,4991034	69,8555407	3,64535597	0,26	523,08	0,967		
OD.05.12-4	22,4254765	76,3560484	1,21847512	0,22	541,21	0,983		
OD.05.12-5	31,2924682	63,3893022	5,31822951	0,31	501,75	0,991		
OD.05.12-6	33,1514031	63,9498414	2,89875548	0,33	493,48	0,985		
OD.05.12-7	32,7354184	65,2325359	2,03204573	0,33	495,33	0,997		
OD.05.12-8	39,434965	56,1398316	4,4252034	0,39	465,51	0,979		
OD.05.12-9	26,6118356	70,127065	3,26109936	0,27	522,58	0,987		
OD.05.12-10	23,9832052	73,8024565	2,21433829	0,24	534,27	0,972	515	25,4
							8,0	
OD.05.40.2-1	36,3001494	59,1779014	4,52194911	0,36	479,46	0,995		
OD.05.40.2-2	41,8825236	53,6669943	4,45048206	0,42	454,62	0,996		
OD.05.40.2-3	31,8579703	64,3352261	3,80680354	0,32	499,23	0,998		
OD.05.40.2-4	34,0693606	62,1393558	3,79128366	0,34	489,39	0,995		
OD.05.40.2-5	39,3030631	57,3675509	3,32938599	0,39	466,10	0,996		
OD.05.40.2-6	38,3442805	56,1074241	5,5482954	0,38	470,37	0,991		
OD.05.40.2-7	41,2623751	55,121722	3,6159029	0,41	457,38	0,996		
OD.05.40.2-8	33,5071209	63,9382951	2,55458404	0,34	491,89	0,995		
OD.05.40.2-9	41,9218086	55,8722356	2,20595576	0,42	454,45	0,989		
OD.05.40.2-10	39,9241873	56,8045154	3,27129728	0,40	463,34	0,997	473	16,4
							5,2	
OD.05.48-1	14,2300174	82,5722329	3,19774975	0,14	577,68	0,992		
OD.05.48-2	5,43923808	93,9645278	0,5962341	0,05	616,80	0,995		
OD.05.48-3	6,59517398	92,3794762	1,02534985	0,07	611,65	0,993		
OD.05.48-4	17,8921121	79,9657205	2,1421674	0,18	561,38	0,996		
OD.05.48-5	11,0841531	87,7222314	1,19361554	0,11	591,68	0,997		
OD.05.48-6	8,82194454	90,1902942	0,98776131	0,09	601,74	0,996		
OD.05.48-7	17,1656331	79,7138021	3,12056485	0,17	564,61	0,997		
OD.05.48-8	16,4107729	81,6108714	1,97835567	0,16	567,97	0,992		
OD.05.48-9	8,01358909	90,6634879	1,32292305	0,08	605,34	0,993		
OD.05.48-10	20,1730785	78,4486511	1,37827036	0,20	551,23	0,994	585	23,4
							7,4	
OD.05.53B-1	45,3896432	51,8113669	2,79898997	0,45	439,02	0,989		
OD.05.53B-2	45,0599348	52,1489116	2,79115354	0,45	440,48	0,987		
OD.05.53B-3	52,7180076	39,351278	7,93071442	0,53	406,40	0,993		
OD.05.53B-4	51,7550301	43,9464597	4,29851018	0,52	410,69	0,991		
OD.05.53B-5	52,2054728	41,7964266	5,99810058	0,52	408,69	0,991		
OD.05.53B-6	48,3556513	47,3727492	4,27159953	0,48	425,82	0,997		
OD.05.53B-7	47,2861437	48,0613796	4,65247671	0,47	430,58	0,994		
OD.05.53B-8	47,2775394	48,758321	3,96413962	0,47	430,61	0,997		
OD.05.53B-9	47,6820118	48,0108406	4,30714758	0,48	428,82	0,984		
OD.05.53B-10	45,9644742	49,3223645	4,71316123	0,46	436,46	0,989	426	12,7
							4,0	

Spectre	Aires			Rapport T (°C)	r2	Tmoy	σ	DS
	D1	G	D2	R2				
OD.05.50-1	40,7135758	55,6069564	3,67946778	0,41	459,82	0,990		
OD.05.50-2	43,6588574	53,6778494	2,66329326	0,44	446,72	0,990		
OD.05.50-3	42,8763734	53,9651698	3,15845682	0,43	450,20	0,990		
OD.05.50-4	47,0338522	49,3881718	3,57797605	0,47	431,70	0,989		
OD.05.50-5	50,4743377	46,3875003	3,13816204	0,50	416,39	0,994		
OD.05.50-6	33,6154828	63,2429059	3,14161139	0,34	491,41	0,994		
OD.05.50-7	47,0169841	46,3498127	6,63320319	0,47	431,77	0,978		
OD.05.50-8	53,0510085	42,2259323	4,72305923	0,53	404,92	0,995		
OD.05.50-9	46,1398188	50,0451993	3,81498193	0,46	435,68	0,899		
OD.05.50-10	38,0438771	60,126634	1,8294889	0,38	471,70	0,948		
OD.05.50-11	37,8009971	60,1923097	2,00669328	0,38	472,79	0,954		
OD.05.50-12	33,0476652	61,2798079	5,6725269	0,33	493,94	0,991		
OD.05.50-13	39,5887748	55,6581438	4,75308137	0,40	464,83	0,994	452	27,3
							7,6	
OD.05.27-1	56,7870441	37,8419567	5,37099922	0,57	388,30	0,979		
OD.05.27-2	61,8296907	34,2760734	3,89423595	0,62	365,86	0,980		
OD.05.27-3	52,403031	45,2668792	2,33008988	0,52	407,81	0,989		
OD.05.27-4	64,4235728	31,2452585	4,33116875	0,64	354,32	0,973		
OD.05.27-5	58,8943032	36,3558153	4,74988154	0,59	378,92	0,995		
OD.05.27-6	64,0668622	30,6706236	5,26251419	0,64	355,90	0,991		
OD.05.27-7	57,2286724	39,4421681	3,32915946	0,57	386,33	0,969		
OD.05.27-8	54,6098901	40,4524783	4,93763159	0,55	397,99	0,993		
OD.05.27-9	63,208997	31,8546636	4,93633938	0,63	359,72	0,995		
OD.05.27-10	63,6790523	28,6691141	7,6518336	0,64	357,63	0,985		
OD.05.27-11	64,046249	30,7241256	5,22962535	0,64	355,99	0,972		
OD.05.27-12	61,2435529	35,3297271	3,42672001	0,61	368,47	0,997	373	18,3
							5,3	
OD.05.51-1	63,3968362	32,2732752	4,32988856	0,63	358,88	0,986		
OD.05.51-2	63,0572068	32,7259942	4,21679902	0,63	360,40	0,981		
OD.05.51-3	64,9158121	29,8383575	5,24583042	0,65	352,12	0,998		
OD.05.51-4	61,6061558	30,1185699	8,2752743	0,62	366,85	0,934		
OD.05.51-5	57,8958479	35,6870978	6,41705427	0,58	383,36	0,968		
OD.05.51-6	63,4265385	32,4147711	4,15869041	0,63	358,75	0,984		
OD.05.51-7	62,9467231	27,6752126	9,37806431	0,63	360,89	0,960		
OD.05.51-8	60,7222549	35,1769309	4,10081422	0,61	370,79	0,956		
OD.05.51-9	63,3380645	30,739642	5,9222935	0,63	359,15	0,994		
OD.05.51-10	62,9845216	33,1115804	3,90389806	0,63	360,72	0,998		
OD.05.51-11	61,9422585	33,4343523	4,62338923	0,62	365,36	0,994	363	8,2
							2,5	

Spectre	Aires			Rapport T (°C)	r2	Tmoy	σ	DS
	D1	G	D2	R2				
OD-05-52-1	60,6514139	30,0765276	9,27205846	0,61	371,10	0,993		
OD-05-52-2	59,5395691	39,1817237	1,27870718	0,60	376,05	0,992		
OD-05-52-3	62,3083772	31,2649018	6,42672096	0,62	363,73	0,994		
OD-05-52-4	63,8006784	31,8677479	4,33157365	0,64	357,09	0,945		
OD-05-52-5	59,9710931	35,683851	4,34505596	0,60	374,13	0,992		
OD-05-52-6	56,696848	42,3375565	0,96559547	0,57	388,70	0,974		
OD-05-52-7	62,2610268	31,1819516	6,55702158	0,62	363,94	0,983		
OD-05-52-8	62,559588	31,1954462	6,2449658	0,63	362,61	0,987		
OD-05-52-9	59,3084775	38,2014663	2,49005623	0,59	377,08	0,985		
OD-05-52-10	59,3591343	32,8714351	7,76943054	0,59	376,85	0,980	371	9,3
								3,0
OM-05-31-A2-1	44,9896406	51,4542732	3,5560862	0,45	440,80	0,997		
OM-05-31-A2-2	38,8898515	57,2556813	3,85446721	0,39	467,94	0,996		
OM-05-31-A2-3	38,9411723	56,2339958	4,82483184	0,39	467,71	0,996		
OM-05-31-A2-4	45,0890924	50,5564437	4,3544639	0,45	440,35	0,996		
OM-05-31-A2-5	38,4475407	58,0606075	3,49185179	0,38	469,91	0,996		
OM-05-31-A2-6	44,0889262	52,6650933	3,24598054	0,44	444,80	0,997		
OM-05-31-A2-7	43,4111652	51,7719471	4,81688773	0,43	447,82	0,992		
OM-05-31-A2-8	39,2712636	58,699812	2,02892433	0,39	466,24	0,994		
OM-05-31-A2-9	45,8824201	51,4123883	2,70519162	0,46	436,82	0,964		
OM-05-31-A2-10	35,5496752	61,697847	2,75247777	0,36	482,80	0,996		
OM-05-31-A2-11	44,4992811	53,2635436	2,23717532	0,44	442,98	0,990		
OM-05-31-A2-12	34,5235984	62,8221114	2,65429017	0,35	487,37	0,997		
OM-05-31-A2-13	43,131438	53,431574	3,43698806	0,43	449,07	0,997	457	17,1
								4,7
OD-05-10-B-1	35,4488243	61,2142978	3,33687787	0,35	483,25	0,996		
OD-05-10-B-2	30,3379348	66,10422	3,55784524	0,30	506,00	0,997		
OD-05-10-B-3	28,0701701	68,9746959	2,95513397	0,28	516,09	0,997		
OD-05-10-B-4	35,2068225	59,5917697	5,20140772	0,35	484,33	0,997		
OD-05-10-B-5	12,412497	86,0957771	1,49172589	0,12	585,76	0,997		
OD-05-10-B-6	24,6829145	72,6317017	2,68538378	0,25	531,16	0,997		
OD-05-10-B-7	22,4111049	74,5630001	3,02589498	0,22	541,27	0,995		
OD-05-10-B-8	33,2332047	62,2159616	4,55083371	0,33	493,11	0,991		
OD-05-10-B-9	27,4141742	68,9171823	3,66864353	0,27	519,01	0,997		
OD-05-10-B-10	21,412711	75,7071678	2,88012118	0,21	545,71	0,996		
OD-05-10-B-11	26,3478641	71,1519142	2,50022171	0,26	523,75	0,996		
OD-05-10-B-12	26,8060086	70,4891008	2,70489057	0,27	521,71	0,994		
OD-05-10-B-13	28,887587	68,5264848	2,58592823	0,29	512,45	0,996		
OD-05-10-B-14	22,4958331	74,6657933	2,83837363	0,22	540,89	0,997	522	27,2
								7,3

Spectre	Aires			Rapport T (°C)	r2	Tmoy	σ	DS
	D1	G	D2	R2				
OD-05-69-2-1	34,7211978	60,540222	4,73858027	0,35	486,49	0,987		
OD-05-69-2-2	22,7965326	72,1412592	5,06220829	0,23	539,56	0,994		
OD-05-69-2-3	28,9556494	68,2169465	2,8274041	0,29	512,15	0,987		
OD-05-69-2-4	23,7731808	73,4075032	2,81931597	0,24	535,21	0,996		
OD-05-69-2-5	34,3093758	58,0690798	7,62154444	0,34	488,32	0,961		
OD-05-69-2-6	34,8048524	60,9592006	4,23594699	0,35	486,12	0,997		
OD-05-69-2-7	34,8325322	61,3443001	3,82316769	0,35	486,00	0,980		
OD-05-69-2-8	40,3914458	56,8236309	2,78492328	0,40	461,26	0,997		
OD-05-69-2-9	34,7046636	61,1386249	4,15671144	0,35	486,56	0,985		
OD-05-69-2-10	36,3934278	59,7018965	3,90467564	0,36	479,05	0,997		
OD-05-69-2-11	29,46785	66,0970892	4,43506083	0,29	509,87	0,997		
OD-05-69-2-12	32,3593211	59,130826	8,50985297	0,32	497,00	0,990		
OD-05-69-2-13	30,9448867	64,8134864	4,2416269	0,31	503,30	0,996		
OD-05-69-2-14	40,2946329	55,9004855	3,80488158	0,40	461,69	0,995	495	23,3 6,2
<hr/>								
OD-05-04-A-6	35,3838408	61,4496972	3,16646202	0,35	483,54	0,996		
OD-05-04-A-7	29,0653288	67,7653179	3,16935332	0,29	511,66	0,983		
OD-05-04-A-8	36,8109802	60,3794647	2,8095551	0,37	477,19	0,979		
OD-05-04-A-9	28,9802631	67,906226	3,11351091	0,29	512,04	0,990		
OD-05-04-A-10	34,4125197	62,7539298	2,83355045	0,34	487,86	0,995		
OD-05-04-A-11	25,0081616	71,9088612	3,08297726	0,25	529,71	0,960		
OD-05-04-A-12	38,7700455	57,9677981	3,26215642	0,39	468,47	0,989		
OD-05-04-A-13	38,5166708	57,3988991	4,08443004	0,39	469,60	0,983		
OD-05-04-A-14	25,7176229	72,8441638	1,43821321	0,26	526,56	0,991		
OD-05-04-A-15	32,0712322	64,3250836	3,60368426	0,32	498,28	0,994		
OD-05-04-A-16	34,3265188	60,8671857	4,80629548	0,34	488,25	0,989		
OD-05-04-A-17	32,5468049	64,3904011	3,06279399	0,33	496,17	0,993		
OD-05-04-A-18	34,3491468	62,7785755	2,8722777	0,34	488,15	0,996		
OD-05-04-A-19	31,7578045	65,5759537	2,66624171	0,32	499,68	0,988		
OD-05-04-A-20	37,2668623	56,166464	6,56667369	0,37	475,16	0,982	494	19,1 4,9
<hr/>								
OM-05-13-D1-1	46,4098873	50,1397162	3,4503965	0,46	434,48	0,997		
OM-05-13-D1-2	48,5946286	47,4730939	3,93227747	0,49	424,75	0,998		
OM-05-13-D1-3	48,4272784	48,3045538	3,26816772	0,48	425,50	0,997		
OM-05-13-D1-4	44,4473658	50,068937	5,4836972	0,44	443,21	0,980		
OM-05-13-D1-5	47,1265679	49,7181327	3,15529933	0,47	431,29	0,997		
OM-05-13-D1-6	47,1027425	49,0893063	3,80795122	0,47	431,39	0,997		
OM-05-13-D1-7	49,1295883	47,1311041	3,73930762	0,49	422,37	0,997		
OM-05-13-D1-8	45,7137983	50,9112266	3,37497512	0,46	437,57	0,997		
OM-05-13-D1-9	42,5017064	53,950004	3,54828961	0,43	451,87	0,991		
OM-05-13-D1-10	45,1256197	51,6128476	3,26153274	0,45	440,19	0,996		
OM-05-13-D1-11	49,3482727	47,3067013	3,34502598	0,49	421,40	0,997		
OM-05-13-D1-12	45,3490838	51,2538738	3,39704247	0,45	439,20	0,997	434	9,3 2,7

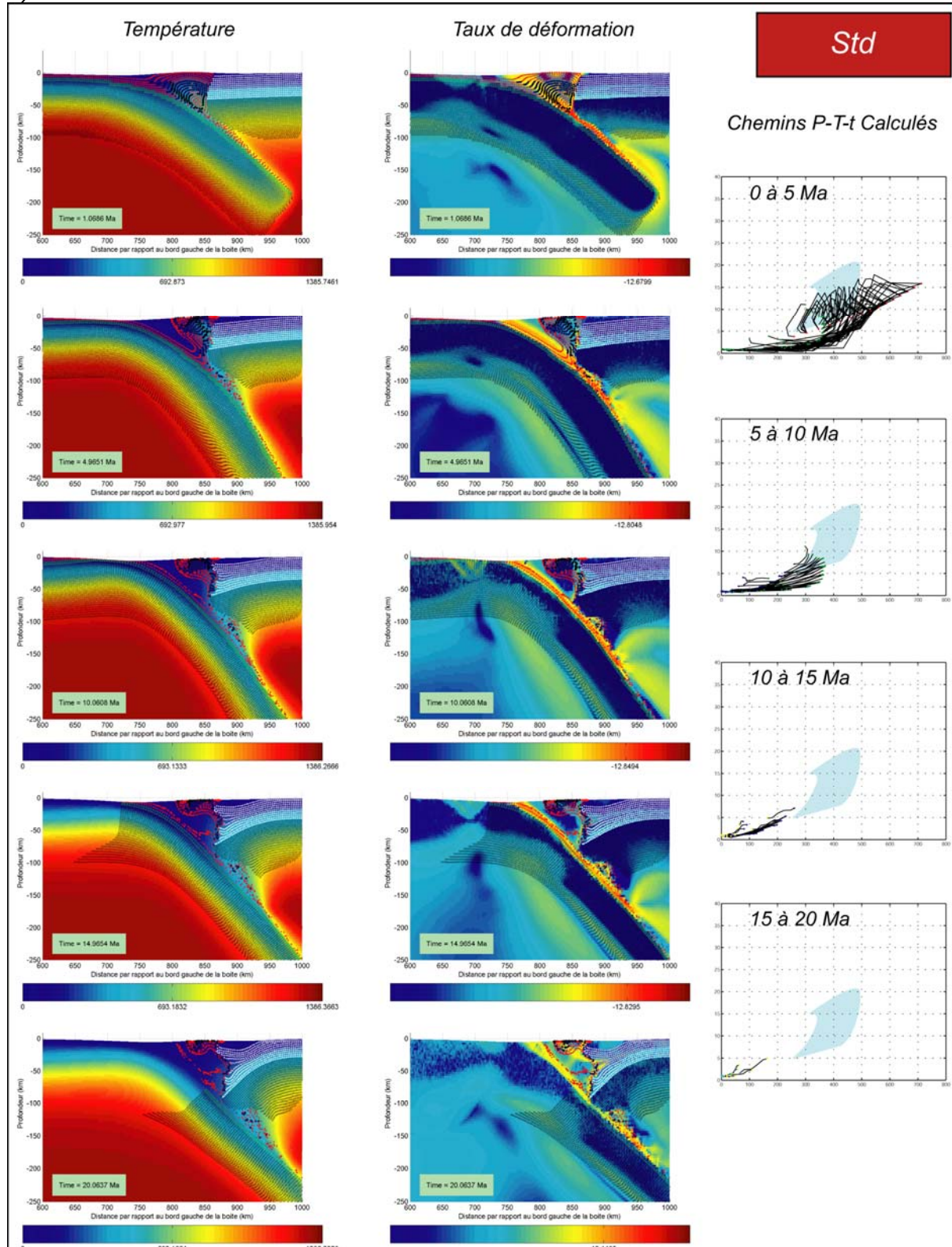
Spectre	Aires			Rapport T (°C)		r2	Tmoy	σ	DS
	D1	G	D2	R2					
OM-05-71-1	47,1267137	49,0077264	3,86555999	0,47	431,29	0,998			
OM-05-71-2	35,1009382	61,9856822	2,91337967	0,35	484,80	0,996			
OM-05-71-3	29,7537865	66,8891545	3,35705895	0,30	508,60	0,997			
OM-05-71-4	38,7555384	57,8683217	3,37613987	0,39	468,54	0,995			
OM-05-71-5	32,4291657	60,7795729	6,79126146	0,32	496,69	0,985			
OM-05-71-6	31,9618195	65,2712729	2,76690761	0,32	498,77	0,995			
OM-05-71-7	32,637623	63,7511415	3,61123548	0,33	495,76	0,995			
OM-05-71-8	39,4092056	56,2072397	4,38355466	0,39	465,63	0,988			
OM-05-71-9	31,3959756	63,6647197	4,93930472	0,31	501,29	0,984			
OM-05-71-10	26,9444976	70,0552173	3,00028505	0,27	521,10	0,994			
OM-05-71-11	35,9658714	60,0637154	3,97041322	0,36	480,95	0,997			
OM-05-71-12	34,1525756	62,6376279	3,20979651	0,34	489,02	0,995			
OM-05-71-13	38,5451323	57,7041966	3,75067108	0,39	469,47	0,997			
OM-05-71-14	34,2213543	62,5747328	3,2039129	0,34	488,71	0,996			
OM-05-71-15	35,9024362	60,8704084	3,22715538	0,36	481,23	0,986	485	21,4	5,5

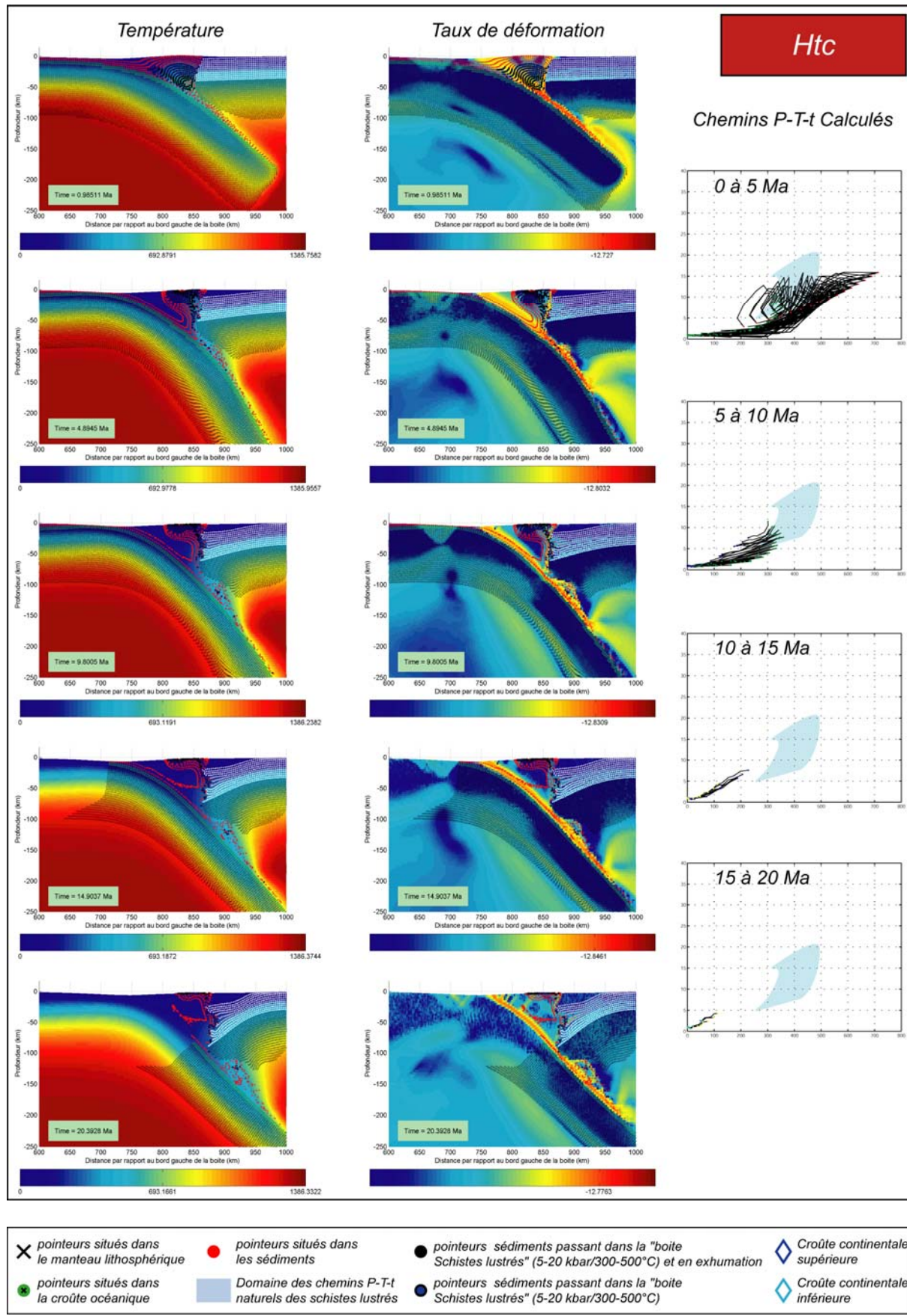
*Modélisation
de la
subduction*

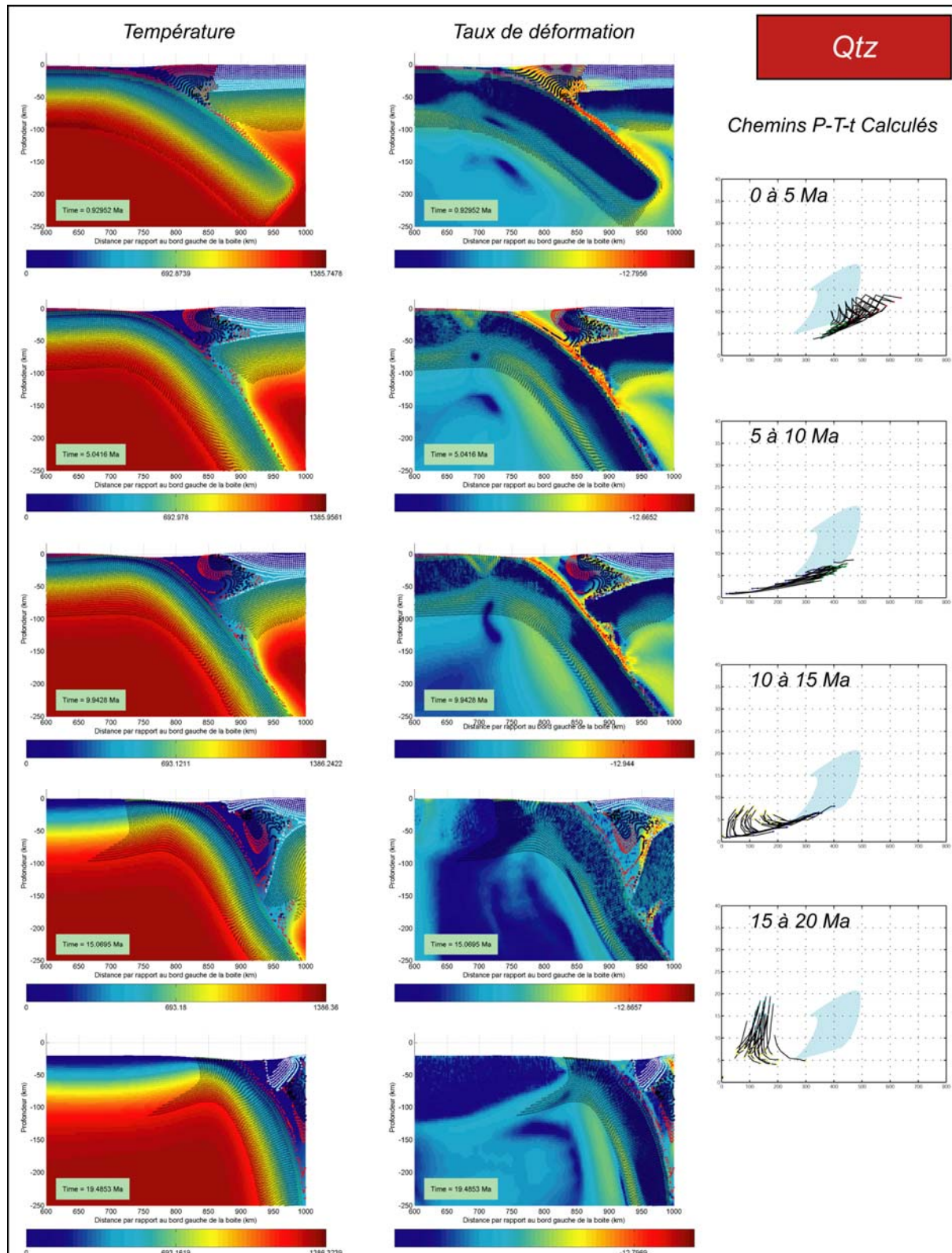
Annexe J

Evolution des modèles en contexte de subduction océanique

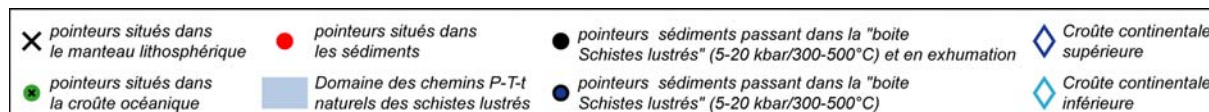
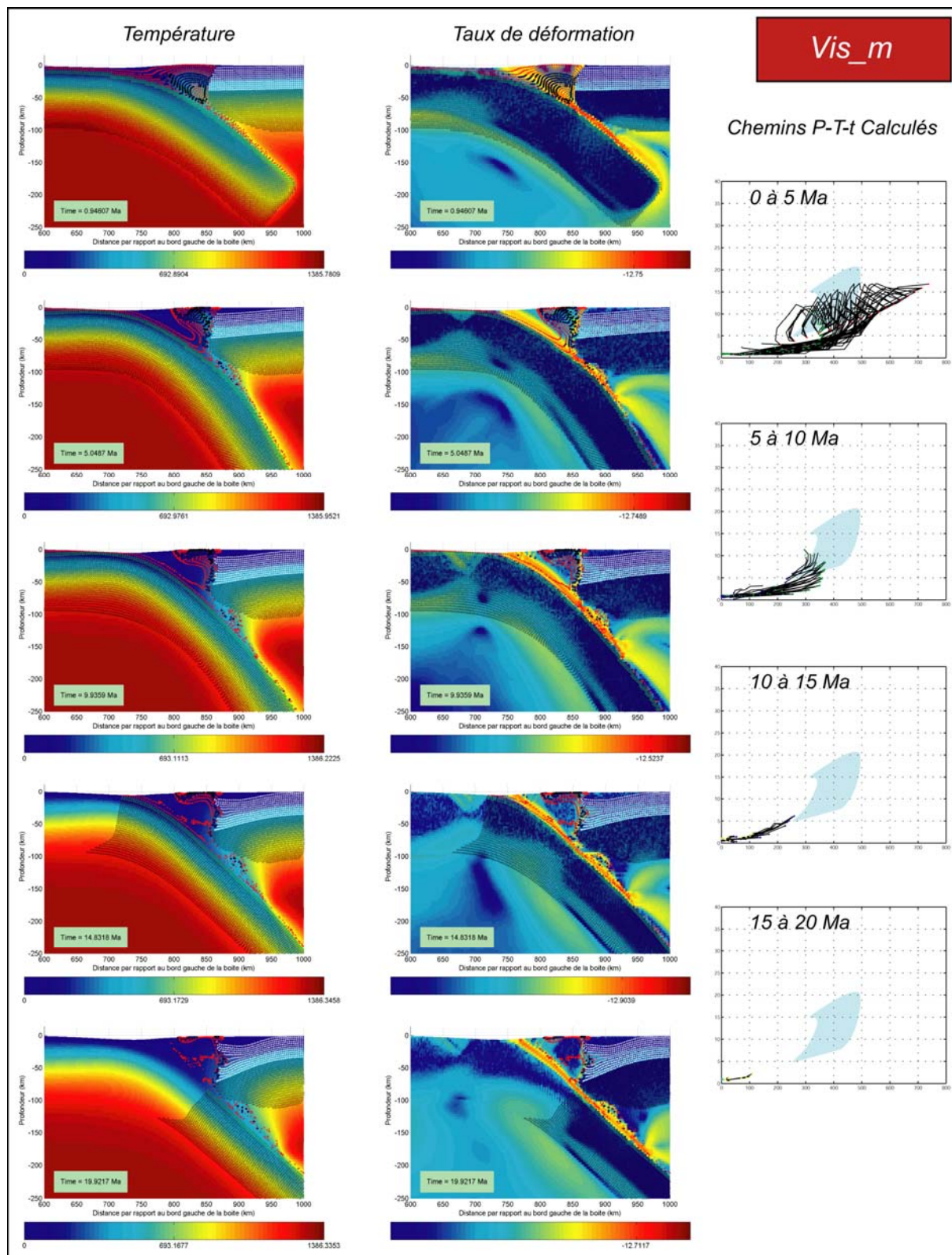
Planches montrant pour chaque simulation, l'évolution de la température et du taux de déformation au cours du temps pour 0, 5, 10, 15 et 20 Ma (les paramètres sont décrits dans le chapitre 3). Les chemins P-T-t associés selon la tranche de temps écoulée sont aussi représentés.

A) Modèle Std :

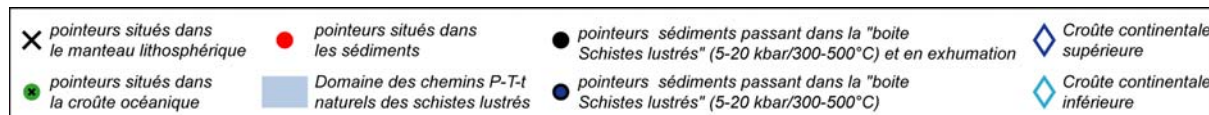
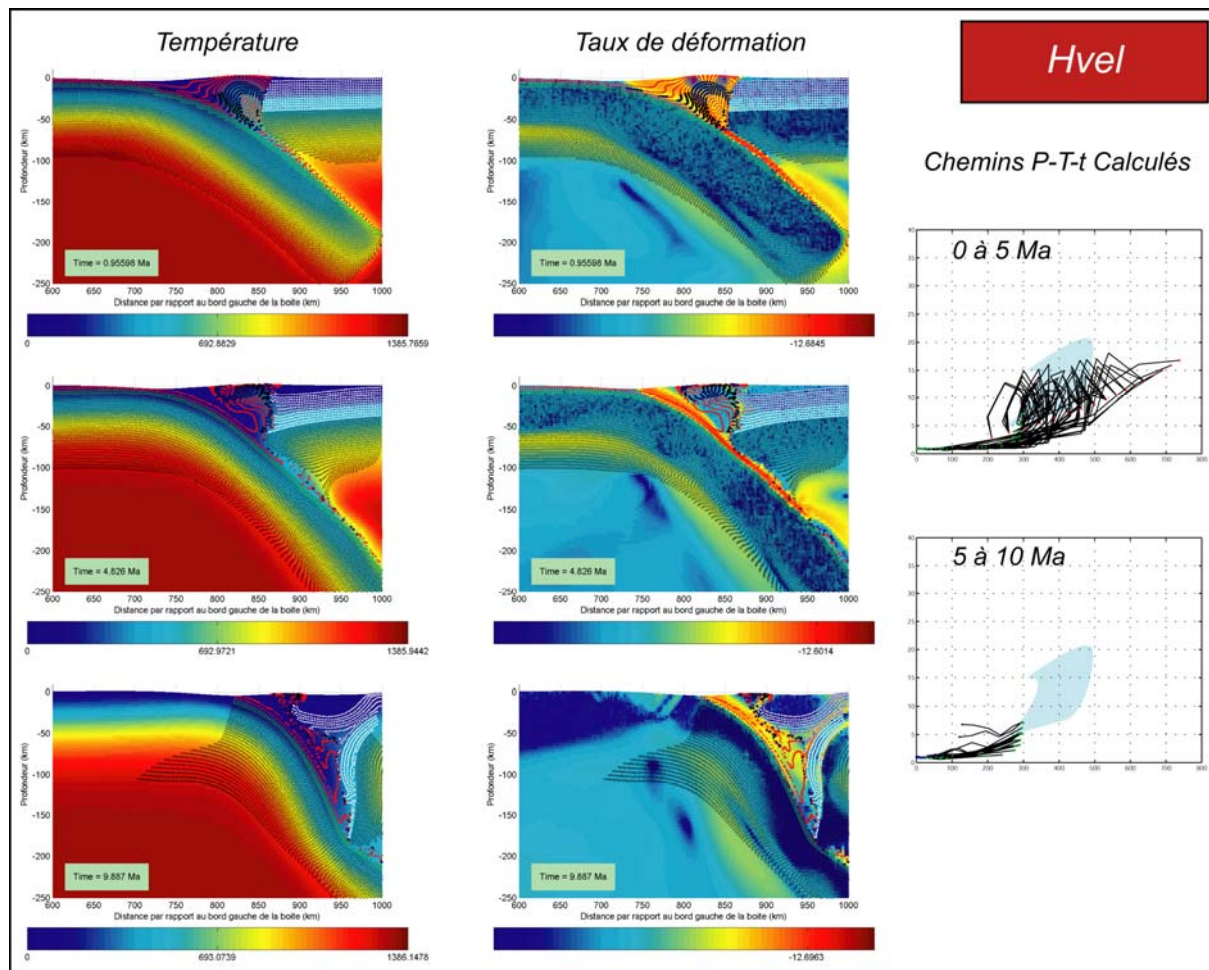
B) Modèle Htc (Conductivité thermique dans les sédiments multipliée par 2) :

C) Modèle Qtz (Croûte continentale inférieure simulée par du quartz) :

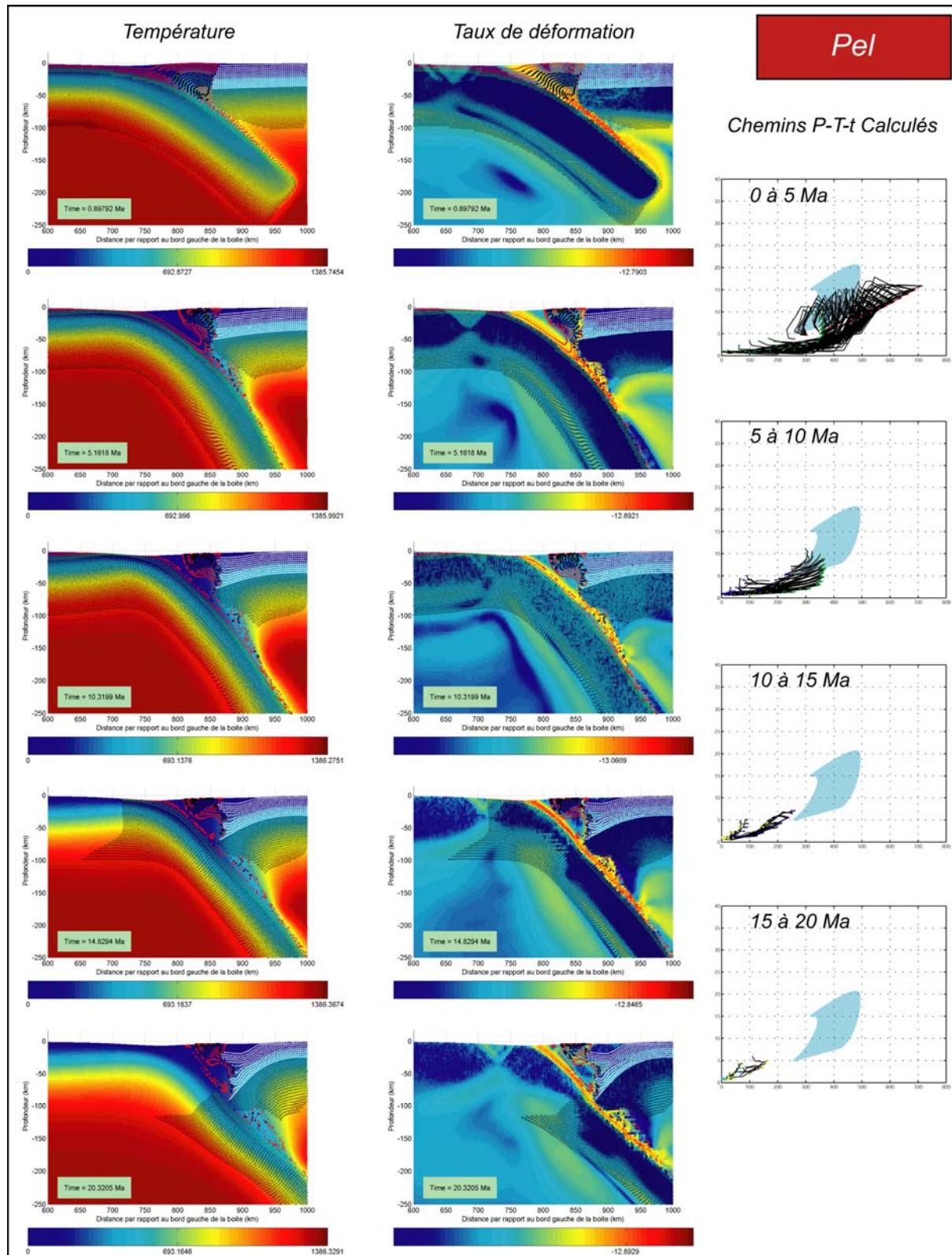
D) Modèle Vis_m (Viscosité du manteau lithosphérique multipliée par 10) :



E) Modèle Hvel (Vitesse de convergence multipliée par 2 égal à 6 cm.an⁻¹) :



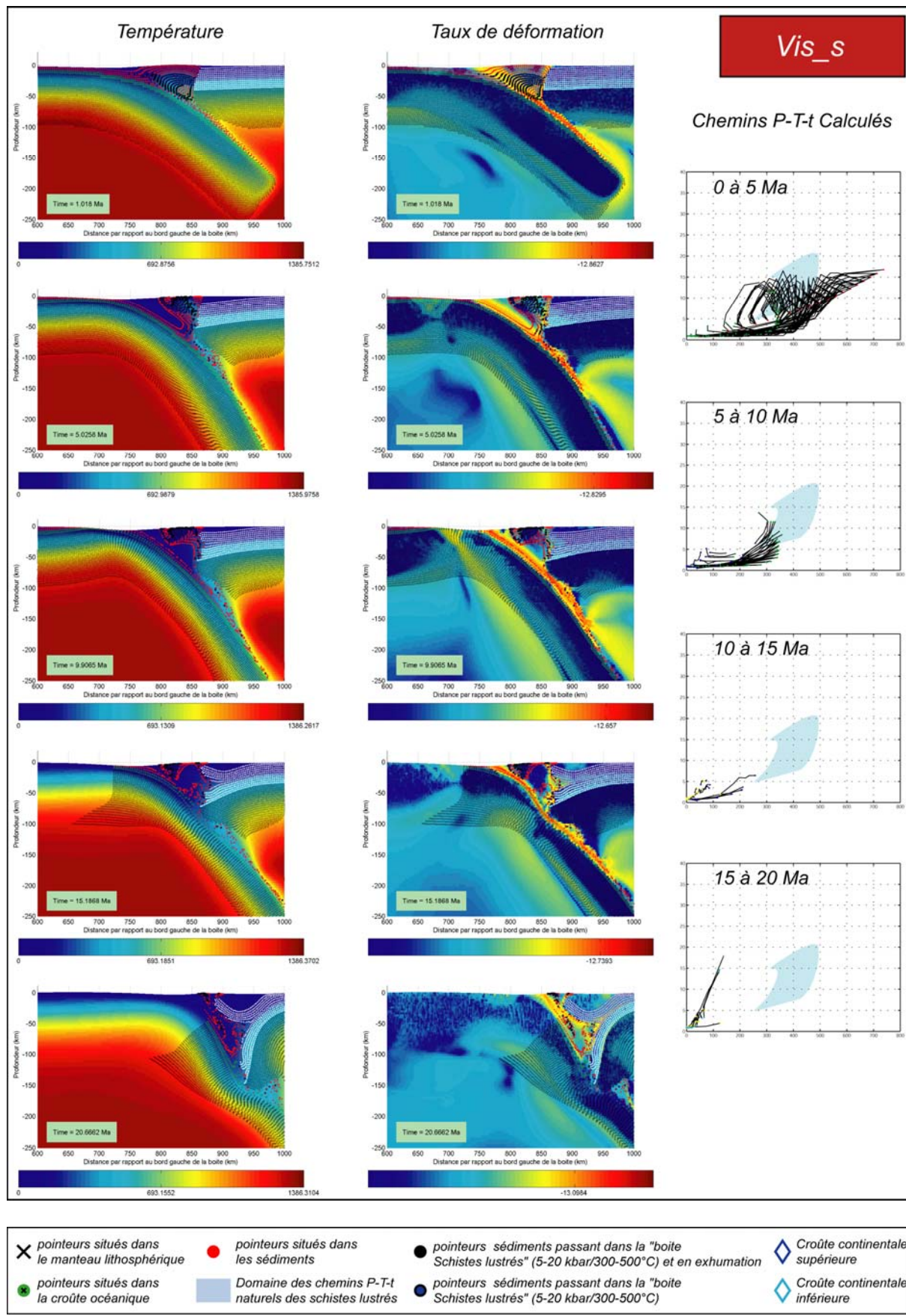
F) Modèle Pel (Pélite utilisée pour le calcul de la densité à l'aide de Thériak différente) :



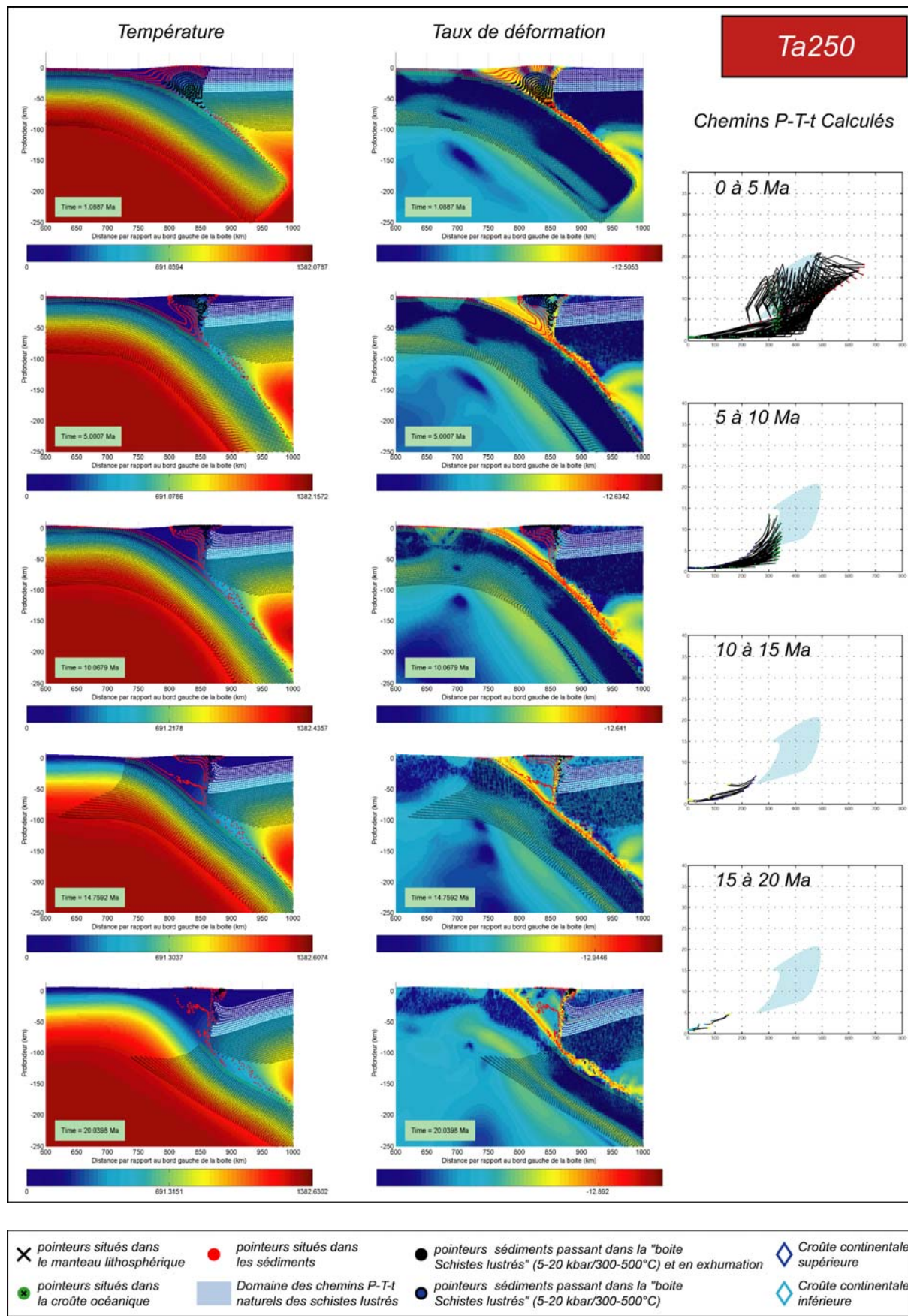
-  pointeurs situés dans les sédiments
-  Domaine des chemins P-T-t naturels des schistes lustrés
-  pointeurs situés dans la croûte océanique
-  pointeurs sédimen^tts passant dans la "boîte Schistes lustrés" (5-20 kbar/300-500°C) et en exhumation
-  pointeurs sédimen^tts passant dans la "boîte Schistes lustrés" (5-20 kbar/300-500°C)

 Croûte continentale supérieure

 Croûte continentale inférieure

G) Modèle Vis_s (Viscosité des sédiments du prisme divisée par 10) :

H) Modèle Ta_250 (Age thermique utilisé pour la lithosphère continentale égal à 250 Ma) :

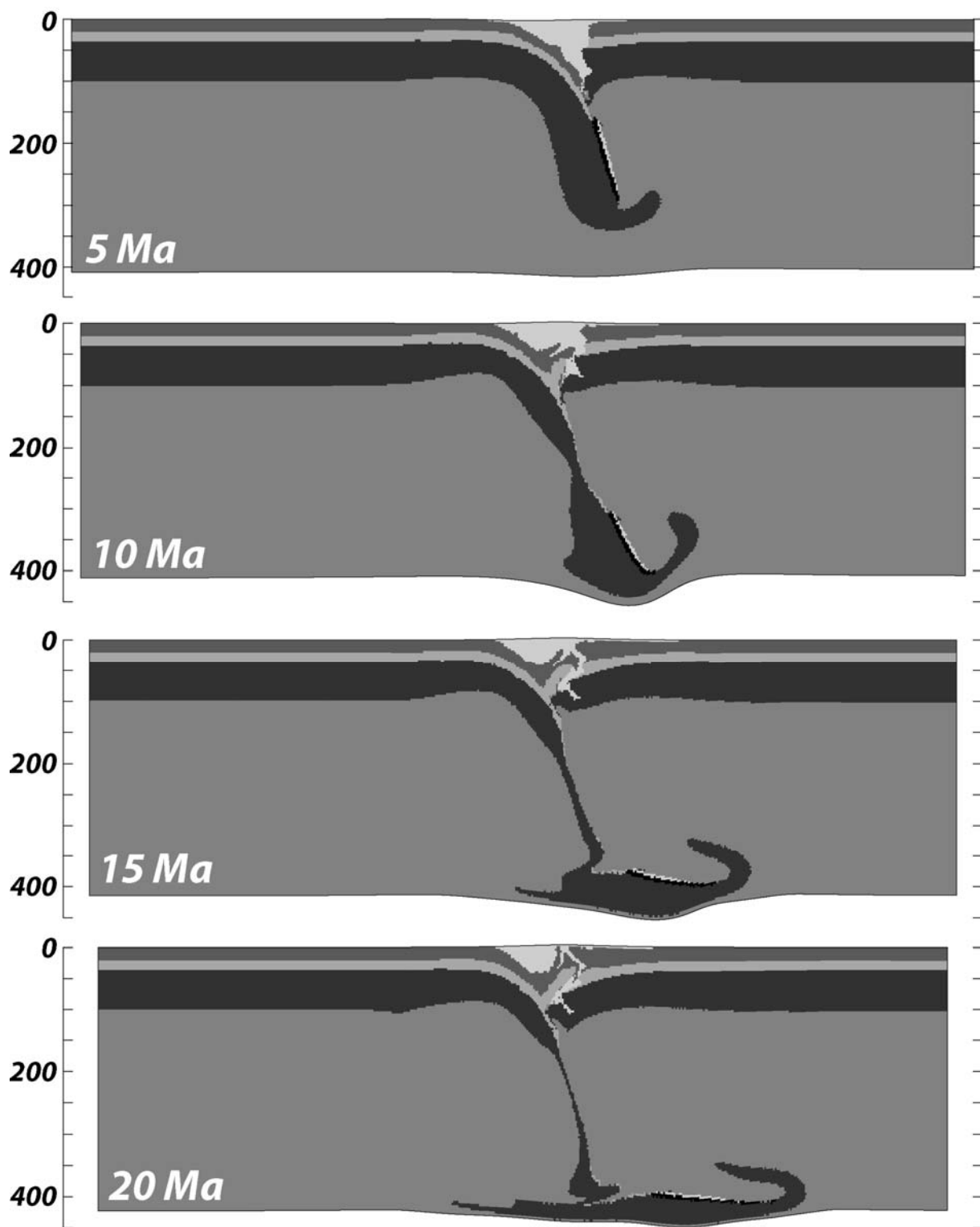


Annexe K

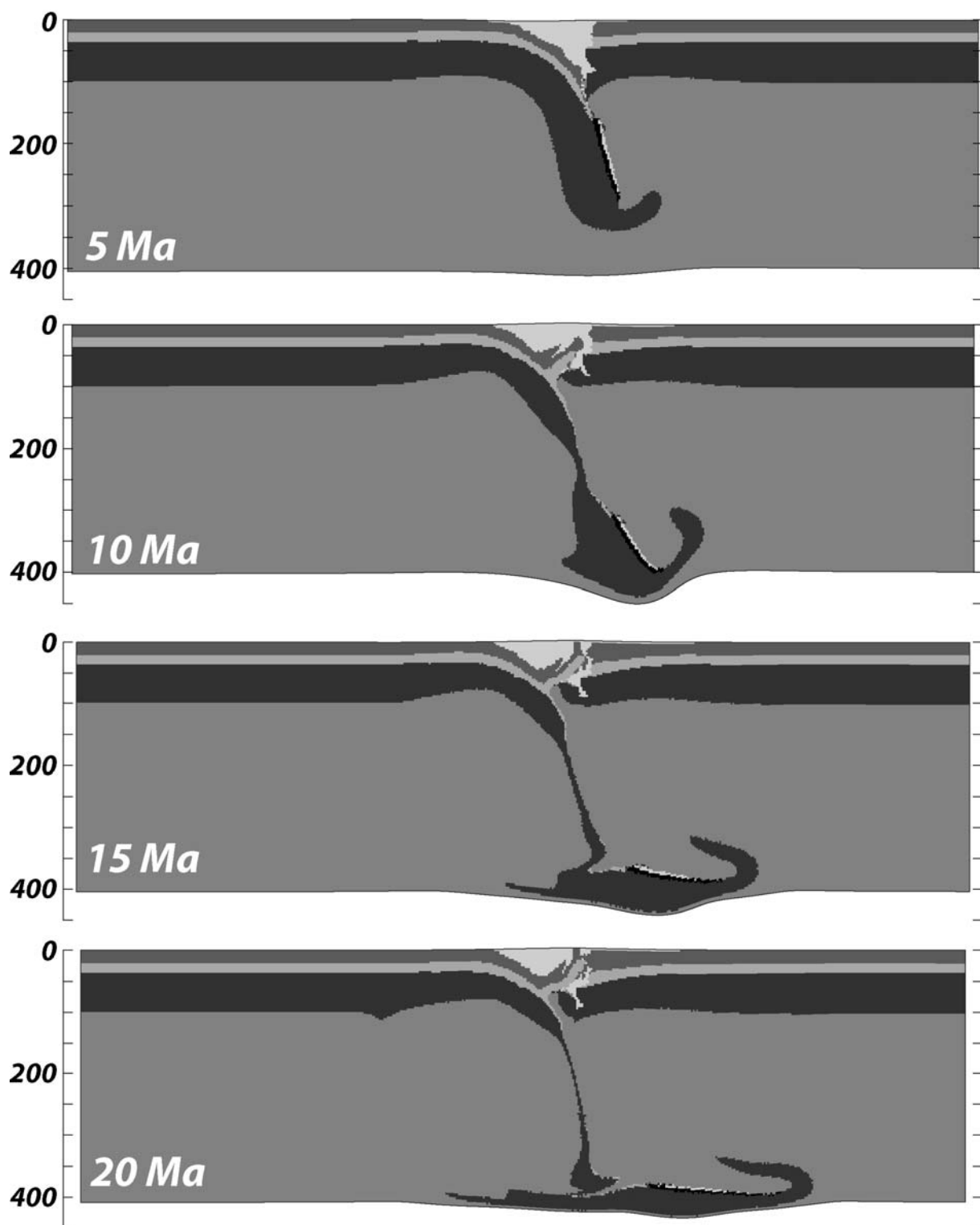
Evolution des modèles en contexte de subduction continentale

Evolution morphologique de l'ensemble des modèles de subduction continentale à 5, 10, 15 et 20 Ma.

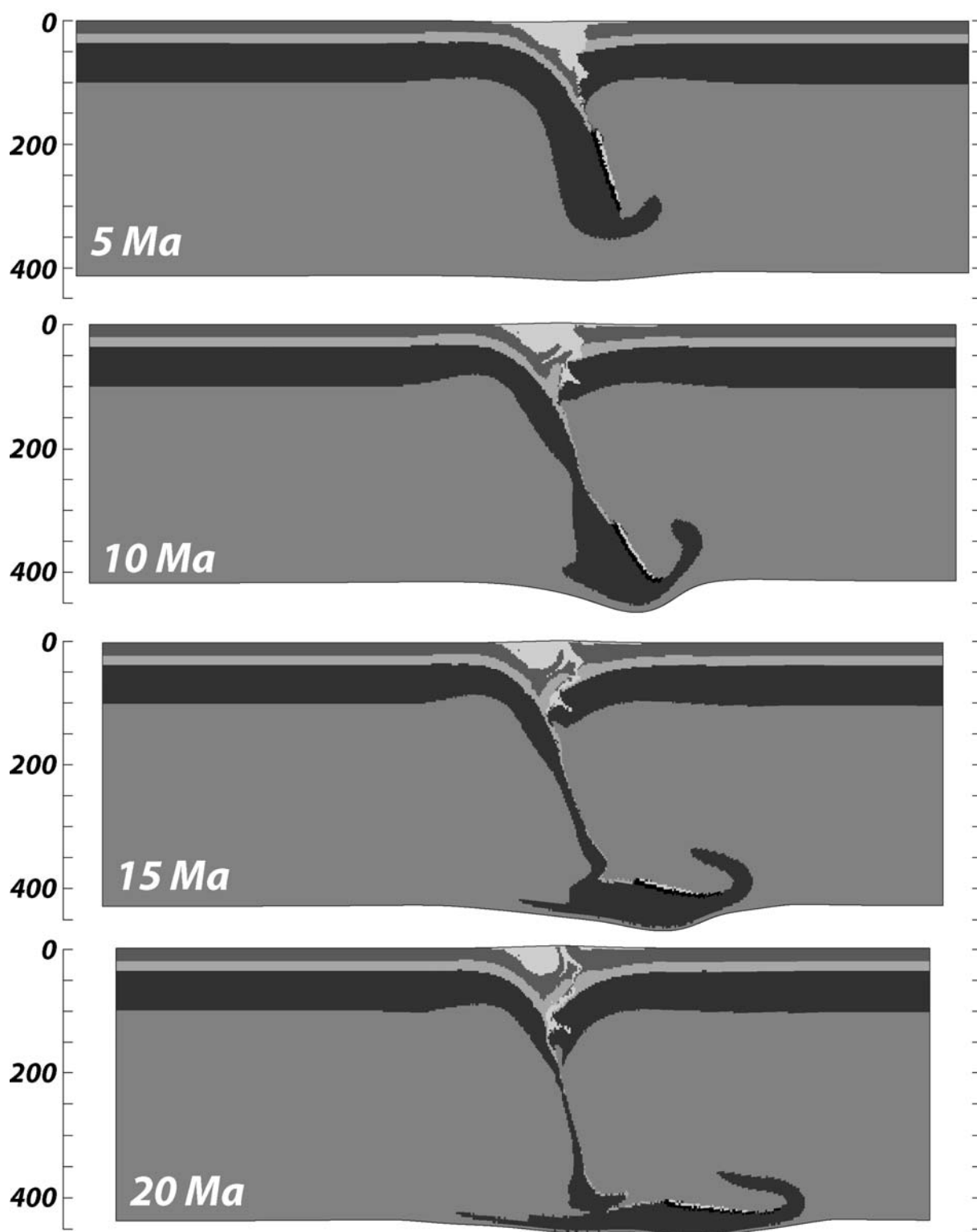
ALPS_06



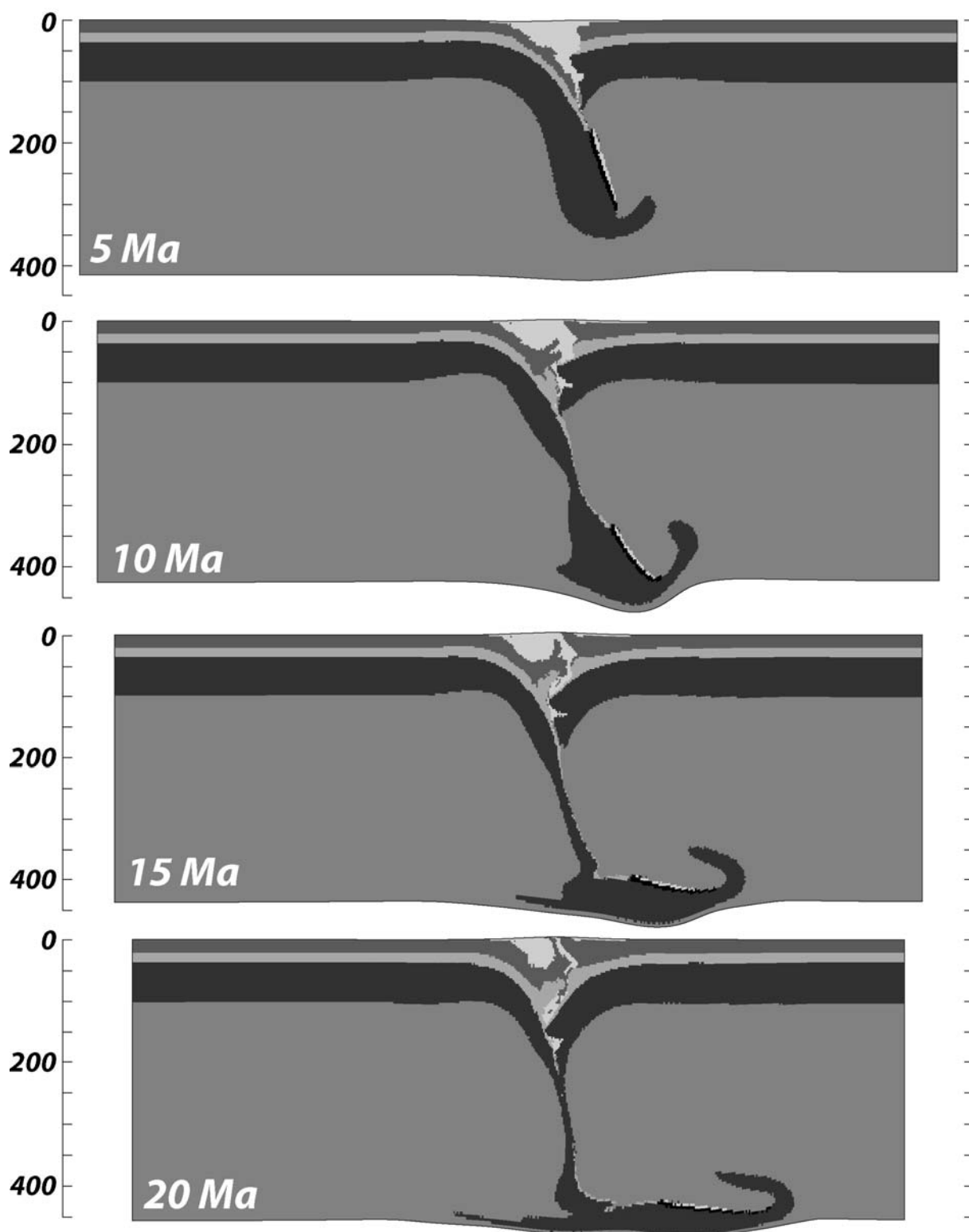
ALPS_03



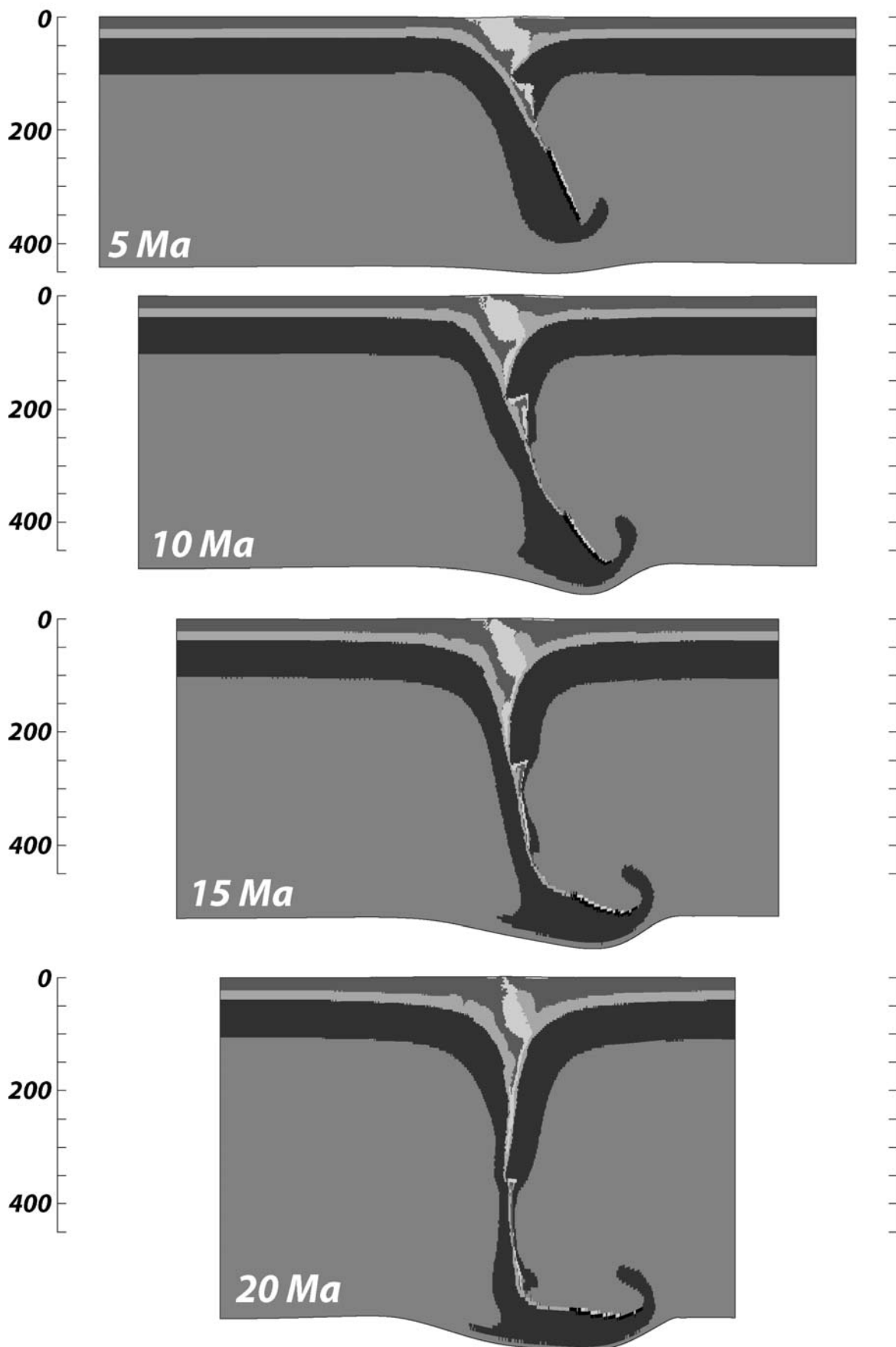
ALPS_09



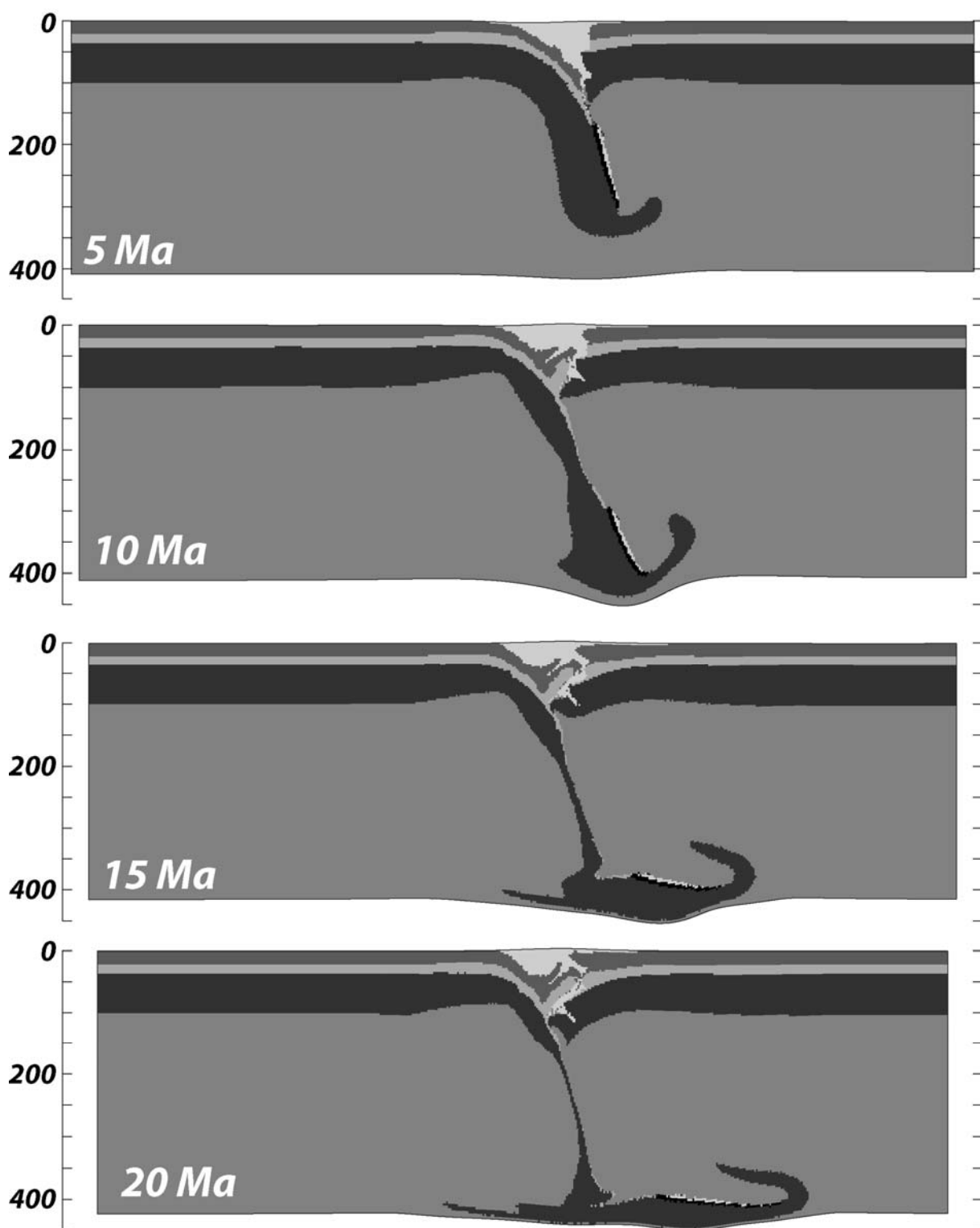
ALPS_12



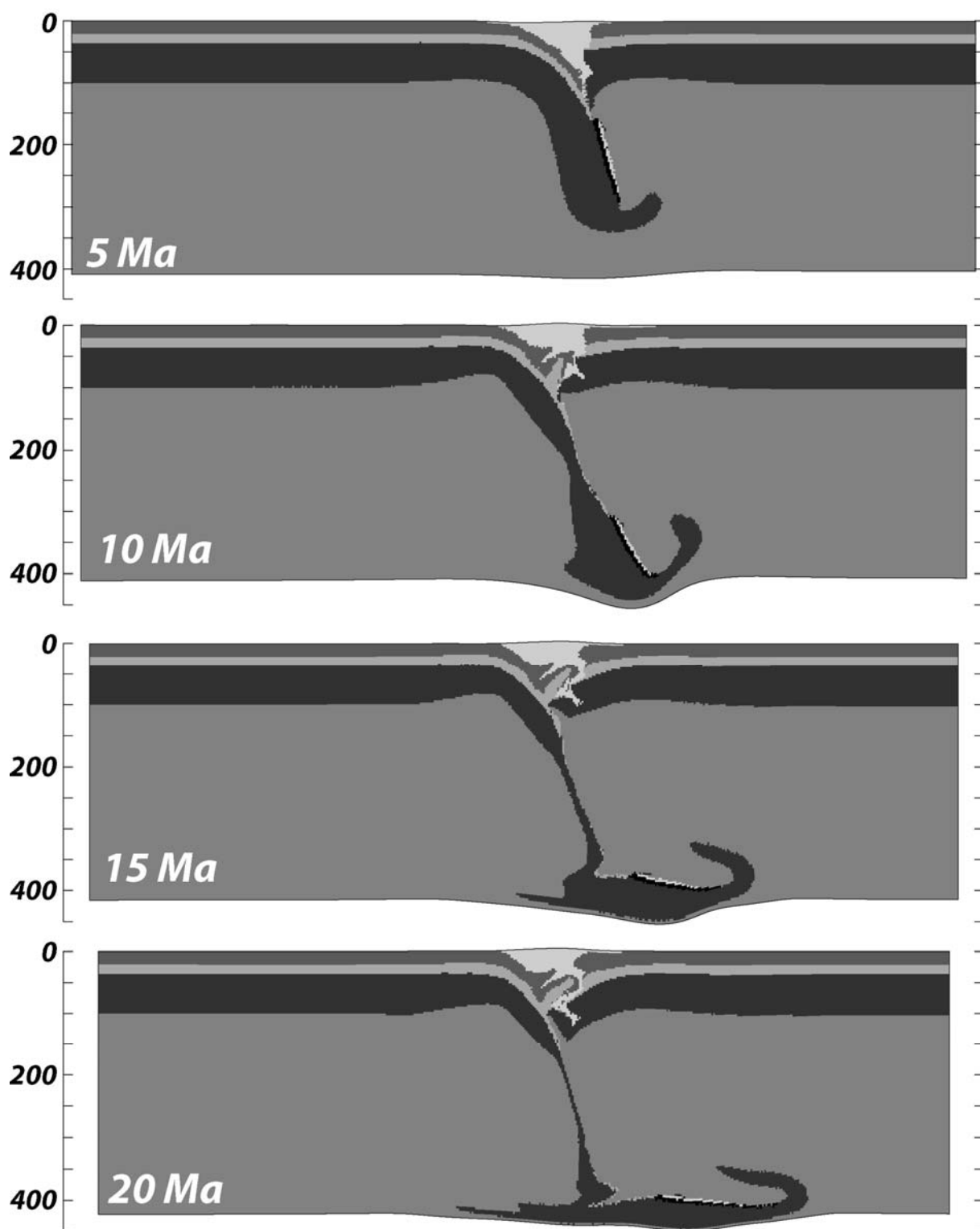
ALPS_30



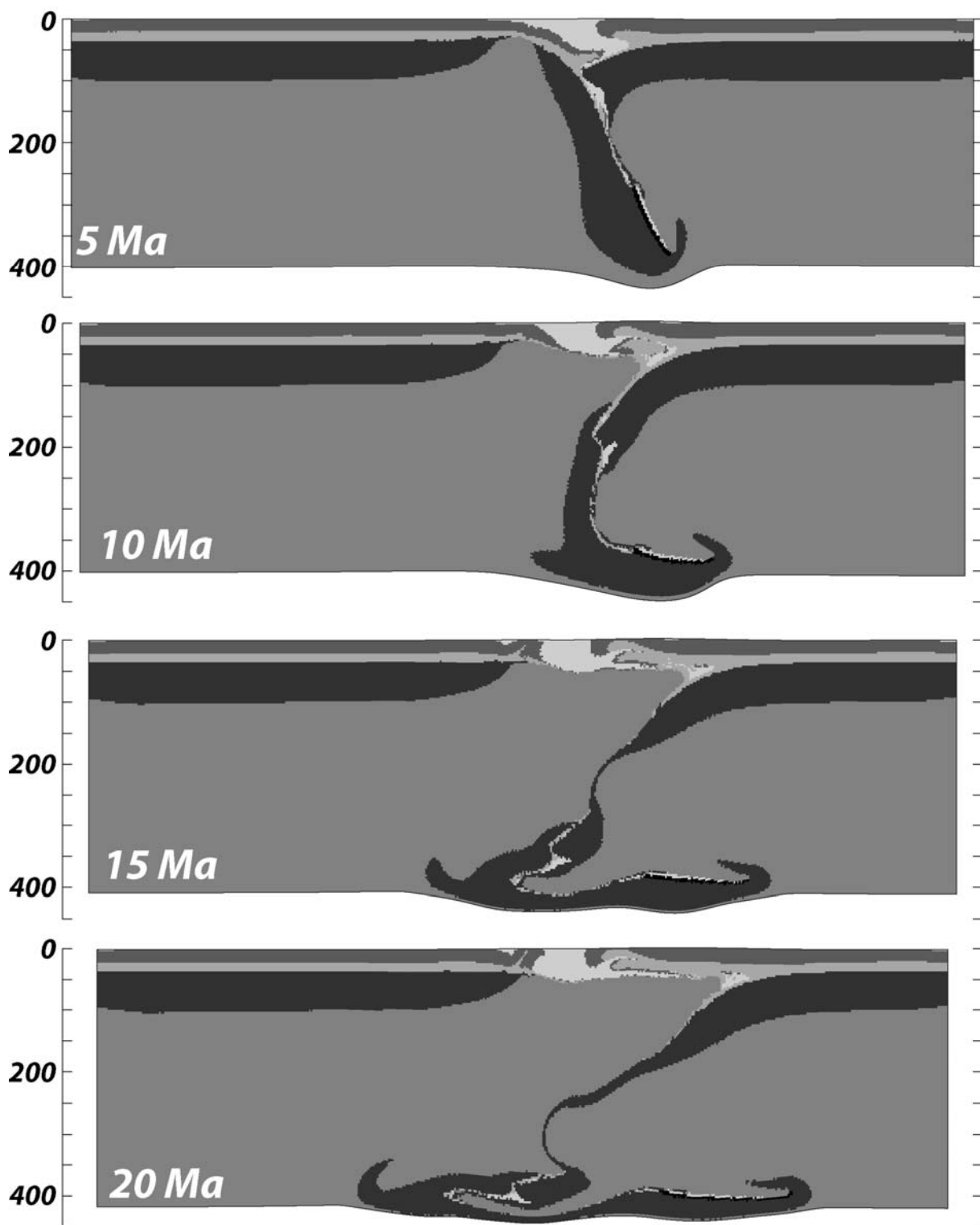
ALPS_06_1500



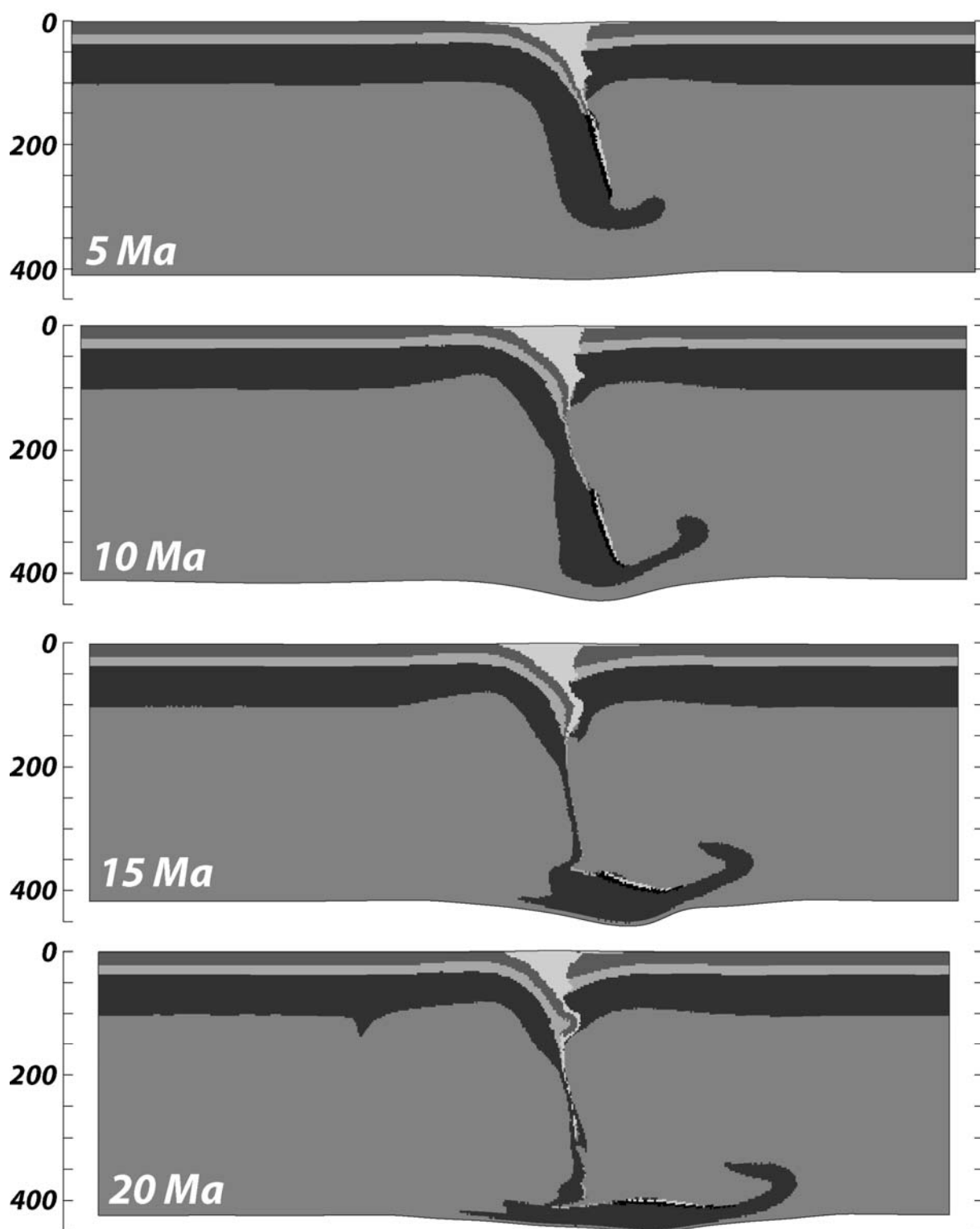
ALPS_06_eros500



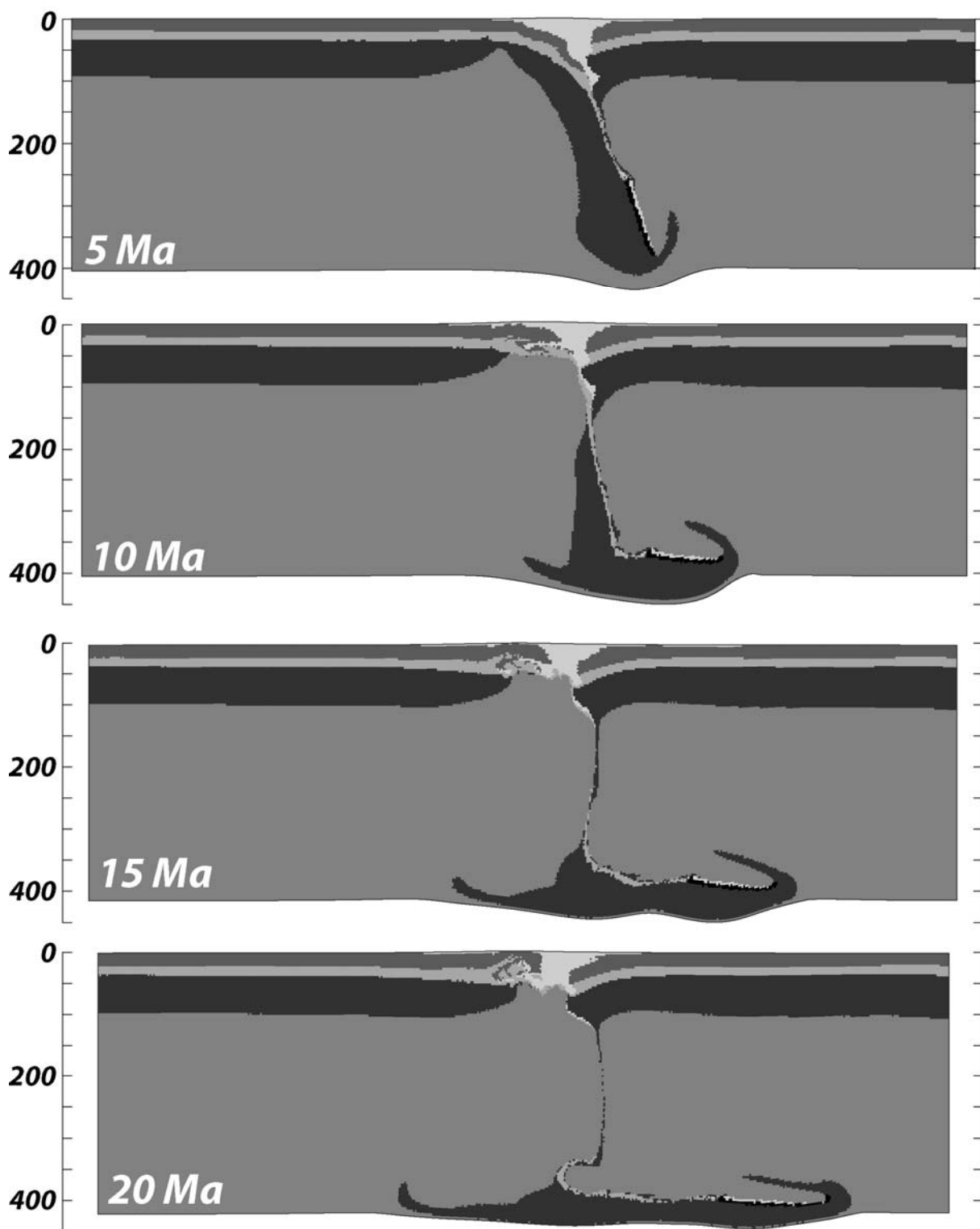
ALPS_06_QQ_QQ



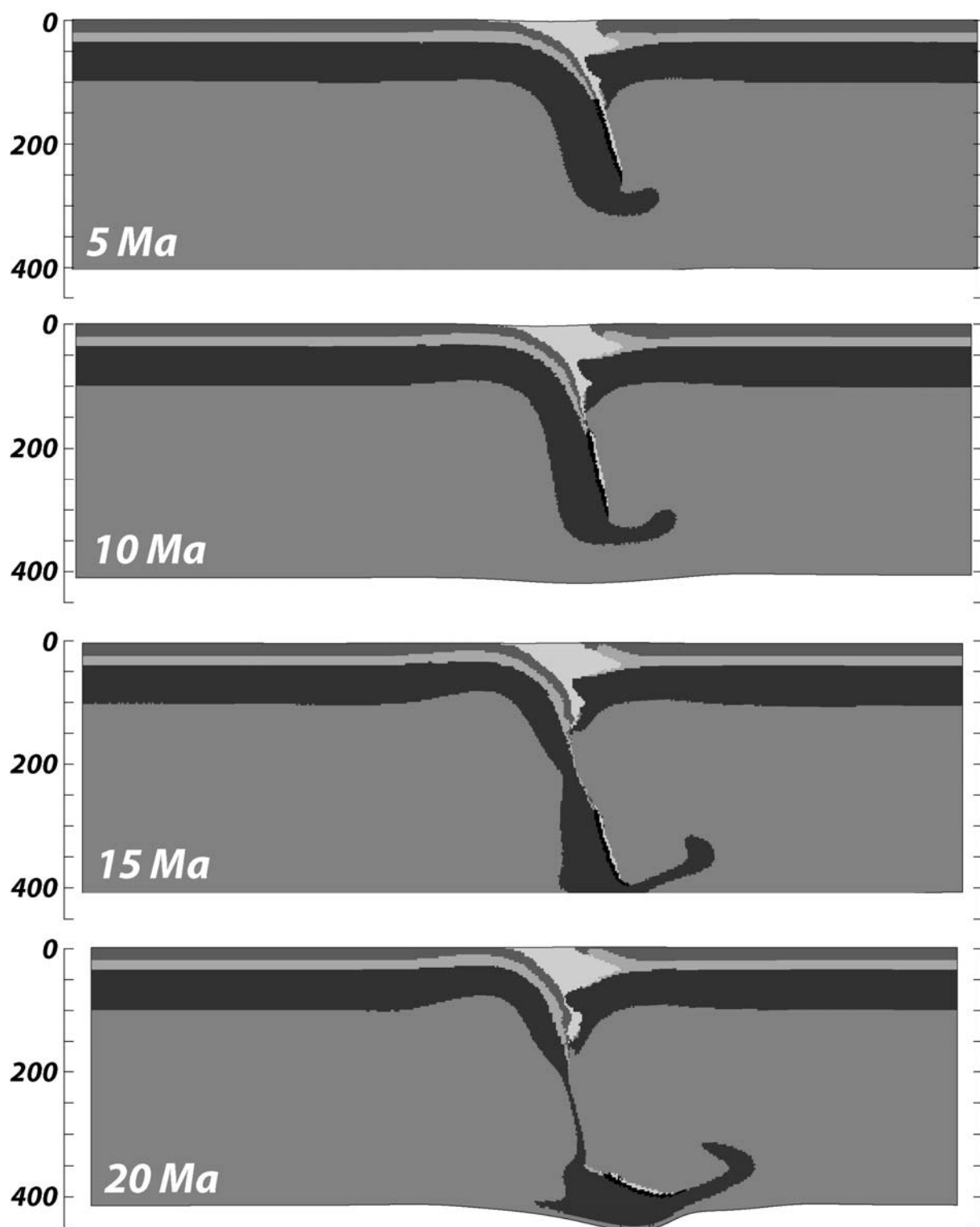
ALPS_06_DD_DD



ALPS_06_QQ_DD



ALPS_06_DD_QQ

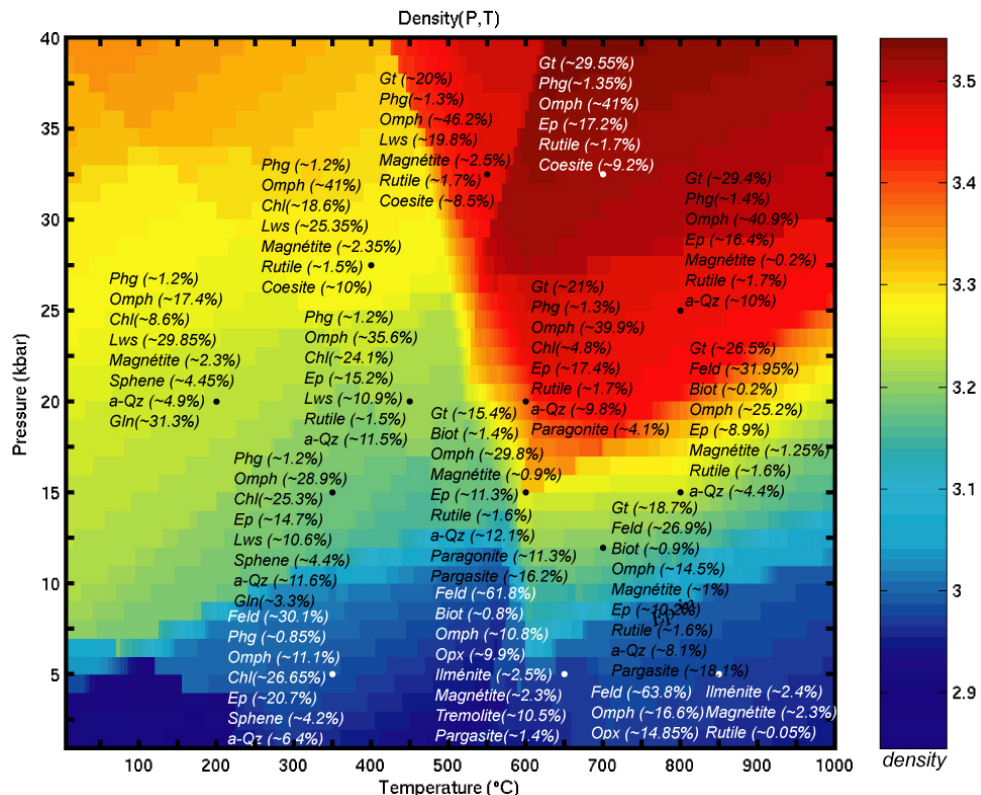
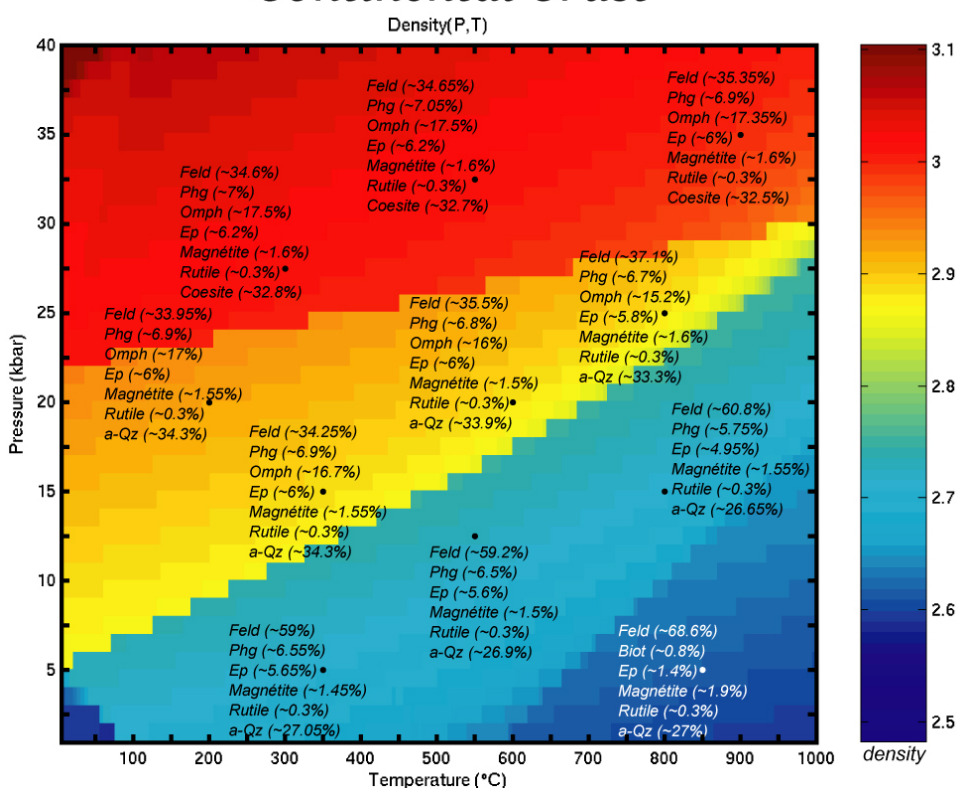


Méthodologie

Annexe L

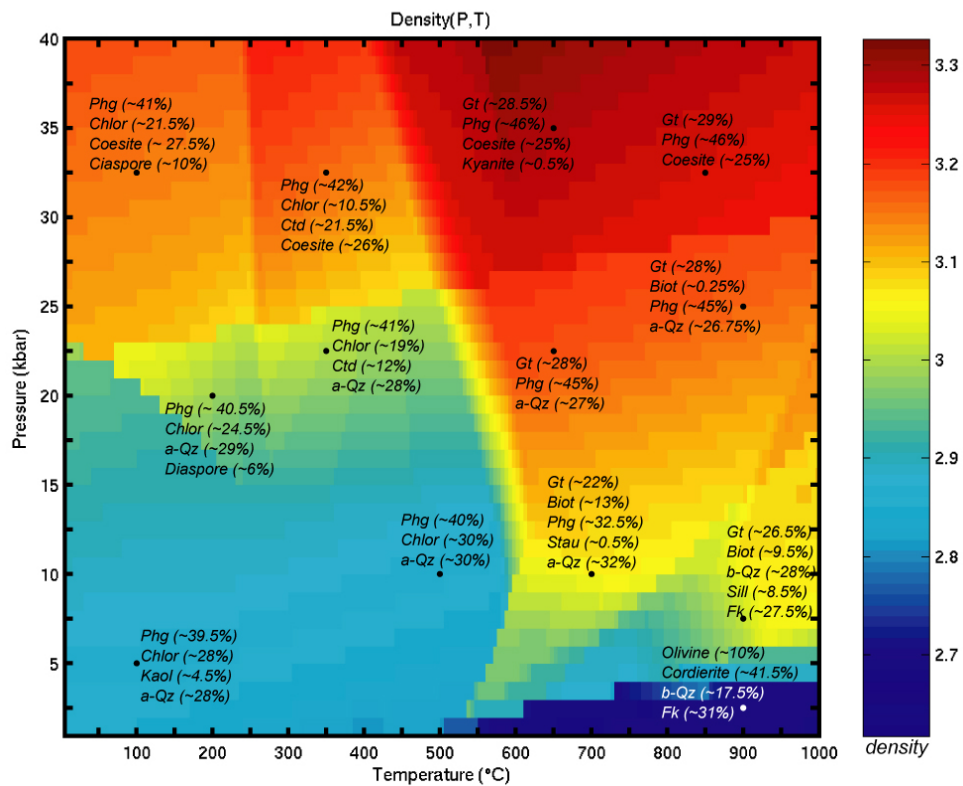
(1/2)

Compositions minérales issues de THERIAK pour les différents matériaux utilisés lors du calcul des densités.

Oceanic Crust*Continental Crust*

Annexe L

(2/2)

Pelite 1*Pelite 2*